

ISSN 0132-6112

Азәрбајҹан ССР Елмләр Академијасы  
Академия наук Азербайджанской ССР

# ХӘБƏРЛƏР ИЗВЕСТИЯ

БИОЛОЖИЈА  
ЕЛМЛƏРИ  
БИОЛОГИЧЕСКИЕ  
НАУКИ

4

1985

РЕДАКЦИОННАЯ КОЛЛЕГИЯ: Дж. А. Алиев (главный редактор),  
В. Р. Волобуев, У. К. Алексеев, Г. Г. Гасанов (зам. гл. редактора), Н. А. Касумов,  
М. А. Мамедъяров, М. А. Мусаев, И. Д. Мустафаев (зам. гл. редактора),  
Э. М. Салаев, А. Н. Самедов (ответственный секретарь).

581.132

Б. А. КЮРДОВ, Р. А. ГАСАНОВ

## ВЛИЯНИЕ ФИТОХРОМНОЙ СИСТЕМЫ НА ФОРМИРОВАНИЕ ФЛУОРЕСЦИРУЮЩИХ ЦЕНТРОВ ХЛОРОПЛАСТОВ ЭТИОЛИРОВАННЫХ ПРОРОСТКОВ ПШЕНИЦЫ

Институт ботаники им. В. Л. Комарова АН Азэрб. ССР

Исследовали влияние освещения этиолированных проростков пшеницы импульсами (1—5 мин) красного и дальнего красного света с последующим 16-часовым темновым интервалом и 4-часовым зеленением на полихроматическом свете (1500 лк, 22°C) на спектр флуоресценции (77 К). Освещение красным светом в отличие от дальнего красного света резко усиливает как суммарную флуоресценцию, так и развитие длинноволновой флуоресценции. Эффект не обращается дальним красным светом и часто усиливается, если осветить красным и дальним красным светом, то отсутствует темновой интервал. При темновом интервале эффект обращается и полное обращение наблюдается при 1,5-часовом интервале.

Функционирование фитохромной системы отличается поразительным многообразием находящихся под ее влиянием процессов. Такие, на первый взгляд, мало связанные процессы, как синтез хлорофилла и образование белков опосредованы фитохромами. Наиболее очевидным светозависимым процессом при формировании хлоропластов является накопление хлорофилла [8, 9]. Имеются данные, указывающие на то, что и синтез многих функционально активных белков хлоропласта контролируется светом [15, 16]. Установлено, что на ранних стадиях зеленения сразу же за [3], или во время Шибатовского сдвига [7] в хлоропласте накапливаются агрегированные формы хлорофилла. Раннее появление длинноволновых центров излучения некоторые авторы связывают с переупаковкой ранее образованных, менее агрегированных молекул в агрегированные формы хлорофилла [3]. Имеются указания на то, что этот процесс может осуществляться под влиянием фитохрома. В связи с изложенным, в работе исследовали влияние кратковременного освещения красного и дальнего красного света на процесс развития флуоресцирующих центров хлоропластов в ходе зеленения этиолированных листьев. С другой стороны, представляется важным выяснением вопроса о роли фитохрома в формировании функциональных проявлений фотосинтетического аппарата. В связи с этим исследовали характер изменения миллисекундной замедленной флуоресценции, являющейся объективным интегральным показателем функционального состояния растений в процессе зеленения этиолированных листьев, освещенных красным и дальним красным светом.

Объектом исследований служили листья 170-часовых проростков пшеницы (*Triticum aestivum* L.). Растения выращивали в течение 150 ч в полной темноте в контролируемых условиях (22°C, 80% влажности) в водной культуре. Затем проростки подвергали освещению красным (интерференционный фильтр  $\lambda = 650$  нм, полуцирина 7 нм), дальним красным (интерференционный фильтр  $\lambda = 725$  нм, по-

© Издательство «Элм». 1985 г.

Адрес: г. Баку, Коммунистическая, 10. Редакция «Известий Академии наук

Азербайджанской ССР (серия биологических наук).»

луширина 7 нм) светом или их комбинацией в режиме и по схеме, указанной на рис. 1. Проростки затем вновь помещали в темноту и через 16 ч переносили на полихроматический свет (люминесцентные лампы 1500 лк, 22°C) на 4 ч (см. рис. 1). Листья полученных таким образом проростков использовали для измерения низкотемпературных ( $-196^{\circ}\text{C}$ ) спектров флуоресценции на установке, описанной ранее [1], а также для измерения миллисекундной замедленной флуоресценции

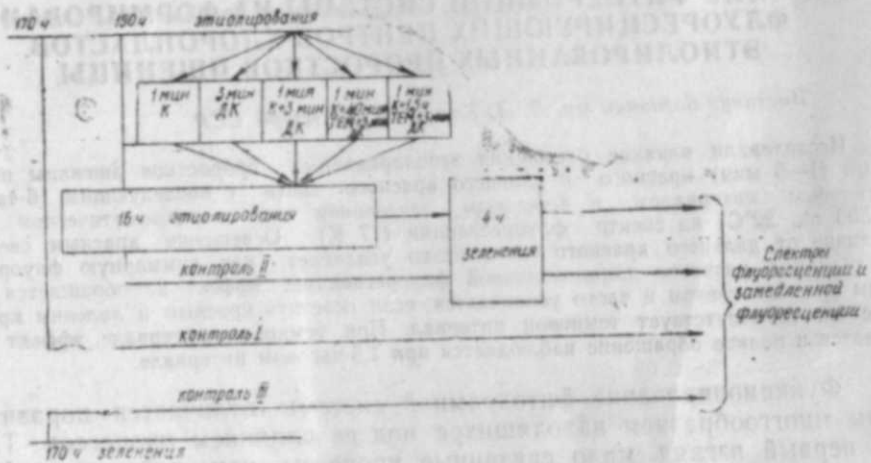


Рис. 1. Схема освещения красным и дальним красным светом и последующего освещения белым светом этиолированных проростков пшеницы

на установке с фосфороскопом, аналогичной описанной в работе [12]. Контролем служили листья этиолированных 170-часовых проростков (контроль I), листья этиолированных 166-часовых с последующим 4-часовым освещением белым светом проростков (контроль II) и листья, выращенные в течение 170 ч на белом свету проростков (контроль III).

На рис. 2 приведены данные по исследованию спектров флуоресценции при  $-196^{\circ}\text{C}$  листьев этиолированных проростков пшеницы, зеленеющих в течение 4 ч после облучения красным и дальним красным светом. Этиолированные листья имеют классический спектр флуоресценции (рис. 2A), состоящий из трех полос в области 620–655 нм с основной полосой при 655 нм, а также суперпозицией двух полос в области 700–715 нм. Основной максимум при 655 нм, а также полоса флуоресценции в области 620–640 нм относятся кprotoхлорофиллу (-ид) у (в мономерной и агрегированной формах). Полоса в области 700–715 нм является колебательной полосой соответствующих электронных переходов при 620–655 нм. Имеется также плечо в области 670–690 нм, относящееся, вероятно, к хлорофиллу и хлорофиллиду в агрегированной форме, которые в малых количествах (в результате экзиматических реакций) образуются в темноте. Через 4 ч освещения (рис. 2A, 2) этиолированных проростков можно наблюдать значительное возрастание длинноволновой флуоресценции в области 735 нм. Отношение длинноволновой флуоресценции к коротковолновой равно 0,35. Основным в спектре является коротковолновой максимум при 684 нм. Растения, выращенные на свету, имеют спектр флуоресценции

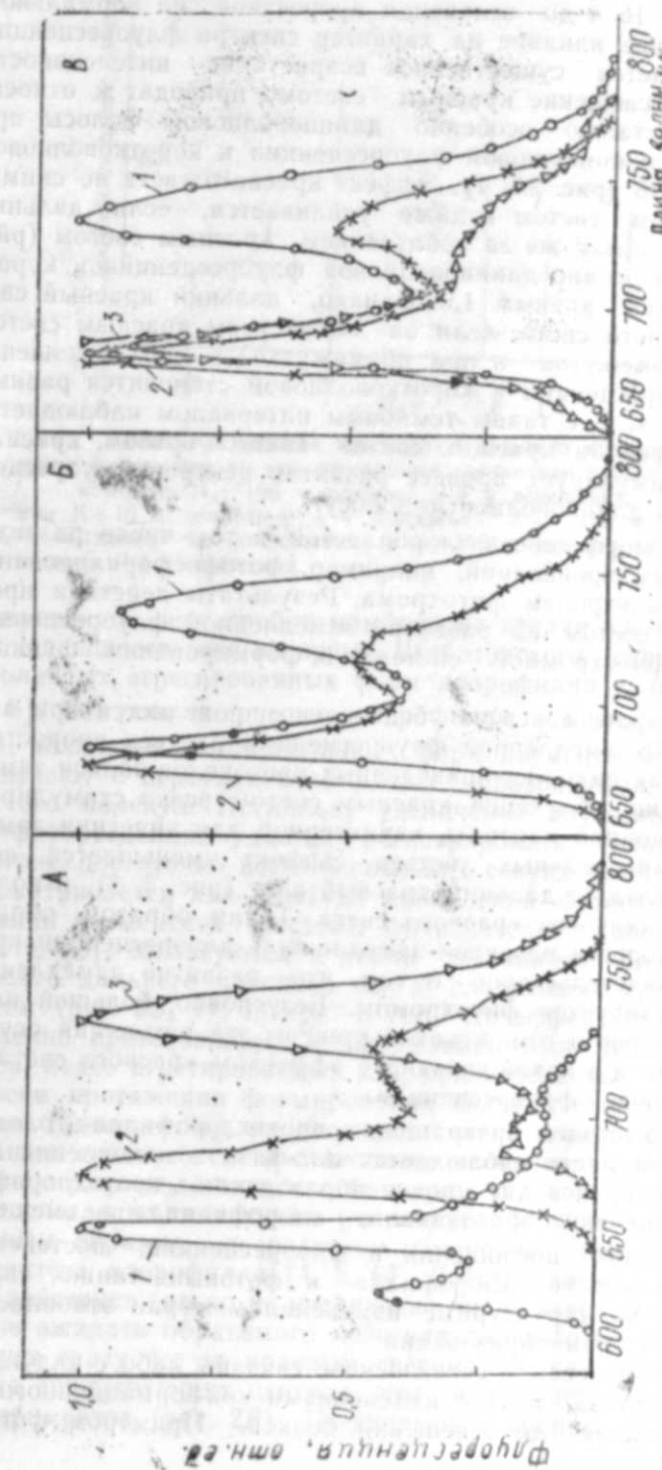


Рис. 2. Влияние освещения красным и дальним красным светом на развитие флуоресцирующих центров мембран хлоропластов этиолированных проростков пшеницы:  
 А. 1 — контроль I, 170 ч темноты; 2 — контроль II, 166 ч темноты + 4 ч темноты; 3 — контроль III, 170 ч освещения;  
 Б. 1 — 150 ч темноты; 2 — 150 ч темноты + 4 ч освещения; 3 — 150 ч темноты + 1 мин К + 3 мин ДК + 16 ч темноты + 4 ч освещения;  
 В. 1 — 150 ч темноты; 2 — 150 ч темноты + 4 ч освещения; 3 — 150 ч темноты + 1 мин К + 40 мин темноты + 1 мин ДК + 14,46 ч темноты + 4 ч освещения.

классической формы, представленный двумя полосами в коротковолновой области и основным максимумом при 735 нм (рис. 2A, 3). Предварительное облучение красным светом с последующим темновым интервалом в течение 16 ч до зеленения проростков на нормальном свете оказывает сильное влияние на характер спектра флуоресценции (рис. 2Б). Наблюдается существенное возрастание интенсивности флуоресценции. Предосвещение красным светом приводит к относительно резкому возрастанию особенно длинноволновой полосы при 728 нм. Отношение длинноволновой флуоресценции к коротковолновой становится равным 0,98 (рис. 2Б, 1). Эффект красного света не снимается дальним красным светом и даже усиливается, если дальний красный свет следует сразу же за облучением красным светом (рис. 2Б, 1). При этом, отношение длинноволновой флуоресценции к коротковолновой становится равным 1,0. Однако, дальний красный свет снимает эффект красного света, если за облучением красным светом следует темновой промежуток и при промежутке в 1,0 ч отношение длинноволновой флуоресценции к коротковолновой становится равным 0,26 (рис. 2Б, 2—3), т. е. с таким темновым интервалом наблюдается полное обращение эффекта красного света. Таким образом, красный свет существенно стимулирует процесс развития центров флуоресценции, ответственных за длинноволновую полосу.

Многие стороны морфогенеза хлоропластов, в том числе развитие ряда функциональных проявлений, например, фотофосфорилирования [14] находятся под контролем фитохрома. Результаты действия предосвещения красным светом на развитие замедленной флуоресценции указывают на роль фитохромной системы в формировании функций хлоропласта.

Эффективность красного света убедительно проявляется при анализе миллисекундной замедленной флуоресценций листьев проростков пшеницы (рис. 3). Как видно из приведенных протоколов записи замедленной флуоресценции, облучение красным светом резко стимулирует образование индукционной картины, характерной для кинетики замедленной флуоресценции зеленых листьев. Эффект уменьшается, если за красным светом следует дальний красный свет (рис. 3, 3), и полностью отсутствует у дальнего красного света. Таким образом, обнаружена стимуляция скорости развития замедленной флуоресценции красным светом. Это свидетельствует о том, что развитие замедленной флуоресценции регулируется фитохромом. Безусловно, большой интерес представляет вопрос о том, в какой степени эта регуляция осуществляется независимо и в какой связана с эффектом красного света на развитие длинноволновой флуоресценции.

После стадии быстрого превращенияprotoхлорофилл-голохрома в этиолированном листе наблюдается лаг-фаза в накоплении хлорофилла. При этом происходит новое образование protoхлорофилла, фитолизация вновь образованного хлорофилла а, смещения максимумов в спектрах поглощения и флуоресценции, постепенное снижение чувствительности хлорофилла к фотовыцветанию, синтез каротиноидов, а также структурные изменения мембран этиопластов, приводящие к началу гранообразования.

Перечисленные процессы в своей основе связаны либо с индукцией светом белкового синтеза, либо с изменениями конформационного состояния существовавших до освещения белков. Примером фотоин-

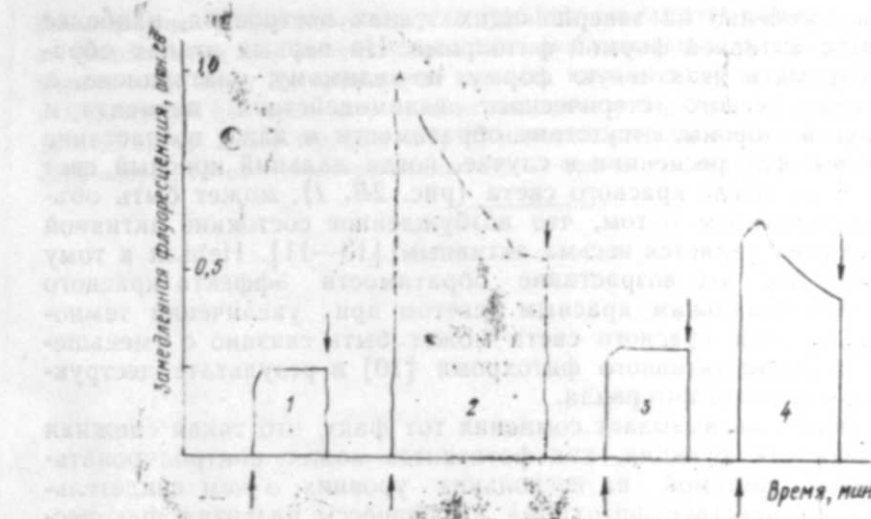


Рис. 3. Влияние освещения красного и дальнего красного света на развитие замедленной флуоресценции этиолированных проростков пшеницы:

1 — контроль II, 166 ч темноты + 4 ч освещения; 2 — 150 ч темноты + 1 мин К+16 ч темноты + 4 ч освещения; 3 — 150 ч темноты + 3 мин ДК+16 ч темноты + 4 ч освещения; 4 — 150 ч темноты + 1 мин К+3 мин ДК+16 ч темноты + 4 ч освещения.

дуцированной перестройки мембран на стадии лаг-фазы может явиться наблюдаемое уже во время Шибатовского сдвига появление длинноволновых агрегированных форм хлорофилла а, описанное в работах [2, 3]. Так как количество хлорофилла а в это время не увеличивается, появление длинноволновых форм пигмента Фрадкина с сотр. [3] связывают с переупаковкой ранее образованных, менее агрегированных его молекул. Поскольку увеличение интенсивности длинноволновой флуоресценции удается регистрировать только после освещения (причем, достаточно всего нескольких секунд освещения), этот процесс рассматривается как одно из проявлений фоторегуляции при формировании пигментной системы фотосинтеза. Данные, приведенные в работе, [3], согласуются с этими выводами. Более того, отсутствие эффекта дальнего красного света, следующего сразу же за красным светом (рис. 2Б, 1), говорит о том, что эффект связан с относительно медленно протекающими конформационными перестройками апоротерхинов, менее агрегированных хлорофилл-белковых комплексов, которые на всем протяжении формирования связаны с активной формой фитохрома. По-видимому, на последнем этапе переупаковки эффективность дальнего красного света становится особенно высокой (рис. 2Б, 2—3). Шлык с сотр. полагают, что фитохром как в зеленеющих, так и в полностью зеленых пластидах регулирует биосинтез protoхлорофилла главным образом, посредством изменения числа активных центров биосинтеза хлорофилла [4, 5, 6]. Действительно, поскольку красный свет действует только на увеличение числа активных центров, мы могли бы не ожидать обратимого действия дальнего красного света, если он следует сразу же за красным светом, так как агрегация могла идти в уже существующих центрах, что и демонстрируется результатами экспериментов (рис. 2Б). По-видимому, процесс формирования актив-

ных центров, особенно на завершающих этапах построения, наиболее тесно связан с активной формой фитохрома. На первых этапах обращение фитохрома в неактивную форму, по-видимому, затруднено, в силу, возможно, тесного стерического взаимодействия пигмента и белка. С другой стороны, отсутствие обратимости и даже возрастание длинноволновой флуоресценции в случае, когда дальний красный свет следует сразу же после красного света (рис. 2В, 1), может быть объяснено предположением о том, что возбужденное состояние активной формы фитохрома является весьма активным [13—11]. Нельзя к тому же исключать то, что возрастание обратимости эффекта красного света освещением дальним красным светом при увеличении темнового интервала после красного света может быть связано с уменьшением общего уровня активного фитохрома [10] в результате деструкции в период темнового интервала.

Тем не менее, не вызывает сомнения тот факт, что такая сложная взаимодействующая функция, как фотосинтез может контролироваться фитохромной системой на нескольких уровнях, о чем свидетельствует, вероятно, действие фитохрома на процессы развития флуоресцирующих центров и развития замедленной флуоресценции хлоропласта.

## Литература

1. Абилов З. К., Литвин Ф. Ф., Гасанов Р. А. Матер. I Закав. конф. по физиологии растений. — Баку: Изд. АН Азерб. ССР, 1967.
  2. Абилов З. К., Абуталыбов М. Г., Гасанов Р. А. Биосинтез агрегированных форм хлорофилла/XII Межд. бот. конгресс. Тез. докл. — Л., 1975, с. 417.
  3. Фрадкин Л. И., Калинина Л. М., Мордачова Т. С. — В сб.: Хлорофилл. — Минск: Наука и техника, 1974.
  4. Шлык А. А., Шевчук С. Н., Гапоненко В. Н. — Докл. АН СССР, 1974, 215, 1003.
  5. Шлык А. А., Шевчук С. Н., Прудникова Н. В., Савченко Г. Е., Авверина Н. Т., Костюк Н. Н., Парамонова Т. К. — Изв. АН СССР, 1976, № 1, 101.
  6. Шлык А. А., Савченко Г. Е., Станишевская Е. М., Шевчук С. Н., Гапоненко В. Н., Готих О. Л. — Докл. АН СССР, 1966, 171, 1443.
  7. Abilov Z. K., Gasanov R. A. — In: 5-th Ann. Meeting American Soc. Phisiobiol., Abstracts, Puerto Rico, 1977, FAM-05.
  8. Boardman N. K. — In: The Chlorophylls L. P. Vernon, G. R. Seely, eds. N. Y. — L. Acad. Press, 1966, p. 437.
  9. Boardman N. K., Anderson J. M., Kahn A., Thorne S. W., Treffry T. E. — In: Autonomy and Biogenesis of Mitochondria and Chloroplasts: North-Holland Publ., Co., 1971, p. 70.
  10. Holowinsky A. H., Seiff J. A. — Plant Physiol., 1970, 45, p. 339.
  11. Binschitz H., Kasbe V. — Proc. Nat. Acad. Sci. USA, 1967, 58, p. 1059.
  12. Matorin D. N., Venedictov P. S., Gasbimov R. M., Rubin A. B. — Photosynthetica, 1976, 10, p. 266.
  13. Mohr H. — Naturwiss. Rundschau, 1970, 23, p. 187.
  14. Oelze-Karow H., Mohr H. — Photochem. Photobiol., 1973, 18, 319.
  15. Raven C. W. — In: Chlorophyll Formation and Phytochrome/A. Weissman, ed., Zembla Wageningen, 1973.
  16. Von Weitstein D., Henningsen K. W., Roynat J. S., Cannegara I. C., Neelcon O. T. — In: Autonomy and Biogenesis of Mitochondria and Chloroplasts: North-Holland Publ., Co., 1971, p. 205.

Б. Э. Курдов, Р. Э. Ыссано

ЕТИОЛАЭ ОЛУМУШ БҮГДА ЧҮЧЭРТИЛЭРИНДЭКИ ХЛОРОПЛАСТЛАРДА  
ФЛЮРЕСЦЕНСИЯ МЭРКЭЗЛЭРИНИН ФОРМАЛАШМАСЫНА ФИТОХРОМ  
СИСТЕМИНИН ТЭСИРИ

Анарылыш тәдгигат ишлөрінде етнола олунмуш бұғда чүчәртиләркә 1—5 дәг мүддәттінде импульс гырмызы (-650 нм) және узаг гырмызы (720) ишығын тә'сири ежелгінен көбінесе анықталған.

рәйнілмешdir. Мүәjжөн едилмишdir кi, гырмізы ишyгла узаг гырмымыз ишyгдан фәрғи олараг үмуми флуоресценсијанын, һемчинин узуудалғалы флуоресансијанын артмасына сәбәп olур. Бу эффект узаг гырмымыз ишyгла тә'сир едилдикдә иәникi ашағы дүшүр, мүәjжөн һалларда, әкәр бу ишyгландырмалар бир-биринин ардыңча апарыларса, даһа да артыр. Дикәр тәрәфдән әкәр бу ишyгландырмалар арасында гаранлыг мүддәтләри оларса, 1,5 saat гаранлыг мүддәттінде бу эффект там арадан жетүрүлүр.

Э. М. МЭСИЕВ

## АБШЕРОН ШЭРАИТИНДЭ ГАФГАЗ ХУРМАСЫНЫН БЭ'ЗИ БИОЛОЖИ ХҮСУСИЙЛЭТЛЭРИ

*Азэрбајҹан ССР ЕА Ботаника Институту*

Гафгаз хурмасынын бөјүмәсинэ вэ органларында азотлу маддэләрин вэ сулукарбонларын мигдарынын дэйшишмэсийн торпаг нэмлийнин вэ минерал күбрэлэри тэ'сири ёжрэнэйлмишдир. Тэдгигатын иэтчэсийн мэ'лум олмушдур ки, торпагын умуми сутутумунун 60%-э гэдэр нэмлийд бечэрилэн Гафгаз хурмасы битки органларында 40% нэмлийд бечэрийнэ аисбетэн азот, фосфор вэ калий күбрэлэри алмыш биткилээрэ контрола иисбетэн азотлу маддэләрин, хүсусилэ зүлали азотун вэ сэрбэст амин туршууларынын синтези сүр'этлэнир, маддэлэр мүбадилэсийн яхшылашыр ки, бу да вэ нөвбэсийнде биткидэ бөјүмэ просесийн интенсив кетмэсийн тэ'мини едир.

Хурма чинсинин (*Diospyros*) тропик вэ субтропик өлкэлээрдэ 200 нэвүү тэбии яјылмышдыр. Бунлардан ССРИ-дэ ябаны налда яланыз бир нөвүүнэ—Гафгаз хурмасына (*D. lotus* L.) Талышда (Азэрбајҹан ССР-дэ) вэ Ыссар дағында (Орта Асијада) тэсадуф едилр Х. Гулиеванын [7] мэгэлэсийнде Гафгаз хурмасынын ёрөнилмэ тарихи, тэбиэтдэ вэ културада яјылмасы, биологииасы, халг тэсэррүфатында эхэмийжэти вэ с. барэдэ кениш мэ'лумат верилмишдир.

Гафгаз хурмасы Талышда ашағы вэ орта мешэ гуршагларында дээни сээзијэсийнде 600—800 м јүксэкликтэ яјылмышдыр. Жетишмиш мејвэси тээвэ вэ гурдуулмуш налда јејилир. Ондан дошаб назырланыр. Азэрбајҹанда Гафгаз хурмасынын бечэрилмэ тарихинин гэдим олмасына бахмајараг өдэбийжатда мэ'лумат чох аздыр. Бу чөхтдэн Й. Дадашовун [3] Азэрбајҹанын дүзэн рајонларында суварма шэраитиндэ апардыгы тэдгигат иши чох мараглыдыр.

Мэ'лумдур ки, агач нөвлөринин бөјүмәси дахили просеслэри вэ харичи амиллэри гаршылыглы элагэсийнде асылыдыр. Харичи амиллэри низама салмагла биткидэ кедэн һәјаты просеслэри мүэjjэн гэдэр истенилэн истигамэтэ јөнэлтмэк, онларын бөјүмәсийн сүр'этлэндирмэк вэ мэхсулдаарлыгыны артырмаг олар. Абшерон шэраитиндэ торпаг нэмлийн гидаа режими агачларын бөјүмәсийн тэ'сир едэн мүхүм амиллэдэндир. Өдэбийжатда торпаг нэмлийнин агач чинслэрийнин бөјүмәсийн тэ'сири барада мүэjjэн гэдэр мэ'лумат вардыр [2, 6, 8, 10, 14]. Лакин үзви вэ минерал күбрэлэри мешэ тэсэррүфатында истифадэ едилмэсийн барада мэ'луматлар демэк олар ки, юх дэрэчэсийндэдир. Бүтүн бунлары нэзэрэ аларыг Абшерон шэраитиндэ Гафгаз хурмасынын өкилиб вэ бечэрилмэсийн, бөјүмәсийн вэ онда кедэн бэ'зи һәјаты просеслэрэ торпаг нэмлийнин вэ минерал элементлэри тэ'сиринэ даир тэдгигат апармағы гаршымында мэгсэд гојдуг.

Тэчрубо векетасија евийнде вэ тарла шэраитиндэ апарылмышдыр. Векетасија уни шэраитиндэ 15 кг-лыг Вагнер габлары бағын шум гатындан көтүрүлмүш торпагла долдуулмушдур. Габларда Гафгаз хурмасынын икииллик тинклэри өкилмишдир. Бунларын бир группуна 1

кг торпага үмуми фон оларыг башлангыч һесабы илэ  $N_{100} P_{100} K_{50}$  мг аммониум шорасы, суперфосфат вэ калий-хлор шэклиндэ верилмиш вэ торпагын үмуми сутутумунун 40 (минимал) вэ 60 (оптимал) %-э гэдэри нэмлийд бечэрилмишдир.

Икиничи групп биткилэри исэ яланыз оптимал нэмлийд бечэрилмишдир. Бунларын бир гисминэ  $N_{100} P_{100} K_{50}$  мг һесабы илэ 1 кг торпага верилмишдир. Дикэр гисми исэ контрол (кубрэсиз) көтүрүлмүшдүр.

Тарла шэраитиндэ 4 вэ 10 яшлы Гафгаз хурмасынын тэчрубо биткилэрийнэ минерал элементлээр  $N_{60} P_{60} K_{30}$  кг/га башлангыч һесабы илэ верилмишдир. Бу шэраитдэ тэчрубо вэ контрол биткилэри торпагын үмуми сутутумунун тэхминэн 55—60%-э гэдэри нэмлийд бечэрилмишдир.

Гафгаз хурмасы органларында гуру маддэнийн мигдары онлары 105°C-дэ сабит чэкијэ гэдэр гуртмагла, биткинин диаметрэ вэ һүндүрлүжэ көрэ иллэг артымы В. В. Смирновун [13], феноложи мүшэхэндэлэри исэ Б. И. Иваненконун [5] тэклиф етди үсүлла ёрөнилмишдир. Үмуми азотун мигдары Келдалын, зулали азотун мигдары Барнштейни [4], сэрбэст амин туршуулары Т. Ф. Андреева вэ О. П. Осипованын [11], шэкэрлэри исэ О. А. Павлованын [9] үсүл илэ тэ'жин едилмишдир.

Апарылмыш тэдгигатдан мэ'лум олмушдур ки, Гафгаз хурмасы тохумунун чүчэрмэ вахты вэ %-и сэпин вахтындан асылы олмур. Лэнкэран рајонунун ашағы мешэ гуршагындан тээз յыгылмыш тохум нэмийн пајзында вэ сонракы илин еркэн язында ачыг шэраитдэ сэпилмишдир. Һэр ики вахтда, сэпилмиш тохум апрел аянын ахырындан мај аянын биринчи онкүнлүжүнэ гэдэр чүчэрмэшдир. Чүчэрмэ 97%-э бэрэ рабэр олмушдур. Чүчэртилээр көлкөлэндирмэшдир. Буна бахмајараг ярпагларын кэнарында яанма-гурума мүшэхэндэ едилмишдир. Чүчэртилэрийн 64,23%-и биринчи илин сонуна галмышдыр. Тохумдан алыныш бу биткилэрийн яшдан асылы оларыг диаметрэ вэ һүндүрлүжэ көрэ иллэг артымын 1-чи чэдэвэлийн рэгэмлэрийн аждын көрмэк олар. Бир гајда оларыг 1—3 яшлы биткилээрэ (бэ'зи мүстэсна һал нэзэрэ алынмазса) яш артдыгча бөјүмэ интенсивлиji дэ артыр.

Гафгаз хурмасынын яшлы биткилэри апарылмыш өлчүлээр көстэрмишдир ки, яан будагларын эмэлэ кэлмэсийн илэ әлагэдэр оларыг һүндүрлүжэ көрэ иллэг артым сонракы иллээрэ бир гэдэр азалыр.

1-чи чэдэвэл

Гафгаз хурмасынын яшдан асылы оларыг бөјүмәсийн көстэрчилийн

Биткинин яшы, иллэ	Диаметр, мм-лэ			Нүндүрлүк, см-лэ		
	Мак.	Мин.	Орта	Мак.	Мин.	Орта
1	5,9	3,8	4,8	39,0	20,0	28,2
2	7,5	5,9	6,6	26,0	19,0	23,0
3	8,0	6,8	7,3	79,0	53,0	70,0

Биткилэрийн бөјүмәси онларын көк системинин инкишафы илэ дэ әлагэдэрдүр. Биряшлы биткилэрийн көкү орта һесабла торпагын 36 см дэрийлийн чатыр, яаялма диаметри 56 см, навада гуру чэкиси 7,3 г олур. Бунун эксэрийжэти (6,7 г) гејри-фээл-склет көкүн пајына дүшүр.

Һәчми исә 3 см<sup>3</sup> олур. Јаш артдыгча фәал көклә гејри-фәал көкүн бу нисбәти дәјишир.

2-чи чәдвәлдә торпаг нәмлијинин Гафгаз хурмасынын бөјүмәсінә тә'сири верилмишdir. Тәчрубы апарылан заман һәр ики нәмликдә әкілмиш тинкләрин көкүнүн һәчми, көвдәнин диаметри вә биткинин һүндүрүүj тәхминән ejni олмушудur. Соңракы өлчүләр көстәрир ки, ejni вахт әрзинде мұхтәлиф торпаг нәмлијиндә биткиләр бөјүмәжә көрә кәскин фәргләнир. Оптимал (60 %) торпаг нәмлијиндә бечәрилән биткиләрдә бөјүмә минимал нәмликдә (40 %) бечәрилән биткиjә нисбәтен интенсив кедир. Буну сонунчу дәфә апарылмыш өлчүләрдән алымыш рәгемләрни мугайисесиндән даһа айдан көрмәк олар.

Торпагда сујун мигдары биткиләрин гида маддәләринин мәнимсәнилмәсінә бөյүк тә'сири көстәрир. Минерал күбрәләр бу вә ja дикәр битки тәрәфиндән жалныз оптимал торпаг нәмлији шәрәитиндә еффектли истифадә олуна биләр [11]. Векетасија еви вә тарла шәрәитиндә апарылмыш тәчрубыләр көстәрмишdir ки, азот, фосфор вә калиум күбрәләри оптимал торпаг нәмлијиндә Гафгаз хурмасынын бөјүмәсini нәзәре чарпачаг дәрәчәдә сүр'этләндирir. Векетасија габларында оптимал нәмликдә бечәрилән Гафгаз хурмасынын контрол вә тәчрубы биткиләринин ики aj, әрзинде векетатив органларынын өлчүсүнүн артыма көрә фәрги жарпағын гуру чәкисинде 18,09 g, жарпағ саһәсинде 4221,5 см<sup>2</sup>, көкүн һәмминде 50 см<sup>3</sup>, көвдәнин будагларла чәкисинде исә 35,9 g олмушудur. Векетасија еви шәрәитиндә дә мұхтәлиф жашлы биткиләрин бөјүмәсінә азот, фосфор вә калиум елементләринин биркә верилмәси мүсбәт тә'сири едир. Лакин биткинин жашындан асылы олары торпаға ejni мигдар верилмиш бу елементләрин тә'сири мұхтәлиф олур (3-чү чәдвәлә бах).

Контрол биткиләрә нисбәтән 4 жашлы тәчрубы биткиләриндә диаметрә көрә иллик артым демәк олар ки, 21%, һүндүрлүj көрә артым исә 48% артыг олмушудur. Бу көстәричиләр 10 жашлы биткиләрдә мұвағиғ олараг 166 вә 233%-е бәрабәрdir. Бу да торпаға верилмиш ejni мигдар минерал маддәләрин 10 жашлы биткиләрин инициаф етмиш гүвәтли көк системи васитәсилә даһа чох мәнимсәнилмәси илә изаһ едилмәнидир. Гафгаз хурмасы тәбиэтдә, әсасен, субтропик иглим шәрәиттәнде жајылмышшыр. Онун Абшеронда гејри-әлверишли шәрәиттә уjғунашмасы вә бөјүмәси битки организмидә кедән физиологи вә биокимjеви процессләрин интенсивлијиндән асылыдыr. Бу процессләрин дәјишишмәси илә сых сурәтдә әлагәдардыr. Мә'lумдур ки, үзви бирләшмәләрдән эң мүһимү протоплазманы әсасыны тәшкىл едән зұлали маддәләрdir. Үмумијjәтла, азотлу бирләшмәләр ағачын умуми гуру чәкисинин чох аз ниссесини тәшкىл етмәсина бахмајараг, физиологи нөгтөji-нәзәрдән бөйүк әhәмиjәтә маликдир. Апарылмыш тәчрубыләр көстәрмишdir ки, торпагда сујун мигдарындан, минерал күбрәләрин тә'сириндән асылы олараг Гафгаз хурмасынын жарпағында вә көкүндә азотлу бирләшмәләрин, хүсусила амин туршуларынын синтезинде вә топланмасында бир сыра характер дәјишикликләре тәсадүf едиллир. Истәр минимал вә истәрсә дә оптимал нәмликдә бечәрилмиш Гафгаз хурмасынын жарпағында 12 (лизин, аркинин, аспаракин, серин, глутамин, треонин, пролин, алонин, триптофан, валин, изолејтсин вә лејтсин), көкүндә исә 16 (жарпагда оланлардан әлаавә систин, системин, глитсин вә метионин) сәрбәст амин туршусу мүәjjән едилмишdir. Су гытлығы шәрәиттә жарпагда амин туршуларынын қәмиjәтчә мигдары чох олур. Бу да һәмин вариант биткиләринде һидролиз процессинин үстүн өлмасы нәтиjәсindә зұлалларын

Таблица №3

Гафгаз хурмасынын инициаф тинкләринин бөјүмәсінә торпаг нәмлијинин тә'сири	17.IX									
	h, cm-ке	d, mm-ке	жарпағ	каjын	жарпағ	каjын	жарпағ	каjын	жарпағ	каjын
2.VII										
3.V										

3-му мәдзел  
Тарла шәралтнинде 4 ва 10 јашлы Гафгаз хурмасының бејумасынә минерал  
кубрәләрин тә'сири (13 октабр)

Биткини јашы, иллә	Вариантлар	Эсас будагын илләк артымы			
		диаметр		һүндүрлүк	
		мм-лә	%-лә	см-лә	%-лә
4	контрол	6,2±0,3	100	38,2±5,3	100
	NPK	7,5±0,6	120,96	57,0±5,0	148,2
10	контрол	3,66±0,7	100	27,9±2,2	100
	NPK	9,75±1,0	266,39	93,0±7,7	333,33

парчаланмасы илә әлагәдардыр. Азәт, фосфор вә калиум элементләри алыш тәчрубә вә контрол биткиләрин јарпағында вә көкүндә сәрбәст амин туршулары кејфијјәтчә ejni олмушудур (12 әдәд). Истәр јарпагда вә истәрсә дә көкдә амин туршуларының кәмијјәтчә мигдары кубрә верилмиш биткиләрдә хејли артыг олур. Бу фәрг јарпагда 14,49, көкдә исә 56,59%-и тәшкүл етмишdir. Күбрәнин тә'сириндән амин туршуларының мигдарының дәшишмәси көкдә даһа айдын нәзәрә чарпыр. Белә ки, контрол биткиләрә нисбәтән тәчрубә биткиләринин көкүндә сәрбәст амин туршуларының чәми илә јанаши, айры-айры әксәр амин туршуларының мигдары да артыг олур. Јарпагда бу нал мушаһидә олунмур. Тәчрубә биткиләринин јарпағында амин туршуларының чәми контрола нисбәтән артыг олмасына баҳмајараг, треонин, изолејтсин вә глутамин туршуларының мигдары контрол биткиләрин јарпағында даһа чох олур. Күбрә верилмиш биткиләрин көкүндә амин туршуларының чох топланмасыны көкә дахил олан азот вә фосфору тә'сириндән онларын даһа интенсив синтез олмасы вә тәкrap аминләшмәнин сүр'әтле кетмәси илә изаһ етмәк олар.

Мараглыдыр ки, көкдә амин туршуларының мигдары эсас е'тибәрилә алонин, треонин, глутамин туршусуну, хүсусән триптофанын һәсбәни артымы олур. Јарпагда триптофанын мигдары башга амин туршусундан чох олур. Мә'лумдур ки, триптофан биткидә индолсиркә туршусунун синтезини сүр'әтләндирir. Индолсиркә туршусу да ез нөвбәсендә биткини интенсив бејумасынә мүсбәт тәс'ир едир. Күбрә верилмиш Гафгаз хурмасының јарпаг вә көкүндә триптофанын чох топланмасы биткини интенсив бејумасынә себәб олур. Көкә нисбәтән јарпагда амин туршуларының нисбәтән аз топланмасыны, онларын јарпагда зулал системине сәрф олунмасы илә изаһ етмәк олар. Буну зулали азотун мигдарыны ифадә едән рәгемләрдән айдын көрмәк олар. Ијун аյында векетасија еви шәралтнинде апарылыш тә'јинатдан мә'лум олмушудур ки, минимал бечәрилән биткини јарпағында умуми азотун мигдары (2,30%) гејри-зулал азоту (1,28%) несабына оптималь нәмлийнә (60%) NPK элементләри верилмиш биткиләр контрола нисбәтән даһа интенсив бејүйн. Күбрә верилмиш З јашлы биткиләрин эсас будагыларында диаметра көрә артым 1,2—2,0 һүндүрлүјө көрә артым 1,5—2,5 дәфә, 10 јашлы биткиләрдә исә диаметра көрә артым 1,5—2,5, һүндүрлүјө көрә артым 2—3,5 дәфә контрол биткиләрдән артыг олур.

Зулалларын синтезине сәрф олунмасының сүр'әтләнмәси үчүн биткидә енержи мәнбәји олан сулу карбонларын кифајәт гәләр топланмасы да мүһум шәртдир [12].

Тәчрубә нәтичәсендә мүәјжән едилмишdir ки, Гафгаз хурмасының јарпағында һәм һәлл олан шәкәрләrin вә һәм дә нишастанын мигдары 40% нәмлијә (мувағиғ олары 9,99%, 3,62%) нисбәтән 60% нәмлийдә даһа чох олур (11,8%, 4,04%). Көкдә дә ejni ганунаујғунлуг мушаһидә едилмишdir. Көвдә исә нәзәрә чарпачаг фәрг олмамышдыр. Шәкәрләrin вә нишастанын мигдары јармагда чох, көвдә исә аз олур. Көк бу чәһәтдән аралыг мөвгө тәшкүл едир. Кағыз хромотографијасы усулу илә шәкәрләrin кејфијјәт вә кәмијјәт анализи көстәрilmишdir ки, торпаг нәмлийнән асылы олары Гафгаз хурмасының јарпаг вә көкүндә шәкәрләр кејфијјәтчә дәшишмир. Хурманын јарпағында истәр минимал вә истәрсә дә оптималь нәмлийдә малтоза, сахароза, арабиноза вә фруктоза, көкүндә исә фруктозадан башга адлары чәкилән шәкәр формалары мүәјжән едилмишdir. Хурманын јарпаг вә көкүндә һәр икى нәмлийдә эн чох шәкәрләrin эсас һәрәки формасы олан сахароза вә дишәкәрләrin тәркиб һиссәсини тәшкүл едән галактоза топланмышдыр.

Векетасија еви шәралтнинде Гафгаз хурмасының јарпағында NPK элементләринин тә'сиринде сахарозанын (9,02%) несабына һәлл олан шәкәрләrin чәми (11,39%) контролдан (10,59%) артыг олур. Нишастанын мигдарында исә әһәмијјәтли дәшишиклик нәзәрә чарпамышдыр. Көвдә вә көкдә исә әксинә, истәр һәлл олан шәкәрләр вә истәрсә да нишастанын мигдары контрол биткиләрдә устүнлүк тәшкүл етмишdir.

Тарла тәчрубәси көстәрмешdir ки, даһа јашлы (10 ил) биткиләрин бејумә интенсив кедән дөвр (май) шәкәрләrin мигдары контрол битки јарпағында, бејумә зәйфләдикдә исә тәчрубә биткиләринде устүнлүк тәшкүл едир. Буну да тәчрубә биткиләринде шәкәрләrin бејумә просесин интенсив сәрф едилмәсилә әлагәләндирмәк олар.

## Нәтичә

1. Гафгаз хурмасы минимал нәмлијә нисбәтән оптималь торпаг нәмлийнә (60%) NPK элементләри верилмиш биткиләр контрола нисбәтән даһа интенсив бејүйн. Күбрә верилмиш З јашлы биткиләрин эсас будагыларында диаметра көрә артым 1,2—2,0 һүндүрлүјө көрә артым 1,5—2,5 дәфә, 10 јашлы биткиләрдә исә диаметра көрә артым 1,5—2,5, һүндүрлүјө көрә артым 2—3,5 дәфә контрол биткиләрдән артыг олур.

2. Гафгаз хурмасының векетатив органларында минимал нәмлийдә оптималь нәмлијә нисбәтән, көкдә исә јарпага нисбәтән амин туршуларының сајы вә мигдары чох олур. Азот, фосфор вә калиум кубрәләrin тә'сириндән јарпагда 36,06%, көкдә исә 56,53% сәрбәст амин туршуларының мигдары контролдан јүксәк олур.

3. Гафгаз хурмасының јарпағында вә көкүндә малтоза, сахароза, глюкоза, арабиноза вә фруктоза шәкәр формалары та'јин едилмишdir. Эсасен галактоза вә сахароза мигдарча устүнлүк тәшкүл етмишdir. Азот, фосфор вә калиум верилмиш биткиләrin јарпағында вә көкүндә интенсив бејумә кедән вахт һәлл олан шәкәрләrin чәми вә нишастанын мигдары контрол биткидән аз, векетасијаның ахырына дөгүн бејумә зәйфләйн вә дајанан вахт исә әксинә тәчрубә биткидә чох олур.

4. Оптималь торпаг нәмлији вә минерал кубрәләр Гафгаз хурмасында азоттул маддәләрин, хүсусилә зулали азотун вә сәрбәст амин тур-

шуларынын синтезини сүр'этләндирүү, шәкөр мүбадиләсини низама салып. Бунлар да биткидә бөјүмэ просесинин интенсив кетмәсине сәбәп олур.

#### Эдебијат

1. Андреева Т. Ф., Осипова О. П. Количественное определение свободных и связанных аминокислот листьев при помощи хроматографии на бумаге. — В кн.: Методика кол. бумаж. хроматографии сахаров, органических кислот и аминокислот у растений. — М.: Изд-во АН СССР, 1962, с. 59—65.
2. Гусейнов Б. З. Физиология засухоустойчивости древесных пород Апшерона.— Баку: Изд-во АН АзССР, 1960.—с. 218.
3. Дадашев Г. Г. Биология и агротехника выращивания хурмы кавказской в Карабахской степи Азербайджанской ССР. Автореф. дисс.. канд. биол. наук. — Баку: 1967.—17 с.
4. Ермаков А. И., Арасимович В. В., Смирнова-Иконникова И. И., Мурри И. Н. Методы биохимического исследования растений. — М.: Сельхозгиз, 1952.—с. 516.
5. Иваненко Б. И. Фенология древесных и кустарниковых пород. — М.: Сельхозгиз, 1962.—с. 184.
6. Крамер П., Ковалевский Т. Физиология древесных растений. — М.: Гюлесбумиздат, 1963.—с. 627.
7. Кульгева Г. Материалы к изучению кавказской хурмы. — Тр. Ин-та ботаники АН АзССР, Баку: 1964, т. 24, с. 47—56.
8. Максимов Н. А. Избранные работы по засухоустойчивости и зимостойкости растений. — М.: Изд-во АН СССР, т. 1., 1952.—576 с.
9. Павлова О. А. Количественное определение сахаров в растительном материале с применением флюорографии на бумаге. — В кн.: Методика кол. бумаж. хроматографии сахаров, органических кислот и аминокислот у растений. — М.: Изд-во АН СССР, 1962, с. 5—16.
10. Папикян Н. А. Особенности водного режима некоторых древесных и кустарниковых пород в условиях орошаемой полупустыни. — Изв. АН Арм. ССР. Сер. биол. и с.-х. наук, 1957, № 5, с. 41—56.
11. Петинов Н. С. Физиология орошаемой пшеницы. — М., 1959.—543 с.
12. Прянишников Д. Н. Азот в жизни растений в земледелии СССР. — М.: Изд-во АН СССР, 1945, с. 197.
13. Смирнов В. В. Сезонный рост главнейших древесных пород. — М.: Наука, 1964.—165 с.
14. Цельникер Ю. Л. Влияние влажности обыкновенных черноземов на транспирацию древесных пород. — Почвоведение, 1957, № 5, с. 54—62.

А. М. Масиев

#### НЕКОТОРЫЕ ОСОБЕННОСТИ ХУРМЫ КАВКАЗСКОЙ В УСЛОВИЯХ АПШЕРОНА

Приводятся результаты изучения влияния влажности почвы и минеральных удобрений на рост, а также изменение содержания азотистых веществ и углеводов в вегетативных органах хурмы кавказской.

Выяснилось, что растения при оптимальной влажности (60% ПВ) по сравнению с минимальной (40% ПВ), получившие NPK, по сравнению с контрольными растут интенсивнее. Рост верхушечного побега 4-летнего растения, получившего удобрения, превосходит контрольные по диаметру в 1,2—2,0, по высоте в 1,5—2,5 раза, а 10-летнего соответственно — в 1,5—2,5 и 2,0—3,5 раза. В вегетативных органах хурмы кавказской в условиях минимальной влажности по сравнению с оптимальной, в корнях по сравнению с листьями, содержание аминокислоты значительно выше. Совместное внесение в почву азота, фосфора и калия повышает содержание суммы свободных аминокислот в листьях — на 36,06%, в корнях — на 56,69%. В листьях и корнях хурмы кавказской идентифицированы: мальтуза, сахароза, галактоза, глюкоза, арабиноза и фруктоза. Содержание суммы растворимых углеводов и крахмала в листьях и корнях растений, получивших минеральные элементы (NPK), во время интенсивного роста — ниже контроля, а к концу вегетации — во время ослабления роста или прекращения его — наоборот, содержание этих веществ превосходит контроль. Оптимальное водоснабжение и минеральные элементы повышают синтез азотистых веществ, особенно синтез белка и свободных аминокислот, нормализует обмен углеводов в органах хурмы кавказской. Это в свою очередь обеспечивает интенсивный рост растений.

АЗЭРБАЙЧАН ССР ЕЛМЛЭР АКАДЕМИЈАСЫНЫН ХӘБӘРЛӘРИ

Биологија елмлари сериясы, 1985 № 4

ИЗВЕСТИЯ АКАДЕМИИ НАУК АЗЕРБАЙДЖАНСКОЙ ССР

Серия биологических наук, 1985, № 4

УДК 582.949.2:581.134

Э. А. КУРБАНОВ

#### СРАВНИТЕЛЬНОЕ ИЗУЧЕНИЕ УЛЬТРАСТРУКТУРЫ ЗАПАСНЫХ ПИТАТЕЛЬНЫХ ВЕЩЕСТВ ПЕСТИКОВ У НЕКОТОРЫХ ГУБОЦВЕТНЫХ

Институт ботаники им. В. Л. Комарова АН АзССР

На основании цитологических и гистохимических исследований пестиков у представителей родов чебрец и зизифора выявлено сходство ультраструктур клеток их однотипных тканей.

При решении некоторых мало изученных вопросов, касающихся значения запасных питательных веществ в формирующихся генеративных органах, большую роль могут играть данные по сравнительной цитоморфологии и гистохимии, проведенные с помощью световой и электронной микроскопии. Такого рода исследования осуществлены нами в пыльниках [4].

В качестве объектов изучения нами взяты: чебрец карамарьянский (*Thymus karamarjamicus* Klok. et Shost.) и зизифора Биберштейна (*Ziziphora Biebersteiniana* A. Grossh.).

Пестики этих растений в период заложения апекса и до окончания фенофазы цветка — цветение фиксировали по Карниу (6:3:1 — спирт этиловый 100%, хлороформ, ледяная уксусная кислота) и по Навашину (10:4:1 — 1%-ная хромовая кислота, 40%-ный формалин, ледяная уксусная кислота). Гистохимический анализ проводили и на нефиксированном материале пестиков, из которых на ротационном микротоме готовили срезы 30—60 мкм толщины.

Постоянные препараты окрашивали кристалл-виолетом по Ньютону с покраской метиловым зеленым — пиронином по Унна или основным фуксином (реакция Шик), а временные — раствором Люголя. Крахмал определяли в поляризованном свете с помощью призм Николя (микроскоп МББ-1, ув. 7×1, 1×90\*). Липиды обнаруживали окраской 1%-ным спиртовым раствором судана IV [1] и ацето-железо-гематоксилином [5, 6], а каротиноиды —  $H_2SO_4$  [9]. Количество оценку распределения запасных питательных веществ в тканях пестика устанавливали визуально в условных единицах по трехбалльной системе, в соответствии с интенсивностью окраски, обусловленной гистохимическими реакциями, подобными таковым же в тканях пыльника.

Фиксацию материала для электронно-микроскопического исследования тканей пестика, дальнейшую обработку его, приготовление препаратов, анализ и фотографирование проводили как и при изучении тканей пыльника [4].

Работа выполнена в 1981—1983 гг. в лаборатории цитоэмбриологии Института ботаники АН Азербайджанской ССР.

В связи со сходством динамики и локализации запасных пита-

тельных веществ при формировании однотипных тканей пестиков у изучаемых нами растений приводим общее описание их морфологических и гистохимических изменений.

Наши исследованиями установлено, что морфобиологические стадии развития тканей пестика и семяпочки у исследуемых растений в основном проходят сходно. Формирование генеративных органов у чебреца карамарьямского протекает быстрее в течение двух, а у зизифоры Биберштейна двух с половиной месяцев [2, 3].

С помощью световой микроскопии установлено, что изучаемые нами растения к моменту оплодотворения содержат в ложночетырехгнездной завязи *Polygonum* типа зародышевый мешок (рис. 1). Характерными особенностями его являются грушевидной формы яйцеклетка и

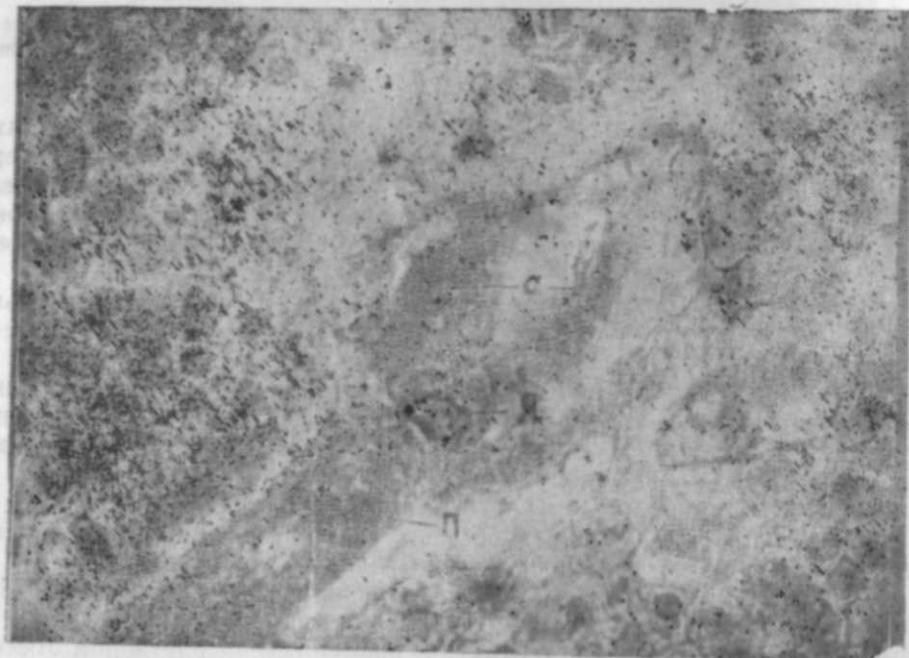


Рис. 1. Зрелый зародышевый мешок чебреца карамарьямского: С — клетки синергид; Я — яйцеклетка; П — полярные ядра. Окраска гематоксилином по Гейденгайну (микроскоп МБИ-6,  $\times 100$ ).

синергиды со слабо выраженным фибрillярным аппаратом, очень крупная центральная клетка с ядром, расположенным у границы средней и халазальной частей зародышевого мешка, эфемерные антиподы, дегенерирующие вскоре после двойного оплодотворения. Формирование зародышевых мешков в семяпочках может проходить асинхронно.

Нами установлено, что сформированные семиклеточные зародышевые мешки чебреца и зизифоры булавовидной формы. Поскольку морфология зародышевого мешка является систематическим признаком [7], здесь уместно будет предположить, что женский гаметофит чебреца карамарьямского в филогенетическом отношении следует отнести к более продвинувшимся в семействе губоцветных формам.

Визуальные наблюдения свежесобранного, подготовляемого к фиксации цитоэмбриологического материала показали, что пестики изучаемых нами растений семейства губоцветных, начиная от момента заложения до образования одноядерного женского гаметофита, имеют светло-зеленую окраску, которая, как и в окружающих его вегетативных частях цветка, обусловлена наличием в его цитоплазме хлоропластов.

В период формирования женского гаметофита пестик приобретает молочно-белую окраску. По-видимому, в этот период формирования пестика изменяются какие-то физиологико-биохимические условия, поэтому пластиды не образуют хлорофилла.

Гистохимическими исследованиями на полисахариды выявлено, что в период премейотической и мейотической стадии развития семяпочки в клетках основания завязи имеются пропластиды. Это подтверждается и данными электронной микроскопии. В период формирования одно- и двухядерного зародышевого мешка они появляются в еще большем количестве (около 2-х баллов в виде амилопластов) в цитоплазме клеток пушцеллуса, интегументального тапетума и интегумента. Фотосинтетическая деятельность на указанных ранних стадиях формирования пестика тесно связана с притоком пластических питательных веществ из хлорофиллоносных частей растения. В период образования зародышевого мешка синтез запасных питательных веществ пестика, каковыми у исследуемых нами растений являются, судя по их количеству и расположению в тканях, крахмал и липиды с растворенными в них каротиноидами, направлен на синтез полисахаридов. Пластиды пестика в период формирования гаметофитов, вероятно, специализируются по выработке определенных белков (протопластов), а также амилопластов, липидов и растворенных в них каротиноидов. Поскольку реакцией Шика положительно выявляются аминопласти с крахмальными зернами, находящимися в клетках зрелого пестика, особенно изобилующие в клетках интегумента семяпочки, прилегающих к микропиле и к микропилярной части зародышевого мешка, а также в яйцеклетке и центральной части зародышевого мешка, возникает мнение об их участии в сложных процессах оплодотворения, развития зародыша и эндосперма. Весьма интересным и важным для понимания физиологико-биохимической роли запасных питательных веществ пестика является наличие на рыльце зрелого пестика довольно крупных липидных капель, окрашенных суданом IV в желтый цвет характерный для каротиноидов. Мелкие капли липидов наблюдаются в клетках проводящей ткани столбика, сформированной в зародышевом мешке и в клетках интегумента, прилегающих к его микропилярной части.

С помощью электронной микроскопии установлено, что клетки поверхностного слоя рыльца пестика вытянуты в тангенциальном к наружной оболочке клеток направлении (рис. 2). Они имеют электронно-плотную цитоплазму. Органеллами этих клеток являются: крупное ядро с увеличившимся в объеме ядрышком, аппарат Гольджи, представленный диктиосомами, большое число мелких рибосом, сферических тел, лизосом, полисом, митохондрий, липидные глобулы, каналы эндоплазматического ретикулума (КЭПР). Клетки соединены друг с другом с помощью цитоплазматических мостиков или плазмодесм,

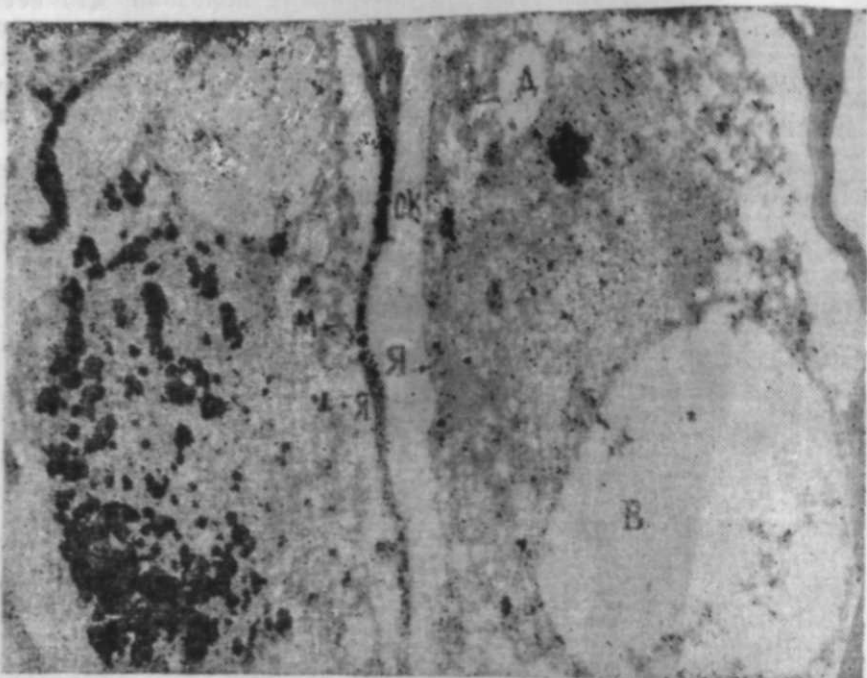


Рис. 2. Ультраструктура клеток участка рыльца чебреца карамарьямского: Я — ядро; В — вакуоль; Д — диксиосомы; М — митохондрии, ОК — оболочка клетки (JEM — 100 В,  $\times 10000$ )

Два субэпидермальных слоя клеток губчатой ткани столбика пестика содержат подобные слою эпидермиса органеллы.

Пластидный аппарат в клетках рыльца и всего пестика представлен некрупными хромопластами и немногими амилопластами. В хромопластах хорошо различима система тилакоидов, собранных в грани, многочисленные сферической формы осмиофильные тела. Внешние оболочки клеток проводниковой ткани столбика извилистые (рис. 3). Клетки столбика имеют удлиненные ядра с электронно-плотной кариоплазмой. Амилопласти содержат единичные крахмальные зерна и липидные включения. Видимо, такая структура питоплазмы клеток столбика создает благоприятные условия для прорастания и нормального продвижения пыльцевой трубки к зародышевому мешку. Клетки столбика, расположенные у верхней части завязи, имеют в цитоплазме много амилопластов со сложными крахмальными зернами (рис. 4), многочисленные диктиосомы, рибосомы, митохондрии, липидные губы, крупные и мелкие сфересомы. Ядерная оболочка связана с каналами ЭПС, посредством которых регулируются обменные процессы между ядром и цитоплазмой. Ядрышко вначале бывает четко различимым. После прохождения пыльцевых трубок прилегающие к ним органеллы цитоплазмы подвергаются деструкции. Клетки столбика из его нижней части богаче структурными элементами, особенно наличием запасных питательных веществ, чем клетки верхней его части.

Исследование ультраструктуры клеток интегумента, расположенных

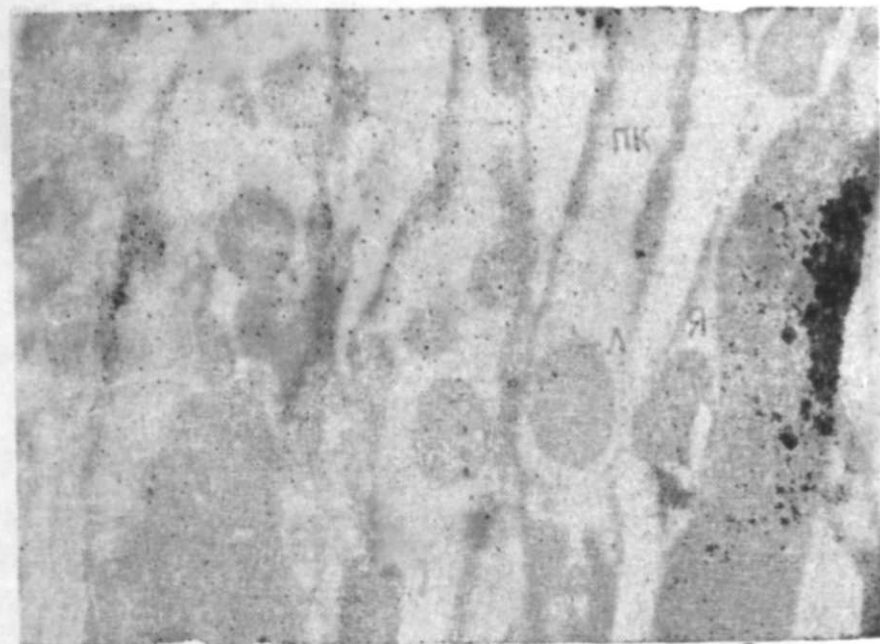


Рис. 3. Ультраструктура просенхиматических клеток столбика пестика зизифоры Биберштейна: ПК — длинные просенхиматические клетки столбика; Л — липиды; Я — ядро с электронно-плотной структурой кариоплазмы (JEM — 100 В,  $\times 10000$ )

ных у микропиле семяпочки, показало, что их цитоплазма пронизана многочисленными каналами эндоплазматического ретикулума. В цитоплазме содержатся вполне развитые пластиды, много пузырьков с однослойными оболочками, сферические тела, многие белковые отложения и др.

Разрастание семяпочки в период формирования женского гаметофита наиболее интенсивное в сравнении с ранними стадиями ее развития.

Однослоистый симпетальный тип нутеллус в семяпочках изучаемых растений дегенерирует к стадии образования четырехядерного зародышевого мешка. В то же время со стадии мейоза в микроспорцитах начинает функционировать интегументальный тапетум. Он дифференцируется к моменту оплодотворения и дегенерирует до образования шаровидной стадии зародыша. В дифференцированных клетках тапетума ядра соединены тяжами цитоплазмы с амилопластами и другими органеллами и клеточной оболочкой. Кариоплазма ядер интегумента электронно-плотная с небольшими вакуолями. Такая структура и амебовидная форма ядер интегументального тапетума, а также двуядерность и многоядрышковость служат показателями их активности, вероятно, связанной с трофическими функциями.

В случаях аномального развития и слабой адсорбции клетками интегумента питательных веществ не наблюдается нормального формирования элементов зародышевого мешка. Процесс оплодотворения в таких зародышевых мешках не совершается и эремы не образуются.

## Литература

- Дженсен У. Ботаническая гистохимия. — М.: Мир. 1965. — 377 с.
- Курбанов Э. А., Касумов Ф. Ю. Онтогенез и динамика накопления эфирного масла чебреца в условиях Ашхерона. — Изв. АН Азерб. ССР. Сер. биол., 1984, 5, 6, с. 3—8.
- Курбанов Э. А. Ультраструктура пыльцы и клетки стенки пыльника у чебреца/Тезисы докладов X Всесоюзной конференции по электронной микроскопии (5—8 октября 1976 г., Ташкент), т. 2. — М., 1976, с. 382—385.
- Курбанов Э. А., Шоферистова Е. Г. Микроскопическое изучение запасных питательных веществ пыльников некоторых губоцветных. — Бюлл. ГБС АН СССР, 1981, вып. 121, с. 92—97.
- Шоферистова Е. Г. К методике окраски хромосом и пыльцы. — Бот. журн., 1973, т. 58, № 7, с. 1011—1012.
- Шоферистова Е. Г. Ацето-железо-гематоксилиновый метод окраски препаратов. — В кн.: Программа и методика селекции плодово-ягодных и орехоплодных культур. Мичуринск, 1980, с. 421—422.
- Савченко М. И. Морфология семяпочки покрытосеменных растений. — Л.: Наука, 1973.— 109 с.
- Чеботарь А. А. Цитоэмбриологическое и электронно-микроскопическое исследование кукурузы (*Zea mays L.*) Автореф. дисс... докт. биол. наук. — Кишинев, 1970. — 57 с.

Е. А. Гурбанов

## БЭЗИ ДОДАГЧИЧЭКИЛЭРИН ДИШИЧИЈИННИН ЕЋТИЈАТ ГИДА МАДДЭЛЭРИНИН УЛТРАСТРУКТУРУНУН МУГАЈИСЭЛИ ӨЈРЭНИЛМЭСИНЭ ДАИР

Абшеронда Гарамэрјэм какликоту вэ Биберштејн даг нанэси биткилэринин интродуксия шэрантинда, дишничилэриндэ ећтијат гида маддэлэринин ултраструктуру мугајисали тэдгиг едилмишдир.

Тэдгиг едил он биткилэрин дишничик вэ јумуртчыг тохумаларынын морфо-биологиж иникишф мэрхэлэлжэри, осасан, ејнијјат тэшкүл едир.

Полисахаридларин һистокимјави тэдгигаты ясож болууманин эзвэл вэ башлангыч дэврлэриндэ, јумуртчыгын иникишф мэрхэлэсэндэ өјрэнэлэн биткилэрин јумурталыгын эзүүлү үүмэжлэриндэ пропластидларин олдуулнуу көстэрий. Електрон микроскопиуда апарылан тэдгигат да бууну таасиг едир.

Мүээжийн едилмишдир ки, дишничийн тохумасынын эсас ећтијат гида маддэсн тозлугда олдуугу кими—нишаста, липид вэ онларда һэлл олуумуш каротиноидлэрдэн ибарэтдир. Күман едилдир ки, онлар мајаланна просесиндэ рүшечм вэ ендосперманын иникишфында бөйжүк өнөмийжтэ малицидирлэр.

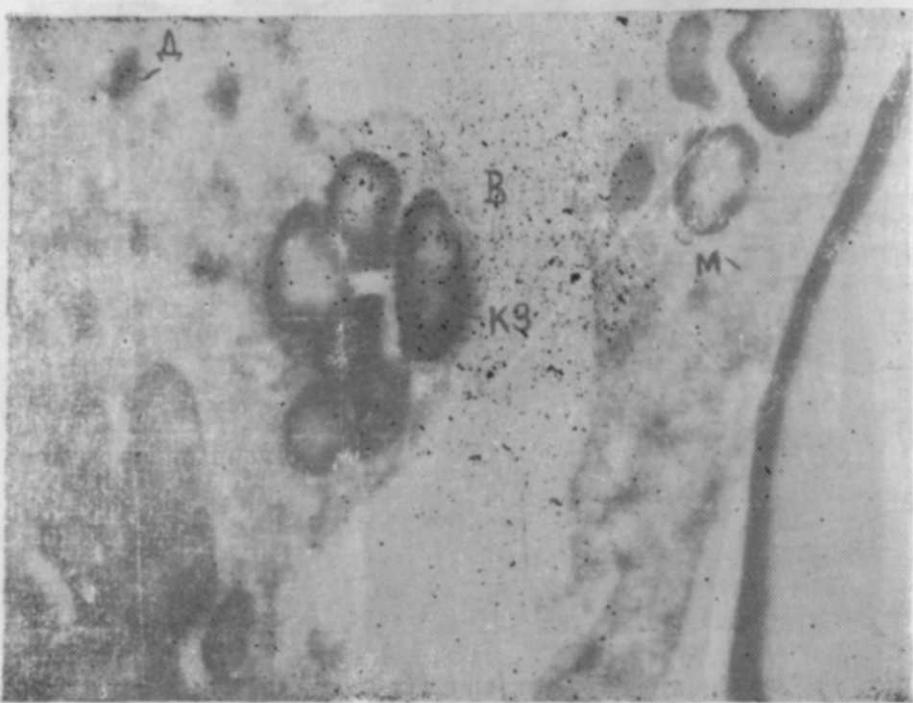


Рис. 4. Ультраструктура клетки столбика чебреца карамарьямского из верхней части завязи: КЗ — амилопласти со сложными крахмальными зернами; В — вакуоль; М — митохондрии; Д — диктиосомы (ЛМ — 100В, ×10000)

Следует отметить, что в клетках интегументального тапетума содержится сравнительно мало цитоплазматических органелл. Ядра имеют хорошо различные небольшие поры. Кристы аппарата Гольджи и митохондрии слабо развиты. Пластиды крупные, хорошо сформированные. Из других органелл имеются мелкие сферические тельца, разбросанные в цитоплазме.

В семиклеточном зародышевом мешке яйцеклетка и центральная клетка содержат электронно-плотную цитоплазму с большим числом митохондрий, каналов ЭПР, соединенных с ядерной оболочкой, высокополиморфные пластиды со сложной системой мембран и крахмальными зернами. В базальной части яйцеклетки имеется многоосьмифильных глобул. По мере созревания яйцеклетки и нейтральной клетки зародышевого мешка, пластидный крахмал подвергается деструкции и увеличивается число липидных глобул. Это указывает на взаимосвязь запасных питательных веществ и их участие в процессе оплодотворения.

В результате сравнительного изучения пестиков у представителей родов чебрец и зизифора выявлено сходство ультраструктуры клеток их однотипных тканей. Установлено, что основными запасными питательными веществами тканей пестика являются, как и в пыльнике, крахмал и липиды с растворенными в них каротиноидами. Предполагается, что они поддерживают определенный гомеостаз в процессе оплодотворения, развития зародыша и эндосперма, как это отмечено и у других растений [8].

J. Ч. ЫССЕНОВ, Р. И. МЭММЭДОВ

## УЧАР ДАЈАГ МӘНТӘГӘСИНДӘ СУВАРЫЛАН БОЗ-ЧӘМӘН ТОРПАГЛАРЫНЫН АГРОФИЗИКИ ХАССАЛӘРИ

*Торпагшунаслыг вә агрокимја институту*

45 илдэн артыг Учар дајаг мәнтәгәсинин тәшкүл олууласына баҳмајараг, бу күнә гәдәр аразинин торпаг физикасы тәдгиг олунмамышдыр. Азәрбайчан ССР ЕА ТАИ-торпаг физика лабораторијасы сон илләрдә дајаг мәнтәгәсинин аразисинде торпаг тәдгигаты иши апармыш вә натичәдә торпагларынын агрофизики хассаләри өјрәнилмишdir.

Сов.ИКП МК-нын 1984-чү ил Октјабр пленуму эсас вәзиғе олараг, халг тәсәррүфатынын бүтүн саһәләри илә јанаши кәнд тәсәррүфатынын да гарышында бөјүк вәзиғеләр гојмушдур. Бу вәзиғеләр эсас е'тибәрилә өлкәмиздә мәңсул боллуғу јаратмаг мәгсәдилә экин саһәләринин кенишләндирilmәси илә бирликтә кәнд тәсәррүфаты биткиләринин мәңсулдарлығыны хејли артырмадан ибарәтдир.

Кәнд тәсәррүфаты биткиләрindән сабит вә јүксәк мәңсул алынмасында торпаг һәлледици рола маликдир. Кәнд тәсәррүфатында эсас истиенсал васитәси олан топагы биз әтрафлы сурәтдә өјрәнмәсек агротехники, күбрәләнмә вә мелиоратив тәдбиirlәри дүзкүн тәтбиг едә билмәрик.

Торпаглардан дүзкүн вә сәмәрәли истифадә етмәк учун онларын агрофизики хассаләринин өјрәнилмәснин бөјүк әһәмийҗети вардыр. Чүнки торпағын агрофизики хассаләрини дәриндән билмәдән дүзкүн агротехники вә агромелиоратив тәдбиirlәр көрмәк гејри-мүмкүндүр. Торпагларынын агрофизики хассаләринин өјрәнилмәснинде тәдгигатчылары [1—9] бөјүк хидмәти олумушдур. Лакин бу ваҳта гәдәр Учар дајаг мәнтәгәсинде суварылан боз-чәмән торпагларынын агрофизики хассаләри өјрәнилмәдијиндән биз бу мәсәләнин арашдырылмасыны гарышызы мәгсәд гојмуштук.

Учар дајаг мәнтәгәсинин аразиси 23 ha олуб, Ширван дүзүнүн мәркәзи ниссесинде јерләшир. Илкин релјефиң эмәлә кәлмәси Күрүн вә Қејчајын аккумулјатив фәалийјетине мә'руз галымышдыр вә эсасен намардыр. Эрази дәнис сәвијјесиндән 12,5—14,5 m һүндүрлүкдә јерләшир. Дајаг мәнтәгәсинин аразисинде коллектор-дренаж шәбәкәси тикилмәжид, грунт суларынын сәвијјәси торпағын сәтнина јахын олуб (2—3 m), минераллашма дәрәчеси зәнифdir (1,3—1,9 g/l). Дузларын тәркибиндә сулфатлар үстүнлүк тәшкүл едир [2]. Суварылан боз-чәмән торпаглары башга торпаг типләрindә морфологи гурулушу чөһәтдән торпаг профилинин нисбәтән аз диорференсансија олунмасы илә фәргләнир. Кәтиримә конуслары вә шлејф саһәләринде јајылмыш суварылан боз-чәмән торпаглар релјеф шәрәнтина, рүтубәтләнмә режимине вә битки өртүүнүн сыхлыгына көрә узви бирләшмәләрә нисбәтән јахшы тә'мин олунмушдур. Торпагларын бә'зи физики-кимјәви тәркибләри мұхтәлиф көркөн тәсәррүфаты биткиләри алтында дәжишир. Памбыг вә тахыл

Тәдигат мејданчысынын тәсәрүфат саңасы:	Даринлик, см-ләр	humus	CO <sub>2</sub>	CaCO <sub>3</sub>	Tha-ma er-%	L <sup>3</sup> PY ralatı %-ja	Alyanysh ekre-za senin M-	CA	MII	Vadimust asas-erlar %	Meh. ter-kisb % -da	0,25 mm-jen sejyk cijja	0,25 mm-jen nıxun	Учар дајаг мәнтәгәсинин торпагларынын физики-кимјәви хассаләри	
														< 0,01	< 0,01
Памбыг	0—25	1,11	34,8	6,16	14,0	26,65	37,5	67,3	28,9	3,8	32,4	69,2	10,5	20,3	
	25—50	0,96	30,0	6,38	14,5	0,76	14,5	62,8	31,0	6,2	29,2	66,8			
	50—100	0,56	34,1	6,65	14,9	0,74	25,6	48,7	45,5	5,8	25,0	64,6			
Юнча	0—25	2,01	67,0	5,05	13,3	0,43	15,6	74,4	19,2	6,40	25,42	75,2			
	25—50	1,01	33,5	6,07	13,8	0,31	21,4	50,0	44,4	5,60	28,2	79,0			
	50—100	0,55	36,1	6,46	14,7	0,45	18,9	61,4	31,7	6,90	23,4	84,0			
Тахыл	0—25	1,46	47,0	6,73	15,3	0,22	16,0	47,5	45,0	7,50	23,0	66,1			
	25—50	0,55	17,7	6,91	15,7	0,21	14,1	52,5	41,1	6,40	20,8	62,6			
	50—100	0,40	23,8	6,64	15,1	0,78	28,5	74,7	21,1	4,20	32,1	85,7			
Хам	0—25	1,90	59,8	6,17	14,0	0,30	13,2	56,8	34,1	9,10	27,2	76,5			
	25—50	0,56	33,0	6,39	14,3	0,28	18,7	53,5	39,0	7,50	27,1	77,3			
	50—100	0,30	19,5	6,46	14,7	0,36	26,3	52,9	42,6	4,5	30,9	83,0			

алтында һумусун мигдары 1,1—1,5% (37,8—47,0 т/га), ашагы 1 м-лик гатда исә 0,40—0,60% (24,0—34,0 т/га) тәшкил едир. Хам вә јонча саһәләринде һумусун мигдары 1,9—2,0% (57,0—60,0 т/га) олуб, ашагы гатларда азалыр.

Калсиум карбонатын мигдары тәдгиг олунмуш кәнд тәсәрүфаты биткиләри алтында 14—15% арасында дәжишәрәк ашагы гатлара дөргү артыр. Памбыг вә тахыл алтында гуру галығын мигдары—0,22—0,78% (0—100 см), јонча вә хам саһәләрдә 0,30—0,48% арасында дәжишир.

Тәсвир едилән саһәләрин торпагларыны удулмуш эсасларла бу вә ја дикәр дәрәчәдә дојмуш несаб етмәк олар. Удулмуш эсасларын чәми 100 г торпагда 16—26 мг. екв-дән артыг дејилдир. Эсасларын 50%-дән соху удулмуш Са вә Мд катионуни несабына дүшүр. Удулмуш натриумун мигдары памбыг саһәсинде (0—100 см) 4,0—6,0% олдуғу налда, јонча, тахыл вә хам саһәләрдә исә удулмуш натриумун мигдары 7,0—9,0% арасында дәжишир. Бу исә суварылан боз-чәмән торпагларын бу вә јадикәр дәрәчәдә шоракәтләшмәснин көстәрир. Суварылан боз-чәмән торпаглар ағыр киличәли вә јүнкүл кишли механизми тәркиблә сәчијјәләнир. Механики тәркибдә тоз һиссәчикләри үстүнлүк тәшкил едир.

Памбыг вә тахыл алтында торпагларда физики кишин мигдары экин гатында 66,1—69,2%, ашагы гатда исә 64,6—85,7% (0—100 см), хам вә јонча саһәләринде 74,2—84,0% арасында дәжишир. Бу торпагларын лил һиссәчикләринин мигдары 25—30% тәшкил едир.

Сујадавамлы агрегат тәркибинә көрә дә бу торпагларын өз хүсүсүйәти вардыр ки, биуу да мұхтәлиф кәнд тәсәрүфаты биткиләри алтында (чәдвәлдә) көрмәк олар. Бурада агрегат тәркибинин эсасыны 1 мм-дән кичик зәрәрләр тәшкил едәрәк торпаг профили үзрә дәжишир 0,25 мм-дән бөйүк агрегатлар памбыг вә тахыл саһәсинде (0—25 см) экин гатында 10,5—14,3% олмагла 50—100 см гатда исә 20,3—22,8%-э чатыр.

Јонча алтында бир м-лик торпаг гатында сујадавамлы 0,25 мм-дән бөйүк агрегатлар орта несабла 26,2%-э бәрабәрдир. Бу торпаглар сујадавамлы агрегатларын мигдарына көрә башга кәнд тәсәрүфаты саһәләринең иисбәтән үстүнлүк тәшкил едир.

Бүтүн дејиләнләрдән белә иетиңә кәлмәк олар ки, бу зонада памбыг үчүн нөвбәли экиндә јонча эн яхшы сәләф олмагла јанаши, торпагын агрофизики хассәләрини яхшылашдырыр вә һәм дә һејвандарлыг үчүн јем базасы јарадыр.

Суварылан боз-чәмән торпаглар Учар дајаг мәнтәгәснин торпаг фондуун әсасыны тәшкил едир. Оптимал агрофизика агротехника вә дүзкүн суварма шәрәнтинде бу торпаглардан јүксек мәһсүл алмаг олар (тахыл 40—45 с/га, памбыг—26—30 с/га).

#### Әдәбијјат

1. Агаев Б. М. Физические свойства почв Северной Мугаии. — Баку, 1956.
2. Бабаев М. П. Почвы Уджарского опорного пункта. — Баку: Элм, 1982.
3. Волобуев В. Р. Экономия почв. — Баку, 1956.
4. Качинский Н. А. Физика почв, ч. 2. — М., 1970.
5. Мамедов Р. Г. Структура почв Азербайджана и пути ее восстановления. — Баку, 1961.
6. Мамедов Р. Г. Агрофизическая характеристика почв Приараксинской поло-сы. — Баку: Элм, 1970.
7. Мамедов Р. Г., Гасанов Ю. Д. — Влияние лесных насаждений на агрофизические свойства сероземно-луговых почв Ширванской степи. — Докл. АН АзССР, XXXII, 1977, № 9.
8. Мамедов Р. Г., Гасанов Ю. Д. — Изменение агрофизических свойств лугово-сероземных почв под различными угодьями. — Изв. АН АзССР, Баку, 1978, № 9.
9. Шихлинский Э. М. Климат Азербайджана. — Баку: Изд. АН Азерб. ССР, 1968.

Ю. Д. Гасанов, Р. Г. Мамедов

#### АГРОФИЗИЧЕСКИЕ СВОЙСТВА ОРОШАЕМЫХ СЕРОЗЕМНО-ЛУГОВЫХ ПОЧВ УДЖАРСКОГО ОПОРНОГО ПУНКТА

Цель и задачи исследования — комплексное изучение агрофизических и физико-химических свойств почв Уджарского опорного пункта. Результаты исследования показали, что механический состав орошаемых сероземно-луговых почв (0—100 см) изменяется от среднеглинистого до тяжелосуглинистого (64—85%).

Содержание агрономически ценных водопрочных агрегатов в пахотном слое колеблется в пределах 11—20%. Эти почвы можно отнести к водопрочным мелко-зернистым и микроагрегатным почвам.

А. Г. КАСЫМОВ, Г. М. ПЯТАКОВА

## РЕЗУЛЬТАТЫ АУТОАККЛИМАТИЗАЦИИ КРАБА *RHITHROPANOPEUS HARRISII TRIDENTATA* (MAITLAND) В КАСПИЙСКОМ МОРЕ

Каспийская биологическая станция Института зоологии АН АзССР

Проникнув в 1958 г. в Каспийское море, голландский крабик-ритропанопеус адаптировался в новом для него водоеме, освоив все свободные экологические ниши на глубинах до 50 см. Выяснены пути расселения краба по Каспию, его количественное распределение в отдельных частях моря, его многолетняя количественная динамика, экологические и морфо-биологические особенности и значение его в биологии Каспийского моря.

Голландский краб-ритропанопеус у атлантического побережья Европы впервые был отмечен в 1874 г. [2]. Проникнув через Средиземное море в Черное море, он впервые был обнаружен в Днепровско-Бугском лимане в 1938 г. [5], а после открытия Волго-Донского канала проник в Каспийское море [6].

Сведения о биологии и экологии краба в Каспийском море имеются лишь в работах [1, 3, 8]. Материалом для настоящей статьи послужили бентические сборы в Каспийском море в 1960—1983 гг.

### Расселение краба в Каспийском море

Первое указание на нахождение краба в Каспийском море около о. Кулалы (Северный Каспий) относится к осени 1958 г. [6]. Из Северного Каспия он распространялся при помощи судов и путем перемещения его личинок большим циклоническим течением, направляющимся с севера на юг вдоль западного побережья Среднего Каспия. Летом 1960 г. краб был обнаружен нами южнее Апшеронского полуострова на глубине 17 м в единственном экземпляре, с биомассой 4,8 г/м<sup>2</sup>. В 1961—1962 гг. частота встречаемости краба на той же акватории значительно возросла (35—42%); он был обнаружен на глубине 100 м. Численность его на разрезе Аляты (глуб. 15 м), достигала 200 экз/м<sup>2</sup>, с биомассой 33,84 г/м<sup>2</sup>.

Таким образом, уже за 1—2 года ареал краба заметно расширился к югу, до Астары включительно. Дальнейшее расширение ареала краба в Каспии происходило вдоль южного берега — по ходу циклонического течения на восток. Подтверждением этого являются результаты исследований 1965—1966 гг.: на востоке Среднего Каспия краб практически отсутствовал — единственный экземпляр его был найден летом 1965 г. на границе Среднего и Южного Каспия, на востоке же Южного Каспия краб встречался неоднократно на разрезах от Тазабата до Окарена. В 1967 г. краб был отмечен также в районе м. Тюб-Караган, т. е. у исходного пункта первого местонахождения его на Каспии. Итак, найдя для себя благоприятные условия в Каспии, краб за 9 лет расселился по всему морю, что подтвердились результатами бентосных съемок последующих лет.

### Количественное распределение краба

**Северный Каспий.** Исследования проводились в 1967 и 1983 гг. на 4 разрезах: Чечень—Сагындык, Тюлений—Шевченко, Волго-Каспийский канал и Жемчужная—Тюб—Караган. В 1967 г. краб был обнаружен на единственной станции в июле и октябре у м. Тюб—Караган (биомасса летом — 15,48, осенью — 62,0 г/м<sup>2</sup>). В 1983 г. биомасса краба в западной части составляла 1,5—79,0 г/м<sup>2</sup>, а в восточной — 0,4—7,0 г/м<sup>2</sup>.

**Средний Каспий.** В западной части моря исследования проводились на 6 разрезах. Количественные данные приведены в табл. 1.

Таблица 1

Изменение биомассы (г/м<sup>2</sup>) краба в западной части Среднего Каспия в 1963—1964 гг.

Разрезы	1963		1964	
	Лето	Осень	Зима	Весна
Артем	21,21	8,87	1,00	0
Амбуран	0,17	0,41	0	0
Сумгайт	0	0	0	0
Дербент	0	0	—	—
Самур	0	0	—	—
Махачкала	0	0	—	—
Среднее	3,56	1,55	0,33	—

Из табл. 1 видно, что на большей части северных разрезов краб отсутствовал, что, по-видимому, связано с рельефом дна. На разрезах Амбуран и Артем краб был обнаружен почти во все сезоны года и биомасса его в некоторых случаях достигала 78,0 г/м<sup>2</sup>.

**В восточной части Среднего Каспия** на акватории от м. Урдюк до м. Куули краб был обнаружен в 1965 г. всего на одной станции разреза Куули (на границе с Южным Каспием), на глубине 30 м, с биомассой 0,1 г/м<sup>2</sup>.

**Южный Каспий.** В западной части моря наблюдения велись от Апшерона до Астары (табл. 2).

Биомасса краба на указанной акватории в различные годы испытывала определенные колебания. Однако за последнее время заметна тенденция к ее увеличению.

**Острова Апшеронского и Бакинского архипелагов.** Малые глубины, хорошая аэрация и прогреваемость воды, пышное развитие фитобентоса благоприятствуют и развитию зообентоса. Краб достигает здесь значительного развития. В 1960—1969 гг. были обследованы прибрежные (до 5 м) зоны островов (табл. 3).

Как видно из табл. 3, в 1967—1968 гг. краб был обнаружен во все сезоны около всех указанных островов, кроме Ханлара. Биомасса его почти везде была невысока, за исключением о. Булла — 21,6 г/м<sup>2</sup>.

**Восточное прибрежье.** Исследования проводились от м. Тазабата до Гасан-Кули (табл. 4). Таким образом, в восточной части Южного

Таблица 2

Изменение биомассы ( $\text{г}/\text{м}^2$ ) краба в западной части Южного Каспия в 1961—1977 гг

Разрезы	1961, лето	1962, средне- годовая	1968, осень	1969, лето	1976		1977, весна
					лето	осень	
Шихово	0	0,85	15,40	1,90	0	2,54	3,15
Аляты	9,96	0	10,49	4,60	2,8	4,55	5,25
Бяндован	5,94	0,24	4,99	5,58	0	—	7,98
Усть-Кура	5,55	0,09	0,56	5,80	0	—	9,80
Куркоса	4,08	1,80	7,10	3,17	—	—	8,25
Ленкорань	3,29	0,80	—	4,14	—	—	—
Астара	2,50	1,57	—	3,47	—	—	—
Среднее	4,48	0,77	7,71	4,09	0,70	3,54	6,88

Таблица 3

Изменение биомассы краба ( $\text{г}/\text{м}^2$ ) у островов Апшеронского и Бакинского архипелагов

Острова	1967				1968			
	Весна	Лето	Осень	Зима	Весна	Лето	Осень	Зима
Нефтяные камни	—	—	0,2	—	—	—	—	—
Жилой	—	—	5,6	—	0,2	1,0	0,4	0,4
Артем	—	—	1,2	0,3	—	—	1,2	—
Ханлар	—	—	—	—	—	—	—	—
Песчаный	—	—	2,5	—	—	—	—	—
Вульф	—	—	1,9	—	—	—	—	—
Наргин	—	—	0,5	—	—	—	—	—
Дуваний	—	0,62	1,36	—	0,13	—	0,96	—
Булла	2,1	1,06	21,6	—	—	6,13	4,35	—
Глиняный	—	0,33	1,0	—	0,64	7,26	1,6	4,3
Лось	—	0,32	0,11	4,0	0,6	4,6	2,37	3,61
Свиной	—	—	4,91	1,7	1,0	5,6	—	6,1
Обливной	—	—	6,08	—	0,2	0,2	0,6	4,04

Таблица 4

Изменение биомассы ( $\text{г}/\text{м}^2$ ) краба в восточной части Южного Каспия в 1966 и 1968 гг.

Разрезы	1966		1968,
	Весна	Осень	
Тазабат	0	0,01	0
Каракель	0	—	0
Огурчинский	0	0,31	3,25
Банка Ульского	5,50	0	—
Окарем	—	0	0,12
Гасан-Кули	0	0	—
Среднее	1,10	0,06	0,84

Каспий краб встречался почти на всех разрезах, а незначительное его количество, возможно, связано с грунтовым режимом.

На Туркменско-Иранской акватории от Гасан-Кули до Ферехабада [4] краб достиг довольно высокого развития — биомасса его зимой 1970 г. была  $11,7 \text{ г}/\text{м}^2$ , весной —  $71,5$  и летом —  $180,7 \text{ г}/\text{м}^2$ .

Заливы Каспийского моря. В Кизлярском заливе краб отсутствует, что очевидно, связано с неблагоприятным для него гидрологическим режимом — опреснением воды.

В Большом Кызылагачском заливе впервые краб был обнаружен в 1966 г., в настоящее время он распространился по всей акватории залива (табл. 5).

Таблица 5

Сезонные изменения краба ( $\text{экз.}/\text{м}^2$ ) в Большом Кызылагачском заливе в 1966—1971 гг.

Годы	Зима	Весна	Лето	Осень	Среднее
1966	0	10	7	—	0,25
1967	3	0,72	0,31	—	0,12
1971	0,10	—	0,06	0,33	—
	—	7	12	80	5,31
	0,13	—	7,3	8,5	—

В 1971 г. краб доминировал среди высших ракообразных залива, составляя 94,6% от их общей биомассы, а судя по данным табл. 5, биомасса его за 5 лет возросла более чем в 20 раз.

В Красноводском заливе краб впервые был отмечен в 1961 г. С тех пор он успешно адаптировался в заливе: в 1972 г. летом краб не был найден, осенью частота его встречаемости составляла 26,6%, при средней биомассе  $8,33 \text{ г}/\text{м}^2$ , а весной — соответственно 93% и  $13,2 \text{ г}/\text{м}^2$ .

В Балханском заливе средняя биомасса краба весной 1972 г. была  $13,18 \text{ г}/\text{м}^2$ , колебаясь от 9,6 до  $17,5 \text{ г}/\text{м}^2$ .

В Южно-Челекенском заливе средняя биомасса краба весной 1972 г. колебалась от 0,1 до  $350,8 \text{ г}/\text{м}^2$ , средняя биомасса —  $40,46 \text{ г}/\text{м}^2$ .

В Туркменском заливе биомасса краба зимой 1973 г. была  $8,36 \text{ г}/\text{м}^2$ , весной —  $4,60$ , летом —  $61,17$  и осенью  $8,40 \text{ г}/\text{м}^2$ , составляя в среднем  $16,8 \text{ г}/\text{м}^2$ . Максимальная биомасса краба была летом  $97,2 \text{ г}/\text{м}^2$ .

#### Биоэкологические особенности

Морфологических отличий каспийской популяции краба от европейских не обнаружено, незначительные вариации размеров и окраски связаны с экологическими особенностями биотопа. Максимальная ширина карапакса, наблюданная нами, — 22 и 25 мм [7], чаще всего (50%) встречаются особи 11—15 мм, свыше 15 мм всего 11%.

Образ жизни краба малоподвижный, активизируется он в ночное время. Дыхание его при температуре воды  $20,5^\circ\text{C}$  интенсивнее днем, потребление кислорода в среднем 0,49, а ночью — 0,44 мг  $\text{O}_2/\text{ч}$  на 1 г веса тела.

По характеру питания, как и в других водоемах, краб всеяден.

Период размножения его в Каспии — с мая по ноябрь, икряные самки встречаются редко. Число икринок у особей весом 0,5 г составляло около 2000, по данным [8] число икринок у каспийской популяции краба варьировало от 1781 до 8610.

Краба можно считать формой мелководного типа, обитающей на глубинах до 30—40 м, оптимально — от 5 до 10 м, молодь — до 0,5 м. Наибольшая глубина обнаружения — 74 м (Куркоса, весна 1962 г., биомасса 0,74 г/м<sup>2</sup>). Максимальная частота встречаемости краба (57%) приходится на глубины до 10 м.

В количественном распределении краба по глубинам наблюдается два пика (табл. 6).

Таблица 6

Изменение средней биомассы краба (г/м<sup>2</sup>) по глубинам в западной части Южного Каспия

Глубина, м	Биомасса, г/м <sup>2</sup>	Глубина, м	Биомасса, г/м <sup>2</sup>
0—10	16,52	31—40	17,50
11—20	13,04	41—50	5,80
21—30	9,11	50	2,49

Краб является эвриэдафичным видом, тем не менее он отдает предпочтение жестким ракушечно-песчаным грунтам. Так, на илистых грунтах средняя биомасса его была 14,2 г/м<sup>2</sup>, на илисто-ракушечных — 9,5 г/м<sup>2</sup>, на илисто-песчаных — 7,46 г/м<sup>2</sup>, на ракушечных — 10,19 г/м<sup>2</sup>, на песчано-ракушечных — 28,5 г/м<sup>2</sup>.

Являясь олигобатной формой, краб способен переносить значительные температурные амплитуды. В Каспии краб встречался при температуре от 5,6 до 28,0°C, температурный оптимум, по-видимому, около 15—20°C.

Роль ритропанопеуса в биологическом круговороте двояка. С одной стороны, за счет краба каспийская ихтиофауна расширила свой пищевой рацион, с другой стороны, краб стал серьезным пищевым конкурентом промысловых рыб. Уменьшение за последнее время количества автохтонных ракообразных является, вероятно, не только результатом воздействия антропогенных факторов, но и следствием выведения их крабом.

На основании изложенного можно заключить, что краб в условиях Каспийского моря успешно прижился и распространился почти по всей акватории Каспия. Он играет небольшую роль в пище промысловых рыб, но наносит значительный ущерб кормовой базе рыб, поедая ценных кормовых животных.

Литература

- Алиев А. Д., Пятакова Г. М. Видовой состав и распространение зообентоса Среднего Каспия. — В сб.: Биология Среднего и Южного Каспия. М.: Наука, 1968. 80—104.
- Зевина Г. Б. Биоценозы обрастания на Каспийском море и их изменения связанные с вселением новых организмов. — В сб.: Изменение биоценозов на Каспийском море за последнее десятилетие. М.: Наука, 1965. 200—212.
- Касымов А. Г., Багиров Р. М. Биология современного Каспия. Баку: 1983.—154 с.

- Касымов А. Г., Багиров Р. М., Филлипов Г. М. Бентос у юго-восточного побережья Каспийского моря. — Зоол. журн., 1974, т. LIII, вып. 3, 454—456.
- Мордухай-Болтовской Ф. Д. Обрастания голландского крабика. — Природа, 1958, № 9, 112—113.
- Небольсина Т. К. Краб в Каспийском море. — Природа, 1959. № 6, 116—117.
- Резниченко О. Г. Трансокеанская аутоакклиматизация ритропанопеуса (*Rhitropanopeus harrisii*, Crustacea, Brachyura). — Ин-та океанол. АН СССР. т. LXXX 1967, 136—177. Труды.
- Эпштейн Б. М. Краб в Среднем и Южном Каспии. — Труды ЦНИОРХ, т. III, 1971, 345—354.

Э. Н. Гасымов, Г. М. Пятакова

ХЭЗЭР ДЭНИЗИНДА RHITRO PANOP EUS HARRISII TRIDENTATA (MAITLAND) ЖЕНКЭЧИНИН АУТОИГЛИМЛЭШМЭСИНИН НЭТИЧЭЛЭРИ

Нидерланды яenkéchi Хэзэр дэнизиинэ илк дэфэ өзбашына 1958-чи илдээ кэлмишдир. Бир нечэ ил мүддэтиндэ Хэзэрин бутун саңаларинэ яаылмыш вэ онун экологи мүһитийн ујгууламышдыр. Назырда о, дэнизиин 0—50 м дэринилиндэ яшајыр, лакин онун максималь инкишафына, аласан Бакы вэ Абшерон архипелагы адаларынын саңилларинде лэ гидаланмагла балыгларын јем базасына бөјүк зијан вурур.

УДК 595.799/471.61

Л. М. РЗАЕВА

## ПАРАЗИТЫ И ХИЩНИКИ ВИНОГРАДНОГО МУЧНИСТОГО ЧЕРВЕЦА (*PLANOCOCCUS FICUS SIGNORET.*) И ИНТРОДУКЦИЯ НОВЫХ ЭНТОМОФАГОВ В ВОСТОЧНОЕ ЗАКАВКАЗЬЕ

Институт зоологии АН АзССР

В работе приводится комплекс местных паразитов и хищников виноградного червеца и указывается их роль в подавлении численности данного вредителя. Приводятся также результаты акклиматизации трех видов энтомофагов, используемых в подавлении численности виноградного червеца.

Виноградный червей сильно вредит многим плодовым и декоративным растениям. В Восточном Закавказье он имеет широкое распространение и, периодично интенсивно размножаясь, наносит серьезный ущерб виноградарству [12, 16, 18, 21].

Виноградный червей ведет скрытый образ жизни и обладает муническим покровом, благодаря чему химический метод борьбы против этого вредителя недостаточно эффективен. Для разработки биологического метода борьбы с этим вредителем необходимо выяснение его географического распространения, фенологии развития для каждой природной зоны и значение местных паразитов и хищников в подавлении его численности. В Восточном Закавказье виноградный червей распространен в Прикуриńskiej низменности, предгорном, среднегорном поясах Большого, Малого Кавказа и Талыша [16, 18, 20, 21].

В Кировабад-Казахской зоне и на Апшероне червей в году развивается в 4-х поколениях [20]. Наши девяностилетние исследования показали, что на Апшероне вредитель развивается в 4-х поколениях, в центральных районах Прикуринской низменности (Ждановск, Сабирабад, Сальяны и др. районы) в 5-ти поколениях, а в горном Ширване (Шемаха), Хачмасском районе в 3-х поколениях. Исключение составляют годы с прохладными периодами в августе и сентябре, когда количество генераций в каждой из указанных зон на одну сокращается.

К настоящему времени виноградный червей в Восточном Закавказье относится к одному из основных вредителей лозы. По нашим наблюдениям, в плантациях возраста более 15 лет численность вредителя соответствует третьему баллу. На молодых плантациях лозы червей встречается локальными очагами и по численности соответствует 1—2 баллам.

Несмотря на то, что в последние 50 лет ведется большая работа по изысканию эффективных химических и агротехнических методов борьбы с этим вредителем, существенных успехов не было достигнуто [3, 4, 8, 9, 12].

В связи с этим проводились исследования и по разработке биологического метода борьбы с *P. ficus*. Эта работа проводилась как п-

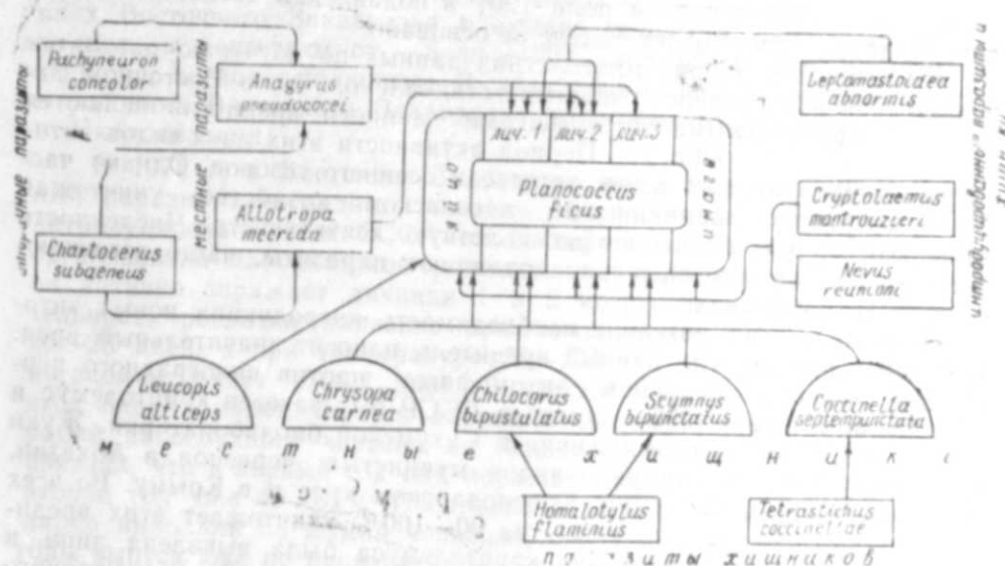
тем выявления паразитов и хищников вредителя в отдельных регионах, так и завозом перспективных энтомофагов вредителя.

Впервые в Сицилии в 1913 г. был обнаружен характерный паразит виноградного червеца *Epidinococcus pseudococcii* [26]. В дальнейшем этот паразит под названием *A. pseudococcii* был выявлен во многих странах мира: СССР, Китае, Аргентине, Италии, Израиле и др. [10, 13, 14, 24, 25, 27, 28].

Имеются сведения о паразитах и хищниках виноградного червеца в Крыму, Грузии, Узбекистане, Туркмении [1, 5, 11, 15, 17, 19, 23].

Исследованиями, проведенными в Азербайджане в 1930—1950 гг., были выявлены первичные и вторичные паразиты и хищники этого вредителя (*Pachyneuron coccorum*, *Isostasium* sp., *Perissopterus lebra* Kurd., *Anagyrus bohemoni* Westw. и т. д.) [12, 16, 18]. Однако значение этих энтомофагов в подавлении численности червеца не было исследовано.

В связи с бурным развитием виноградарства в Восточном Закавказье и возникающей необходимостью усовершенствования методов борьбы с ними с 1965 г. по настоящее время в разных природных зонах нами выявились местные паразиты и хищники этого вредителя (рисунок).



Паразиты и хищники виноградного червеца в Восточном Закавказье

Исследования показали, что здесь основным паразитом, в какой-то степени сдерживающим численность *P. ficus*, является *A. pseudococcii*. А второй паразит *A. mecrida* имеет низкую численность, встречается редко и поэтому практического значения в регуляции численности вредителя не имеет.

Установлено, что численность и встречаемость *A. pseudococcii* в зависимости от сезонов года и особенностей плантации и проводимых химических обработок сильно меняется (таблица).

Мнение о том, что местные виды паразитов и хищников в этом

Численное соотношение энтомофагов в разных поколениях р1. *Necus*  
(Ждановский район). Мильтский виноградный совхоз в 1976—1980 гг.

Поколение червеца	Сроки исслед.	Общее кол-во исслед. лоз	Количество червецов, отобранных для выведе- ния парази- тов.	Процент паразитирова- ния энтомофагами	
				<i>P. pseudococcii</i>	<i>A. mecrida</i>
Приусадебные участки без химобработок					
Первое	V—VI	30	260	9,5	1,5
Второе	VII	50	500	48,6	2,2
Третье	VIII	50	500	74,0	4,1
Четвертое	VIII—IX	50	500	86,4	8,6
Пятое	X	50	500	87,5	11,2
Виноградный совхоз, где проводятся регулярные химобработки					
Первое	V—VI	46	420	2,4	0,2
Второе	VII	50	500	6,0	0,4
Третье	VIII	50	500	7,2	0,6
Четвертое	VIII—IX	50	500	8,9	0,4
Пятое	X	50	500	21,6	0,8

регионе не играют никакой роли [20] в подавлении численности вредителя, на фактическом материале не основано.

На основании наших многолетних данных по изучению паразитов и хищников виноградного червеца установлено, что в Восточном Закавказье эффективными энтомофагами данного вредителя являются *Pseudococcii* и *L. alticeps*. Период активности этих двух видов энтомофагов приходится на конец летнего и осенного сезонов. Однако частые химобработки, применяемые в сельском хозяйстве, уничтожая энтомофагов, резко снижают их полезную деятельность. Численность местных хищников значительно подавляют паразиты, часто встречающиеся в этих условиях.

В связи с этим возникла необходимость интродукции новых энтомофагов в районы, где данный вредитель наносит значительный вред. Первые опыты интродукции энтомофагов против виноградного червеца проводились в 1933 г., когда в СССР был завезен криптолемус и начато его массовое размножение в Сухумской биолаборатории. Жуки были выпущены против ряда видов мучнистых червецов в Абхазии, Аджарии, Восточной Грузии, Краснодарском крае и в Крыму. Во всех районах выпуска криптолемус на 90—100% уничтожает этих вредителей. Однако акклиматизация криптолемуса была выявлена лишь в Абхазии и Аджарии. Причем в Сухуми на 1 га слабо зараженного мандаринового сада выпускалось 4—5 тыс. жуков [6, 7].

В Азербайджан криптолемус впервые был интродуцирован в 1934 г., причем в Кировабадском и Шамхорском районах в 22 пунктах против виноградного червеца было выпущено всего 1548 жуков. Выпуск жуков производился в августе (345 жуков) и в середине сентября (1203 жука). Результаты опытов показали, что жуки размножались только в пунктах, где выпуск производился в первой декаде августа. Однако снижение численности вредителя не было отмечено [18].

Вторичная интродукция криптолемуса в Восточное Закавказье производилась нами в 1976 г. В том же году было налажено лабо-

раторное размножение энтомофага и изучены некоторые его био-экологические особенности. Установлено, что в условиях лаборатории при среднесуточной температуре 24—26°C и относительной влажности 60—65% для развития одного поколения жука от яйца до имаго требуется 35—37 дней. Продолжительность жизни взрослых жуков составляет 50—60 дней. Плодовитость 200—250 яиц.

Одна личинка 3 и 4-го возрастов съедает за сутки более 100 личинок червеца или 9—10 овисаков (в каждом овисаке 100—200 яиц червеца). Взрослые жуки за сутки съедают до 50 личинок червеца.

За прошедшие 9 лет в общей сложности было размножено и выпущено на виноградные плантации более 200 тыс. жуков.

Установлено, что криптолемусу свойственна поисковая активность жертвы. В наших опытах жуки, выпускаемые из садков, были обнаружены на расстоянии 50—100 м, в колониях виноградного червеца на инжировом дереве. Нами в условиях Восточного Закавказья выявлено, что в борьбе с виноградным червецом наиболее эффективен четырехкратный выпуск криптолемуса при норме 4 тыс. жуков на гектар. Причем целесообразно выпуск жуков приурочить к периоду накала яйцекладки каждого поколения червеца. По нашим многолетним наблюдениям при такой тактике удается сдерживать численность вредителя.

В то же время девятилетние наблюдения показали, что в условиях Восточного Закавказья в зимние сезоны в зоне виноградарства морозы достигают от —5 до —20°C, вследствие чего криптолемус в природе погибает полностью. В связи с этим применение криптолемуса в условиях Восточного Закавказья возможно только методом сезонной колонизации.

В 1978 г. в Восточное Закавказье нами был завезен эффективный паразит виноградного червеца *Leptomastidae abnormis* (Grtt), интродуцированный в СССР из Калифорнии. За прошедшее время организовано лабораторное размножение паразита и выяснено, что он активно заражает личинки 1 и 2 возрастов червеца. Продолжительность развития паразита при температуре 22—24°C составляет 26—28 дней, а при температуре 25—27°C — 22—24 дня. Взрослые насекомые живут 10—27 дней. В каждой личинке хозяина развивается один паразит. Выпуск паразита против второй и третьей генераций виноградного червеца на Ашхероне и в Ждановском районе показал, что в первый год они поражают вредителя на 25—27%, а во второй год уже 48—52%. Последние 4 года этого паразита мы регулярно выводили из мумий червецов, собранных в природе, где в эти годы выпуск уже не производился. Это указывает, что паразит в условиях Азербайджана успешно акклиматизировался. Применение этого паразита в условиях Узбекистана, Туркмении и Грузии также было продолжительным [11, 15, 17, 23].

Учитывая исключительную важность биологического метода защиты лозы, мы в 1983 г. интродуцировали еще один энтомофаг *Nephus reuteri* Fursc, завезенный в СССР в 1978 г. из Франции для борьбы с мучнистыми червецами [2].

Лабораторные опыты по изучению пищевой специализации нефуса показали, что эти жуки питаются червецами: щетинистым, комостоком и желобчатым. Однако плодовитость жуков, питавшихся ви-

ноградным червем, была в 10 раз выше, чем питавшихся червем комстоком.

Нефус экологически более пластичен, чем криптолемус, что делает его применение более перспективным в районах сухого и жаркого климата, так как выживаемость максимальная при относительной влажности воздуха в пределах 45,0—52,0% [2]. Первые опыты по выпуску нефуса на Алшероне в виноградные плантации и инжировые деревья, пораженные червем, показали, что хищник активно питается виноградным червем и размножается. В дальнейшем необходимо установить нормы выпуска, возможность акклиматизации их в условиях этого региона.

В заключение можно отметить, что в настоящее время виноградный червь в Восточном Закавказье является одним из основных вредителей виноградной лозы и граната, против которого отсутствует эффективный метод борьбы.

Виноградарство является ведущей сельскохозяйственной культурой Восточного Закавказья, весь урожай которой используется в пищевой промышленности. В связи с этим биологический метод борьбы с данным вредителем может считаться перспективным и необходимым. Результаты работ, проведенных в этом плане, показывают, что акклиматизированный здесь паразит *L. abnormis* в случае организации его массового размножения и выпуска в плантации может служить хорошим агентом, сдерживающим численность вредителя. В этом плане перспективно и использование криптолемуса и нефуса методом сезонной колонизации по разработанной нами схеме выпуска. Из этих хищников нефус может быть акклиматизирован к условиям Восточного Закавказья, однако даже в этом случае для получения положительного эффекта желательны его массовое размножение и регулярные выпуски в нужные агроценозы.

#### Литература

1. Алексидзе Н. Е. Экологические факторы, регулирующие численность вредителей виноградного червеца/Материалы Всесоюзного совещания по защите винограда от вредителей. — Кишинев, 1961, с. 126—146.
2. Ижевский С. С., Орлинский А. Д. Биология нефуса, интродуцированного энтомофага мучнистых червецов/Тезисы докладов IX съезда ЦЭО, ч. 1. — Киев, 1984, с. 84.
3. Ильичев В. В. Испытания фосфамида и хлорофоса против виноградного мучнистого червеца. — Защита растений от вредителей и болезней, 1962, № 7.
4. Каумидзе С. А. К изучению химических средств борьбы против виноградного червеца/Тезисы докладов XVIII пленума секции защиты растений. ВАСХНИЛ, вып. II, 1948.
5. Кобакидзе Д. Н. Виноградный мучнистый червь *Pseudococcus citri* (Risso). — Тбилиси, 1957, с. 100—101.
6. Квятков Д. Г. Опыт применения криптолемуса. — Советские субтропики, 1938, № 3, (43), с. 98—95.
7. Мейер Н. Ф. Биологический метод борьбы с вредными насекомыми. — М.: Сельхозгиз, 1937, 395.
8. Митрофанов П. И. Новые средства борьбы с виноградным мучнистым червем. — Сад и огород, 1950, № 12.
9. Насиров А. Распространение виноградного мучнистого червеца в Ферганской долине, его вредоносность и меры борьбы с ним/Тезисы докладов 5 совещаний ВЭО.—М.—Л., 1963, с. 105.
10. Никольская М. Н. Хальциды фауны СССР (Chalcidoidea) /Опред. по фауне СССР. — М.—Л.: Изд. АН СССР, 1952, с. 1—575.
11. Ниязов О. Д. Паразиты и хищники виноградного червеца. — Защита растений, 1969, № 11, с. 38—40.
12. Нринц Я. И. Массовое размножение виноградного мучнистого червеца и меры борьбы с ним. — Виноделие и виноградарство СССР, 1939, № 12.
13. Пэн-Чжунь-Юнь. Сравнительный анализ комплекса энтомофагов — паразитов и кокцид и белокрылок, вредящих цитрусовым в субтропиках Сычуани и Грузинской ССР. Автореф. дисс.. канд. биол. наук. — 1960.
14. Рзаева Л. М., Ибадова С. И. К изучению паразитов и хищников виноградного мучнистого червеца *Planococcus citri* (Risso) в Азербайджане. — В кн.: Биологическая защита плодовых и овощных культур. Кишинев, 1971, с. 84—96.
15. Розанова А. А., Лосева В. Г. Виноградный мучнистый червь и его паразиты. — Защита растений от вредителей и болезней, 1963, № 3, 53.
16. Соловьевна Н. В. Результаты изучения виноградного мучнистого червеца и меры борьбы с ним в условиях Кировабад-Акстафинской зоны Азербайджанской ССР. Автореф. дисс. канд. с.-х. наук. — Кировабад, 1950.
17. Сонина А. К. К фауне хальцид-паразитов вредных кокцид Узбекистана. — Б. биол. журнала, 1962, № 3.
18. Федоров С. М. Виноградный червь как массовый вредитель виноградной лозы в Азербайджане и попытка биологического метода борьбы с ним. — Защита растений, 1935, № 7, с. 73—82.
19. Херсонская Е. А. Изучение энтомофагов Крымской области и их роль в снижении численности вредных кокцид. — Сб. работ по зооп. карант. растений, 1962, № 12.
20. Халилов Б. Б. К изучению виноградного мучнистого червеца в Азербайджане. — Уч. зап. Азерб. сельхоз. ин-та. Кировабад, 1969, с. 3—18.
21. Шек Г. Х. Борьба с виноградным червем в Азербайджане. — Вестн. защиты растений, 1939, № 1, с. 21—22.
22. Шутова Н. Н., Кухтина А. В. Паразиты и хищники карантинных и некоторых других вредителей сельскохозяйственных культур. — Энтомол. обозрение, вып. 34, 1955, с. 210—217.
23. Яснова В. А. К фауне паразитов червецов и щитовок Грузинской ССР. — Сообщ. АН ГрузССР, 1952, № 13 (10), с. 603—607.
24. De Santis L. Encyrtids de la Republica Argentina. — Anal. comis. Invest cicut. 1963.
- IV.
25. Domenicichini G. — Parasiti ipparassiti di *Pseclococcus citri* Risso in Italia e nel Peru. — Boll. Zool. Agr. Bachie, 1951, 17.
26. Girault A. A. — Four new Encyrtids from Sicily and the Philippines. — Entomologist, 1915, 627.
27. Rivenay E. — Notes on parasites of *Planococcus citri* Risso in Israel, Kfarim, 1960, 10.
28. Rosen D. and Rössler — Studies on an Israel strain of *Anagyrus pseudococcii* (Girault) (Hymenoptera, Encyrtidae). I. Morphology of the adults and developmental stages. — Entomophaga, 1966, 11 (3).

#### Л. М. Рзаева

#### ҮЗҮМ ҮНЛУ ЖАСЫЛЫНЫН (PLANOCCUS FICUS SUGNORET.) ПАРАЗИТ ВӘ ЖЫРТЫЧЫЛАРЫ ВӘ ШӘРГИ ЗАГАФАЗИЈАДА ЖЕҢИ ЕНТОМОФАГЛАРЫН ИНТРОДУКСИЈАСЫ

Шәрги Загафазијада үзүмчүлук чох жениш жаңылыш вә халг төсөрүфатынын эсас саңааларындән бирини ташкил едир. Бурада тоңајын эсас зәрәрверичиларидән бири үзүм үнлу жастычсыздыр. Бу зәрәрверичијә гарыш кимҗәви мұбаризә тәдбири аз эффектли олур.

Мәгалауда үзүмүн үнлу жастычсынын тәбии дүшмәни олан јерли паразит вә жыртычы ентомофаглар комплекси мүәјжән едилмишdir. Соң 9 ил әрзинде Шәрги Загафазијада 3 жени ентомофаг интродуксија едилмиш вә онларын үзүмүн бу горхулу зәрәрверичисине гарышы биоложи мұбаризәдә истифадә едилмәсі гајдалары тәдигін едилмишdir.

УДК 638.19

С. И. ГУСЕИНОВ, М. С. РАГИМ-ЗАДЕ

## ОПЫЛЕНИЕ ХЛОПЧАТНИКА КАВКАЗСКИМИ ПЧЕЛАМИ

Институт зоологии АН АзССР

В 1981—1983 гг. в одном из крупных хлопководческих хозяйств на Муганской зоне (колхоз им. Куйбышева Сабирabadского района) изучалось поведение желтой (ленкоранская популяция) и серой горной (шахдагская популяция) кавказской породы ввел на хлопчатнике в период вегетации этой культуры. Установлено, что медоносные пчелы посещают хлопчатник и собирают обильный внецветковый нектар еще за 2—3 недели до его цветения. В период массового цветения хлопчатника интенсивность работы пчел на нем возрастает, а продолжительность ее в середине дня уменьшается в связи с увеличением внутриульевской нагрузки — переработки цветкового и внецветкового нектара в мед.

Цветочная пыльца, собранная только с хлопчатника, полностью обеспечивает потребности пчелиных семей. По интенсивности опыления цветков хлопчатника пчелы ленкоранской популяции в два раза превосходят пчел шахдагской популяции.

Даны соответствующие практические рекомендации.

Известно, что многие виды сельхозкультур энтомофильны, т. е. без перекрестного опыления (насекомыми) их цветки не завязываются: не дают семян и плодов (красный клевер, люцерна, цитрусовые, плодовые деревья и др.). Некоторые виды сельхозкультур опыляются и ветром. Но при опылении насекомыми, в частности, медоносными пчелами значительно увеличивается их урожайность.

В связи с интенсификацией растениеводства, усилением химической обработки и резким уменьшением численности природных опылителей опыление цветков сельхозкультур за последние 15—20 лет приобрело особо важное значение.

Для нашей республики на данном этапе опыление цветков хлопчатника имеет важное значение, тем более что численность диких опылителей на хлопковых полях очень низка и использование пчел для опыления хлопчатника ограничено.

По данным Института пчеловодства в Узбекистане пчелоопыление способствует увеличению урожайности хлопчатника на 15—20% [2]. При этом пыльцу из цветков хлопчатника пчелы собирают неохотно. Она крупная, шиповатая и поэтому плохо формируется в обножки. При остром недостатке цветочной пыльцы пчелы могут собирать пыльцу менее полноценную, чем с хлопчатника. С этой целью пчелы посещают кукурузу, щавель, коноплю и даже хлебные злаки [12].

Опыты, проведенные в американском штате Аризона, показали, что хлопчатник сорта Пима S-1 при опылении медоносными пчелами в изоляторах дал урожай хлопка-сырца на 24,5% больше, чем в изоляторах без пчел [9].

В результате исследований в Азербайджане А. М. Кулиевым [7] показано, что пчелоопыление способствует увеличению урожайности в зависимости от сорта хлопчатника. Так, в результате пчелоопыления урожай хлопчатника сорта 2018/2 увеличивается на 19,4%,

а сорта 2401 на 29,4%. При этом пчелы собирают нектар из цветков и внецветков — из центра листьев хлопчатника урожай меда с хлопчатника — 50—60 кг с 1 га.

При опылении пчелами цветков хлопчатника вес коробочки увеличивается на 12—18%, число семян на 6%, вес семян на 3—8%, вес хлопкового волокна на 40%. Пчелоопыление ускоряет созревание плодов на 5—9 дней по сравнению с самоопыляемыми цветками [3].

Е. А. Шишикиным [14] было отмечено, что горные кабахтапинские пчелы лучше, чем ленкоранские, работают на хлопчатнике. К сожалению, автор не приводит подтверждающих экспериментальных данных.

Многочисленные исследователи [4, 6, 8, 10, 13, 15, 16] отмечают, что из большого числа насекомых, посещающих цветки хлопчатника, активную роль играют медоносные пчелы — как основные переносчики пыльцы.

Перечисленные работы в основном посвящены агротехническим аспектам пчелоопыления.

Исходя из вышеизложенного перед нами была поставлена задача: изучить интенсивность опыления цветков хлопчатника местными популяциями кавказских пчел и выявить из них наиболее перспективную.

Опыты по изучению опыления хлопчатника местными популяциями кавказских пород пчел велись в период с 1981 по 1983 г. в колхозе им. Куйбышева Сабирabadского района, где дневная температура зимой достигает 5°, иногда и выше, летом нередко 35—40°С.

Колхоз занимает площадь 1200 га. В 1981 г. на 1070 га возделывали хлопчатник, а на 130 га — пшеницу и клевер. В 1982 г. были введены в севооборот еще рапс, подсолнечник и кукуруза.

Для проведения опытов по инициативе Института зоологии АН Азербайджанской ССР в бригаде № 6 в 1981 г. была организована опытно-производственная пасека, состоящая из 24 семей пчел ленкоранской популяции желтой кавказской породы. Эти пчелы были приобретены в чайном совхозе «Аврора» Ленкоранского района. 4 семьи пчел серой горной кавказской породы шахдагской популяции были переброшены из Кусарского пчеловодческого совхоза. Кроме того, на опытных полях были размещены 30 пчелосемей местных пчеловодов-любителей.

В 1981—1983 гг. в колхозе им. Куйбышева не проводились химобработки против хлопковой совки. Только в середине мая, за 40—45 дней до цветения хлопчатника применялся инсектицид «БИ-58» против сосущих вредителей (тля, паутинный клещ и трипсы), когда пчелы еще не посещали всходов хлопчатника.

Для изучения опылительной деятельности исследовалась внеульевая работа пчел — сравнительное соотношение особей семьи, приносивших в улья цветочную пыльцу, нектар, а также пыльцу, нектар и воду, и возвращавшихся с поля без ноши, с их летной активностью и весом принесенной пыльцы [5, 11]. С этой целью отлавливались особи исследуемых пчел, прилетевшие с поля в улей, и определялась их ноша. Летная активность определялась числом вылетевших за одну минуту пчел (визуально) с интервалом в 3 мин. Цветочная пыльца (обножка) снималась с одной задней ножки глазным пинцетом и взвешивалась на торзионных весах. Этот способ в отличие от обыч-

ного способа сбора обножки пыльцеловом позволяет применить индивидуальный подход к пчелам. Кроме того, обножка весом в 1—2 мг в существующих пыльцеловах почти не вылавливается.

Приносимая ноша — нектар, вода или незагруженность определялись по вкусу отрыгнутого содержимого зобика пчелы, полученного путем легкого надавливания пальцами на ее брюшко.

Учитывалось также влияние пчелоопыления на урожайность хлопчатника в бригаде № 6, где были размещены пчелы. В качестве контроля принималась бригада, получившая наивысшую урожайность хлопчатника, где не использовались пчелы в опылении хлопчатника (в мае и I—II декадах июня) при среднедневной температуре

Изучение поведения местных популяций кавказских пород пчел на хлопчатнике выявило следующее: пчелы еще до цветения хлопчатника (в мае и 0—I декадах июня) при среднедневной температуре от 17,7° до 24°C активно посещают молодые листья этой культуры и собирают с них внецветковый нектар. Пчелы работают на хлопчатнике с 11—12 до 15 ч. 30 мин.—16 ч. Затем пчелы прерывает работу до 20 ч. после чего работа возобновляется и ее продолжительность составляет 40—50 мин. Продолжительность работы пчел на листьях хлопчатника составляла 4 ч 20 мин—4 ч 50 мин. При этом число вылетов пчел из улья за одну минуту составляло за два года в среднем 109 у шахдагской и 121 у ленкоранской популяции (табл. 1).

В начале III декады июня начинается цветение хлопчатника, а с конца I декады июля до середины августа наблюдается массовое цветение. С появлением завязей и коробочек количество цветков на кустах убывало, хотя цветки и нераскрывшиеся бутоны наблюдались до конца сентября.

В период цветения хлопчатника пчелы начинали работу с утра (в июле с 7, в августе с 8 ч). Продолжительность утренних работ пчел составляла 1—2 ч, а при орошении хлопчатника она достигала 3-х ч.

При повышении температуры до 31—37°C пчелы прекращали работу на хлопчатнике, совершили облет и охлаждали улья вентилированием. Поэтому продолжительность работы пчел в середине дня в период цветения хлопчатника была короче на 1 ч 30 мин и составляла 2 ч 50 мин. Продолжительность вечерней работы пчел в период цветения была почти такой же, как и до цветения (40—50 мин). В период массового цветения хлопчатника длительность работы пчел составляла 4 ч 20 мин—5 ч. Пчелы в этот период более активно посещали хлопчатник и преимущественно имели ленкоранские пчелы. Число вылетов пчел из улья за одну минуту составляло в среднем за два года 154 у ленкоранской и 124 у шахдагской популяции (см. табл. 1).

За два года в период цветения хлопчатника для определения приносимой ноши было отловлено 1779 особей шахдагских и 1789 особей ленкоранских пчел, прилетевших с поля в улей (табл. 2). Число шахдагских пчел, принесших пыльцу и нектар, составляло 519. Число же пчел, принесших воду и прилетевших без ноши, было равно 118. Следовательно, у горных пчел в опылении участвовало только 519 особей, что составляет 29,6% от общего числа вылетевших из улья пчел, а остальные 1260 особей участвовали в опылении цвет-

Таблица 1

Летняя активность кавказских пчел и опыление ими цветков хлопчатника

Дата проведения опытов	До цветения хлопчатника		В период цветения хлопчатника		Ср. число опыляющих цветки хлопчатника за 1 мин.
	Число регистраций прилетов пчел	Ср. число прилетов пчел за 1 мин	Дата проведения опытов	Число регистраций прилетов пчел за 1 мин	
<b>Шахдагская популяция</b>					
22/VI—4/VII-1981 25/VI—1/VII-1982	461 216	96,6 121,5	5/VII—14/VIII-1981 2/VII—20/VIII-1982	510 150	124 124,2
22/VI—4/VII-1981 25/VI—1/VII-1982	466 217	94,4 147	5/VII—14/VIII-1981 2/VII—20/VIII-1982	646 150	138 169,4
		120,7			153,7

Таблица 2

Внегнездовая деятельность кавказских пчел на хлопчатнике

Дата проведения опытов	Количество пчел, приносящих в улей		Без ноши	Из них участвовали в опылении, %
	Число пчел, участвующих в опыте	пыльцу и нектар		
<b>Шахдагская популяция</b>				
3/VII—14/VIII-1981 7/VII—20/VIII-1982 за 2 года	1255 524 1779	358 162 519	61 21 82	20 16 36
<b>Ленкоранская популяция</b>				
3/VII—14/VIII-1981 7/VII—20/VIII-1982 за 2 года	1265 524 1789	454 217 671	60 24 84	21 14 35

ков хлопчатника (ибо, пчелы, собирающие только нектар, обычно не касаются брюшком пестика и цветки не опыляются).

Из семей ленкоранских пчел в опылении хлопчатника участвовала 671 пчела, или 38,6% от общего количества пчел, выходящих на поле.

Для определения веса обножки, принесенной в улья, было отловлено по сто особей каждой породы. В среднем за два года вес принесенной цветочной пыльцы с хлопчатника в улья в одной задней ножке (что и называется обножкой) у шахдагских пчел составлял 6,4 мг, а у ленкоранских значительно больше — 8,3 мг (табл. 3).

Таблица 3

Сбор пыльцы и сравнительная интенсивность опыления цветков хлопчатника кавказскими пчелами

Число пчел, участвующих в опыте	Средний вес обножки, в мг	Сбор пыльцы за 1 мин, мг	Интенсивность опыления, %
Шахдагская популяция			
100	6,4	471	47,5
Ленкоранская популяция			
100	8,3	991	100

Количество пыльцы (обножки), собранной за одну минуту из цветков хлопчатника семьями пчел, вычислялось путем умножения числа прилетов на процент особей, приносящих в улья пыльцу (от общего количества прилетевших пчел, нагруженных обножкой и нектаром одновременно), и на вес обножки, принесенной на обеих задних ножках.

Количество собранной пчелами пыльцы характеризует эффективность и интенсивность опыления ими цветков, ибо оно соответствует числу посещений цветков, т. е. числу опыленных цветков.

Семья шахдагских пчел в период цветения хлопчатника приносила в улей в течение одной минуты в среднем за два года 471 мг пыльцы, а семья ленкоранских пчел 991 мг. Если условно принять интенсивность опыления хлопчатника семьями ленкоранских пчел по весу принесенной пыльцы за 100%, то эффективность опыления хлопчатника семьями шахдагских пчел составляет по отношению к ленкоранским пчелам 47,5%.

Из табл. 1 видно, что показатели внеульевой деятельности пчел в 1982 г. выше по сравнению с таковыми 1981 г. (до цветения хлопчатника число прилетов в минуту у шахдагских пчел было 96,6; 121,5 и у ленкоранских 94,4; 147). Это обусловлено сравнительно благоприятными погодными условиями 1982 г. При этом пыльцесборная, т. е. опылительная деятельность ленкоранских пчел была значительно выше, чем шахдагских (число прилетевших в улья с пыльцой в минуту у семей ленкоранских пчел 49,4 и 70,1, у шахдагских 35,2 и 38,4 в 1981 и 1982 гг., соответственно).

Превосходство в сборе пыльцы ленкоранских пчел, вероятно, обусловлено высокими темпами их развития — большей потребностью

в белокодержащем корме — цветочной пыльце и отрицательным воздействием повышенной температуры на пчел шахдагской популяции.

Необходимо отметить, что обычно пчелы доставляют в улья нектар или пыльцу, либо одновременно приносят и то и другое — нектар и пыльцу [1, 12]. Однако на хлопчатнике нами не было обнаружено пчел, приносящих с хлопчатника только пыльцу. Это может быть обусловлено плохим формированием пыльцы в обножке и обилием нектара в цветках хлопчатника. В наших исследованиях во избежание перелета пчел на более доступную пыльцу пасека была расположена на расстоянии более 1200 м от посевых площадей подсолнечника и рапса. На подсолнечнике и рапсе пчелы нами не были обнаружены, они работали только на хлопчатнике. Пасека на другие медоносные культуры не вывозилась. Пчелиные семьи полностью обеспечивали себя цветочной пыльцой, собранной с хлопчатника. Валовой медосбор одной пчелиной семьи составлял в среднем 32,5 кг.

В бригаде № 6, где была размещена пасека, насчитывающая 58 пчелиных семей, урожайность хлопка-сырца с 1 га на 4,5 ц больше (в 1981 г. — 44,7 и в 1982 г. — 55,5 ц) по сравнению с другими бригадами (в 1981 г. — около 40,2 и в 1982 г. — около 51 ц.), в которых для опыления хлопчатника не были использованы пчелы. В итоге в бригаде № 6 дополнительно было получено в 1981 и 1982 гг. соответственно 162 и 189 т хлопка-сырца за счет пчелоопыления.

Исходя из вышеприведенного, можно сделать следующие

#### Выводы

1. Медоносные пчелы начинают посещать хлопчатник и собирают обильный внецветковый нектар еще за 2—3 недели до цветения этой культуры.

2. В период массового цветения хлопчатника интенсивность работы пчел на нем возрастает, а продолжительность ее уменьшается в связи с увеличением внутриульевой нагрузки — переработки цветкового и внецветкового нектара в мед.

3. По интенсивности опыления цветков хлопчатника пчелы ленкоранской популяции в два раза превосходят пчел шахдагской популяции.

4. Цветочная пыльца, собранная только с хлопчатника, полностью обеспечивает потребности пчелиных семей в белковом корме.

Проведенные 3-летние исследования на Мугани дают основание рекомендовать содержание пасек на хлопковых полях. При этом следует обеспечить затенение пчелиных семей от солнца и временный вывоз пчел в период применения ядохимикатов и на срок их действия.

Для опыления хлопчатника целесообразно использование перспективной ленкоранской популяции желтой кавказской породы пчел.

#### Литература

1. Абдинбекова А. А., Рагим-заде М. С. Медоносные пчелы на опылении. — Пчеловодство, 1978, № 9, с. 27—28.
2. Аветисян Г. А. Пчеловодство. — М.: Колос, 1965. — 288 с.

3. Буренин Н. Л., Котова Г. Н. Справочник по пчеловодству. — М.: Колос, 1984. — 309 с.
4. Глушков Н. М., Скребцов М. Ф. Эффективность использования медоносных пчел на опылении хлопчатника/ХХ Юбил. Межд. конгресс по пчеловодству. — М., 1965, с. 107—108.
5. Истомина—Цветкова К. П. Расы пчел и красный клевер. — Пчеловодство, 1965, № 7.
6. Казиев Т. И. Проблемы нектароносности хлопчатника и роль пчел в повышении его урожайности. — Баку: Азернешр.—215 с.
7. Кулеш А. М. Опыление хлопчатника пчелами. — Изв. АзСХИ, 1948, № 1, с. 35—47.
8. Кулеш А. М. Задачи изучения медоносных и перганосных растений. — М.—Л., 1952.
9. Мак—Грегор С. Е., Райн К., Ворлей С., Тодд Ф. Е. Роль медоносных пчел в опылении хлопчатника. — В сб.: Новое в пчеловодстве, М., 1958.
10. Лайок В. Д. Опыление цветков хлопчатника с помощью пчел. — Социалистическое сельское хозяйство Узбекистана, 1950, № 3, с. 30—31.
11. Никитина В. А. Наука о пыльце. — Пчеловодство, 1973, № 1, с. 41—43.
12. Нуждин А. С., Таранов Г. Ф., Полтев В. И., Пономарева Е., Г., Чудаков В. Г. Учебник пчеловодства: — М.: Колос, 1984.—415 с.
13. Малышев С. И. Хлопчатник и медоносная пчела. — Хлопковое дело, 1925, № 3—4.
14. Шишкин Е. А. — Пчеловодство, 1955, № 3.
15. Яхонтов В. В. К выяснению видового состава и роли насекомых — опылителей хлопчатника в Средней Азии. — Социалистическая наука и техника, 1936, № 11, с. 102—115.
16. Jobanissian T. S., Tracking K. Honey Bees in Cotton Fields with Fluorescent Pigments.—Journal of Economic Entomology, 1959, vol. 52, N 4.

С. И. Һүсейнов, М. С. Рәнимзәде

### ПАМБЫГЫН ГАФГАЗ АРЫЛАРЫ ТӘРӘФИНДӘН ТОЗЛАНДЫРЫЛМАСЫ

1981—1983-чу илләрдә Сабирбад раionунун Кујбышев адына колхозунда Ләнкәран вә Шаңдағ популациясынан олан Гафгаз чинсли зрыларын памбыг биткисинде даврашы еўренилмишdir.

Мүәйәж едилишdir ки, һәлә памбыгын чичәкләмәсина 2—3 һәфтә галмыш арылар бу биткия учур вә онуу ярпагларындан чохлу мигдарда иектар топлајылар. Күтләви чичәкләмә деврунда памбыгда арыларын иш интенсивили артыр, күнорта исе ишни муддәти катирилән бол иектарын пәтәйин дахилинде бала чөврилмәсилә элагәдар олараг азаты.

Тәрүбәләр көстәрир ки, Ләнкәран популациясынан олан арыларын памбыг чичәjnин тозландырма фәаллығы Шаңдағ популациясына иисбәтән ики дафа јүксәкдир. Бунын сәбәби Ләнкәран арыларынын јүкәк сур'этлә иинкишафы илә элагәдар олараг, онларын чохлу мигдарда чичәк тозу топламасыдь.

Памбыгдан топланылан чичәк тозу, ары айләсүнин она олан тәләбатыны тамамила өдөир.

### АЗЭРБАЙЧАН ССР ЕЛМЛӘР АКАДЕМИЯСЫНЫН ХӘБӘРЛӘРИ

Биология елмләри сериясы, 1985 № 4

### ИЗВЕСТИЯ АКАДЕМИИ НАУК АЗЕРБАЙДЖАНСКОЙ ССР

Серия биологических наук, 1985, № 4

УДК 577.473.261.5

И. И. АЛИБЕКОВА, Р. М. БАГИРОВ, Г. М. ПЯТАКОВА

### ОБРАСТАНИЯ СУДОВ, ПЛАВАЮЩИХ НА КАСПИЙСКОМ МОРЕ

Институт зоологии АН Азербайджанской ССР

После открытия Волго-Донского канала в Каспий проник целый ряд организмов, сыгравших существенную роль в обрастаниях судов. Ведущими среди них стал усоногий рак — баланус, биомасса которого в совокупности с другим руковоющим видом — моллюском митилястером составляет в биоценозе обрастания на судах до 90%. Всего же в обрастании судов на Каспии в настоящее время принимает участие 10 видов животных-макрообрастателей и водоросли. На защищенных антиобрастающими покрытиями судах биомасса обрастания изменялась от 0,4 до 6,92 кг/м<sup>2</sup>.

Изучение обрастания судов имеет важное научное и практическое значение, так как обрастатели являются настоящим бедствием для судоходства. У обвосшего судна увеличивается сопротивление корпуса воде, что приводит к снижению скорости хода на 30—50%, увеличивается расход горючего, ускоряется износ машин. Повреждая поверхностную пленку антиобрастающих покрытий, обрастатели способствуют разрушению металла и образованию коррозии, что в свою очередь ведет к сокращению междокового периода судов. Ущерб, наносимый этими животными народному хозяйству, исчисляется миллионами рублей.

Однако внимание этому вопросу стало уделяться лишь после 1954 г. Это связано с тем, что до открытия Волго-Донского канала днище судов, плавающих на Каспии обрастало каспийскими аборигенами, образующими низкие биомассы. Так, по данным [2], биомassa обрастаний на судах в Каспии до открытия Волго-Донского канала редко превышала 1 кг/м<sup>2</sup>.

С открытием этой водно-транспортной магистрали из Черного моря в Каспий проник целый ряд организмов, которые стали играть весьма существенную роль в обрастании судов. Ведущими среди них стали усоногие раки из рода *Balanus*, чья биомасса в обрастании только за один вегетационный период на Черном море достигает 15—20 кг/м<sup>2</sup> [4]. После проникновения в Каспийское море *Баланус* успешно адаптировался в новом для него водоеме и стал покрывать днища судов несколькими слоями и отдельные особи здесь достигали высоты 18—20 мм [2].

Нами в течение 1976—1983 гг. на судоремонтном заводе им. Павлышской коммуны Каспийского морского пароходства с корпуса судов брались количественные пробы методом пробных площадок. Для этого острым скребком длиной ножа 20 см с площадкой размером 20×20 см соскрабалось по 6—8 проб с различных участков корпуса судна (нос, мидель, корма) от уреза воды до нижней части днища по две и более проб с каждого участка (верх, низ). Затем все пересчи-

тывалось на 1 м<sup>2</sup>. Всего было исследовано 75 судов и собрано 450 количественных и качественных проб.

Все исследованные нами суда мы условно разделили на 2 группы: к первой отнесли крупнотоннажные суда — паромы, танкеры, т. е. суда, имеющие неограниченный район плавания по всему морю, ко второй — небольшие, мелкосидящие, плавающие в прибрежной зоне, в районе, ограниченном Бакинской бухтой и прилегающей к ней акватории (катера, баржи, буксировщики). Специфика плавания судов второй группы заключается в том, что плавание их происходит в наиболее загрязненных водах, что, как будто показано ниже, сказывается на качественном составе и количественном развитии обрастания.

#### Видовой состав обрастания

В обрастаниях судов в Каспийском море нами отмечены 10 видов животных и 3 наиболее часто встречающихся вида водорослей:

##### Водоросли

1. *Cladophora* sp.
2. *Enteromorpha intestinalis* (L.) Link.
3. *Ceramium diaphanum* (Lightf.) Roth.

##### Гидроиды

1. *Cordylophora caspia* (Pallas.)
2. *Bougainvillia megas* (Klinne)

##### Черви

3. *Mercierella enigmatica* (Fauvel)
4. *Neretis diversicolor* M (Muller)

##### Мшанки

5. *Boverbankia Imbricata* (Adams)
6. *Sonoreum seurati* (Canu)

##### Ракообразные

7. *Balanus improvisus* (Darwin)
8. *Balanus eburneus* (Gould)

##### Моллюски

9. *Mytilaster lineatus* (Gmel)
10. *Dreissena polymorpha* (Pall.)

Однако в период исследований [2] было найдено 19 видов зеленых, красных и бурых водорослей и около 15 видов животных.

Сравнивая видовой состав обрастания исследованных нами судов с данными [3], отмечаем значительное обеднение видового состава обрастаний на судах, произшедшее в течение 25 лет. Это объясняется вытеснением их доминирующим в настоящее время баланусом импровизусом. Обладая высокой плодовитостью и значительным темпом развития, баланус стал в обрастаниях на Каспии ведущим видом и составляет 90—95% всей биомассы. За последние 2 года (1982—1983 гг.) несколько возросла роль моллюска митилястера, который на некоторых судах («Кемине», «Нептун») вытеснил доминирующий до этого баланус.

В формировании обрастаний судов на Каспии в настоящее время принимают участие все 10 перечисленных видов животных-макрообрастателей. Из них доминирующими в обрастаниях по биомассе и частоте встречаемости являются баланус и митилястер. Кордилофора и конопеум встречаются реже и биомасса их невелика. Остальные виды встречаются очень редко и существенной роли в обрастаниях не играют.

#### Количественное развитие обрастания

Вселившись в Каспийское море, баланус успешно адаптировался в новом для него водоеме и уже через год после проникновения в Каспий биомасса только балануса на судах превышала 4 кг/м<sup>2</sup> [2], а в 1965—1966 гг. — 15—20 кг/м<sup>2</sup> [1].

Для предотвращения интенсивного развития обрастания судов применяются антикоррозионные и антиобрастающие покрытия. После их применения биомасса обрастаний на судах постепенно снижалась и за последние годы стабилизировалась, но даже несмотря на применение защитных мер осталась тем не менее достаточно высокой — до 7 кг/м<sup>2</sup>. По нашим данным, 1976—1983 гг. на защищенных антиобрастающими покрытиями судах биомасса изменялась от 0,4 кг/м<sup>2</sup> (РС «Полюс») до 6,92 (РК «Моряк»).

Количественное развитие обрастания зависит от температуры, степени загрязненности воды, скорости движения судна и других факторов. Поскольку основу обрастания составляет баланус, а личинки его начинают развиваться при температуре воды не ниже 15°C, в холодное время года интенсивность развития обрастания незначительна, зато с повышением температуры воды развитие обрастания идет очень быстрым темпом и за одну вегетацию толщина слоя может достигать 15—20 мм.

На подводной поверхности судна обрастания распределены неравномерно, причем в распределении его и по вертикали, и по горизонтали прослеживается определенная закономерность. Во всех частях судна непосредственно под ватерлинией биомасса обрастаний обычно несколько ниже, чем на глубине 1,5—2,0 м, поскольку уреза воды волнение препятствует его развитию. Как показали наши исследования, интенсивность развития обрастания от носа к корме возрастает (таблицы 1 и 2).

Носовая часть судна во время его движения подвержена сильному встречному току воды, под напором которой часть обрастателей смыывается. Однако, как показали опыты с баланусом [5], уже через 3 ч после прикрепления он практически не смыывается током воды скоростью 7 узлов. Поэтому даже на быстровращающихся винтах судов всегда имеются обрастатели.

Если сравнить качественный и количественный состав обрастаний судов, плавающих по всему Каспийскому морю (суда 1 группы), с судами, плавающими в Бакинской бухте и прилегающей к ней акватории, выявляется следующая закономерность: видовой состав обрастания судов 1-й группы богаче — здесь помимо доминирующих везде балануса и митилястера встречаются гидроиды, мшанки, водоросли, которые абсолютно отсутствуют в водах Бакинской бухты. В количественном отношении биомасса обрастаний на судах 1-й

Таблица 1

Распределение обрастания по корпусу судов 1-й группы  $\text{kg/m}^2$ 

Место взятия проб	Нос	Мидель	Корма	Среднее
Верх	3,15	3,38	4,30	3,61
Низ	3,45	3,82	4,78	4,02
Среднее	3,30	3,60	4,54	3,81

Таблица 2

Распределение обрастания по корпусу судов 2-й группы  $\text{kg/m}^2$ 

Место взятия проб	Нос	Мидель	Корма	Среднее
Верх	2,67	2,88	3,55	3,03
Низ	2,64	2,07	4,00	3,24
Среднее	2,65	2,97	3,77	3,13

группы варьирует от 3,15 до 4,78  $\text{kg/m}^2$ , составляя в среднем 3,8  $\text{kg/m}^2$ . На судах 2-й группы (табл. 2) биомасса обрастаний ниже и изменяется от 2,65 до 4,0  $\text{kg/m}^2$ , в среднем 3,1  $\text{kg/m}^2$ , что является следствием неблагоприятного воздействия загрязнения вод Бакинской бухты на гидробионтов.

#### Литература

- Багиров Р. М. Обрастание в Бакинской бухте. — Труды Ин-та океанологии АН СССР, 1967, т. 85.
- Зевина Г. Б. Усоногие раки *Balanus improvisus* и *Beburneus Gould* в обрастаниях судов и гидротехнических сооружений Каспийского моря. — Докл. АН СССР, т. 213, 1957, № 2.
- Зевина Г. Б. К вопросу об обрастании судов Каспийского моря. — Труды Всесоюзного гидробиологического общества, 1957, т. 8.
- Никитин В. Н. Биология обрастания судов в Черном море. — Докл. АН СССР, т. 58, 1947, № 6.
- Ржепишевский И. К., Зевина Г. Б., Кузнецова И. А. Влияние скорости течения на прикрепившихся личинок *Balanus Balanoides*. — Тр. Ин-та океанологии, т. IXXXV, 1967.

И. И. Элибэрова, Р. М. Багиров, Г. М. Пјатакова

#### ХЭЭР ДЭНИЗИНДА ҮЗЭН КЭМИЛЭРИН БИОЛОЖИ ТЭБЭГЭСИ

Хээр дэнизинде үзэн кэмилэрин биологи тэбэгэснэдээ асас юрийн багацаглы хэрчэнклэрэн баланс узлы дэнийн газасы, молускалардан иса митиластер тутур. Онлар биологи тэбэгэснэдээ умуми биокутлэснин 90 %-ийн ташкил едирлэр.

Биологи тэбэгэснэдээ гарши тэдбиг олуулсан өртүкээ мүнхийн эдилмийн кэмилэрдэки биологи тэбэгэснэдээ 0,4-ла 6,92  $\text{kg/m}^2$  арасында дэшишилж. Бу чур кэмилэрдэки биокутлэснэдээ орта көстөрччиси нэр  $\text{kg/m}^2$ -дээ 3,5  $\text{kg}$ -да яхын олур.

АЗЭРБАЙЧАН ССР ЕЛМЛЭР АКАДЕМИЈАСЫНЫН ХЭБЭРЛЭРИ  
Биологија елмлэри серијасы, 1985 № 4

ИЗВЕСТИЯ АКАДЕМИИ НАУК АЗЕРБАЙДЖАНСКОЙ ССР  
Серия биологических наук, 1985, № 4

УДК 597—15

Г. С. АББАСОВ, А. Г. ПОДДУБНЫЙ, Л. К. МАЛИНИНА, М. М. СЕИД-РЗАЕВ  
ГИДРОАКУСТИЧЕСКИЕ ИССЛЕДОВАНИЯ РАСПРЕДЕЛЕНИЯ  
РЫБ В МИНГЧАУРСКОМ ВОДОХРАНИЛИЩЕ

Институт зоологии АН АзССР, АГУ им. С. М. Кирова,  
Институт биологии внутренних вод АН СССР

На основании гидроакустических съемок выяснилось, что в открытой части водоема, на глубине более 5 м, средняя плотность рыб составляет 95+30 кг/га. Общая ихтиомасса в Мингчайском водохранилище определена величиной 59,3 тыс. ц. Между распределением рыб и глубинами наблюдается обратная достоверная связь.

Мингчайское водохранилище — один из наиболее крупных водоемов Кавказа. Это водоем руслового типа, площадью 625  $\text{km}^2$  при наибольшей отметке уровня. Его длина 75—80 км, ширина — местами до 25 км и глубина до 60 м. Отличительной его особенностью является сильно колеблющийся уровень воды (до 15 м в течение года). Мингчайское водохранилище имеет важное рыбохозяйственное значение. Ежегодный промысел достигает 4—6 тыс. ц. Основу уловов составляет лещ, дающий 80—90%, в отдельные годы до 95% от общего улова. Мингчайское водохранилище относится к хорошо изученным водоемам Азербайджана, здесь проводятся регулярные исследования качества воды, планктонных и донных сообществ гидробионтов. Немалое внимание уделяется и вопросам экологии рыб: детально изучено видовое разнообразие ихтиофауны, особенности размножения, роста рыб, нагула их молоди [1, 2]. Изучено пространственное распределение рыб в прибрежных относительно мелководных зонах [3].

Рыбохозяйственное обследование глубоководных участков водохранилища, занимающих около половины акватории, традиционными методами лова затруднено из-за сильной засоренности ложа водоема, представляющего собой затопленные массивы прикуриных тугайных лесов.

В данном сообщении приводятся результаты первых гидроакустических исследований, проведенных в июле 1983 г. на научно-исследовательском судне «Г. Б. Зардаби» на Мингчайском водохранилище. Мировой и отечественный опыт использования рыболовных приборов в морских условиях показал перспективность гидроакустических методов: наглядность получаемой картины распределения рыб, сравнительно высокую точность определения их плотности, возможность оценки фактической ихтиомассы. Многолетняя практика Института биологии внутренних вод АН СССР показала применимость этого метода и во внутренних водоемах [4].

Нами использовался отечественный эхолот «Лещ», приемно-передающая антенна которого крепилась к борту судна. Оценка плотности рыб осуществлялась с помощью аналого-цифрового эхонтегратора

АЦЭИ-01, разработанного и аprobированного во ВНИРО. Все процессы калибровки приборов, расчета плотностей рыб, оценки их биомассы проводились согласно методике гидроакустических съемок, разработанной во ВНИРО [6].

Плотность рыб рассчитывалась на каждые 250 м пути судна, оснащенного рыбоисковой аппаратурой. Съемка проводилась со скоростью 14—15 км/ч в двух повторностях от плотины к верховью водохранилища и устьям рек Азани, Куры и Иори и при обратном движении к плотине. Разрезы выполнялись в виде зигзагообразных галсов от одного берега водохранилища к другому. Всего выполнено 24 галса. Данные по размерно-весовому составу рыб, необходимые для расчета их плотности и биомассы, были взяты из литературных источников с некоторым уточнением на результаты биоанализа рыб из сетных уловов, проведенных непосредственно во время эхосъемок (таблица). Из таблицы видно, что лещ среди взрослых рыб занимает ведущее место, составляя по численности 57% всех особей.

Размерно-весовые показатели доминирующих видов рыб  
(скорректирована по [3])

Вид	Длина, см	Масса, г	%-ное соотношение к уловам
Лещ	14—36	72—1000	57
	24	340	
Вобла	17—29	80—700	16
	22	250	
Шемая	20—30	80—360	11
	24	190	
Судак	19—74	170—6500	5
	40	1350	
Сазан	21—69	280—7200	4
	41	1700	
Жерех	31—58	380—1500	2
	39	730	
Прочие	—	—	5

В числителе — вариации показателей, в знаменателе — средняя величина.

Видовое соотношение молоди рыб иллюстрируется следующими данными (по [3]):

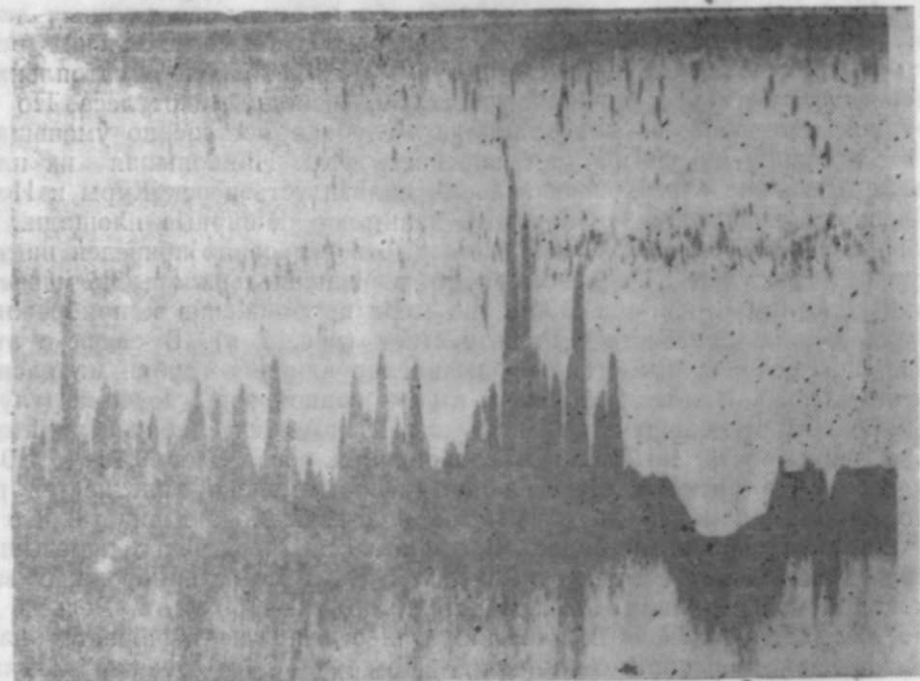
Вид рыбы	Лещ	Вобла	Шемая	Судак	Сазан	Жерех	Прочие
%-ное соотношение	56	17	13	4	0,7	8	1,3

Во время наших исследований плотность рыб в пелагии водохранилища варьировала в очень больших пределах от 15 до 250 кг/га. Наименьшая плотность рыб приходилась на нижнюю приплотинную зону, которая характеризуется большими глубинами (более 50 м). Здесь ихтиомасса в пелагии в редких случаях превышала 50 кг/га, чаще составляя 15—20 кг/га. В средней части водохранилища с глубинами 30—45 м регистрировались отдельные стайки малоразмерных рыб, вероятно, молоди, а также единичные крупные особи. Обширные акватории в этой зоне заняты затопленными лесами и кустарниками.

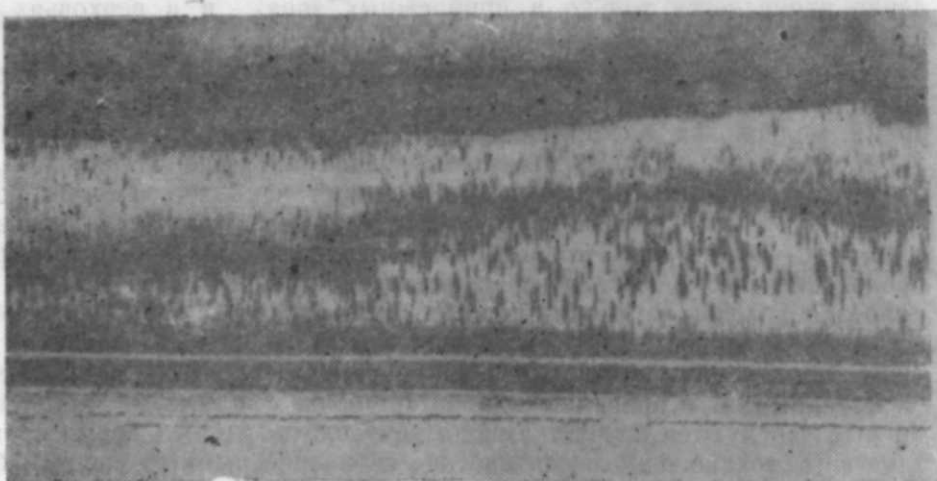
Глубины на бывшем русле р. Куры и на смежных участках отличаются на 5—6 м (рис. 1а). Биомасса рыб здесь варьирует от 15—20 до 120 кг/га. Не отмечается какого-либо влияния затопленных лесов на распределение пелагических рыб: разрозненные скопления регистрировались как непосредственно в месте нахождения затопленных деревьев, так и над ровными участками, свободными от леса. По мере подъема вверх по водохранилищу глубина постепенно уменьшается. Одновременно возрастает плотность рыб. Наибольшая их плотность отмечена в верховьях водоема вблизи устьев рек Куры и Иори. Здесь плотные концентрации рыб занимают обширные площади. Типичный пример плотного скопления рыб в верховьях приведен на эхограмме (рис. 1 б). Неравномерность в распределении рыб отмечается в поперечном сечении водоема: по мере приближения к прибрежным мелководьям плотность рыб возрастает (рис. 1 в). В связи с этим большой интерес представляет выявление влияния глубин на распределение рыб. В целом для всей глубоководной зоны водоема (глубины более 6 м) между этими параметрами имеется слабая отрицательная зависимость, коэффициент корреляции составляет 0,18 ( $P>0,95$ ,  $n=556$ ). На рис. 2а представлен график изменения плотностей рыб по одному из поперечных разрезов водоема. Можно видеть, что на участках с глубинами более 40 м биомасса рыб редко превышает 100 кг/га и чаще составляет 30—40 кг/га. Вблизи прибрежных мелководий концентрации рыб возрастают до 120—150 кг/га. Рельеф дна на самых глубоководных участках существенно не отражается на горизонтальном распределении рыб. Поэтому для оценки влияния глубин на их распределение мы взяли только зоны с глубинами менее 30 м. В этом случае коэффициент корреляции возрастает до 0,58 ( $P>0,95$  и  $n=132$ ). Таким образом, обратная достоверная связь между распределением рыб и глубинами на участке их нахождения проявляется только в прибрежных зонах и в верховьях водоема.

Наш анализ из-за методических ограничений эхосъемок проводился только для участков, где глубина была более 5—6 м. В то же время мелководья в Мингечаурском водохранилище летом обычно характеризуются высокими сетными уловами. Надо полагать, что величина плотности рыб здесь соответствует наиболее высоким показателям, которые получены нами для открытых участков водоема, т. е. 150—200 кг/га. Рассмотрим особенности горизонтального распределения рыб в местах их наибольшей концентрации. На рис. 2 б приведен график изменения биомасс рыб на одном из разрезов в верхней части водоема. При сравнительно однородном рельефе дна (изменения глубин от 19 до 24 м) распределение рыб имеет четко выраженный агрегированный характер: зоны с плотными скоплениями рыб чередуются с участками низкой плотности. Во время съемки зарегистрировано одно очень плотное скопление рыб (со средней биомассой 220 кг/га) на участке площадью 3,5×1 км. Биомасса рыб в этом скоплении составляет 75—80 т. Следует добавить, что характер грунтов в местах высокой концентрации рыб в основном илистый, реже илисто-песчаный.

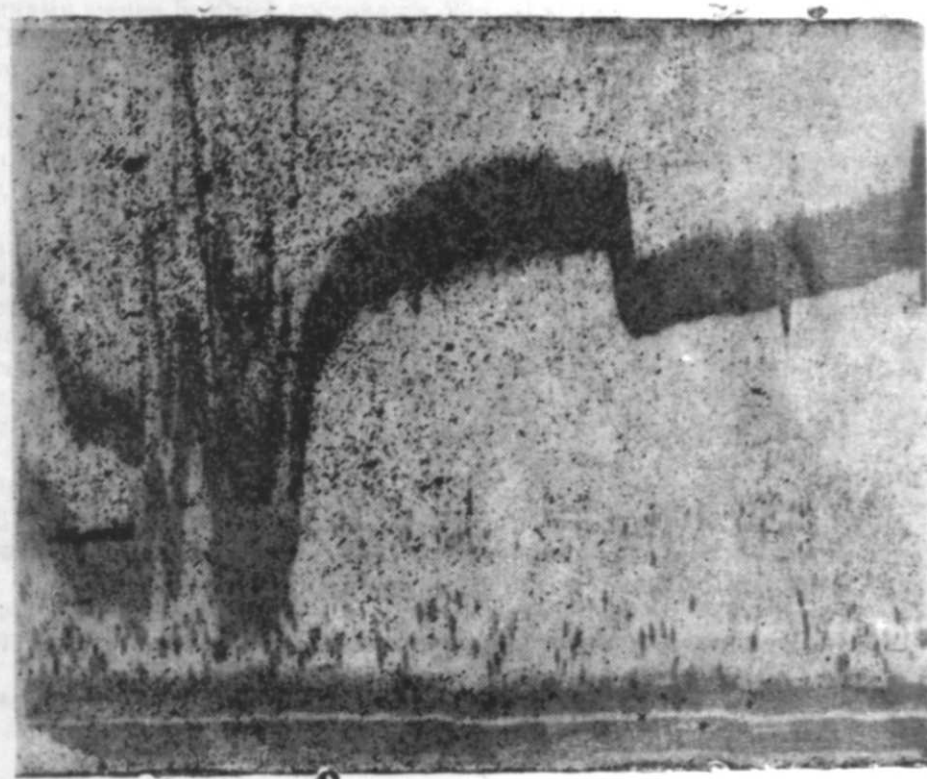
Горизонтальное распределение рыб в Мингечаурском водохранилище представлено на рис. 3. Видно, что обширные площади от-



б



в



в

Рис. 1. Характерные эхограммы: а — в зоне затопленных лесов; б — в верхней части водоема; в — вблизи прибрежных мелководий.

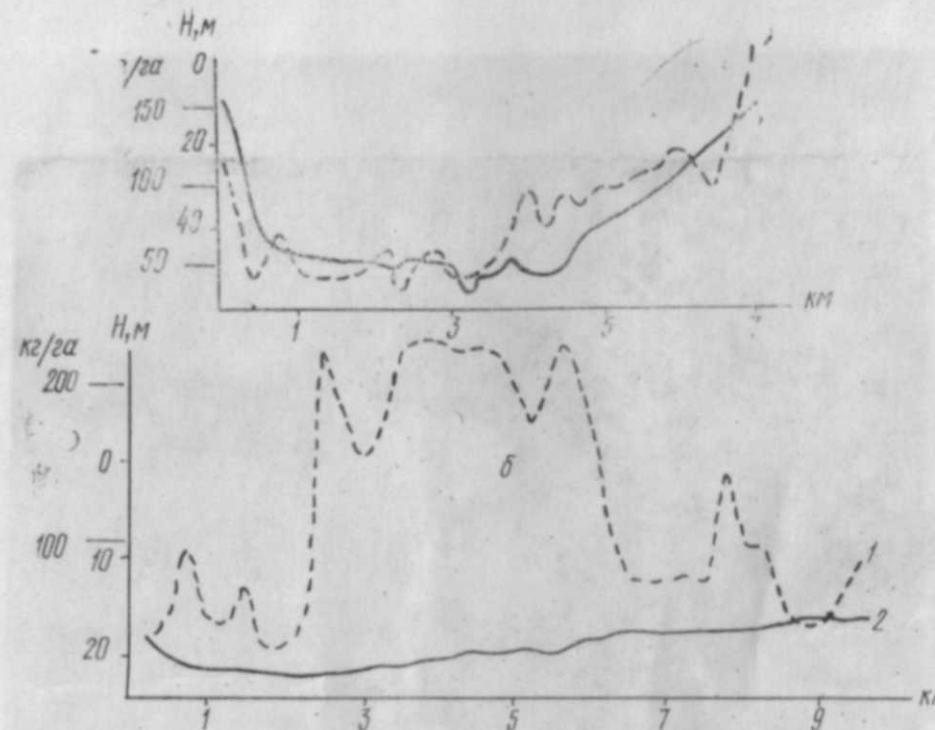


Рис. 2. Изменение плотностей рыб (1) и рельефа дна (2) на поперечных разрезах:

а — в средней части; б — в верховьях водоема. По оси абсцисс — биомасса рыб, кг/га; глубина, м; по оси ординат — расстояние, км

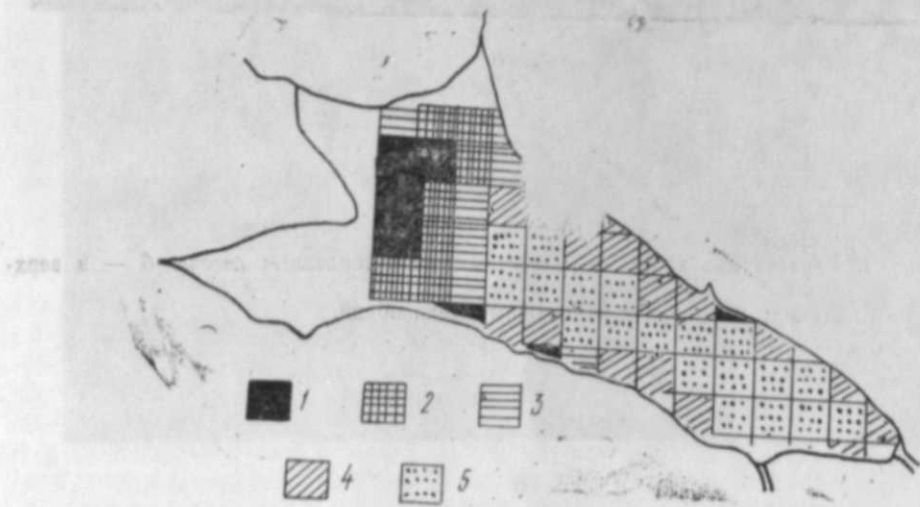


Рис. 3. Схема горизонтального распределения плотности рыб в Мингечаурском водохранилище, кг/га: 1 — более 200; 2 — 150—200; 3 — 100—150; 4 — 50—100; 5 — менее 50

крытых участков водоема характеризуется низкими биомассами рыб — 20—50 кг/га. Наиболее высокие плотности отмечаются в узкой прибрежной зоне отдельных заливов и в верхней части водоема. Площадь с плотными скоплениями рыб сравнительно небольшая и средняя биомасса рыб для всего водохранилища (исключая мелководья с глубинами менее 5—6 м) составляет  $95 \pm 30$  кг/га.

Особый интерес представляет возможность расчета общей ихтиомассы на всем водохранилище. Для этого необходимо выделить площадь, на которой нами оценена средняя величина плотности рыб, и площадь мелководий, где этот показатель может быть дан только ориентировочно по соотношению сетных уловов. Как уже отмечалось выше, во время наших работ на прибрежных мелководьях биомассы рыб, по прикидочной оценке, соответствуют наиболее высоким ее показателям в открытых участках, т. е. около 200 кг/га. Наши исследования проводились при отметке уровня воды около 80 м. Площадь водоема при этом составляет 560 км<sup>2</sup>, из них на мелководья (глубины менее 5 м) приходится примерно 10% от общей площади, т. е. 56 км<sup>2</sup>. На остальной площади (506 км<sup>2</sup>) ихтиомасса, рассчитанная по гидроакустическим съемкам, составляет 95 кг/га. Отсюда получаем, что общая ихтиомасса в Мингечаурском водохранилище на период наших исследований составляла 59,3 тыс. ц. Следует добавить, что промысел ежегодно отбирает от этой величины около 10%.

В глубоководных участках (рис. 1 а—в) в летнее время рыба занимает только верхние и средние горизонты воды, не опускаясь ниже 17—18 м. Известно, что летом в Мингечаурском водохранилище происходит термическое расслоение водной массы. В верхнем слое (эпилимнионе) температура воды во время наших работ варьировала от 22 до 24,2°. На глубинах больше 25—28 м — 7,5—8,7°. Металимнион занимал слой 15—20 м. Здесь изменения температур достигали 3 град/м. На рис. 4 представлены графики вертикального рас-

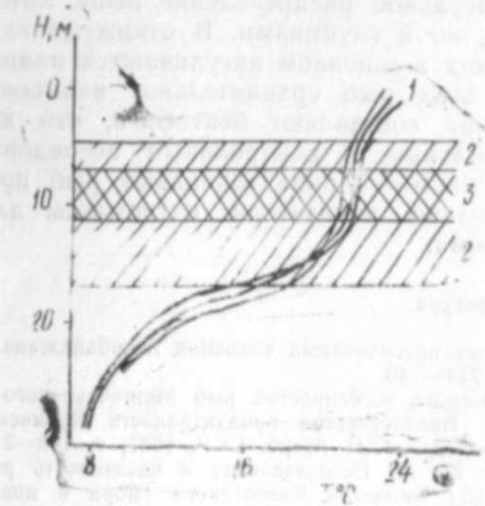


Рис. 4. Изменения температуры воды и встречаемости рыб по вертикали:

1 — температура воды; 2 — зона встречаемости рыб; 3 — зона наибольшей плотности. По оси абсцисс — глубина, м, по оси ординат — температура, град.

пределения температур. Здесь же приведены зоны встречаемости рыб по вертикали. Оказалось, что рыба летом не опускается в слои ги-

полимниона. В нижней и средней части водоема основные концентрации рыб распределены в горизонте 7—12 м, где температура воды более 20°. Нередко наблюдается еще один слой нахождения рыб, приходящийся на верхние горизонты металимниона. Здесь регистрируются эхоотметки от дисперсно расположенных особей и небольших стаек мелких рыб. Глубина этого слоя 15—18 м. Температура воды в нижнем горизонте нахождения рыб составляла 16—18°.

В верховье водохранилища рыба регистрируется по всей толще воды от придонных до поверхностных слоев воды. Наиболее плотные скопления пелагических рыб встречались в горизонте 10—17 м. В придонных слоях рыба регистрировалась вплоть до глубин 22 м. Этот район характеризуется довольно равномерным распределением температуры по вертикали. Для глубин 20—22 м разница в температурах поверхности дна не превышала 5°.

Видовой состав ихтиофауны насчитывает 33 вида и 2 гибрида [1]. В основном это рыбы теплолюбивые, что и предопределяет специфику вертикального распределения рыб в стратифицированных участках: рыбы не опускаются в холодные слои гиполимниона, тогда как в верхнем плесе водоема, где термостратификация отсутствует, рыба успешно осваивает всю толщу воды. При высокой плотности оптимальное освоение нагульной территории в верхнем плесе достигается рассредоточением рыб по всей толще воды.

Кормовые условия рыб-бентофагов по всей акватории водоема примерно одинаковы. Так, по данным А. Р. Халилова [5], биомасса бентосных организмов в разных плесах варьирует незначительно. Ясно, что выход бентосоядных рыб на глубины более 30—40 м сдерживается не кормовыми условиями, а температурным фактором. Из наблюдений за распределением рыб в волжских водохранилищах известно, что наиболее массовый представитель местных бентофагов — лещ обычно не проникает в зоны с глубинами более 25—30 м даже при отсутствии термостратификации. Надо полагать, что и в Мингечаурском водохранилище нагульное распределение леща лимитируется не только температурой, но и глубинами. В открытых глубоководных участках водохранилища в основном нагуливаются планктоноядные виды рыб. Биомасса этих рыб сравнительно невысока. Основу ихтиофауны водохранилища составляют бентофаги, что хорошо прослеживается по промысловым и контрольным исследовательским уловам. Общая низкая биомасса планктоноядных рыб предопределется и сравнительно низкие показатели ихтиомассы для всех глубоководных участков водоема.

#### Литература

1. Аббасов Г. С. Ихтиофауна основных пресноводных водоемов Азербайджана.— Вопросы ихтиологии, 1980, 20, вып. 4, с. 744—746.
2. Абдурахманов Ю. А. Об экологических особенностях рыб Мингечаурского и Варваринского водохранилищ. — В сб.: Биологическая продуктивность Куринско-Каспийского рыболовного района. Баку, Изд-во АН Азерб. ССР, 1967, с. 198—211.
3. Абдурахманов Ю. А., Сеид-Рзаев М. М. Распределение и численность рыб Мингечаурского водохранилища. — В сб.: Биология Каспийского моря в новых экологических условиях. Баку, Изд-во АН Азерб. ССР, 1978, с. 148—175.
4. Поддубный А. Г., Малинин Л. К., Терещенко В. Г. О точности оценки абсолютной численности рыб во внутренних водоемах.— Труды Ин-та биологии внутренних вод АН СССР, вып. 49 (52), 1982, с. 83—102.

5. Халилов А. Р. К изучению бентоса Мингечаурского водохранилища. — В сб.: Биологические ресурсы внутренних водоемов Азербайджана. Баку, 1975, с. 101—106.

6. Юданов К. И., Калихман И. Л. Методы определения плотности скоплений.— В сб.: Вопросы промысловой гидроакустики. М., 1981, с. 31—48.

Г. С. Аббасов, А. Г. Поддубный, Л. К. Малинин, М. М. Сеид-Рзаев

#### МИНГЧЕВИР СУ АНБАРЫНДА БАЛЫГЛАРЫН ІАЫЛМАСЫНЫН ҲИДРОАКУСТИК ТӘДГИГИ

1983-чү илин ијул айында Мингечевир су анбарында «Чапаг» ехолоту вә АСЕИ-01 экспонтератору васитасылә балыгларын іаылмасы үзарында баъз ҳидроакустик тәдгигатлар апарылышында. Ма’лум олмушудур ки, су анбарынын 5 метрликкән дарин олан ачыг саһаларында (максимал даринлик 60 метрдир) балыгларын орта сыйхығы нөректарда  $95 \pm 30$  кг-дир. Су анбарынын үмуми ихтиокутласы 59,3 сантиметр олдуғу ма’лум олмушудур. Яңа аяларында су анбарында сујун термики тәбәгәлешмасы башверири. Термоклини амалда колдији саһаларда балыглар асасын епилимнионда, яғни үст тәбәгәде олурлар. Су анбарынын бојлама оху бојунча да балыгларын іаылмасы мұхталифdir. Балыгларын әсас күтәсінде су анбарынын термостратификация олмајан јухары һиссесінде раст калыпты.

Балыгларын іаылмасы ила су анбарынын дәренилиji арасында экс мұнасиблик мүшәнде олунур, белоз ки, саһилә жаһынлашығча балыгларын сыйхығы артыр.

УДК 599.323.4:576.312.32

Г. Н. КУЛИЕВ, Р. С. НАДЖАФОВА, Н. И. КАСУМОВА

## КАРИОТИПЫ ДОМОВОЙ, ПОЛЕВОЙ И ЛЕСНОЙ МЫШЕЙ (MURIDAE, RODENTIA)

Институт зоологии АН АзССР

Исследованы кариотипы трех видов мышей из сем. Muridae. Для каждого вида получены основные кариологические характеристики: диплоидное число хромосом ( $2n$ ), основное число хромосомных плеч (NF). Для домовой и лесной мышей проанализирован характер G-окраски каждой хромосомной пары выбора. У домовой мыши исследовано распределение в кариотипе гетерохроматина. Даётся сравнение полученных результатов с имеющимися в литературе данными.

Кариотип домовой мыши изучался рядом авторов [9, 12, 17]. По данным этих исследователей диплоидные числа хромосом у домовых мышей из различных популяций варьируют от 22 до 40. Показано, что 40-хромосомные формы обнаруживают значительную изменчивость по гетерохроматину [1].

Кариотип полевой мыши изучен сравнительно мало. Исследованные животные имеют диплоидные числа 48 [12, 14, 16] и 50 [19].

В кариотипе исследованных лесных мышей диплоидное число хромосом и основное число плеч одинаковы  $2n=NF=48$  [15, 12].

В данной статье представлены кариотипы трех видов мышей: домовой, полевой и лесной. Анализ хромосомных наборов домовой и лесной мышей проводился с использованием методов дифференциальной окраски.

Материалом для исследования послужили: 5 экземпляров домовой мыши ( $3\varphi\varphi+2\delta\delta$ ) из окрестностей гор. Баку Азербайджанской ССР; 2 экземпляра полевой мыши ( $1\varphi+1\delta$ ) из окрестностей с. Старый Хачмас Азербайджанской ССР и 6 экземпляров лесной мыши ( $3\varphi\varphi+3\delta\delta$ ) из окрестностей гор. Баку. Любопытно отметить, что лесные мыши, также как и домовые, были отловлены в жилых помещениях.

Умерщвление животных производилось парами эфира. Препараты метафазных хромосом из клеток костного мозга готовили по общепринятой методике [10] и для кариологического анализа окрашивали азур-эозином. Для идентификации хромосом использовали G-метод дифференциального окрашивания [6]. Выявление структурного гетерохроматина проводилось по методу Самнера [18].

### Кариотип домовой мыши *Mus musculus* L., 1758

Диплоидное число хромосом  $2n=40$ . Основное число плеч также равно 40. Все хромосомы домовой мыши являются акроцентрическими. X-хромосома — одна из самых крупных в наборе, по размеру совпадает с 1—3 парами аутосом. Y-хромосома — мелкая акроцент-

рическая хромосома (рис. 1а). С помощью G-окраски идентифицируются все хромосомы, включая и половые. Первая пара аутосом имеет наибольшее число интенсивно окрашенных полос. 2, 4, 7 и 11 пары имеют по две интенсивно окрашенные полосы, а в остальной части слабо структурированы. У остальных хромосом по одной интенсивно окрашенной полосе, но эти полосы различаются по локализации. X-хромосома имеет три слабоокрашенные полосы и одну интенсивно окрашенную в проксимальной части. Y-хромосома окрашена гомогенно и на полосы не дифференцируется (рис. 1 б).

В большинстве аутосомных хромосом C-окраска выявляет небольшие центромерные блоки гетерохроматина. В некоторых парах хромосом C-окраска слабая. В 3-й паре набора в центромерной области обнаруживается крупный гетерохроматиновый участок. В X-хромосоме гетерохроматин не выявляется. Y-хромосома полностью интенсивно окрашивается.

### Кариотип полевой мыши *Apodemus agrarius* Pall., 1771

Диплоидное число хромосом  $2n=48$ . Основное число плеч  $NF=58$ . Самая крупная пара аутосомных хромосом представлена субметацентриками. Следующие 18 пар — акроцентрики, составляющие убывающий ряд. 4 пары мелких двуплечих хромосом, из них 3 пары метацентрики, а 1 пара — субтелоцентрики. X-хромосома самая крупная в наборе, акроцентрик. Y — хромосома представлена мелким акроцентриком (рис. 2а).

### Кариотип лесной мыши *Apodemus sylvaticus* L., 1758

Диплоидное число хромосом  $2n=48$ . Основное число плеч  $NF=48$ . Все хромосомы набора, включая и половые, акроцентрические. X-хромосома по размеру соответствует 2—5 парам аутосом, а Y-хромосома — 6—8 парам (рис. 2б).

Все аутосомные и половые хромосомы хорошо идентифицируются при использовании G-окраски. Во 2 и 4 парах набора обнаруживается наибольшее число интенсивно окрашенных полос. 1, 3 и 5 пары имеют по три интенсивно окрашенные полосы, 6 пара — две, а 7, 8, 13, 16, 20 и 25 пары — по одной. В X-хромосоме одна интенсивно окрашенная полоса выявляется в центральной области, одна — в прицентральной, а 4 слабоокрашенные полосы — в дистальных участках хромосомы. Y — хромосома на полосы не дифференцируется.

Домовая мышь относится к наиболее изученным в кариологическом отношении животным. У исследованных к настоящему времени 9 подвидов домовой мыши [2, 9, 12, 17] наблюдаются различия по диплоидным числам хромосом. У подвидов *M. m. vagneri* Eversmann, *M. m. molossinus* TemmInck, *M. m. caroli* Bonhote, *M. m. bacirianus* Blyth, *M. m. speretus* Lataste, *M. m. musculus* L., *M. m. domesticus* Rutty в кариотипе постоянно 40 хромосом, а у подвидов *M. m. ssp.* диплоидные числа варьируют от 22 до 38 и более [2].

В Закавказье описано 4 подвида домовой мыши [7]. Животные, отловленные нами в окрестностях гор. Баку, относятся к подвиду *M. m. abbotti* Waterhouse (1839) [3] и имеют в кариотипе 40 хромосом.

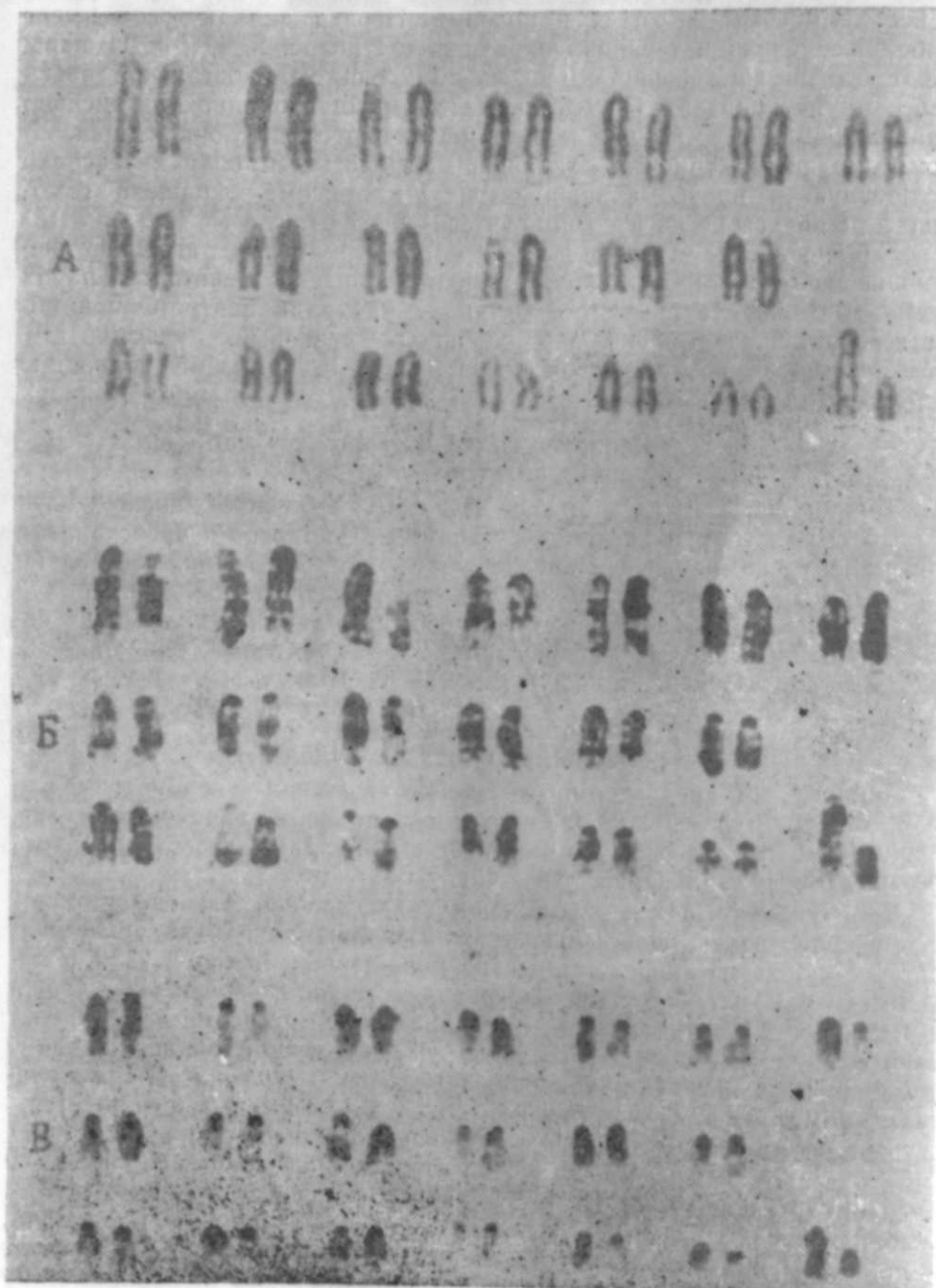


Рис. 1. Кариотип домовой мыши: А — обычная окраска; Б — G-окраска; В — С-окраска.

Анализ распределения гетерохроматина в метафазных хромосомах с помощью С-окраски проведен пока только для четырех подви-

дов 40-хромосомных форм домовой мыши: *M. m. molossinus*, *M. m. spretus*, *M. m. spicilegus* и *M. m. roddei*. Обнаружены вариации центромерного гетерохроматина в монгольской популяции *M. m. roddei*. Для их кариотипов характерно значительное увеличение С-окрашенного материала в 1, 2 или 3—4 мелких хромосомах [1]. У исследован-

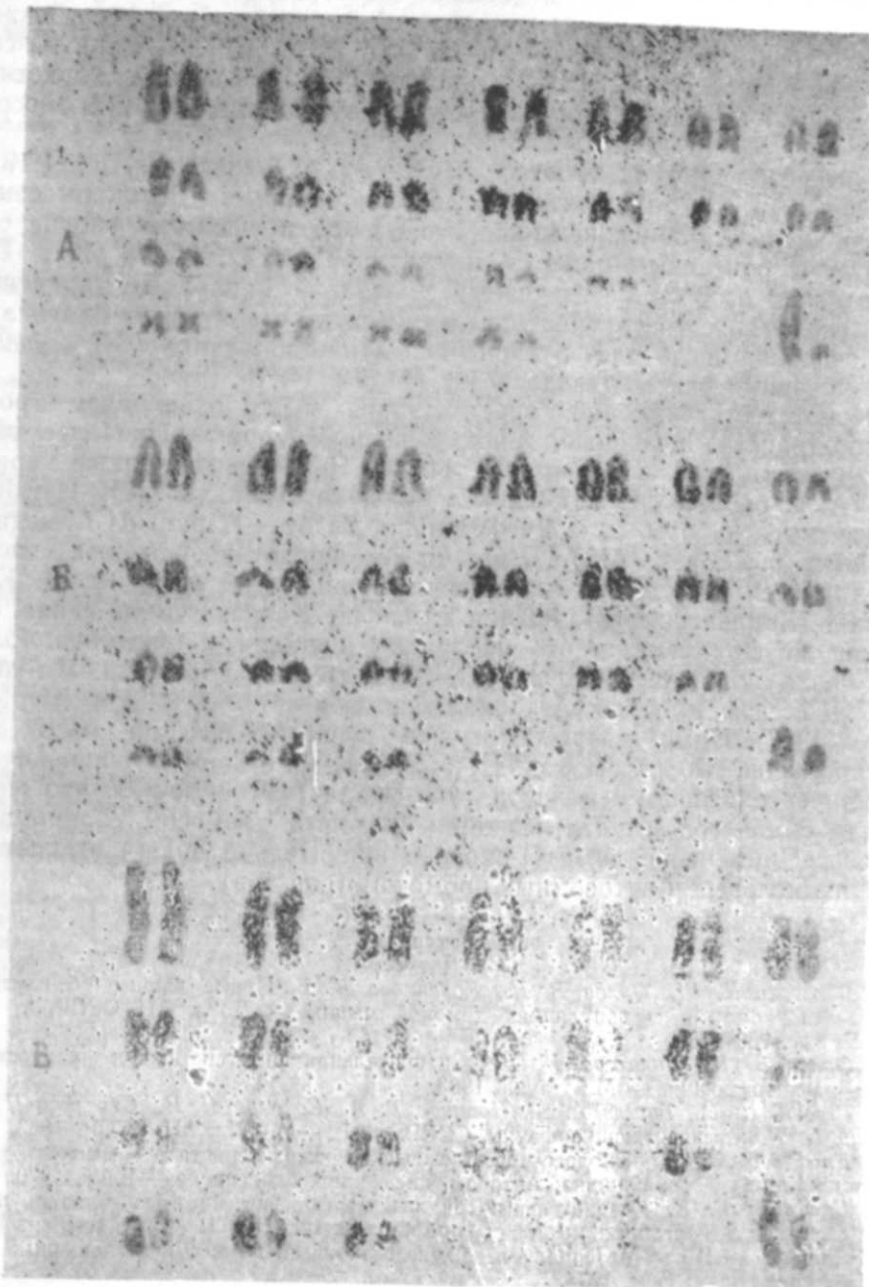


Рис. 2. Кариотипы полевой, лесной мышей: А — полевая (обычная окраска); Б — лесная (обычная окраска); В — лесная (G-окраска)

ных нами особей из окрестностей гор. Баку крупный гетерохроматиновый блок выявляется в хромосомах, соответствующих 3-й паре набора (рис. 1в).

Ареал полевой мыши по данным Шидловского [7] состоит из нескольких изолированных частей — европейской, южно-сибирской, дальневосточной, восточно-китайской, северокавказской. Кариологически изучено 5 подвидов из этих частей за исключением северокавказской: *A. a. agrarius* [11, 16], *A. a. insulaenus* и *A. a. mantchuricus* [14], *A. a. mantchuricus* и *A. a. pgnevi* [12], имеющие в кариотипе 48 хромосом, и *A. a. ningpoensis* [19] с диплоидным числом хромосом  $2n=50$ .

Изученные нами особи относятся к *A. a. caucasicus* Dukei 1927 [7]. Кариотип этого подвида описывается впервые. Все хромосомы данного подвида, за исключением 1 пары, по морфологии вполне соответствуют описанным ранее в литературе [11, 12, 14, 16, 19]. По данным этих авторов, у изученных подвидов 1 пара в кариотипе *A. a. caucasicus* имеет субтелоцентрическую структуру. Благодаря этому основное число плец в кариотипе данного подвида (58) больше, чем у описанных ранее подвидов (56) [11, 12, 14, 16, 19].

Общий географический ареал лесной мыши охватывает огромные пространства в Европе, Азии, Северной Африке. Наиболее изучен кариотип *A. s. sylvaticus* [8, 11, 13, 16]. Описаны также кариотипы *A. s. pallipes*, *A. s. tokmak* и *A. s. kurdistanicus* [12]. Изучены хромосомные наборы *A. s. kurdistanicus* Turov (1928) из Армении и поймы р. Терек [12]. Диплоидное число и основное число плец для всех вышеназванных подвидов одинаковы и равны 48. Как отмечает Шидловский [7], лесная мышь на Кавказе чрезвычайно изменчива морфологически, что послужило поводом к описанию большого числа подвидов в других таксономических категориях. По данным Ерофеевой [4, 5], в Азербайджане обитает *A. s. kurdistanicus* Turov (1928). Нами впервые изучен кариотип лесной мыши из Азербайджана. По своим характеристикам этот кариотип вполне соответствует описанному в литературе. Крал [12] отмечает, что определение гомологов и идентификация половых хромосом сильно затруднены. Применение нами G-окраски значительно облегчает идентификацию половых и аутосомных хромосом (рис. 2 в).

#### Литература

- Булатова Н. Ш., Орлов В. Н., Котенкова В. Е. Новые данные об изменчивости гетерохроматина в популяциях домовой мыши. — Докл. АН СССР, т. 275, 1984, № 3, с. 758—760.
- Орлов В. Н., Булатова Н. Ш. Сравнительная цитогенетика и кариосистематика млекопитающих. — М.: Наука, 1983.
- Громов И. М., Гуреев А. А., Новиков Г. А., Соколов И. И., Стрелков П. П., Чанский К. К. Млекопитающие фауны СССР, ч. I. — М.—Л.: АН СССР, 1963.
- Ерофеева С. Н. Экологоморфологическая характеристика мышей рода *Apodemus* Каир. Азербайджана: Автoref. дис... канд. биол. наук — Баку, 1970.
- Ерофеева С. Н. Сравнительный анализ морфологических особенностей популяций лесных и желтогорлых мышей (*Apodemus sylvaticus* L. и *A. tauricus* Pall.) Азербайджана. — В сб.: Материалы по фауне и экологии наземных позвоночных Азербайджана. Баку: Элм, 1975.
- Раджабли С. И., Крюкова Е. П. Сравнительный анализ дифференциальной окраски хромосом двух видов хомячков: даурского и китайского. — Цитология, т. 15, 1973 № 12, с. 1627—1631.
- Шидловский М. В. Определитель грызунов Закавказья. — Тбилиси: Мецнера, 1976.
- Bisbun N. P. Karyological analysis in the field mouse *Apodemus sylvaticus*. — Mammalian Chromosomes Newsletter, 1968, 9(1):19.
- Capanna E., Cristaldi M. V., Perticone P., Rizzi M. Identification of chromosomes involved in the 9 Robertsonian fusions of the Apennine mouse with a 22-chromosome karyotype. — Experientia, 1975, vol. 31, p. 294—296.
- Ford C. E., Hamerton J. L. A colchicine hypotonic citrate squash sequence for mammalian chromosomes. — Strain Technol., 1956, vol. 31, p. 247—251.
- Kral B. Chromosome studies in two subgenera of the genus *Apodemus*. — Zool. listy, 1970, 19:119—134.
- Kral B. Chromosome characteristics of certain Murinae Rodents (Muridae) of the Asiatic Part of the USSR. — Zool. listy, 1971, 20(4):331—347.
- Livkovic S., Soldatovic B., Milosevic M., Mikes M., Sapic I. Chromosomal analysis of three populations of *Apodemus sylvaticus* in the Banat. — Arhiv Biologih Nauka, 1966, 18(3—4):37—38.
- Makino S. Studies on the murine chromosomes in *Apodemus* especially with reference to the sex chromosomes in meiosis. — J. Morphol., 1951, 88(1):93—126.
- Matthéy R. La formule chromosomiale et les hétérochromosomes chez les *Apodemus* européens. — Z. Zellf. mikr. Anat., 1936, 25:501—515.
- Matthéy R. Encore les hétérochromosomes des *Apodemus*. Arch. Klaus-Stift. — Vererb. Forsch. Zürich, 1947, 22:85—92.
- Matthéy R. Nouveaux documents sur les chromosomes de Muridae. Problèmes de cytologie comparée et de taxonomie chez les Microtinae. — Rev. Suisse Zool., 1955, 62:163—206.
- Summer A. T. A simple technique for demonstrating centrometric heterochromatin. — Exptl. Cell. Res., 1972, 75, 1:304—306.
- Tateishi S. A preliminary report on some peculiar shaped chromosomes in three species of *Apodemus*. — Trans. Nat. Hist. Soc. Formosa, 1934, 24:15—17.

Г. Н. Гулиев, Р. С. Начафова, Н. И. Гасымова

#### ЕВ. ТАРЛА ВӘ МЕШЭ СИЧАНЛАРЫНЫН КАРИОТИПИ (MURIDAE, RODENTIA)

Мэгалаэ ев, тарла вә мешэ сичанынын кариотипи өјрәнилмишdir. Тәдгигат үчүн Хачмас кәнди өтрафындан тутулмушдур. Ев вә мешэ сичаны нам аді ранкләмә вә һәм дә диференциал ранкләмә методу илә, тарла сичаны исә аді ранкләмә методу илә өјрәнилмишdir. Тәдгигат көстәрди ки, ев сичанынын хромосом диплоид сајы 2n=40, чиинләринни сајы NF-40-а, тарла сичанынын 2n=48, NF -58-а мешэ сичанынын исә 2n=48, NF 48-а бәрабәрдир. С—методунун тәтбиғи көстәрди ки, Бакы өтрафындан тутулмуш ев сичанларынын кариотипи дикар өтрафи негтәләрдән өјрәнилмиш ев сичанларынын кариотипиндең фәргләнир. Бела ки, дикар өтрафи негтәләрдән өјрәнилмиш ев сичанларынын кариотипинде нетерохроматин блоку кичик хромосом чүтләрнән ашқар олунур. Бакы өтрафындан тутулмуш ев сичанларында исә нетерохроматин блоку бөйүк хромосом чүтләрнән мүәзжан олунур. Тарла сичаны кариотипинде дә фагр ашқар едилмишdir. Кәнди Хачмас кәнди өтрафындан тутулмуш тарла сичанынын биринчи чүт хромосому икчиинилидir. Дикар өтрафи негтәләрдән өјрәниләм тарла сичанларынын биринчи чүтү биринчи чүтү икчиинилидir.

Сүйнүүлүк орнекшөөнде жарылыштыралып, түркменистандык түркмени тарла сичанларынын кариотипинде нетерохроматин блоку кичик хромосом чүтләрнән ашқар олунур. Бакы өтрафындан тутулмуш ев сичанларында исә нетерохроматин блоку бөйүк хромосом чүтләрнән мүәзжан олунур. Тарла сичаны кариотипинде дә фагр ашқар едилмишdir. Кәнди Хачмас кәнди өтрафындан тутулмуш тарла сичанынын биринчи чүт хромосому икчиинилидir. Дикар өтрафи негтәләрдән өјрәниләм тарла сичанларынын биринчи чүтү биринчи чүтү икчиинилидir.

Сүйнүүлүк орнекшөөнде жарылыштыралып, түркменистандык түркмени тарла сичанларынын кариотипинде нетерохроматин блоку кичик хромосом чүтләрнән ашқар олунур. Бакы өтрафындан тутулмуш ев сичанларында исә нетерохроматин блоку бөйүк хромосом чүтләрнән мүәзжан олунур. Тарла сичаны кариотипинде дә фагр ашқар едилмишdir. Кәнди Хачмас кәнди өтрафындан тутулмуш тарла сичанынын биринчи чүт хромосому икчиинилидir. Дикар өтрафи негтәләрдән өјрәниләм тарла сичанларынын биринчи чүтү биринчи чүтү икчиинилидir.

Сүйнүүлүк орнекшөөнде жарылыштыралып, түркменистандык түркмени тарла сичанларынын кариотипинде нетерохроматин блоку кичик хромосом чүтләрнән ашқар олунур. Бакы өтрафындан тутулмуш ев сичанларында исә нетерохроматин блоку бөйүк хромосом чүтләрнән мүәзжан олунур. Тарла сичаны кариотипинде дә фагр ашқар едилмишdir. Кәнди Хачмас кәнди өтрафындан тутулмуш тарла сичанынын биринчи чүт хромосому икчиинилидir. Дикар өтрафи негтәләрдән өјрәниләм тарла сичанларынын биринчи чүтү биринчи чүтү икчиинилидir.

Сүйнүүлүк орнекшөөнде жарылыштыралып, түркменистандык түркмени тарла сичанларынын кариотипинде нетерохроматин блоку кичик хромосом чүтләрнән ашқар олунур. Бакы өтрафындан тутулмуш ев сичанларында исә нетерохроматин блоку бөйүк хромосом чүтләрнән мүәзжан олунур. Тарла сичаны кариотипинде дә фагр ашқар едилмишdir. Кәнди Хачмас кәнди өтрафындан тутулмуш тарла сичанынын биринчи чүт хромосому икчиинилидir. Дикар өтрафи негтәләрдән өјрәниләм тарла сичанларынын биринчи чүтү биринчи чүтү икчиинилидir.

Сүйнүүлүк орнекшөөнде жарылыштыралып, түркменистандык түркмени тарла сичанларынын кариотипинде нетерохроматин блоку кичик хромосом чүтләрнән ашқар олунур. Бакы өтрафындан тутулмуш ев сичанларында исә нетерохроматин блоку бөйүк хромосом чүтләрнән мүәзжан олунур. Тарла сичаны кариотипинде дә фагр ашқар едилмишdir. Кәнди Хачмас кәнди өтрафындан тутулмуш тарла сичанынын биринчи чүт хромосому икчиинилидir. Дикар өтрафи негтәләрдән өјрәниләм тарла сичанларынын биринчи чүтү биринчи чүтү икчиинилидir.

Сүйнүүлүк орнекшөөнде жарылыштыралып, түркменистандык түркмени тарла сичанларынын кариотипинде нетерохроматин блоку кичик хромосом чүтләрнән ашқар олунур. Бакы өтрафындан тутулмуш ев сичанларында исә нетерохроматин блоку бөйүк хромосом чүтләрнән мүәзжан олунур. Тарла сичаны кариотипинде дә фагр ашқар едилмишdir. Кәнди Хачмас кәнди өтрафындан тутулмуш тарла сичанынын биринчи чүт хромосому икчиинилидir. Дикар өтрафи негтәләрдән өјрәниләм тарла сичанларынын биринчи чүтү биринчи чүтү икчиинилидir.

Сүйнүүлүк орнекшөөнде жарылыштыралып, түркменистандык түркмени тарла сичанларынын кариотипинде нетерохроматин блоку кичик хромосом чүтләрнән ашқар олунур. Бакы өтрафындан тутулмуш ев сичанларында исә нетерохроматин блоку бөйүк хромосом чүтләрнән мүәзжан олунур. Тарла сичаны кариотипинде дә фагр ашқар едилмишdir. Кәнди Хачмас кәнди өтрафындан тутулмуш тарла сичанынын биринчи чүт хромосому икчиинилидir. Дикар өтрафи негтәләрдән өјрәниләм тарла сичанларынын биринчи чүтү биринчи чүтү икчиинилидir.

Сүйнүүлүк орнекшөөнде жарылыштыралып, түркменистандык түркмени тарла сичанларынын кариотипинде нетерохроматин блоку кичик хромосом чүтләрнән ашқар олунур. Бакы өтрафындан тутулмуш ев сичанларында исә нетерохроматин блоку бөйүк хромосом чүтләрнән мүәзжан олунур. Тарла сичаны кариотипинде дә фагр ашқар едилмишdir. Кәнди Хачмас кәнди өтрафындан тутулмуш тарла сичанынын биринчи чүт хромосому икчиинилидir. Дикар өтрафи негтәләрдән өјрәниләм тарла сичанларынын биринчи чүтү биринчи чүтү икчиинилидir.

Сүйнүүлүк орнекшөөнде жарылыштыралып, түркменистандык түркмени тарла сичанларынын кариотипинде нетерохроматин блоку кичик хромосом чүтләрнән ашқар олунур. Бакы өтрафындан тутулмуш ев сичанларында исә нетерохроматин блоку бөйүк хромосом чүтләрнән мүәзжан олунур. Тарла сичаны кариотипинде дә фагр ашқар едилмишdir. Кәнди Хачмас кәнди өтрафындан тутулмуш тарла сичанынын биринчи чүт хромосому икчиинилидir. Дикар өтрафи негтәләрдән өјрәниләм тарла сичанларынын биринчи чүтү биринчи чүтү икчиинилидir.

Сүйнүүлүк орнекшөөнде жарылыштыралып, түркменистандык түркмени тарла сичанларынын кариотипинде нетерохроматин блоку кичик хромосом чүтләрнән ашқар олунур. Бакы өтрафындан тутулмуш ев сичанларында исә нетерохроматин блоку бөйүк хромосом чүтләрнән мүәзжан олунур. Тарла сичаны кариотипинде дә фагр ашқар едилмишdir. Кәнди Хачмас кәнди өтрафындан тутулмуш тарла сичанынын биринчи чүт хромосому икчиинилидir. Дикар өтрафи негтәләрдән өјрәниләм тарла сичанларынын биринчи чүтү биринчи чүтү икчиинилидir.

Сүйнүүлүк орнекшөөнде жарылыштыралып, түркменистандык түркмени тарла сичанларынын кариотипинде нетерохроматин блоку кичик хромосом чүтләрнән ашқар олунур. Бакы өтрафындан тутулмуш ев сичанларында исә нетерохроматин блоку бөйүк хромосом чүтләрнән мүәзжан олунур. Тарла сичаны кариотипинде дә фагр ашқар едилмишdir. Кәнди Хачмас кәнди өтрафындан тутулмуш тарла сичанынын биринчи чүт хромосому икчиинилидir. Дикар өтрафи негтәләрдән өјрәниләм тарла сичанларынын биринчи чүтү биринчи чүтү икчиинилидir.

Сүйнүүлүк орнекшөөнде жарылыштыралып, түркменистандык түркмени тарла сичанларынын кариотипинде нетерохроматин блоку кичик хромосом чүтләрнән ашқар олунур. Бакы өтрафындан тутулмуш ев сичанларында исә нетерохроматин блоку бөйүк хромосом чүтләрнән мүәзжан олунур. Тарла сичаны кариотипинде дә фагр ашқар едилмишdir. Кәнди Хачмас кәнди өтрафындан тутулмуш тарла сичанынын биринчи чүт хромосому икчиинилидir. Дикар өтрафи негтәләрдән өјрәниләм тарла сичанларынын биринчи чүтү биринчи чүтү икчиинилидir.

Сүйнүүлүк орнекшөөнде жарылыштыралып, түркменистандык түркмени тарла сичанларынын кариотипинде нетерохроматин блоку кичик хромосом чүтләрнән ашқар олунур. Бакы өтрафындан тутулмуш ев сичанларында исә нетерохроматин блоку бөйүк хромосом чүтләрнән мүәзжан олунур. Тарла сичаны кариотипинде дә фагр ашқар едилмишdir. Кәнди Хачмас кәнди өтрафындан тутулмуш тарла сичанынын биринчи чүт хромосому икчиинилидir. Дикар өтрафи негтәләрдән өјрәниләм тарла сичанларынын биринчи чүтү биринчи чүтү икчиинилидir.

Сүйнүүлүк орнекшөөнде жарылыштыралып, түркменистандык түркмени тарла сичанларынын кариотипинде нетерохроматин блоку кичик хромосом чүтләрнән ашқар олунур. Бакы өтрафындан тутулмуш ев сичанларында исә нетерохроматин блоку бөйүк хромосом чүтләрнән мүәзжан олунур. Тарла сичаны кариотипинде дә фагр ашқар едилмишdir. Кәнди Хачмас кәнди өтрафындан тутулмуш тарла сичанынын биринчи чүт хромосому икчиинилидir. Дикар өтрафи негтәләрдән өјрәниләм тарла сичанларынын биринчи чүтү биринчи чүтү икчиинилидir.

Сүйнүүлүк орнекшөөнде жарылыштыралып, түркменистандык түркмени тарла сичанларынын кариотипинде нетерохроматин блоку кичик хромосом чүтләрнән ашқар олунур. Бакы өтрафындан тутулмуш ев сичанларында исә нетерохроматин блоку бөйүк хромосом чүтләрнән мүәзжан олунур. Тарла сичаны кариотипинде дә фагр ашқар едилмишdir. Кәнди Хачмас кәнди өтрафындан тутулмуш тарла сичанынын биринчи чүт хромосому икчиинилидir. Дикар өтрафи негтәләрдән өјрәниләм тарла сичанларынын биринчи чүтү биринчи чүтү икчиинилидir.

Сүйнүүлүк орнекшөөнде жарылыштыралып, түркменистандык түркмени тарла сичанларынын кариотипинде нетерохроматин блоку кичик хромосом чүтләрнән ашқар олунур. Бакы өтрафындан тутулмуш ев сичанларында исә нетерохроматин блоку бөйүк хромосом чүтләрнән мүәзжан олунур. Тарла сичаны кариотипинде дә фагр ашқар едилмишdir. Кәнди Хачмас кәнди өтрафындан тутулмуш тарла сичанынын биринчи чүт хромосому икчиинилидir. Дикар өтрафи негтәләрдән өјрәниләм тарла сичанларынын биринчи чүтү биринчи чүтү икчиинилидir.

Сүйнүүлүк орнекшөөнде жарылыштыралып, түркменистандык түркмени тарла сичанларынын кариотипинде нетерохроматин блоку кичик хромосом чүтләрнән ашқар олунур. Бакы өтрафындан тутулмуш ев сичанларында исә нетерохроматин блоку бөйүк хромосом чүтләрнән мүәзжан олунур. Тарла сичаны кариотипинде дә фагр ашқар едилмишdir. Кәнди Хачмас кәнди өтрафындан тутулмуш тарла сичанынын биринчи чүт хромосому икчиинилидir. Дикар өтрафи негтәләрдән өјрәниләм тарла сичанларынын биринчи чүтү биринчи чүтү икчиинилидir.

Сүйнүүлүк орнекшөөнде жарылыштыралып, түркменистандык түркмени тарла сичанларынын кариотипинде нетерохроматин блоку кичик хромосом чүтләрнән ашқар олунур. Бакы өтрафындан тутулмуш ев сичанларында исә нетерохроматин блоку бөйүк хромосом чүтләрнән мүәзжан олунур. Тарла сичаны кариотипинде дә фагр ашқар едилмишdir. Кәнди Хачмас кәнди өтрафындан тутулмуш тарла сичанынын биринчи чүт хромосому икчиинилидir. Дикар өтрафи негтәләрдән өјрәниләм тарла сичанларынын биринчи чүтү биринчи чүтү икчиинилидir.

Сүйнүүлүк орнекшөөнде жарылыштыралып, түркменистандык түркмени тарла сичанларынын кариотипинде нетерохроматин блоку кичик хромосом чүтләрнән ашқар олунур. Бакы өтрафындан тутулмуш ев сичанларында исә нетерохроматин блоку бөйүк хромосом чүтләрнән мүәзжан олунур. Тарла сичаны кариотипинде дә фагр ашқар едилмишdir. Кәнди Хачмас кәнди өтрафындан тутулмуш тарла сичанынын биринчи чүт хромосому икчиинилидir. Дикар өтрафи негтәләрдән өјрәниләм тарла сичанларынын биринчи чүтү биринчи чүтү икчиинилидir.

Сүйнүүлүк орнекшөөнде жарылыштыралып, түркменистандык түркмени тарла сичанларынын кариотипинде нетерохроматин блоку кичик хромосом чүтләрнән ашқар олунур. Бакы өтрафындан тутулмуш ев сичанларында исә нетерохроматин блоку бөйүк хромосом чүтләрнән мүәзжан олунур. Тарла сичаны кариотипинде дә фагр ашқар едилмишdir. Кәнди Хачмас кәнди өтрафындан тутулмуш тарла сичанынын биринчи чүт хромосому икчиинилидir. Дикар өтрафи негтәләрдән өјрәниләм тарла сичанларынын биринчи чүтү биринчи чүтү икчиинилидir.

Сүйнүүлүк орнекшөөнде жарылыштыралып, түркменистандык түркмени тарла сичанларынын кариотипинде нетерохроматин блоку кичик хромосом чүтләрнән ашқар олунур. Бакы өтрафындан тутулмуш ев сичанларында исә нетерохроматин блоку бөйүк хромосом чүтләрнән мүәзжан олунур. Тарла сичаны кариотипинде дә фагр ашқар едилмишdir. Кәнди Хачмас кәнди өтрафындан тутулмуш тарла сичанынын б

УДК 595.799/471.61

С. И. ИБАДОВА

**БИОЭКОЛОГИЧЕСКИЕ ОСОБЕННОСТИ ВИНОГРАДНОГО  
 МУЧНИСТОГО ЧЕРВЕЦА (*PLANOCOCCUS FICUS*  
*SIGNORET.*) НА АПШЕРОНЕ**

Институт зоологии АН АзССР

Установлено, что на Апшероне виноградный мучнистый червь вредит 9-ти видам культурных и декоративных растений и развивается в четырех поколениях. Самой плодовитой является третья генерация, что связано с питанием червеца сочными плодами винограда.

В сельском хозяйстве Апшерона значительное место занимают плодовые культуры, которым в значительной степени вредят виноградный мучнистый червь.

По литературным данным, виноградный мучнистый червь широко распространен в странах Средиземноморья, в Северной и Южной Америке, в странах Восточной Азии и Ближнего Востока [3, 12].

В СССР этот вид распространен на Южном берегу Крыма [4], в Азербайджане [14, 15], в Армении [12], в Туркмении [6], в Узбекистане [5, 16], в Таджикистане [2], в Грузии [1] и в некоторых областях РСФСР (Грозненская обл., Краснодарский край, Дагестан). Большие работы по изучению виноградного мучнистого червеца в Азербайджане проводились Принцем [7, 8], Шеком [17], Федоровым [13], Соловьевой [10], Халиловым [14, 15], Самедовым [9], Сидоровницой [11] и др.

Как видно из изложенного, распространение этого вредителя и его вредоносность исследованы достаточно. Однако некоторые аспекты биоэкологических данных этого вредителя остаются малоисследованными. К ним, в первую очередь, относится изучение фенологии развития вредителя и его кормовые связи на Апшероне. Некоторые данные по фенологии развития этого вредителя на Апшероне имеются у Б. Б. Халилова [14], а работа Б. А. Самедова [9] посвящена факторам, влияющим на численность виноградного мучнистого червеца в условиях Азербайджана (в том числе и Апшерона).

Исследования, проводимые нами, показали, что этот вид червеца зимует в стадии личинки старшего возраста, а также в стадии взрослой самки. В зависимости от хозяина-растения, он может располагаться под корой, в трещинах столбов и кольев, поддерживающих лозу; в трещинах, в глубоких дуплах, в корневой шейке ствола инжира; в чашечках плодов граната; под отстающей корой, в дуплах и трещинах ствола шелковицы. Уход на зимовку червеца на Апшероне происходит в конце октября. Наблюдения показали, что на зимовку уходят все стадии червеца. Но зимние условия (низкая температура, снег, дождь, ветер) приводят часть зимующих червецов к гибели (в основном личинок младших возрастов и яиц) (см. табл. 1).

По сообщению В. В. Яхонтова [16], виноградный мучнистый червь

**ФЕНОЛОГИЧЕСКИЙ КАЛЕНДАРЬ РАЗВИТИЯ ВИНОГРАДНОГО МУЧНИСТОГО ЧЕРВЕЦА (*Planococcus ficus Signoret*) НА АПШЕРОНЕ**

ПОКОЛЕНИЯ	МАРТ			АПРЕЛЬ			МАЙ			ИЮНЬ			ИЮЛЬ			АВГУСТ		
	1	2	3	4	1	2	3	1	2	3	1	2	3	1	2	3	1	2
I	■	■	■	■	■	■	■	■	■	■	■	■	■	■	■	■	■	■
	+	+	+	+	+	+	+	+	+	+	+	+	+	+	+	+	+	+
II					• (w)	•	—	—	(—)	=	(=)	=	=	+	(+)	+	• (—)	•
III																		
IV																		

**УСЛОВНЫЕ ОБОЗНАЧЕНИЯ:** • ЯЙЦО; + САМКА, — ЛИЧИНКА 2 ВОЗРАСТА; = ЛИЧИНКА 3 ВОЗРАСТА;

Таблица 1

ФЕНОЛОГИЧЕСКИЙ КАЛЕНДАРЬ РАЗВИТИЯ ВИНОГРАДНОГО МУЧНИСТОГО ЧЕРВЕЦА (*Planococcus ficus* Signoret) НА АПШЕРОНЕ. (по данным 1925 г.)

(по данным 1975-1982 гг.)

УСЛОВНЫЕ ОБОЗНАЧЕНИЯ: ♂ ЯЙЦО; ♀ САМКА, - ЛИЧИНКА 1 ВОЗРАСТА;  
♂ ЛИЧИНКА 2 ВОЗРАСТА; ♀ ЛИЧИНКА 3 ВОЗРАСТА; ( ) ПЕРИОДЫ МАССОВОСТИ.

По сообщению В. В. Яхонтова [16], виноградный мучнистый червей зимует в стадии недоразвитых самок, в трещинах и других местах, защищенных от неблагоприятных условий. По наблюдениям А. Насырова [5], в Коканде на зимовку уходят личинки третьего возраста. По данным Б. Б. Халилова [15], в Кировабадской зоне зимуют личинки и взрослые особи. Количество яиц, отложенных каждой перезимовавшей самкой, в среднем составляло 66 экз. Количество яиц, отложенных каждой перезимовавшей самкой на Апшероне, в среднем невелико и составляет минимум 3, а максимум 29 шт. (в среднем 13,4).

Выход из зимовки наблюдается в конце марта и в начале апреля. Получая дополнительное питание, личинки и самки развиваются около 13 дней, после чего самки приступают к откладке яиц. В условиях Апшерона, по нашим наблюдениям (1975—1982 гг.), откладка яиц перезимовавшими самками происходит в середине апреля (вторая декада апреля) и составляет в среднем 13,4 (минимум 3, максимум 29) яиц. Инкубационный период первой генерации составляет около  $17 \pm 0,6$  дней. Вылупление из яиц личинок, отложенных перезимовавшими самками, наблюдается в первой декаде мая. Основное количество этих личинокпитается в местах вылупления на скелетных органах. Единичные экземпляры личинок переходят из под коры на основания зеленых побегов и на листья.

На Апшероне первая генерация червеца длится до середины июня. Продолжительность первой генерации составляет 59—61 день. Однако по данным Б. Б. Халилова [14], в зависимости от климатических факторов, продолжительность развития первого поколения от яйца половозрелой самки составляет от 40 до 52 дней. Каждая личиночная стадия первой генерации длится 11—12 дней. Количество яиц, отложенных первой генерацией червеца, составляет в среднем 94,7 (минимум — 38, максимум — 146). По данным Б. Б. Халилова [14], в опыте из 20-ти самок первого поколения среднее минимальное количество отложенных одной самкой яиц составляло 6, а максимальное — 150 шт.

Отрождение личинок первого возраста второй генерации наблюдается в конце второй декады июня и продолжается до второй декады июля, что соответствует данным Б. Б. Халилова [14]. Вышедшие личинки первого возраста второй генерации, ища себе место для питания, активно двигаются по стволу, собираются вокруг молодых побегов, на листьях, вдоль жилок. Инкубационный период второй генерации червеца длится  $7 \pm 0,6$  дней, а продолжительность жизни этой генерации червеца составляет 42—44 дня. По данным Б. Б. Халилова [14], развитие второго поколения завершается в течение 36—45 дней. Число откладываемых яиц второй генерации увеличивается и составляет в среднем 225,8 яиц (минимум 110, максимум 357). По данным Б. Б. Халилова [14], плодовитость второго поколения в среднем составляет 145 яиц (минимум 40, максимум 351). Самки второй генерации в начале августа приступают к откладке яиц.

В начале второй декады августа из яиц вылупляются личинки первого возраста третьей генерации. Поселяясь на молодых лозах, листьях и созревших кистях, они переходят к сидячему образу жизни. Третья генерация виноградного мучнистого червеца самая корот-

кая. Эта генерация длится всего 32—33 дня, при этом количество отложенных одной самкой этой генерации яиц составляет в среднем 268,2 (минимум 193, максимум 383) шт. Самой плодовитой является третья генерация, что связано с питанием червеца сочными плодами винограда. Каждая личиночная стадия третьей генерации длится 6—7 дней. Во второй декаде сентября самки этой генерации откладывают яйца. В конце сентября из этих яиц отрождаются личинки четвертого поколения, которые питаются в основном листьями и побегами, где и развиваются, а после листопада переходят в укромные места лозы, где остаются на зимовку. Надо отметить, что численность этого поколения сильно снижается в связи с периодом сбора плодов винограда, где они питаются. Тем самым проводится как бы механическая борьба с этим вредителем. Именно эти оставшиеся на листьях и молодых побегах личинки и идут на зимовку.

Однако в отдельные годы (1973, 1977) на Апшероне червей развивался в трех полных и в одном неполном поколениях, что связано с понижением температуры во второй половине осеннего сезона.

В условиях Туркмении [6] червей развивается в пяти поколениях, в Кобулетском районе Грузии [1] имеет четыре полных поколения, а также в Таджикистане [2] развивается в трех поколениях.

Виноградный мучнистый червей зарегистрирован нами на Апшероне на многих культурных и декоративных растениях, среди которых многие имеют хозяйственное значение. Так, на Апшероне этим червем повреждаются девять видов растений, из которых шесть видам причиняется значительный ущерб (табл. 2).

Таблица 2

Степень поражаемости плодовых культур на Апшероне виноградным мучнистым червем по наблюдениям 1978 г.

Виды растений	Общее кол-во исслед. растений	Из них зараженных	Зарождение в баллах		
			1	2	3
Виноградная лоза	1125	953	357	215	381
Инжир	813	701	218	89	394
Шелковица	1533	817	470	333	14
Гранат	317	217	85	39	93
Айва	154	91	73	14	4
Абрикос	218	101	57	27	27

Как видно из данных табл. 2, на Апшероне вредоносной деятельности виноградного мучнистого червеца больше всего подвергаются виноградная лоза, инжир и гранат. На декоративных растениях червей встречается единично.

#### Литература

- Батишвили И. Д. Вредители континентальных и субтропических плодовых культур, изд. 2-е. — Тбилиси, 1965, с. 334.
- Базаров Б. Б. Червецы и щитовки, вредители плодовых культур и декоративных культур Таджикистана. — Душанбе, 1969, с. 47.
- Данциг Е. М. К номенклатуре и распространению некоторых вредных ви-

дов кокцид (Homoptera, Coccoidea). Энтомологич. обозрение, т. VI, вып. I. — Л.: Наука, 1977, с. 99—102.

4. Дириш В. М. Вредители виноградной лозы и меры борьбы с ними. — М., 1938, с. 24—27.

5. Насыров А. Распространение виноградного мучнистого червеца в Ферганской долине, его вредоносность и меры борьбы с ним/Тезисы докладов пятого съезда БЭО. — М.—Л., 1963.

6. Ниязов О. Д. Anagurus pseudococcii (Lir) — паразит виноградного мучнистого червеца. — Изв. АН ТуркССР, 1967, т. 6, с. 50.

7. Принц Я. И. Материалы по вредителям винограда. — Тифлис, 1928, с. 119—126.

8. Принц Я. И. Вредители и болезни виноградной лозы. — М., 1962, с. 244.

9. Самедов Б. А. Факторы, влияющие на численность виноградного мучнистого червеца в условиях Азербайджана/Материалы сессии Закавказского совета по координации науч.-исслед. работ по защите растений. — Баку: Изд-во АН Азерб. ССР, 1966, с. 350—354.

10. Соловьевна И. В. Зимняя борьба с виноградным мучнистым червецом. — Баку, 1949, с. 3.

11. Сидоровнина Е. П. Виноградный мучнистый червей (*Pseudococcus citri* Risso). В кн.: Вредители сельскохозяйственных культур в Азербайджане и меры борьбы с ними (на азерб. яз.). Баку: Изд-во АН Азерб. ССР, 1953, с. 557.

12. Тер-Григорян М. А. Fauna Армянской ССР. Насекомые хоботные. Червецы и щитовки. Мучнистые червецы. — Ереван: Изд-во АН АрмССР, 1973, с. 243.

13. Федоров С. М. Виноградный червей — *Pseudococcus citri* Risso — как массовый вредитель виноградной лозы в Азербайджане и попытка биологического метода борьбы с ним/ВИЗР Защита растений, 1935, № 7, с. 73—82.

14. Халилов Б. Б. К изучению виноградного мучнистого червеца в Азербайджане. — Уч. зап. Азерб. сельскохоз. ин-та им. Агамалиоглы. Кировабад, 1969, с. 3—18.

15. Халилов Б. Б. Вредители виноградников в Азербайджане. Защита растений, 1972, № 2, с. 36—40.

16. Яхонтов В. В. Вредители сельскохозяйственных растений и продуктов Средней Азии и борьба с ними. — Ташкент: Гос. изд-во УзССР, 1953, с. 661.

17. Шек Г. Х. Борьба с виноградным червецом в Азербайджане. — Вестн. защиты растений, 1939, № 1.

С. И. Ибадова

#### АБШЕРОНДА УЗУМ ҮНЛҮ ЖАСЫЧАСЫНЫН (PLANOCOCCUS FICUS SIGNORET БИОЕКОЛОЖИ ХҮССИЙЛЭТЛЭРИ

Абшеронда узум үнлү жастычсы 9 иев мејэ вэ базэк биткиләрү үзәринде гејдэ алынмышдыр. Онлар бу биткиләрдэн 6-сынын горхулу зэрэвреричиңи несаб олунур. Жастыч Абшерон шарактиндэ 1 векетасија дөврү эрзиндэ 4 иэслин верир. Зэрэвреричи сүрфэ вэ диши фәрд мәрнәлсүндө гышлајыр. Гышламыш диши фәрдлэр апрел айынын орталарында јумурта гојмага башлајыр (орта несабла 13,4 эдэд). I иэслин иникишафы 59—61 күн II иэслин иникишафы 42—44 күн, III иэслин иникишафы исэ 32—33 күн баша чатыр. I иэслин диши фәрдләри орта несабла 94,7, II иэслин диши фәрдләри 225,8, III иэслин диши фәрдләри исэ орта несабла 268,2 эдэд јумурта гојур.

УДК 577.472(28)

Р. А. АЛИЕВ

## СОСТАВ И РАСПРЕДЕЛЕНИЕ МАКРОЗООБЕНТОСА В ОЗЕРАХ АДЖИКАБУЛ И НАХАЛЫХЧАЛА

Институт зоологии АН АзССР

В работе впервые приводится распределение макрозообентоса по биоценозам в озерах Аджикабул и Нахалыхчала. В оз. Аджикабул максимальное число видов (65) макрозообентоса и наивысшая его биомасса ( $2,217 \text{ г/м}^2$ ) при средней численности  $366 \text{ экз/м}^2$  отмечены среди зарослей макрофитов, а минимальные (соответственно 16;  $0,196 \text{ г/м}^2$  и  $51 \text{ экз/м}^2$ ) — на песчаном биотопе. В оз. Нахалыхчала соответственно 16;  $0,196 \text{ г/м}^2$  и  $51 \text{ экз/м}^2$  — на песчаном биоценозе (95 видов,  $1,42 \text{ г/м}^2$  и максимум также отмечен в фитофильном биоценозе (95 видов,  $1,42 \text{ г/м}^2$  и максимум также отмечен в фитофильном биоценозе (95 видов,  $1,42 \text{ г/м}^2$  и  $450 \text{ экз/м}^2$ ), а минимум ( $77 \text{ видов}, 0,74 \text{ г/м}^2$  и  $185 \text{ экз/м}^2$ ) — в некрофитофильном.

Макрозообентос озер Аджикабул и Нахалыхчала изучался многими исследователями [1—5]. Но распределение макрозообентоса по отдельным биоценозам не изучалось.

Озеро Аджикабул расположено на левом берегу р. Куры у г. Али-Байрамлы и имеет площадь 904 га, при длине 6 км, ширине 3 км, глубине 5 м. Озеро Нахалыхчала расположено на правом берегу р. Куры около г. Сабирабада. Площадь озера составляет 3000 га, глубина от 0,5 до 4 м.

Сбор данных организмов в озерах Аджикабул и Нахалыхчала проводился в 1978—1979 гг. Количественные пробы брались дночерпательем типа Петерсена, площадью  $0,025 \text{ м}^2$ . Для изучения фауны обрастаний сборы производились с затопленных деревьев, пней, коряг и кустов при помощи пинцетов или смыванием водой с поднятых со дна предметов. Материал фиксировался 4%-ным формалином.

В макрозообентосе оз. Аджикабул обнаружены 71, а в оз. Нахалыхчала 122 вида и формы донных животных.

Для макрозообентоса оз. Аджикабул нами выявлено 5 (псаммофильный, псаммо-пелофильный, пелофильный, фитофильный и некрофитофильный), а для оз. Нахалыхчала — 3 (пелофильный, фитофильный и некрофитофильный) биоценоза. Каждый из них имеет свою специфическую фауну и руководящие виды.

**Псаммофильный биоценоз.** Песчаный биотоп охватывает узкую прибрежную зону оз. Аджикабул и встречается в основном у северного и северо-восточного берегов. Он беден органическими веществами, служащими пищей для донной фауны макрозообентоса. Общая площадь его равна 34,1 га, что составляет 3,8% от общей площади озера. Глубина в различных местах меняется в пределах 0—1,5 м, температура воды изменялась в течение года от 4,6 до 28,5°, прозрачность от 0,9 до 0,15 м, а насыщение растворенного кислорода — 63—105%. В этом биотопе изредка встречается высшая водная растительность.

Видовой состав этого биоценоза весьма скучный. Обнаружено всего 16 видов и форм донных животных или 22,5% всей фауны (табл. 1). Доминирующей группой оказались хирономиды. Среди них

Таблица 1

Состав и количественная характеристика отдельных биоценозов оз. Аджикабул в 1978—1979 гг.

Группы	Биоценоз			Псаммофильный			Псаммо-пелофильный			Пелофильный			Фитофильный			Некрофитофильный			
	Бретес-	Бретес-	Бретес-	Бретес-	Бретес-	Бретес-	Бретес-	Бретес-	Бретес-	Бретес-	Бретес-	Бретес-	Бретес-	Бретес-	Бретес-	Бретес-	Бретес-		
Oligochaeta	1	25,0	1	0,001	2	23,3	1	0,001	8	58,3	2	0,002	1	5,9	1	0,001	2	18,9	
Miridinea	1	8,3	<1	0,005	—	—	—	—	1	16,6	—	—	1	8,3	<1	0,009	1	11,8	
Mollusca	—	—	—	—	—	—	—	—	—	—	—	—	1	25,8	<1	0,002	—	—	
Myiidae	1	16,0	—	—	1	26,0	1	0,004	1	66,6	9	0,28	1	100,0	54	1,73	1	19,3	
Decapoda	1	36,7	3	0,09	1	41,6	5	0,19	—	—	—	—	1	66,6	—	—	1	24,5	
Odontata	—	—	—	—	—	—	—	—	—	—	—	—	—	—	—	—	—	0,10	
Ephemeroptera	—	—	—	—	—	—	—	—	1	8,3	—	—	1	35,7	—	—	1	4,7	
Hemiptera	1	8,3	—	—	—	3	16,6	—	3	25,0	<1	0,003	2	12,5	—	—	2	8,9	
Diptera	—	—	—	—	—	—	—	—	1	13,5	<1	0,001	1	16,6	—	—	1	5,8	
Chironomidae	11	41,6	46	0,10	21	58,3	221	0,20	47	83,3	323	0,49	54	75,0	308	0,39	29	39,5	
Ceratopogonidae	—	—	—	—	3	8,3	2	41,6	—	—	—	—	1	33,3	—	—	2	53,9	
Всего:	16	—	51	0,190	31	—	228	0,395	59	—	336	0,776	65	—	366	2,217	40	—	114
																		0,235	

по частоте встречаемости выделяются *Cryptochironomus ex gr. defec-*  
*tus*, *C. ex gr. viridulus*, *C. ex gr. anomalis*, *Procladius sp.* Остальные группы по числу видов малочисленны (см. табл. 1). Обедненность видового разнообразия этого биоценоза объясняется неблагоприятными условиями и нехваткой пищи. Среди обнаруженных организмов по экологическим особенностям ни один вид не является типичным псаммофилом, но несмотря на это, некоторые из них (*Nais communis*, *Corixa punctata*, *Cladotanytarsus ex gr. mancus*, *Cricotopus ex gr. silvestris*, *Procladius ferrugineus*, *P. choreus* и др.) очень часто встречаются в пробах, собранных на этом биотопе. В количественном изменении псаммофильного биоценоза участвовали всего 4 группы донных животных: олигохеты, пиявки, десятичогие ракообразные и хирономиды (см. табл. 1). Среднегодовая численность макрообентоса на песках была 51 экз/м<sup>2</sup>, при биомассе 0,196 г/м<sup>2</sup>. По численности и биомассе доминирующая роль принадлежит хирономидам. В образовании биомассы макрообентоса значительную роль играют также декаподы (45,92%). Минимальную численность на этом биоценозе имеют пиявки — <1 экз/м<sup>2</sup>, с биомассой 0,005 г/м<sup>2</sup>. Общее количество макрообентоса для всей площади псаммофильного биоценоза составляет 67 кг, из коих свыше 51% приходится на долю личинок хирономид.

Таким образом, этот биоценоз по числу видов, численности и биомассе является самым бедным и не играет заметной роли в донной продуктивности озера.

**Псаммо-пелофильный биоценоз.** Песчано-илистый грунт, площадью 25,6 га (2,8%), распространен только у северного и северо-восточного берегов оз. Аджикабул. Глубина здесь колеблется в пределах 0,5—2,3 м. Заиленные пески объединяют собой как слабозаиленные, так и сильнозаиленные пески. Температура воды варьировала в пределах 5,3—28,2°, прозрачность — 0,10—0,21 м. Содержание растворенного в воде кислорода — 68—109%. В этом биотопе изредка встречаются растительные остатки. Из высшей водной растительности можно привести рогоз, осоку и тростник. Видовой состав макрообентоса заиленных песков состоит из 31 вида, что составляет 43,7% всей фауны бентоса. На долю хирономид приходится 21 вид. К руководящим видам биоценоза относятся: *Stempellina ex gr. bausei*, *Tanytarsus es gr. gregarius*, *Cladotanytarsus ex gr. mancus*, *Cryptochironomus burganadzeae*, *C. ex gr. defectus*, *Polypedillium ex gr. convictum*, *Procladius choreus*, *P. sp.* По биомассе преобладали хирономиды — 0,20 г/м<sup>2</sup>. Значительную роль в образовании биомассы псаммо-пелофильного биоценоза утратили декаподы и мизиды. Биомасса олигохет была минимальная. Общее количество макрообентоса для всей площади псаммо-пелофильного биоценоза составляет 101 кг, из коих 50,6% приходится на долю личинок хирономид. На псаммо-пелофильном биоценозе общая численность макрообентоса, по сравнению с псаммофильным, возрастает в 4,5, а биомасса — 2,0 раза.

**Пелофильный биоценоз.** Илистый, грунт, площадью 724,9 га (80,2%), охватывает в основном медиальную зону оз. Аджикабул. В составе илестого грунта встречаются также остатки водных растений. Глубина изменяется в пределах 0,5—5 м. Температура воды была 4,0—27,9°, прозрачность — 0,12—0,79 м. Содержание кислорода изменилось в диапазоне 65—99%. На илестых грунтах наблюдалось раз-

витие зеленых, диатомовых и сине-зеленых водорослей. На илистом биотопе встречены 59 форм донных животных (см. табл. 1), что составляет 83,1% фауны макрообентоса. По числу видов доминируют хирономиды, составляющие около 79,7% всех видов. Среди них преобладали: *Micropsectra ex gr. graecox*, *Paratanytarsus ex gr. lauterborni*, *Tanytarsus es gr. lobatifrons*, *Cryptochironomus ex gr. viridulus*, *Chironomus f. l. plumosus*, *Ch. f. l. semireductus*, *Procladius sp.* На втором месте по числу видов находятся олигохеты (*Nais pseudobtusa*, *N. communis*, *Tubifex tubifex*), затем идут водяные клопы (*Corixa punctata*, *Notonecta lutea*, *Gerris lacustris* и мокрецы (*Culicoides*, *Bezzia*). По сравнению с псаммофильным и псаммо-пелофильным биоценозами численность и биомасса макрообентоса пелофильного биоценоза достигают максимальных показателей. Так, биомасса здесь в 3,9 раза выше, чем на псаммофильном и в 2,0 раза выше, чем на псаммо-пелофильном биоценозах. В составе этого биоценоза по численности также доминируют хирономиды 323 экз/м<sup>2</sup> (96,13%), при биомассе 0,49 г/м<sup>2</sup> (63,14%). Биомасса макрообентоса для всего пелофильного биоценоза составляет 5625 кг; на долю личинок хирономид приходится 63,1%.

В оз. Нахалыхчала грунт в основном слагается из серого маслянистого ила толщиной 0,2—0,6 м и более, выстилающий почти всю центральную часть озера. В прибрежной зоне встречается черный ил с растительными остатками. Площадь илестых грунтов составляет 2321,0 га. Глубина воды на этом биотопе колеблется от 0,5 до 2,0 м, температура воды от 5,8 до 28,6°, прозрачность от 0,8 до 0,11 м. Процент насыщения воды кислородом варьировал в интервале 68—80. На пелофильном биоценозе встречены 82 формы донных организмов (табл. 2). По числу видов преобладают хирономиды (51 вид), среди которых по численности и биомассе руководящими являются *Chironomus f. l. plumosus*, *Ch. f. l. plumbosus-reductus*, *Ch. f. l. thimmi*, *Ch. f. l. batnophillis* и др. В большом количестве также встречаются личинки стрекоз (*Coenagrion hastulatum*, *C. armatum*, *C. mercuriale*) и олигохеты (*Tubifex tubifex*, *Limnodrilus gudekemianus* и др.). Остальные группы представлены 1—3 видами. В пелофильном биоценозе некоторые виды (*Ophidona serpentina*, *Polypedillium ex gr. convictum*, *P. ex gr. pubescens*, *Cricotopus ex gr. silvestris* и др.) характеризуются как типичные фитофилы, их можно считать случайными компонентами данного биоценоза. Среднегодовая численность макрообентоса на илах была 441 экз/м<sup>2</sup>, при биомассе 1,09 г/м<sup>2</sup>. Общая биомасса макрообентоса всего биоценоза составляет 25299 кг; на долю личинок хирономид приходится 65,14%. Организмы, обитающие в данном биотопе, играют существенную роль в пище бентосоядных рыб.

**Фитофильный биоценоз.** Этот биоценоз в оз. Аджикабул состоит из 65 форм организмов, что составляет 91,5% всей фауны. Доминирующая роль принадлежит хирономидам (54 формы). Наибольшее развитие бентических организмов обнаружено среди водных макрофитов, где средняя биомасса достигает 2,217 г/м<sup>2</sup>, при плотности 366 экз/м<sup>2</sup>. По численности преобладают хирономиды, а по биомассе — креветки (81,34%). Общее количество донных животных по всей пло-

Таблица 2

Состав и количественная характеристика отдельных биоценозов оз. Нахалыхчала в 1978—1979 гг.

Группы	Биоценозы				Некрофитофильный
	Пелофильный	Фитофильный	Бентофильный	Биомасса, г/м <sup>2</sup>	
Oligochaeta	6	54,2	27	0,06	23,9
Hirudinea	3	29,4	3	0,04	18,8
Mollusca	1	34,9	6	0,03	69,5
Mysidaceae	1	27,5	3	0,04	33,7
Amphipoda	1	30,8	5	0,09	34,4
Hydracarina	—	—	—	—	15,3
Odonata	14	49,0	4	0,06	29
Ephemeroptera	1	23,8	6	0,03	71,5
Trichoptera	—	—	—	—	4,2
Hemiptera	3	53,8	19	0,02	66,9
Coleoptera	—	—	—	—	33
Diptera	51	94,3	359	0,71	49
Ceratopogonidae	1	59,0	9	0,01	2
Всего:	82	—	441	1,09	95
				—	450
				1,42	77
				—	185
				0,74	19
					38,7
					21,6
					9
					41,3
					52,1
					14
					32,5
					6
					—
					23,4
					—
					17
					56,3
					5
					78,6
					9
					13,8
					1
					84,7
					38
					16,4
					1
					11,9
					3
					86,5
					62
					16
					74,8
					0,04
					0,04
					0,74

щади фитофильного биоценоза было 1053 кг; свыше 81% падает на долю креветок.

В оз. Нахалыхчала фитофильный биоценоз характеризуется большим видовым разнообразием донных животных (95 видов), среди которых по числу видов доминируют хирономиды, составляющие 51,6% всей фауны. Общая численность донных организмов на фитофильном биоценозе составляет 450 экз/м<sup>2</sup>, при биомассе 1,42 г/м<sup>2</sup> (см. табл. 2). По численности и биомассе доминируют хирономиды. Суммарная биомасса донных животных для всего биоценоза составляет 4537 кг; 31,7% приходится на долю личинок хирономид.

**Некрофитофильный биоценоз.** Ил с растительными остатками охватывает в основном верхний, средний и нижний прибрежные участки дна оз. Аджикабул, где хорошо развивается полупогруженная (камыш, рогоз) и погруженная (рдест) растительность. Общая площадь его равна 69,9 га, что составляет 7,7% от общей площади озера. Глубина на этих участках варьирует от 0,15 до 1,5 м. Температура воды изменялась от 5,0 до 28,2°, прозрачность — 0,11—0,15 м и кислород — 66—113%. На этом биотопе имеется богатый органический детрит. В оз. Аджикабул фауна некрофитофильного биоценоза состоит из 40 форм донных животных. Ведущую роль играют хирономиды (29 видов). Основная численность и биомасса приходится также на долю хирономид и креветок. Минимальную численность имеют малощетинковые черви. Общая численность макрозообентоса на этом биоценозе составляет 114 экз/м<sup>2</sup>, при биомассе 0,235 г/м<sup>2</sup>. Общее количество донных животных некрофитофильного биоценоза составляет 164 кг.

В оз. Нахалыхчала илистый грунт с примесью растений занимает около 359,5 га. Этот биотоп встречается в основном в прибрежной зоне, где хорошо развивается полупогруженная (камыш, рогоз) и погруженная (рдест) растительность. Он богат органическим детритом. Глубина составляет 0,10—1,0 м и более, температура воды 6,7—27,6°, прозрачность 0,8—0,12 м и кислород 73—118%. В этом биоценозе обнаружено 77 видов. Доминирующей группой данного биоценоза также являются хирономиды. Второе место по числу видов занимают личинки стрекоз. Остальные группы макрозообентоса оз. Нахалыхчала представлены 1—3 видами. Общая биомасса бентофауны на некрофитофильном биоценозе составляет 0,74 г/м<sup>2</sup>, при численности 185 экз/м<sup>2</sup>. Общее количество макрозообентоса для всей площади некрофитофильного биоценоза составляет 2660 кг, из коих 27,02% приходится на личинки хирономид.

Таким образом, сравнение макрозообентоса отдельных биоценозов озер Аджикабул и Нахалыхчала показало, что в качественном и количественном отношении наиболее богатым биоценозом является фитофильный, площадь которого в озерах невелика. Бедными биоценозами озер являются псаммофильный и некрофитофильный. С учетом площади наибольшую роль в продуктивности зообентоса озер играют животные, обитающие на пелофильном биоценозе.

#### Литература

1. Алиев А. Р., Алиев Р. А. Доная фауна озера Аджикабул — Изв. АН Аз. ССР. Сер. биол. наук, 1979, № 4, с. 85—89.

2. Алиев Р. А. Донная фауна озера Нахалыхчала — Изв. АН АзССР. Сер. биол. наук, 1981, № 4, с. 77—82.
3. Деньгина Р. С. Материалы к изучению бентофауны прилаточной системы Нижней Куры. — Тр. Ин-та зоол. АН АзССР, 1949, т. XIII, с. 97—114.
4. Касымов А. Г. Гидрофауна Нижней Куры и Мингечаурского водохранилища. — Баку: Изд. АН АзССР, 1965.—371 с.
5. Касымов А. Г., Бадалов Ф. Г., Алиев А. Р. Современное состояние зоопланктона и зообентоса озера Аджикабул. — Изв. АН АзССР. Сер. биол. наук, 1975, № 2, с. 107—110.

Р. А. Элиев

## НАЧЫГАБУЛ ВЭ НАХАЛЫХЧАЛА КӨЛЛӘРИНДӘ МАКРОЗООБЕНТОСУН НӨВ ТӘРКИБИ ВЭ ЖАЙЫЛМАСЫ

Начыгабул вэ Нахалыхчала көлләринн макробентик организмләри 1978—1979-чу илләрдә өјәрәнилмиш, начыгабул көлүндә 71. Нахалыхчала көлүндә ие 122 нөв гејд едилмишdir.

Начыгабул көлүндә макробентосун максимал инкишафы фитофил биосенозууда (65 нөв, нејванларының сајы 366 әдәд/ $m^2$ , биокүтләсі исә 2,217 г/ $m^2$ ); минимал инкишафы исә пасаммофил биосенозунда (16 нөв, сајы 51 әдәд/ $m^2$ , биокүтләсі 0,196 г/ $m^2$ ) гејд едилмишdir.

Нахалыхчала көлүндә дә макробентосун максимал инкишафы фитофил биосенозууда (95 нөв, биокүтләсі 1,42 г/ $m^2$ , сајы исә 450 әдәд/ $m^2$ ), минимал инкишафы исә лильбетки галыглары илә олан биотопунда (77 нөв, биокүтләсі 0,74 г/ $m^2$ , сајы 185 әдәд/ $m^2$ ) тапсылышыдыр.

АЗЭРБАЙЧАН ССР ЕЛМЛӘР АКАДЕМИЯСЫНЫН ХӘВӘРЛӘРИ

Биология елмләри феријасы, 1985 № 4

ИЗВЕСТИЯ АКАДЕМИИ НАУК АЗЕРБАЙДЖАНСКОЙ ССР

Серия биологических наук, 1985, № 4

УДК 633:11:631.523:575

И. Д. МУСТАФАЕВ, В. В. ФИГАРОВА, Р. Г. ДЖАФАРОВА

## МОДИФИКАЦИОННАЯ И ТРАНСГРЕССИВНАЯ ИЗМЕНЧИВОСТЬ ХОЗЯЙСТВЕННО ВАЖНЫХ ПРИЗНАКОВ МЯГКОЙ ПШЕНИЦЫ

Институт генетики и селекции АН АзССР

Изучен характер трансгрессивной изменчивости семи количественных признаков в 28 гибридных комбинациях, созданных с участием сортов различного географического происхождения

Установлена степень модификационной изменчивости одних и тех же признаков у исходных родителей и в гибридных популяциях, а также степень и частота трансгрессивной изменчивости.

Показано, что для каждого признака характерны определенные параметры трансгрессивной изменчивости. Выход трансгрессивных форм по отдельным признакам в потомствах разных комбинаций скрещивания неоднозначен. Высокая стабильность признаков количества и массы зерен главного колоса по отношению к количеству и массе зерен с растения указывает на целесообразность проведения отбора по продуктивности главного колоса, что значительно повышает эффективность селекции.

Подобраны пары для получения форм с трансгрессивной изменчивостью хозяйственно важных признаков и максимальным выходом в потомствах биотипов с желаемой комбинацией признаков.

Продовольственная программа СССР ставит перед наукой большие и ответственные задачи по созданию новых сортов пшеницы интенсивного типа, и в этой связи дальнейшее повышение урожайности и качества зерна остается основным направлением в работе научно-исследовательских учреждений.

В практической селекции при создании сортов, отвечающих требованиям интенсивного земледелия, важное значение имеет информация об изменчивости хозяйственно важных количественных признаков как одной из основных свойств гибридной популяции с целью отбора в ней нужных селекционеру биотипов. Особенно важно наличие трансгрессивной изменчивости, создающей в гибридных популяциях биотипы с более высокой величиной признака по отношению к исходным родительским формам. Результативность селекции предопределяется созданием гибридных комбинаций с широко трансгрессивной изменчивостью количественных признаков, отбора в них генотипов с новым более высоким выражением признаков. Однако несмотря на то, что именно этот тип изменчивости создает в популяциях биотипы с более высокими показателями признаков, чем у исходных родителей, изучена она все еще недостаточно. Существенное значение при отборах в гибридных потомствах трансгрессантов имеет и модификационная изменчивость количественных признаков. Значение характера варьирования количественного признака позволяет селекционеру более эффективно вести отбор по нем.

По мнению Roemer [13], для отбора по зерновым культурам более пригодны признаки с низкими показателями коэффициента ва-

риации (до 10,0%). Слабо модифицирующие признаки более пригодны для отборов. Однако большинство количественных признаков имеет высокие значения коэффициентов вариации, что затушевывает генетическую изменчивость. По изменчивости количественных признаков имеется довольно много работ [1, 3—7, 9, 12, 14].

С целью изучения модификационной и трансгрессивной изменчивости некоторых хозяйствственно ценных количественных признаков мягкой пшеницы нами в условиях Апшерона в течение 1982—1984 гг. испытывался ряд сортообразцов пшеницы — Безостая 1, Зардаби, Дюрдана (СССР), лютесценс К-51903 (Польша); Сава, лютесценс К-50443, ферругинем К-51520 (Югославия); Дамиратив 3 (Италия); лютесценс К-51915 (Голландия); лютесценс К-48975 (Англия); Пумофем (Чили); Ферругинеум К-410218 (Мексика); Ферругинеум И-344034 (Индия) и 28 гибридов разных поколений, созданных с их участием. Гибриды  $F_1$ ,  $F^0$  и их исходные родители высевали рендо-мизированно в 2—4-кратной повторности, потомством главного колосса, площадью питания  $20 \times 5$  см, по схеме  $P_1$ ,  $F_1$ ,  $P_2$  на поливе. Анализ гибридных популяций  $F_1$  и  $F_2$  проведен на генеральной совокупности, а исходные родители анализированы по 50 растений. Учитывали признаки — длину растений, продуктивную кустистость, длину колоса, количество и массу зерен главного колоса, количество и массу зерен с растения. Статистическая обработка данных включала определение средних арифметических ( $X$ ), средних квадратических отклонений ( $\delta$ ), коэффициентов вариации (CV, %) [8].

Степень ( $T_c$ ) и частота ( $T_r$ ) трансгрессий в популяциях определены по Г. С. Воскресенской и В. И. Шпата [2].

Основным критерием изменчивости количественных признаков служил коэффициент вариации.

Результатами обработки экспериментального материала установлена различная степень варьирования отдельных признаков родителей под влиянием условий выращивания. Так, наиболее сильно варьировали масса и количество зерен с растения, продуктивная кустистость. Например, масса зерен с растения варьировала у сорта Безостая 1 — от 16,8 до 37,4%; у Дюрдана — от 14,7 до 38,5%; у ферругинеум К-51520 — от 11,6 до 50,9; у Дамиратив 3 — от 24,1— до 50,5%; у лютесценс К-51915 — от 11,7 до 47,1% и др.

Коэффициенты вариации количества и массы зерен с растения у исходных сортов были практически на одном уровне. Стабильные значения коэффициентов вариации отмечены у сортов лютесценс К-48975 и Кавказ.

Сильно варьировал и признак продуктивной кустистости (CV = 24,6—38,4%). Однако уровень проявления этого признака у сортов Безостая 1, Зардаби был стабильным по годам (табл. 1).

Среднеизменчивыми оказались количество и масса зерен главного колосса, слабоизменчивыми — высота растений и длина колоса. Признаки со средним и слабым уровнем варьирования по абсолютным показателям оказались стабильными по годам опыта (см. табл. 1).

Полученные данные по модификационной изменчивости количественных признаков позволяют говорить об определенной закономерности. В частности, каждому признаку присуща определенная

Таблица 1

Модификационная изменчивость количественных признаков сортов пшеницы (CV, %) (Апшерон, 1982, 1983 гг.)

Сортобразцы	Коэффициенты варьирования (CV, %) по признакам									
	Высота растений	Продуктивная кустистость	Длина колоса	Кол-во зерен главного колоса			Масса зерен главного колоса	Кол-во зерен с одного растения		
				1982	1983	1982		1982	1983	1983
Безостая 1	5,28	6,14	26,0	25,2	6,46	7,90	20,6	17,8	21,8	12,1
Кавказ	6,95	6,79	30,0	18,0	7,78	11,3	18,9	22,8	32,0	29,3
Дюрдана	5,33	7,16	32,5	25,7	11,2	9,22	18,8	20,1	34,6	23,4
Зардаби	6,92	6,69	24,6	24,1	6,17	8,93	20,5	20,4	26,1	32,8
Дамиратив 3	8,67	7,57	33,3	28,6	10,8	9,1	17,4	20,2	27,7	48,4
Лютесценс К-50443*	8,26	6,81	38,4	27,1	7,91	8,43	21,0	17,4	32,1	34,0
Лютесценс К-51915*	7,77	6,28	36,4	31,0	9,55	20,8	21,4	36,9	39,1	5,16
Лютесценс К-51903*	4,47	6,44	28,5	31,0	8,04	8,68	20,1	23,1	30,6	40,8
Лютесценс К-48975*	8,91	7,41	32,1	18,7	9,51	16,9	24,4	26,7	34,2	40,7
Сава	4,89	6,38	30,1	25,0	7,0	8,62	27,9	25,4	43,3	54,4
Пумофем	4,55	7,30	29,0	19,3	7,16	9,51	12,8	16,0	23,1	30,9
Ферругинеум К-51520*	6,90	5,51	31,3	26,2	8,50	8,85	16,2	18,1	28,2	28,6
Ферругинеум К-410218*	3,35	4,27	35,4	18,5	8,80	7,69	19,8	17,3	36,0	32,8
И-344034*	5,76	7,96	30,6	22,8	9,90	10,5	20,4	22,1	31,5	43,8
										11,6
										29,5
										26,8
										37,0

норма реакции на факторы среды. По характеру модификационной изменчивости одного и того же признака сорта в большинстве своем сходны, отмечается лишь сортовые особенности. Степень модификационной изменчивости имеет существенное значение при отборах в гибридных популяциях нужного биотипа, поскольку она затушевывает генотипические различия, в связи с чем отборы по сильноварьирующим признакам менее эффективны.

Изучение гибридных популяций показало, что спектр варьирования по всем количественным признакам был намного шире, чем в  $F_1$  и родительских сортах.

Более высокие показатели коэффициента вариабельности количественных признаков в поколении  $F_2$  — результат не только модифицирующих условий среды, но, главным образом, генетического расщепления, создающего в потомствах большое разнообразие форм, с различным количественным проявлением признаков вплоть до трансгрессий.

Ценность гибридной популяции определяется по степени трансгрессивной изменчивости. Эффективность отбора трансгрессантов в гибридном потомстве зависит от степени и частоты трансгрессий. По параметрам трансгрессивной изменчивости количественные признаки неравнозначны. Наибольшее превышение над исходной родительской парой отмечено по массе зерен с одного растения. Степень трансгрессий этого признака по комбинациям скрещивания составила 12,5 (Безостая 1×Дюранда) — 73,3% (лютесценс, К-48975×Сава). Высокие показатели трансгрессий этого признака отмечены в комбинациях ферругинеум, К-51520×ферругинеум, К-410218 (52,7%); Безостая 1×Дамиратив 3 (58,7%), Кавказ×Пумафем (51,9%) Дамиратив 3×Зардаби (46,6%).

Показатели степени трансгрессий по количеству зерен с растения по комбинациям скрещивания ниже, чем массы зерен с растения. Гибридные популяции Безостая 1×Дамиратив 3 и Дамиратив 3×Зардаби по степени трансгрессий обоих признаков были равнозначными (табл. 2).

Оба признака отличаются высокими значениями коэффициентов вариации, что затрудняет и не позволяет надежно отбирать нужные генотипы по фенотипу. Так, после испытания отобранных растений по потомству сохранившиеся трансгрессивные формы по массе зерен с растения составили 9,0%, основная же масса отборов оказалась модификациями.

Трансгрессии признаков количества и массы зерен главного колоса в большинстве комбинаций оказались невысокими и составили по комбинациям скрещивания 4,2—35,0—6,43—14,9%, соответственно (см. табл. 2).

Степень трансгрессии по продуктивной кустистости у гибридов различных комбинаций составила 16,7—21,9%. В пяти комбинациях степень трансгрессивной изменчивости выражена одним и тем же по-

Таблица 2

Степень ( $T_u$ ) и частота ( $T_c$ ) + трансгрессий по некоторым количественным признакам в  $F_2$  мягкой пшеницы, %

Гибридные комбинации	Продуктивная кустистость, шт.		Длина колоса, см		Кол-во зерен главного колоса, шт.		Масса зерна главного колоса, г		Кол-во зерен с 1 растения, шт.		Масса зерна с 1 растения, г	
	$T_c$		$T_u$		$T_c$		$T_u$		$T_c$		$T_u$	
Безостая 1×Дюранда	20,0	1,23	27,2	0,98	14,9	0,74	22,7	1,48	29,3	1,72	12,5	1,97
Безостая 1×Дамиратив 3	20,0	2,03	5,0	3,64	14,0	0,81	20,8	2,8	53,9	4,05	58,7	2,43
Дамиратив 3×Зардаби	16,7	2,89	5,0	3,64	11,5	1,81	12,5	1,81	56,5	3,62	53,3	2,9
Лютесценс К-50443×Лютесценс К-51915	20,0	1,14	8,3	1,14	6,43	3,62	8,3	0,26	46,3	0,85	14,4	1,42
Лютесценс К-48975×Сава	21,9	0,93	1,5	2,58	13,0	1,87	8,69	1,64	27,2	4,02	73,3	3,32
Кавказ×Пумафем	20,0	1,1	17,4	1,84	4,48	1,42	4,2	2,2	24,5	1,10	51,9	2,91
Ферругинеум К-51520×Ферругинеум К-410218	16,7	1,44	8,69	1,45	10,4	0,87	11,5	1,12	38,5	2,60	52,7	2,61
Ферругинеум К-51520×И-34034	20,0	1,29	0	0	10,2	2,57	35,0	0,86	15,2	2,57	21,1	1,71

казателем — 20,0%. Самые низкие показатели степени трансгресии отмечены по длине колоса 1,5 (лютесценс, К-48975×Сава) — 8,69% (ферругинеум, К-51520×ферругинеум, И-344034). В комбинации Кавказ×Пумафен степень трансгрессии по этому признаку была значительной и составила 17,4%.

Частота возникновения в популяциях по всем признакам невысокая, при этом большая частота трансгрессантов отмечена по массе и количеству зерен с растения (см. табл. 2).

Изучение потомства отборов по анализированным признакам показало, что модификации способны перекрывать генотипическое варьирование, что особенно наблюдается по сильно модифицирующим признакам и приводит к малой эффективности отборов по ним. Несмотря на высокие показатели степени трансгрессивной изменчивости выход истинных трансгрессантов по признаку массы зерен с растения оказался низким и составил 9,0%, невысоким он был и по количеству зерен с растения — 11,2%.

Средне- и слабоварьирующие признаки имели низкие показатели степени трансгрессивной изменчивости, однако выход трансгрессивных форм в потомствах был намного выше и составил: по высоте растений — 35,1%, количеству зерен главного колоса — 32,2%, массе колоса — 23,3% и по массе зерен главного колоса — 19,2%.

Высокая фенотипическая стабильность количества и массы зерен главного колоса в сравнении с большим модификационным варьированием массы и количества зерен с растения указывает на целесообразность проведения отборов в ранних поколениях по продуктивности главного колоса, а не растения, что значительно повысит эффективность селекции.

Ценными сортообразцами для получения форм с широкой трансгрессивной изменчивостью, максимальным выходом гибридных потомств биотипов с желаемой комбинацией признаков оказались следующие сорта: Безостая 1, Дамиратив 3, ферругинеум (К-51520), лютесценс (К-50443).

#### Литература

1. Бороевич С. Методы и принципы селекции растений. — М., 1984.
2. Воскресенская Г. С., Шпота В. И. — Докл. ВАСХНИЛ. 1967, № 7.
3. Гриб С. И., Кадыров М. А. Изменчивость и отбор. — Минск, 1982.
4. Гужков Ю. Л. — Изв. АН СССР, Сер. биол. 1978, № 3.
5. Гуллев Г. В., Лоскутов Н. Ф. — Изв. Тим. с.-х. акад. 1971, № 5.
6. Драгавцев В. А. Генетика количественных признаков растений — Уфа: Башкирский филиал АН СССР, 1979.
7. Жученко А. А. Экологическая генетика культурных растений. — Кишинев, 1980.
8. Лакин Г. Ф. Биометрия. — М., 1973.
9. Мустафаев И. Д. и др. — Генетика, 1978, № 8.
10. Орлов А. П. — Генетика, 1976, № 2.
11. Филипченко Ю. А. Изменчивость и методы ее изучения. — М., 1978 г.
12. Цильке Р. А. — Сибирский вестник с.-х. науки, 1974, № 2, 31.
13. Roeter T. Handbuch der Pflanzenzüchtung. 1959.
14. Lerner I. The genetic basis of selection, 1958.

И. Д. Мугафаев, В. В. Фигарова, Р. Н. Чәфәрова

#### ЖУМШАГ БҮРДАЛАРДА ҚӘНД ТӘСӘРРҮФАТЫ ЭҢӘМИЛЛӘТЛИ ҚӘМИЛЛӘТ ЭЛАМӘТЛӘРИНИН ТРАНСГРЕССИЯ ДӘЈИШҚӘНЛИИ

Шәрәнтиндән асылы олараг валидең формаларында қәмијјәт әламәтләринин (битки-

ни һүндүрлүјү, сүнбүлүн узунлугу, эсас сүнбүлдән вә 1 биткидән чыхан дәнни сајы вә чәкиси) дәјишишкәнлик әмсалы дәрәчәси мүәјжән едилемишdir.

Лүксөк дәјишишкәнлик 1 биткидән чыхан дәнни сајы вә чәкиси илә мәһсүлдәр көвдәләрин сајынын аламәтләриндә, орта дәјишишкәнлик эсас сүнбүлдәкі дәнни сајы вә чәкисиңи; ламотләрнида, зәйф дәјишишкәнлик исә биткинин һүндүрлүјү вә сүнбүлүн узунлутуру аламәтләриндә тәсадуф едилемишdir.

Кәмијјәт әламәтләрниң трансгрессив дәјишишкәнлиги дәрәчәси вә тезлиji ejli дејилдир.

Нәсилдә трансгрессантлар чыхымы әламәтләре көрә сүнбүлүн узунлугуна 23,3%. Биткинин һүндүрлүјүндә 35,5%, эсас сүнбүлдәкі дәнни сајында 19,2%, 1 биткидән чыхан дәнни чәкисиндә исә 9,0% олмушдур.

Тәдгият нәтижесинде мә'лүм олмушдур ки, фенотипик дәјишишкәнлије көрә, эсас сүнбүлүн дәнни сајы вә чәкиси әламәти, бир биткидән чыхан дәнни сајы вә чәкиси әламәттән иисбәтән ўуксөк фенотипик стабиллијә маликдир. Она көрә дә сечмәни эсас сүнбүлүн мәһсүлдәрлығына апармаг даňа мәсәдәујүндүр.

УДК 633.16:631.527:575

А. В. АЛИ-ЗАДЕ, Э. Д. АББАСОВ

## ФОРМООБРАЗОВАНИЕ У ГИБРИДОВ ОТ СКРЕЩИВАНИЯ СОРТОВ ДВУРЯДНОГО И МНОГОРЯДНОГО ЯЧМЕНИ

Институт генетики и селекции АН АзССР

Приводятся результаты изучения формообразовательного процесса при скрещивании двурядных ячменей с многорядными. Даётся генетическая интерпретация появления черноколосых растений при скрещивании сортов с соломенно-желтой окраской колоса. Характеризуются новообразования по отдельным морфологическим признакам таксономического порядка.

Формообразование у ячменя изучали в связи с генетикой отдельных его признаков или селекцией [3, 5, 8 и др.].

На огромное значение новых гибридных форм как исходного материала для селекции указывал еще Н. И. Вавилов [2].

В статье приводятся данные о новообразованиях по морфологическим признакам.

Опыты проводились в условиях поливного участка Карабахской научно-экспериментальной базы Института генетики и селекции. Гибриды и их родительские пары изучали в идентичных условиях. Гибриды подвергали гибридологическому анализу, разделяли на фракции согласно их морфологической принадлежности (разновидности, формы). Выявляли новообразования по разновидностям признакам.

Общим для скрещиваний двурядных ячменей с многорядными было расщепление в  $F_2$  по типу колоса на двурядные, многорядные и интермедиальные, на что указывал в свое время ряд авторов (см. [4]).

Растения этих групп отличались по отдельным количественным признакам, вернее, по уровню их проявления. Доля растений каждой из этих групп зависела от комбинации скрещивания. Так, доля растений двурядного ячменя в  $F_2$  колебалась в пределах 41,2—75,3%, многоядного — 9,9—32,9% и интермедиального — 7,9—41,2%.

В  $F_2$  ряда комбинаций отмечалось появление растений как с более короткими, так и, наоборот, более длинными колосьями разной формы и степени варьирования по плотности (от очень рыхлых до очень плотных), с различной длиной и характером зазубренности оствей.

Разные исследователи для плотности колоса называют разное число факторов [4]. Отсюда следует, что вопрос о наследовании плотности колоса ячменя недостаточно еще ясен.

Н. И. Вавилов [1] выявил большое разнообразие в степени и характере зазубренности оствей и установил участие не менее 5—6 доминантных генов в образовании этого признака.

Наряду с появлением в  $F_2$  растений с различным сочетанием отдельных признаков родительских сортов отмечены новообразования по признакам или степени их выраженности.

Ниже описывается характер изменчивости в  $F_2$  некоторых комбинаций скрещивания двурядных ячменей с многорядными.

Палладум 596×Ceres. Наиболее интересным новообразованием было появление в  $F_2$  этой комбинации растений с черными двурядными (*nigrescens*) и многорядными (*nigrispallidum*) колосьями (рис. 1). Окраска колоса родительских сортов соломенно-желтая. Появление черноколосых растений в этом случае можно, по-видимому, объяснить взаимодействием по крайней мере двух пар генов при наличии эпистаза. Будем считать, что окраска колоса родительских пар обязана не присутствию особых генов соломенно-желтой окраски, а действию гена — подавителя окраски (II). Тогда генотип родительских сортов, гомозиготных по соломенно-желтой окраске, будет таким: *BBII*, где *I* — ген-подавитель окраски, а *B* — ген окраски. Первое поколение их по окраске колосьев будет тоже соломенно-желтым в силу эпистатирования *II*. В  $F_2$  все растения с генотипами: 9/16



Рис. 1. Колосья *v. nigrescens* (a)  
*Uv. nigrispallidum* (b) растений, вы-  
щепившихся в комбинации Pallidum 596×  
Ceres

Рис. 2. Удлиненные колосья, вы-  
щепившиеся в комбинации Pallidum  
596×Ceres



Рис. 3. Колосья *v. nutans* (а) и *v. pallidum* (б) (с ломкими остиями), *v. zeocrithum* (в) и *v. pyramidatum* (г), выщепившиеся в комбинации Pallidum 596×Satir

*B-I*, 3/16 *vvI* — и 1/16 *vvII* будут иметь соломенно-желтую окраску колоса, а 3/16 (*B-II*) будут черноколосыми, так как в их генотипах имеется ген черной окраски и нет его подавителя.

В *F<sub>3</sub>* некоторые из выделенных в *F<sub>2</sub>* растений типа *v. nigrescens* *v. nigripallidum* оказались константными, другие же продолжали расщепляться по степени интенсивности черной окраски, что позволяет предположить наличие полиморфии.

В этой же комбинации появились растения двурядного ячменя, относимые к группе дефицентес (боковые бесплодные колоски представлены только колосковыми чешуями). Ости у этих растений оказались ломкими.

В обратной комбинации подобные новообразования не отмечены.

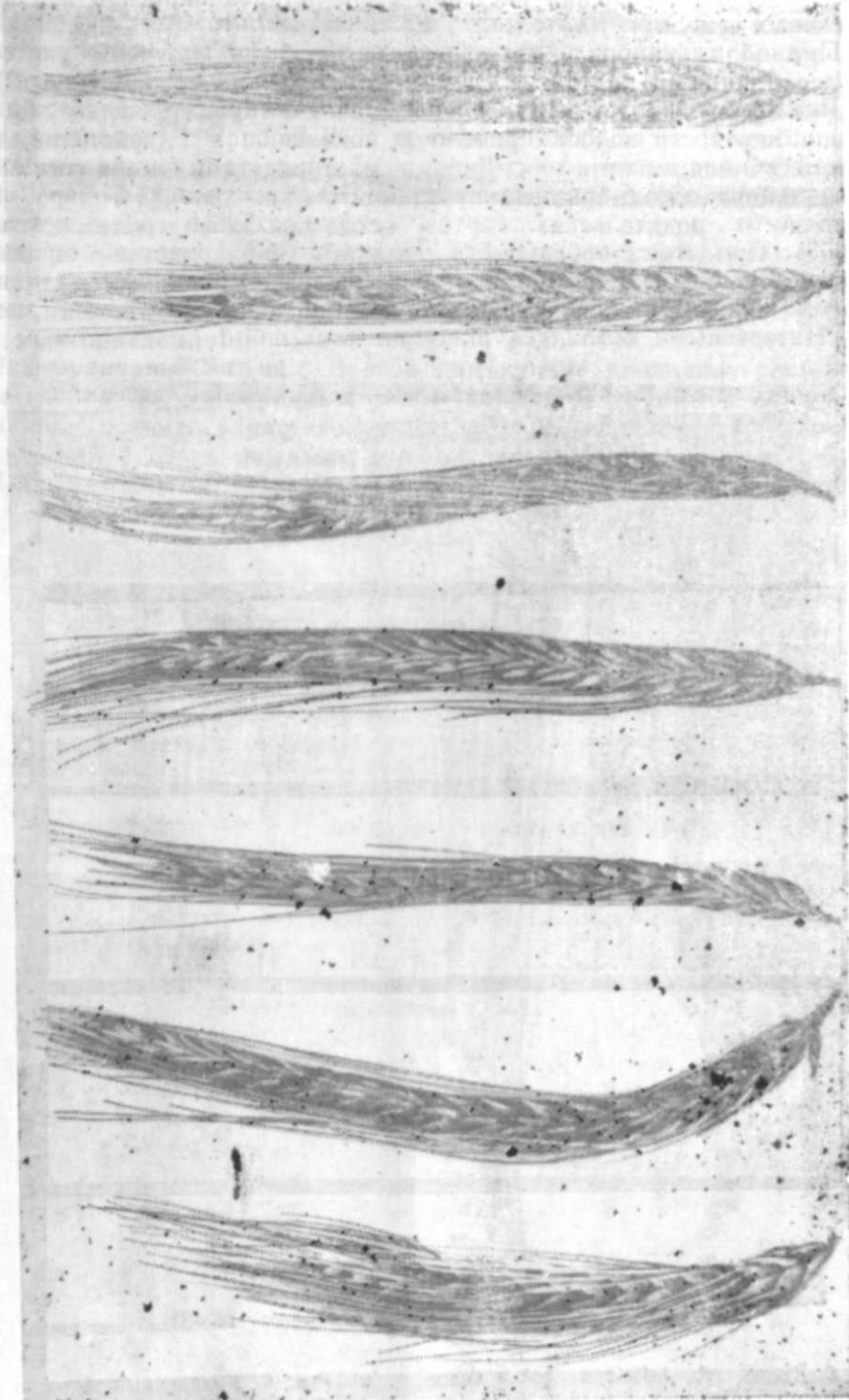


Рис. 4. Удлиненные колосья, выщепившиеся в *F<sub>2</sub>* растений в комбинации Pallidum 596×Satir

за исключением появления растений с фиолетовой окраской кончиков колосковых чешуй.

При обоих направлениях скрещивания были получены растения с более длинными колосьями, чем у родительских сортов (рис. 2).

**Палладум 596 × Satir.** Сильное различие родительских пар по степени плотности колоса привело к появлению в  $F_2$  растений двурядного ячменя *nutans* и *zeocritum* и многорядного ячменя *parallellum* и *pyramidatum*. У гибридных растений типа *nutans* и *pallidum* в отличие от родительских сортов ости оказались более ломкими (рис. 3). При этом наблюдалось сильное варьирование по длине и плотности колоса; появились растения с двурядным длинным рыхлым колосом и, наоборот, многорядным коротким плотным колосом. Интересными оказались растения типа *pallidum* с плотным ко-



Рис. 5. Колос v. *deficiens* (а) и колос v. *pallidum* (б) веретеновидной формы из комбинации Нахчывандану × Sunna

Рис. 6. Удлиненный колос с нежными глазками остями и колосковыми чешуями растения  $F_2$  (v. *nutans*) Нахчывандану × Allash

ротким и ломкими и неломкими осями.

**Палладум 596 × Sunna.** Наиболее интересным новообразованием оказалось появление в  $F_2$  прямой и обратной комбинации длинноколосых растений (до 16,2 см, рис. 4).

**Нахчывандану × Sunna.** В этой комбинации появились растения группы дефицентес (рис. 5а). В прямой и обратной комбинации появились растения многорядного ячменя с веретеновидной формой колоса (рис. 5 б), что связано со стерильностью боковых колосков, особенно в нижней части колоса.

Вопрос унаследования признака стерильности и фертильности боковых колосков, являющихся важным отличием в систематике ячменей, имеет большое практическое значение, но генетически недостаточно выяснен.

**Нахчывандану × Sunna.** В этой комбинации появились растения с веретеновидным многорядным типом колоса. В прямой и обратной комбинации появились растения типа дефицентес. Отмечено появление растений с очень нежными и удлиненными колосьями (рис. 6).

**Нахчывандану × Allash.** В этой комбинации выщелились растения



Рис. 7. Колос v. *pallidum* с укороченными осями на боковых колосках растения  $F_2$  Нахчывандану × Ceres

многорядного ячменя, у которых наблюдалась укороченность ости на боковых колосках (рис. 7). Выделены также растения с измененной формой колоса—прямоугольной, в отличие от квадратной родиной формой колоса—прямоугольной, в отличие от квадратной родительских сортов, а также растений с многорядным колосом и расходящимися остями (у родительских сортов ости прижаты к колосу). В остальных комбинациях скрещивания сортов двурядного и многорядного ячменя новообразования не отмечены.

Таким образом, в результате скрещиваний двурядных ячменей с многорядными были получены новые ценные свойства, например, гладкоостые формы, а также чрезвычайно крупные отклонения в длине колосьев (удлиненные с повышенным количеством колосков в колосе), крупности зерновок и др.

#### Литература

1. Вавилов Н. И. О происхождении гладкоостых ячменей. — Труды по прикладной ботанике, генетике и селекции, вып. 1, 1921.
2. Вавилов Н. И. Избр. соч. Генетика и селекция растений М.: Колос, 1966, 490.
3. Карпеченко Г. Д. Теория отдаленной гибридизации. — В кн.: Теоретические основы селекции растений, т. 1, М.—Л., 1935, 293—345.
4. Петропавловский М. Ф. Селекция ячменя. — В кн.: Теоретические основы селекции растений, т. 2, М.—Л., 1935, 267—333.
5. Родина Н. А. Пути создания сортов ячменя интенсивного типа в условиях северо-востока РСФСР. Автореф. дис... биол. наук. — Л., 1980
6. Riggs T. J., Hayter A. M. A study of the inheritance and interrelationships of some agronomically important characters in spring barley. — Theor. Appl. Genet., 1975, 46, № 4, 257—264.
7. Tseng Shu-Ten, Poebelman. — Theor. Appl. Genet., 1974, 44, № 7, 294—303.
8. Xu Tingwen, Liu Xueti. — Acta genet. sin., 1982, 9, № 3, 196—202.

Э. В. Элизадә, Е. Ч. Аббасов

#### ИКИЧАРКӘЛИ ВӘ ЧОХЧАРКӘЛИ АРПАЛАРЫН ЧАРПАЗЛАШМАСЫНДАН АЛЫНЫШ ҮИБРИДЛӘРДӘ ФОРМА ЭМӘЛӘКӘЛМӘ

Магаладә икичаркәли вә чохчаркәли арпаларын чарпазлашмасында форма эмәлә кәлме просесинин тәдгигинин иетичәләри верилмишdir. Сүнбулу күләши-сары ရәңкә сортларын чарпазлашмасындан, гара сүнбуллұ биткиләрин мејдана чыхмасы көнөттө интерпретация дөгүрүр.

Таксономик гајдада айры-айры яни эмәлә кәлән морфологи әламатлар хәрактери зә едилемешdir.

АЗӘРБАЙЧАН ССР ЁЛМЛӘР АКАДЕМИЯСЫНЫН ХӘБӘРЛӘРИ

Биология елмләри серијасы, 1985 № 4

ИЗВЕСТИЯ АКАДЕМИИ НАУК АЗЕРБАЙДЖАНСКОЙ ССР

Серия биологических наук, 1985, № 4

УДК 575.224.5:634.83:547

В. М. ГУЛИЕВ

#### ПОЛУЧЕНИЕ ПОЛИПЛОИДНЫХ ФОРМ ВИНОГРАДА ПУТЕМ КОЛХИЦИНИРОВАНИЯ

Институт генетики и селекции АН АзССР

В настоящей работе ставилась задача методом экспериментального мутагенеза добиться получения новых мутантных форм винограда на диплоидном и полиплоидном уровне, с высоким урожаем ягод, при сохранении высокого сахаронакопления в сусле.

Экспериментальным путем созданы новые тетраплоидные формы винограда, которые будут использованы в дальнейшей селекционной работе.

Полиплоидия играет важную роль в эволюции и селекции растений. Она служит одним из источников изменчивости и определенным фоном для реализации генетического потенциала.

Многие исследователи экспериментально при колхицинной обработке получили полиплоидные формы у различных сельскохозяйственных растений, обладающие ценностными количественными и качественными показателями [1, 6].

Под влиянием колхицина получены также полиплоидные и миксоплоидные формы винограда, которые представляют определенный интерес в селекционной работе [2—5, 7, 10].

При действии колхицина в большинстве случаев происходят не только геномные мутации, но и различные типы хромосомной aberrации и наследственной изменчивости на диплоидном уровне [8, 9, 11, 12].

В связи с этим использование колхицина в получении измененных форм винограда с новым хромосомным составом в соматической клетке представляет определенный научно-практический интерес.

Материалом опыта служили семена, полученные от высокосахаристого сорта Малахати. Селекционный сорт Малахати отличается исключительно высоким накоплением сахара в ягодах, доходящих до 30%, хорошими качественными показателями сока и виноматериала. Поэтому в настоящей исследовательской работе ставилась задача методом экспериментального мутагенеза добиться получения новых мутантных форм винограда на диплоидном и полиплоидном уровне с высоким урожаем ягод, при сохранении высокого сахаронакопления в сусле.

С этой целью, слегка протерев сухие семена нажадочной бумагой, намачивали их в воде, на фильтровальной бумаге в чашке Петри. Наклонувшиеся семена отбирались и обрабатывались 0,1, 0,3, 0,5%ным водным раствором колхицина при 24, 48, 72-часовой экспозиции (по 100 шт. семян в каждом варианте в 4-х повторностях). Контрольные семена обрабатывались водой. После чего тщательно и осторожно промывали в течение 25—30 мин в проточной воде и высева-

ли в подготовленные ящики. Общее количество семян в опытах ежегодно составляло 3600 шт.

Опыты проводились по единой методике в условиях Нахичеванской АССР, на селекционной участке Нахичеванского научного центра АН Азербайджанской ССР с 1980 по 1983 г.

При фенологических наблюдениях изучены число дней от посева до появления всходов, количество всходов, выживаемость полученных сеянцев, число морфологически измененных сеянцев.

Как показали результаты исследований, которые представлены в табл. 1, в обработанных вариантах появление всходов задержива-

ствия 0,3%-ным раствором колхицина, при 72-часовой экспозиции (47,5%). Значительное количество погибших сеянцев отмечено в первых месяцах после всходов. В контролльном варианте всхожесть и выживаемость сеянцев были больше. Следует отметить, что колхицинная обработка в определенной степени влияет на всхожесть и выживаемость сеянцев винограда.

Установлено, что при колхициновой обработке получаются растения с морфологически измененными признаками (рис. 1).

Таблица 1

Влияние колхицина на выживаемость и морфологическую изменчивость сеянцев, полученных от сорта малахати  
(среднее за 1981—1983 гг.)

Доза колхицина, %	Число дней от посева до появления всходов	Получено всходов		Выжило сеянцев		Длина сеянцев в ящиках см	Морфологически измененных сеянцев	
		число	%	число	%		число	%
Конт.	9	306,3	76,5	252,3	82,3	19,5	—	—
При 24-часовой экспозиции								
0,1	10	253,0	63,2	170,0	69,7	19,0	9,3	5,5
0,3	10	232,7	58,1	181,0	78,1	19,4	8,7	5,3
0,5	14	234,0	58,5	176,0	76,0	18,0	11,0	6,2
При 48-часовой экспозиции								
0,1	12	241,7	60,7	152,7	60,8	19,2	10,0	8,6
0,3	13	180,7	44,3	95,0	53,9	19,3	9,0	8,9
0,5	16	170,3	42,6	125,0	72,7	16,2	13,0	10,4
При 72-часовой экспозиции								
0,1	16	171,7	42,9	101,3	57,0	16,8	9,3	10,7
0,3	17	154,7	38,6	74,0	47,5	16,3	10,0	14,7
0,5	17	129,0	32,5	70,3	54,0	13,0	13,6	18,6

ется. Число дней от посева до появления всходов, за единичными исключениями, заметно увеличивается при высоких дозах и экспозициях колхицина. Выявлено, что появление всходов в определенной степени зависит от концентрации и экспозиции колхицина. Первичным проявлением колхицинирования является торможение появления всходов.

Обработка наклонувшихся семян различными дозами и экспозициями колхицина снижало всхожесть семян и выживаемость сеянцев. Самая большая всхожесть семян отмечена в варианте 0,1%-ной концентрации при 24-часовой экспозиции (63,2%), самая низкая всхожесть 0,5%-ной концентрации при 72-часовой экспозиции (32,5%).

Выживаемость полученных сеянцев к концу вегетации по вариантам была неодинаковая. Процент выживаемости сеянцев с увеличением доз и особенно экспозиции колхицина, как правило, снижался. Самая большая сохраняемость сеянцев отмечена в вариантах воздей-



Рис. 1. Морфологически измененные сеянцы

При действии колхицина больше всего деформируется семядольные листочки. Часто они появляются деформированными, несимметричными, интенсивно темно-зелеными, сеянцы с одним, даже тремя семядольными листьями, также в различных формах: узкие, очень крупные, толстые, с более широкими поперечными сторонами и др.

В контролльном варианте через неделю после появления всходов появились первые настоящие листья, тогда как у колхицинированного варианта заметно позже.

У измененных сеянцев настоящие листья были часто несимметричные односторонние, воронковидные, в соединенном виде, интенсивно темно-зеленые, с укороченными междуузлями, карликовые и др. Изменчивость сеянцев колебалась от 5,3% (в варианте 0,3% при экспозициях 24 ч.), до 18,6% (в варианте 0,5% при экспозициях 72 ч.). При более длительных экспозициях количество морфологически измененных сеянцев увеличилось.

Сеянцы на второй год переносили в селекционный питомник. Все измененные формы были вегетированы. Отметим, что большая часть пересаженных сеянцев в селекционном участке хорошо выросла. Колхицинированные сеянцы оказались также жизнеспособными, как и сеянцы контрольного варианта.

Наибольший интерес в наших опытах представляло изучение влияния колхицина на морфологически измененные растения и сох-

ранение их при вегетативном размножении. На селекционном участке для выявления морфологически измененных форм во втором году полученные сеянцы, обработанные и контрольные (необработанные), идентифицировали с исходным сортом Малахати.

Учитывая, что виноград — гетерогенное растение и при проведении опыта семенами взяты от свободного опыления, при развитии сеянцев, начиная со второго года, появляются разнообразные популяционные изменчивости. В обработанных вариантах опыта популяционные разнообразия, спектр морфологических изменений сильно увеличивается по сравнению с контрольным вариантом (табл. 2).

Таблица 2

Морфологические изменения виноградных форм  
по сравнению с исходным сортом Малахати  
(сеянцы, полученные в 1980 г.)

Колхицин	Число проанализированных растений	Морфологически измененные растения по сравнению с исходным сортом		Из них растения, идентифицированные как полиплоидные		
		число	%	число	%	
доза	эксп.					
Конт.	—	42	6	14,3	—	
0,3	24	48	17	35,4	2	4,1
	48	137	75	55,6	5	3,6
	72	19	11	57,8	1	5,2
0,5	24	40	22	55,0	4	10,0
	48	35	23	65,7	3	8,5
	72	17	9	52,9	2	11,7

В контролльном варианте разнообразные морфологические признаки проявляются в степени развития кустов, форме и разнообразных разрезанностях боковых вырезок, черешковых выемках листовой пластинки, цвете однолетнего побега и др.

В обработанном варианте вместе с этими морфологическими изменениями появляются другие, которые в контролльном варианте не обнаруживаются (листья темно-зеленые, сильно гофрированные, сетчато-морщинистые, крупные, несимметричные, с толстыми жилками, черешками, крупными почками, укороченными междуузлиями, карликостью и др.). Такие морфологические изменения можно считать свойственными колхициновой обработке (рис. 2).

В селекционном процессе обратили на себя внимание полиплоидные формы винограда. Для визуального отбора полиплоидных форм винограда в селекционном участке использовали диагностические морфологические признаки, которые нам были известны из литературы.

Таким образом, в селекционном участке имеется до 2500 шт. сеянцев. В 1983 г. среди 427 шт. растений, полученных в 1980 г., предварительно отобрано 16 измененных форм, которые имели характерные полиплоидные признаки (см. табл. 2).

Все эти измененные формы включены в цитологические исследования. Наряду с миксоплоидами были выделены три тетраплоидные формы винограда. Сравнительно изучены все эти формы, параметры листовой пластинки, черешка, устьичного аппарата и другие ха-

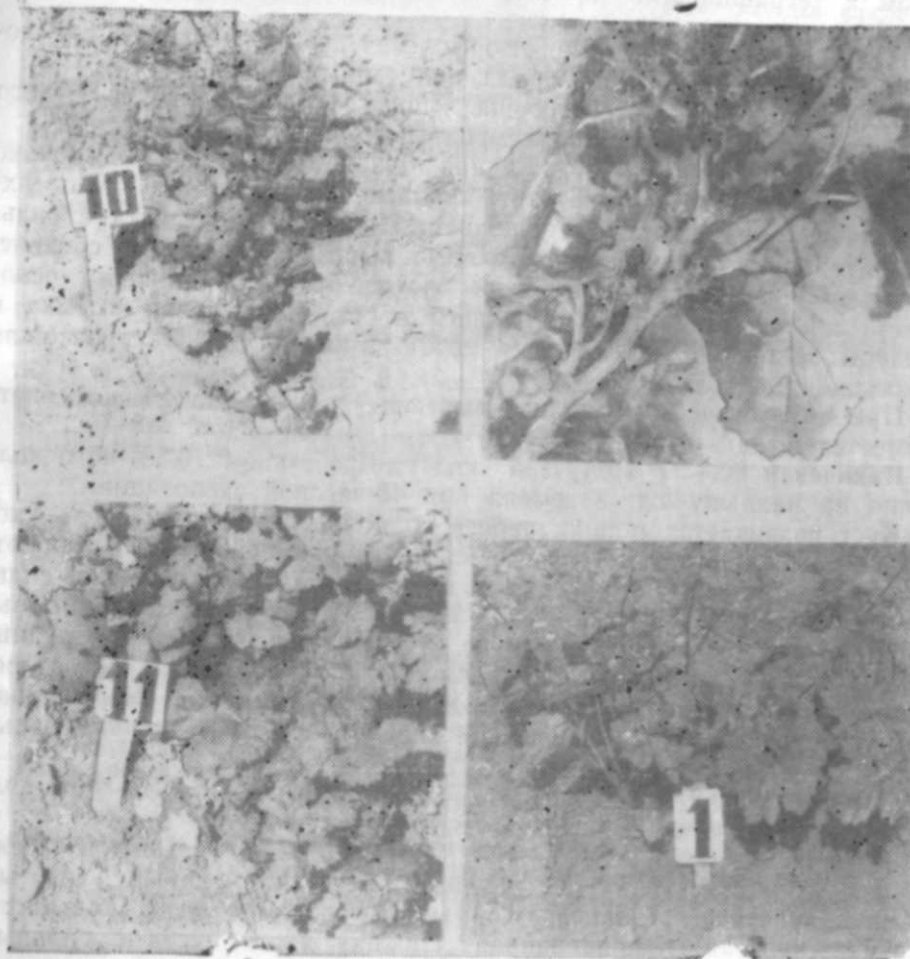


Рис. 2. Влияние колхицина на развитие винограда

терные признаки. В табл. 3 даны параметры листовой пластинки новых тетраплоидных форм винограда.

Как видно из табл. 3, у тетраплоидов параметры листа несколько больше контроля. По отношению длины к ширине между исходным

Таблица 3

Исходный сорт и формы	Листья (см)		Индекс листа	Черешки (см)	
	длина	ширина		длина	толщина
Малахати	15,8±0,43	15,5±0,51	1,01	11,7±0,30	2,7±0,03
Hax.80.8/21	19,1±0,40	19,7±0,22	0,96	19,9±0,17	3,3±0,03
Hax.80.8/37	16,4±0,25	17,0±0,27	0,96	8,9±0,22	3,5±0,05
Hax.80.9/6	19,5±0,33	20,6±0,27	0,94	14,4±0,17	4,2±0,05

сортом и тетраплоидами разница небольшая, но у полиплоидов этот показатель меньше единицы.

Ниже приводится краткая морфологическая характеристика новых тетраплоидных форм винограда, полученных в 1980 г.

**Нахичеван 80.8/21.** Получена под воздействием 0,5%-ного колхицина на наклонувшиеся семена при 24-часовой экспозиции.

Куст хорошо развивается, длина однолетнего побега несколько меньше, чем у контроля. Листья крупные, темно-зеленые. Поверхность листа морщинистая, утолщенная. Нижняя часть листа с сильным паутинистым опушением. Боковые вырезки мелкие и средние, закрытые, 3—5-лопастные. Зубчики листа крупные с широким основанием, жилки темно-бурачно-вишневого цвета. Черешковая выемка в основном закрытая. Укороченные междуузлия. В 1984 г. произошло первое цветение.

При цитологическом анализе выяснено, что в соматической клетке имеется тетраплоидный ( $2n=76$ ) хромосомный набор.

**Нахичеван 80.8/37.** Получена под воздействием 0,5%-ного колхицина на наклонувшиеся семена при 48-часовой экспозиции.

Куст развивается мощно, побеги толстые, междуузлия очень укороченные. Почки крупные. Листья среднего размера, резко отличаются от исходного сорта. Поверхность листа сетчато-морщинистая, сильно гофрированная. Нижняя часть листа без опушения. Боковые вырезки средние, встречаются мелкие, 5-лопастные, закрытые. Средние лопасти листа узкоугольные, зубчики с явственно выпуклыми сторонами и неострыми вершинами. Жилки белого цвета. Черешковая выемка закрытая. В соматической клетке имеются тетраплоидные клетки.

**Нахичеван 80.9/6.** Получена под воздействием 0,5%-ного колхицина на семена при 48-часовой экспозиции.

Куст развивается мощно, побеги толстые, менее ветвистые. Междоузлия укороченные. Почки крупные. Листья крупные, толстые, жесткие, поперечно-ovalной формы. Поверхность листа сильносетчато-морщинистая, гофрированная. Нижняя часть листа с сильным опушением, жестким жилкованием. Боковые вырезки слабо разрезанные, встречаются почти неразрезанные формы. Лист 3—5 лопастный. Зубчики крупные, неострые. Черешковая выемка закрытая. В 1984 г. обнаружено первое цветение.

Установлено, что эта форма является тетраплоидом с числом хромосом —  $2n=76$ .

Полученные полиплоидные формы размножали каждый год черенками. Уже получено по 20 кустов, у которых морфологические признаки полностью сохраняются при вегетативном размножении.

Таким образом, созданы новые тетраплоидные формы винограда, которые будут использованы в дальнейшей селекционной работе.

#### Литература

1. Абдуллаев И. К. Методика экспериментальной ауто и аллополиплоидии у шелковицы. — Изв. АН АзССР. Сер. биол. наук, 1976, № 3, 39—49.
2. Абдуллаев И. К. Проблемы генетики и селекции винограда в Азербайджане. — Баку: Элм, 1981.
3. Ахмедова Ш. М. Цитогенетические и биоморфологические особенности му-

4. Голодрига П. Я., Кириева Л. К. Использование методов индуцированного мутагенеза в селекции винограда. — Тр. по прикл. ботан., генет. и селек., т. 54. вып. 2 Л., 1975, 142—149.

5. Голодрига П. Я., Кириева Л. К. Получение и использование мутации в селекции винограда. — В кн.: Индуцированный мутагенез в селекции садовых растений. М.: Изд. МГУ, 1977, Г4—21.

6. Кулев А. М. Экспериментальный мутагенез хлопчатника. — Баку: Элм, 1981.

7. Пиреева Г. Г. Влияние мутагенных факторов на виноградную лозу. Дисс. канд. биол. наук. — Баку, 1983.

8. Платонов В. Н. и др. Мутационное последействие колхицина. — Генетика, т. 4., 1968, № 10, 5—13.

9. Жатов А. Н. Мутационное последействие колхицина у конопли. — ВНИИ луб. культур, 1975, 37, 27—35.

10. Dermen H., Scot D. H. Potentials in colchicloid grapes. — Economic Botany, 1962, 16, 77—85.

11. Raghuvenchi S. S. et al. Effect of preirradiation Colchicine treatment on mutation spectrum of *Phaseolus aureus* Roxb. — Gytologia, 1978, 43, N 1, 143—151.

12. Raja Rao K. G. et al. Colchicine induced interchanges in chillies (*Capsicum annuum* L.). — Ex perientia, 1983, 39, N 1, 76—77.

В. М. Гулиев

#### КОЛХИСИНИН ТӘ'СИРИЛӘ ПОЛИПЛОИД ҮЗҮМ ФОРМАЛАРЫНЫН АЛЫНАСЫ

Мәгәләдә үксәк шәкәрли Мәләнәти үзүм сортуну тохумларына колхисинин 0,1, 0,3, 0,5 %-ли дозалары иле 24, 48, 72 saat мүлдәттәндә тә'сир нәтижесинде яни формалар алымасаңдан бәһе едилир.

1980—1983 чу илләр әрзиндә апарылан тәдгигат нәтижесинде мүәјјән олумышшырғы, колхисинин үксәлән доза ва тә'сир мүлдәттәндә тохумларының чыхышы ва яшајыш габилийәти ашагы дүшмүшшүр. Бунуңда янашы олары морфология чәһәтән дәјишилән биткиләр алмыры.

Элдә олумыш бутун үзүм формалары иккичи ил ачыг тәчрубы саһасына экиминиң үзәриндә мүшәнидә ишләр апарылышыдыр.

Дәјишилән үзүм формаларының морфология, ситология, анатомик тәдгиги заманы ба'зы формаларының соматик һүчејраларында хромосом сајларының дајишиләни мүәјјән олумышшудур. Нәтиҗәдә морфология чәһәтән дәјишилән формалар ичарисидән тетраплоид ( $2n=76$ ) үзүм формалары элдә олумышшур ки, кәләчәкә полиплоид сөвијәдә селекция ишләринин апарылышсында бу мутант формалардан бир башланчыл материал кими истифада олумышасы нәзәрәдә тутулышшудур.

Балыкчылардың үзүм формаларының морфология, ситология, анатомик тәдгиги заманы ба'зы формаларының соматик һүчејраларында хромосом сајларының дајишиләни мүәјјән олумышшудур. Нәтиҗәдә морфология чәһәтән дәјишилән формалар ичарисидән тетраплоид ( $2n=76$ ) үзүм формалары элдә олумышшур ки, кәләчәкә полиплоид сөвијәдә селекция ишләринин апарылышсында бу мутант формалардан бир башланчыл материал кими истифада олумышасы нәзәрәдә тутулышшудур.

УДК 612.8.15; 612.813; 612.018+612.45; 577.150.4+661.733.4

Г. К. КАДЫРОВ, М. И. САФАРОВ, С. А. КЕРИМОВ, Г. М. АГАСИ

РОЛЬ ИОНОВ КАЛЬЦИЯ В ОБМЕНЕ ГАМК МОЗГА  
ПРИ УГНЕТЕНИИ КОРТИКОТРОПНОЙ ФУНКЦИИ  
НАДПОЧЕЧНИКОВ

Институт физиологии им. А. И. Карапова АН АзССР

Исследовали влияние глюконата кальция на фоне угнетения кортикотропной функции коры надпочечников на уровень гамма-аминомасляной кислоты (ГАМК) и активность ферментов ее обмена — глутаматдекарбоксилазы (ГДК, КФ 4.1.1.15) и 4-аминобутиратоксиглутаратаминотрансферазы (ГАМК-Т, КФ 2.6.1.19) в отделах ЦНС (большие полушария, мозжечок, варолиев мост с продолговатым мозгом и спинной мозг) у крыс-самцов в период полового созревания. Установлено, что как однократное введение хлодитана — ингибитора стероидогенеза и адренокортичальной секреции надпочечников, так и однократное введение глюконата кальция на его фоне приводят в основном к односторонним изменениям — снижению уровня компонентов системы ГАМК в исследуемых нервных структурах. Однако отмеченные изменения более выражены на фоне хлодитана, чем при совместном введении глюконата кальция и хлодитана.

Известно, что ионы кальция контролируют морфологическую дифференцировку нейронов [1], играют важнейшую роль в индукции и регуляции быстрого транспорта белков вдоль аксонов и т. д. [7]. Но одной из основных функций ионов кальция в нервной ткани является влияние на выделение медиаторов при передаче возбуждения на синапсы [8, 10]. Но сведения о роли ионов кальция в высвобождении из срезов головного мозга гамма-аминомасляной кислоты — медиатора торможения — очень скучны и противоречивы [5, 13]. А работы по исследованию путей влияния кальция на обмен ГАМК в нервной ткани в данный момент отсутствуют вообще.

В предыдущие годы мы изучали изменения компонентов обмена ГАМК в отделах мозга крыс-самцов в различные периоды постнатального онтогенеза при избытке и дефиците ионов кальция. Было установлено, что при гиперкальциемии во всех исследуемых отделах мозга происходит увеличение содержания ГАМК и уменьшение уровня глутаминовой кислоты (ГК), что является результатом повышения активности ГДК и снижения активности ГАМК-Т, ферментов синтеза и расщепления ГАМК. А гипокальциемия, в отличие от гиперкальциемии, вызывала подавление активности ГДК и уровня ГАМК в отделах ЦНС.

Среди работ, посвященных изучению роли кальция в различных процессах организма, встречаются такие, которые указывают на возможность их кортикотропной функции [15]. В этой связи в настоящем исследовании мы ставили перед собой задачу изучить компоненты системы ГАМК в некоторых структурах мозга (большие полушария, мозжечок, варолиев мост с продолговатым мозгом и спинной мозг) при блокировании кортикотропной функции надпочечников в период полового созревания.

Использовали 140 голов 2,5-месячных крыс-самцов линии Вистар массой 100—130 г. Угнетение кортикотропной функции надпочечников создавали путем *per os* введения хлодитана в дозе 10 мг на 100 г живой массы в сутки в два приема в течение двух недель. Гиперкальциемия, на фоне угнетения кортикотропной функции надпочечников, создавалась путем внутримышечного введения 10%-ного раствора глюконата кальция в дозе 0,3 мл на 100 г массы животного через 60 мин после последнего введения хлодитана. Через 120 мин после введения хлодитана животных обезглавливали и извлеченный мозг помещали на лед. Ткань мозга обрабатывали согласно методу E. Roberts [12] в модификации Н. Ф. Шатуновой и И. А. Сытинского [4]. Разделение ГАМК, ГК и аспарагиновой кислоты (АК) велось методом электрофореза на бумаге [6] в течение 4 ч при напряжении 350 В и силе тока 2,5 мА. Активность ГДК и ГАМК-Т в гомогенатах мозга определяли согласно методам I. A. Sytinsky, T. N. Priatikina [14] и Н. С. Ниловой [2]. Все данные обработаны статистически по Фишеру—Стьюартту [3].

Результаты опытов показали, что у 2,5-месячных интактных крыс при сравнении отдельных структур мозга самая высокая концентрация ГАМК и активность ГДК (табл. 1, 2) наблюдаются в больших полушариях, а наименьшая — в спинном мозге. После многоразового введения *per os* хлодитана содержание ГАМК в больших полушариях и спинном мозге уменьшается на 46,6 и 20,2%, соответственно, а в варолиевом мосту с продолговатым мозгом и мозжечке достоверных сдвигов от контрольных показателей не наблюдается.

Изменение содержания ГК при угнетении кортикотропной функции надпочечников происходит только в спинном мозге (повышение в 2 раза), а в остальных исследуемых отделах заметных изменений от контроля не отмечается.

Если угнетение кортикотропной функции надпочечников вызывает увеличение содержания АК в мозжечке в 1,5 раза, то в больших полушариях и варолиевом мосту с продолговатым мозгом — уменьшение на 15,7 и 27,0%, соответственно. А в спинном мозге ее содержание остается на уровне контроля.

Многоразовое введение хлодитана вызывает односторонние изменения — снижение активности ГДК в больших полушариях на 28,2, в мозжечке — на 52, в варолиевом мосту с продолговатым мозгом — на 35,2 и в спинном мозге — на 23,6%.

При угнетении кортикотропной функции надпочечников происходит снижение активности ГАМК-Т в больших полушариях, мозжечке и варолиевом мосту с продолговатым мозгом на 16,2; 39,5 и 20,0%, соответственно. В отличие от других нервных образований в спинном мозге активность ГАМК-Т несколько повышается.

Результаты опытов показывают, что ингибитор стероидогенеза и адренокортичальной секреции — хлодитан вызывает в основном снижение активности ГДК и ГАМК-Т. Но величина отношения ГАМК-Т: ГДК в исследуемых отделах мозга изменяется по-разному, что сказывается на содержании ГАМК: если в больших полушариях и спинном мозге происходит уменьшение, то в остальных исследуемых образованиях мозга достоверные изменения не наблюдаются.

Далее мы изучали изменения компонентов обмена ГАМК после

Таблица 1

**Содержание ГАМК, ГК и АК (мкмоль на 1 г сырой ткани) в отделах мозга 2,5-месячных крыс-самцов после действия глюконата кальция на фоне утилизации кортикотропной функции надпочечников ( $n=10$ )**

Опыты	Показатель	Отделы ЦНС						Спинной мозг					
		Большое полушария			Мозжечок								
		ГАМК	ГК	АК	ГАМК	ГК	АК						
Контроль	M	2,53	6,86	4,70	1,68	7,35	2,03	1,25	6,76	5,09	0,89	3,35	2,49
	m±	0,05	0,06	0,04	0,04	0,34	0,26	0,24	0,37	0,14	0,02	0,36	0,22
Холдитан	M	1,35	7,11	3,96	1,58	7,65	3,18	1,37	7,21	3,68	0,71	6,33	2,06
	m±	0,05	0,08	0,07	0,04	0,08	0,06	0,08	0,07	0,06	0,04	0,07	0,03
Глюконат кальция + Холдитан	M	<0,001	>0,1	<0,05	>0,1	>0,1	<0,05	>0,1	>0,1	<0,01	<0,02	<0,001	>0,1
	m±	1,54	6,95	3,82	1,86	7,14	3,99	1,41	6,10	4,07	0,80	6,78	3,38
	p	0,16	0,41	0,4	0,18	0,08	0,14	0,07	0,07	0,03	0,07	0,07	0,97
		<0,001	>0,1	<0,02	>0,1	>0,1	<0,004	>0,1	>0,1	<0,02	>0,1	<0,01	<0,001

**Активность ферментов ГДК (мкмоль ГАМК на 1 г в час) и ГАМК-Т (мкмоль ГК г в час) в отделах ЦНС 2,5-месячных крыс-самцов после действия глюконата кальция на фоне угнетения холдингом кортикотропной функции надпочечников ( $n=10$ )**

Опыты	Показатель	Отделы ЦНС						Спинной мозг	
		Большое полушария			Мозжечок				
		ГДК	ГАМК-Т	ГДК	ГАМК-Т	ГДК	ГАМК-Т		
Центроль	M	108,74	92,52	58,25	54,42	88,16	95,24	54,37	
	m±	3,84	3,16	1,40	1,81	2,60	2,83	1,17	
	M	78,06	77,55	27,96	32,93	57,09	76,19	41,55	
Холдитан	M	2,12	2,99	2,15	2,01	2,32	2,60	2,23	
	m±	<0,01	<0,02	<0,001	<0,001	<0,01	<0,02	<0,05	
Глюконат кальция + Холдитан	M	93,21	81,91	42,72	38,10	58,25	78,91	66,02	
	m±	3,47	2,64	3,14	2,53	3,28	2,26	3,06	
	p	<0,02	<0,05	<0,01	<0,01	<0,01	<0,02	<0,1	

разового введения 10%-ного раствора глюконата кальция в дозе 0,3 мл на 100 г живой массы на фоне угнетения кортикотронной функции надпочечников. В этом случае содержание ГАМК в трех исследуемых отделах мозга (за исключением больших полушарий, где уменьшение равно 39,1%) остается на уровне контроля.

При действии глюконата кальция на фоне многократного введения хлодитана содержание ГК увеличивается только в спинном мозге в 2 раза, а в остальных образованиях мозга оно не изменяется. В этих условиях наблюдается снижение уровня АК в больших полушариях и варолиевом мосту с продолговатым мозгом на 18,7 и 20,0%, а в мозжечке и спинном мозге возрастает в 2 и 1,5 раза, соответственно.

В аналогичных условиях во всех исследуемых отделах мозга (за исключением спинного мозга, где отмечается повышение на 21,4%) активность ГДК заметно снижается: в больших полушариях на 14,3, в мозжечке — на 26,7 и в варолиевом мосту с продолговатым мозгом — на 33,9%.

Глюконат кальция на фоне действия хлодитана вызывает достоверное снижение ферментативной активности ГАМК-Т в мозжечке и варолиевом мосту с продолговатым мозгом на 30,0 и 17,2%, соответственно, и незначительное снижение в больших полушариях, а в спинном мозге достоверного изменения не наблюдается.

Как уже было отмечено, ионы кальция играют определенную роль в кортикотропной функции надпочечников [15]. В свою очередь, введение в организм стероидных гормонов надпочечникового происхождения вызывает повышение, а двусторонняя адреналектомия обуславливает снижение уровня ГАМК и активности ферментов ее обмена в нервной ткани [9, 11].

На основании вышеизложенного и собственных данных (однодиапазонность сдвигов уровня компонентов обмена ГАМК в ходе обоих опытов) можно предположить, что одним из путей влияния ионов кальция на систему ГАМК, возможно, является их стимулирующее действие на выделение стероидных гормонов надпочечникового происхождения в кровь.

#### Литература

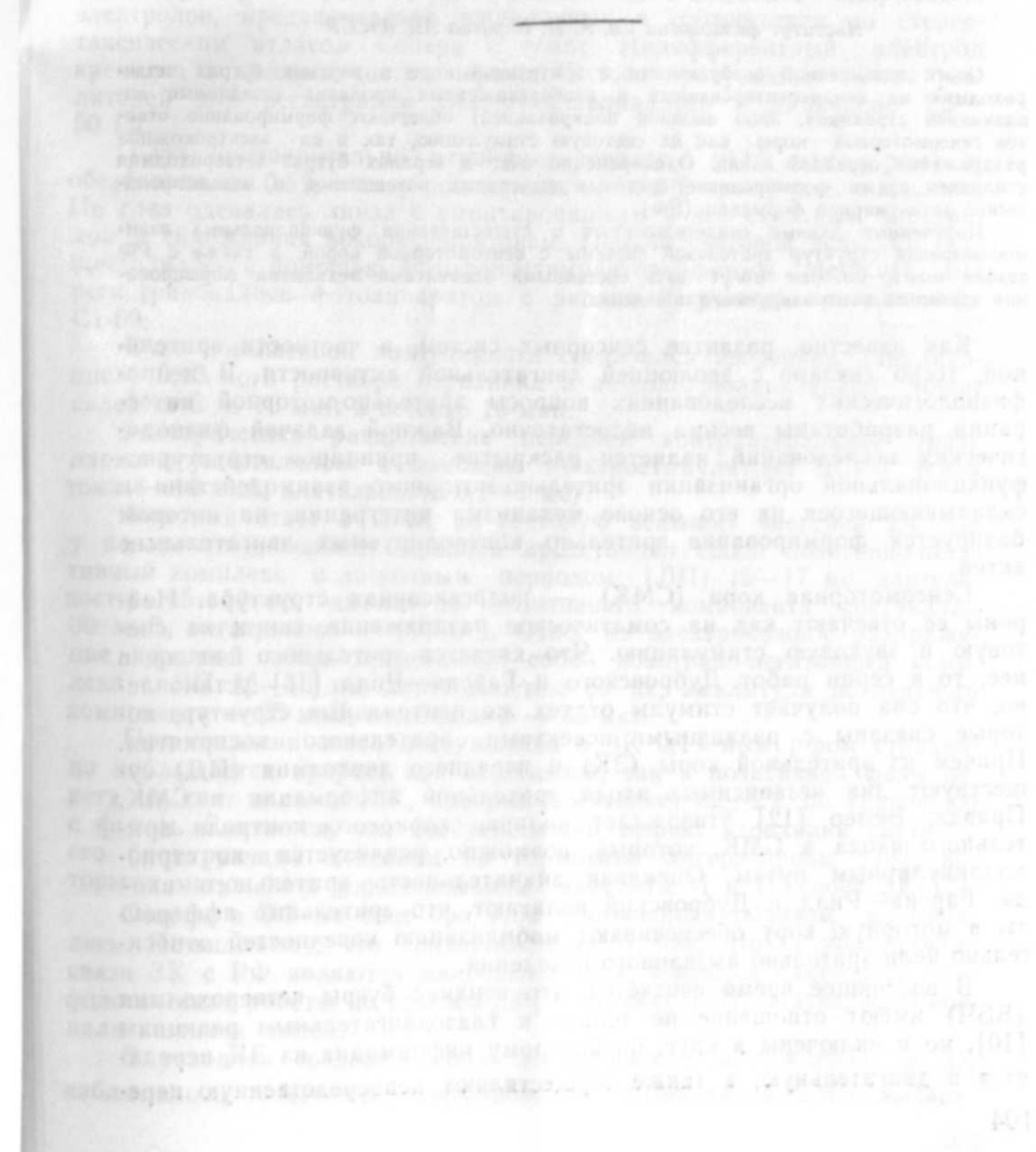
1. Костенко М. А., Мусиенко В. С., Смолихина Т. И. — Цитология, 23, 1981, № 7, с. 779—787.
2. Нилова Н. С. — Докл. АН СССР, 166, 1966, с. 483—486.
3. Рокицкий Ф. П. — В кн.: Биологическая статистика. Минск: Высшая школа, 1967.
4. Шатунова Н. Ф., Сытинский И. А. — В сб.: Нервная система, 3, 1962, Л., с. 12—14.
5. Birsel S., Szerb J. C. — Can. J. Physiol. and Pharmacol., 1980, 58, N 10, p. 1158—1166.
6. Dose K. — Biochem. Z., 1957, 329, S. 416.
7. Hamerschlag Richard. — Red. Proc., 1980, 39, N 10, p. 2809—2814.
8. Marti Alain. — J. physiol. (France), 1980, 76, N 5, p. 523—527.
9. Pandolfo L., Naccione. — Giorn. Biochem., 1964, v. 13, p. 256—261.
10. Rabeminoff R., Lev-Tov A., Metri H. — J. Exp. Biol., 1980, 89, p. 5—18.
11. Rindi G., Ventura V. — Inter. J. Biochem., 1961, v. 10, p. 135—146.
12. Roberts E., Frankel S. — J. Biol. Chem., 1950, 187, p. 55.
13. Sandberg Mats, Hamberger Anders, Jacobson Ibgemar, Karlsson Jan-Olof. — Neurochem Res., 1980, 5, N 11, p. 1185—1198.
14. Sytinsky I. D., Priatkina T. N. — J. Biochem. Pharmacol., 1966, v. 15, p. 49—57.
15. Zofkova I., Blabos J., Starka L. — Endocrinologie, 1981, 77, N 1, p. 65—69.

Г. К. Гэдиров, М. И. Сафаров, С. А. Кэrimов, І. М Араси

#### БЕЈРЭКҮСТУ ВӘЗИЛӘРИН КОРТИКОТРОП ФУНКСИЯСЫНЫН ПОЗУЛМАСЫ ШӘРАНТИНДӘ КАЛСИУМ ИОНЛАРЫНЫН МӘРКӘЗИ СИНИР СИСТЕМИНДӘ КЕДӘН ГАЙТ МУБАДИЛӘСИНӘ ТӘСИРИ

Тәдгигат ишинде бејрекүстү вәзиләрин кортикотроп функциясынын хлодитан вурмагла позулмасы шәрантинида калсиум ионларынын чииси жетишмә дөврүнү кечирэн (2,5-ајлыг) еркек аг сичовулларын баш бејин ярымкуруләрнинде, узунсов бејининде бирликтә варол көрпүсүнде, бејничикдә ва онурга бејининде кедән гамма-аминояғ туршусу (ГАЈТ) мубадиләсина тәсир өјрәнилмишdir.

Так хлодитан вә хлодитан вурдугдан сонра калсиум ионларынын тәтбиғи ГАЈТ мубадиләсендөңдөң єни истигаматты дәжишикликләр эмалы калмасыла шатырләнir. Бу факт калсиум ионларынын кортикотроп функциясынын бу ионларын синир тохумасында кедән ГАЈТ мубадиләсина эсас тәсир јолларынан бири олдуғуну сүбут едир.



Н. А. ГАДЖИЕВА, Ф. Б. КУЛИЕВА

## ВЛИЯНИЕ ЛОКАЛЬНЫХ ОЧАГОВ ПОВЫШЕННОЙ ВОЗБУДИМОСТИ В ЗРИТЕЛЬНОЙ КОРЕ И ВЕРХНИХ БУГРАХ ЧЕТВЕРОХОЛМИЯ НА ФУНКЦИОНАЛЬНОЕ СОСТОЯНИЕ СЕНСОМОТОРНОЙ КОРЫ

Институт физиологии им. А. И. Караваев АН АзССР

Очаги повышенной возбудимости в зрительной коре и верхних буграх четверохолмия на ненаркотизированных и необездвиженных кроликах (созданные аппликацией стрихнина, либо анодной поляризацией) облегчают формирование ответов сенсомоторной коры как на световую стимуляцию, так и на электрокожное раздражение передней лапки. Одновременно очаг в верхних буграх четверохолмия усиливает также формирование световых вызванных потенциалов в мезенцефалической ретикулярной формации (РФ).

Полученные данные свидетельствуют о существовании функциональных взаимоотношений структур зрительной системы с сенсомоторной корой, а также с РФ ствола мозга, которые могут быть составными элементами механизма формирования зрительно контролируемого поведения.

Как известно, развитие сенсорных систем, в частности зрительной, тесно связано с эволюцией двигательной активности. В нейрофизиологических исследованиях вопросы зрительно-моторной интеграции разработаны весьма недостаточно. Важной задачей физиологических исследований является раскрытие принципов структурно-функциональной организации зрительно-моторного взаимодействия и складывающегося на его основе механизма интеграции, на котором базируется формирование зрительно контролируемых двигательных актов.

Сенсомоторная кора (СМК) — полисенсорная структура. Нейроны ее отвечают как на соматическое раздражение, так и на световую и звуковую стимуляцию. Что касается зрительного входа в нее, то в серии работ Дубровского и Гарсиа-Рилл [13] установлено, что она получает стимулы от тех же центральных структур, которые связаны с различными аспектами зрительного восприятия. Причем из зрительной коры (ЗК) и переднего двухолмия (ПД) существуют два независимых входа зрительной информации в СМК. Правда, Бюзер [12] утверждает наличие коркового контроля зрительного входа в СМК, который, возможно, реализуется по стриоколликулярным путям. Оценивая значительность зрительного входа, Гарсиа-Рилл и Дубровский полагают, что зрительные афференты в моторную кору обеспечивают мобилизацию конечностей относительно цели зрительно вызванного поведения.

В настоящее время считается, что верхние бугры четверохолмия (ВБЧ) имеют отношение не только к глазодвигательным реакциям [10], но и включены в круг, по которому информация из ЗК передается в двигательную, а также осуществляют непосредственную пере-

дачу зрительного сигнала в моторную область [11]. Благодаря конвергентным свойствам составляющих элементов ВБЧ выполняют важные интегративные функции в целостных рефлекторных актах, связанных с поворотом головы и глаз в сторону источника сигналов различных модальностей.

Исходя из вышеизложенного целью нашей работы было выяснение влияния очагов повышенной возбудимости в ЗК и ВБЧ на функциональное состояние сенсомоторной области коры больших полушарий.

Эксперименты ставились на 12 ненаркотизированных необездвиженных кроликах породы «серая шиншилла». Вызванные потенциалы (ВП) ЗК, ВБЧ, МРФ, СМК отводились с помощью никромовых электродов, предварительно вживленных в соответствии со стереотаксическим атласом Сойера с соавт. Индифферентный электрод крепился в носовых костях черепа. Полоса пропускания чает от усилителей для регистрации ВП устанавливалась в диапазоне 1,5—50 Гц.

Глаз предварительно атропинизировался (0,1%-ным р-ром) и обезболивался 0,5%-ным р-ром дикамина или 2%-ным р-ром новокаина. На глаз одевалась линза с вмонтированным в нее стальным электродом и снабженная векторасширителем. Подача световой вспышки осуществлялась с помощью фотофоностимулятора фирмы «Medicor». ВП регистрировались фотоаппаратом с экрана 2-лучевого осциллографа С1-69.

Очаг повышенной возбудимости создавался введением (аппликацией) 0,1%-ного раствора стрихнина и анодной поляризацией током силой от 5 до 10 мА в течение 10 мин.

Электрическое раздражение передней контролатеральной глазу лапки осуществлялось с помощью электростимулятора ЭСУ-1 (сила тока 8—10 мА, длительность 0,1—1 мс).

Фоновый ответ в СМК на световую вспышку энергией 1,4 Дж у ненаркотизированного кролика представлял собой позитивно-негативный комплекс с латентным периодом (ЛП) 15—17 мс, длительностью 45—50 мс, амплитуда позитивного компонента составляла 30 мкВ, негативного — 20 мкВ. Ответ на электрокожное раздражение передней лапки представлял собой позитивно-негативный комплекс с ЛП 12—13 мс, длительностью 50 мс, амплитуда позитивного компонента — 25 мкВ, негативного — 35 мкВ.

При создании очага возбуждения в ЗК 0,1%-ным р-ром стрихнина наблюдается прирост как негативной, так и позитивной фазы ответа на свет в самой ЗК, который составляет  $82 \pm 2\%$  по сравнению с фоном. Считается, что возбуждающий эффект стрихнина связан с его блокирующими влиянием на тормозные интернейроны [18], которыми могут быть короткоаксонные элементы II и IV слоев ЗК [2].

Ответы в РФ на свет при этом достоверным образом не менялись. По-видимому, это свидетельствует о том, что существующие связи ЗК с РФ являются малочисленными. Имеются единичные морфологические работы на крысах [20] и кошках [17], подтверждающие наличие таких связей.

В условиях создания очага повышенного возбуждения в ЗК наблюдалось облегчение формирования потенциалов СМК, вызван-

ных как световой стимуляцией (на 10-й минуте — в среднем на  $60 \pm 2\%$ ; на 30-й минуте — на  $8 \pm 0,5\%$ ), так и электрокожным раздражением передней лапки (соответственно на  $25 \pm 1\%$ ) (рис. 1).

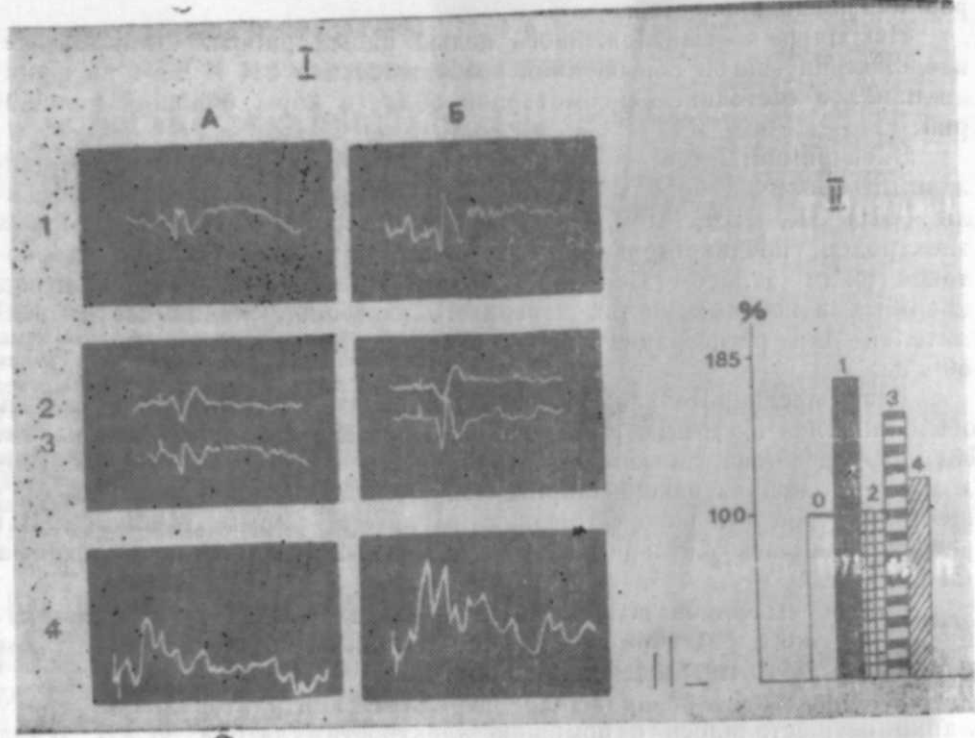


Рис. 1. Вызванные потенциалы в зрительной коре (1), в мезенцефалической ретикулярной формации (2), в сенсомоторной коре, на световое раздражение (3) и на электрокожное раздражение когтеватеральной лапки (4) в фоне (А) и после аппликации 0,1% раствора стрихнина на зрительную кору (Б).

— осциллограммы. Калибровка здесь и на последующих рисунках — 50 мкВ, 20 мс; II — графическое изображение изменения суммарной амплитуды ответов. Здесь и для всех последующих рисунков 0 — суммарная амплитуда для всех ответов в норме; 1 — зрительная кора; 2 — ретикулярная формация; 3 — сенсомоторная кора (световая стимуляция); 4 — сенсомоторная кора (электрокожное раздражение).

Сходные данные были получены при анодной поляризации ЗК. Как известно, в условиях поляризации слабым постоянным током возникающие стационарные очаги возбуждения являются упрощенной моделью краткосрочной памяти и моделью очагов, участвующих в формировании временной связи. При анодной поляризации у клеток, лежащих в нижних слоях коры, развивается деполяризация [6]. В наших опытах анодная поляризация ЗК, приводящая к возбуждению нейрональных элементов ЗК, увеличивала ответ в самой ЗК в первые 10 мин после прекращения поляризации в среднем на  $80 \pm 1,8\%$ . Ответ в РФ на световую стимуляцию увеличивался в среднем на  $30 \pm 1\%$  — на 10-й мин и к концу 60-й мин возвращался к исходным величинам. Ответ в СМК при этом увеличивался в среднем через

10 мин — на  $50 \pm 2\%$ ; через 30 мин — на  $45 \pm 2\%$ ; через 60 мин — на  $30 \pm 1\%$  и к концу 1-го ч все еще оставался увеличенным (рис. 2).

Облегчение ответов как на световую, так и электрокожную стимуляцию в СМК — при стрихнинизации, либо анодной поляризации ЗК — свидетельствует об общем повышении возбудимости этого от-

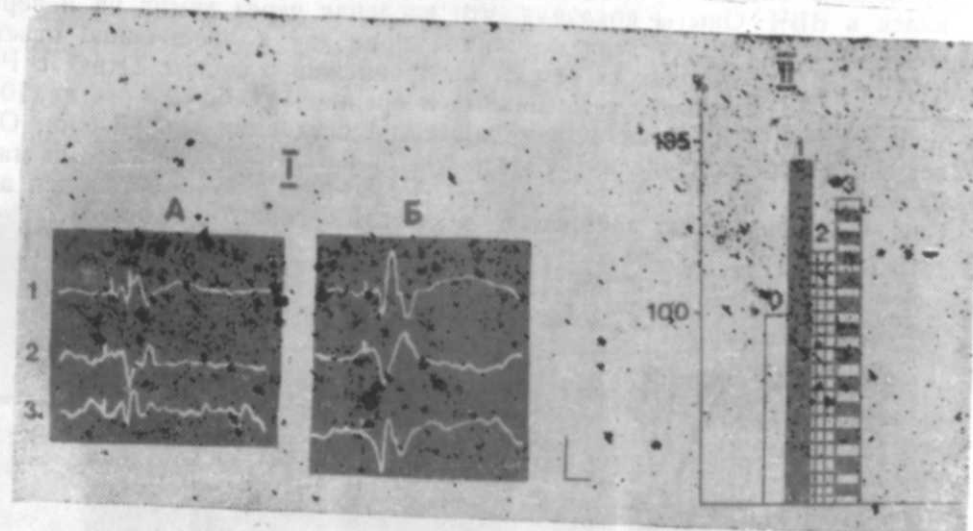


Рис. 2. Вызванная активность зрительной коры (1), мезенцефалической ретикулярной формации (2) и сенсомоторной коры (3) в фоне (А) и после анодной поляризации зрительной коры (Б).

I — осциллограммы, II — графическое изображение изменения суммарной амплитуды ответов: 1 — зрительная кора; 2 — ретикулярная формация; 3 — сенсомоторная кора (световая стимуляция)

дела коры. Механизм наблюдаемого явления может быть расценен двояко. В настоящее время доказано, что транскортикальная передача влияния с ЗК в моторную может быть обеспечена, реальными связями, существование которых показано и электрофизиологическими методами [14]. Хотя по мнению Бюзер [1] ЗК и не необходима для активации светом клеток двигательной коры, но она, вероятно, оказывает некоторое постоянное облегчающее влияние на зрительный путь к двигательной коре.

Наряду с этим можно предположить, что возбудимость СМК повышается за счет изменения корково-подкорково-корковых взаимоотношений, включающих в себя не только специфические структуры зрительной системы, но, также, возможно, пульвинар, интрапламинарную систему таламуса и РФ ствола мозга.

В то же время подтверждением наших данных о влиянии ЗК на моторную может послужить работа [7], в которой двустороннее холдовое выключение затылочной коры нарушило функции не только зрительной системы, включая и ее подкорковые уровни, но и двигательные функции животного: животное не реагировало на зрительные раздражители, пошатывалось во время ходьбы, распространялись движения передних лап, животные не могли достать перед-

ней лапой кусочки мяса из кормушки, не делали попыток обойти препятствие, чтобы получить пищу. В дальнейшем зрительные и двигательные функции у них восстанавливались, но не полностью.

Для решения вопроса о возможном участии подкорковых зрительных центров в механизме влияния ЗК на двигательную были проведены опыты, в которых очаг повышенной возбудимости создавался в ВБЧ. Опыты показали, что введение через хемод на поверхность ВБЧ 0,1%-ного раствора стрихнина приводит к увеличению ответа в самих ВБ в среднем на  $88 \pm 3\%$  по сравнению с фоном. Ответ в РФ на световую вспышку увеличивался в среднем на  $60 \pm 2\%$  — на 10-й мин, на  $20 \pm 1,5\%$  — на 30-й и таким же оставался к 60-й мин. Ответ в СМК на свет увеличивался в среднем на  $40 \pm 1\%$  — на 10-й мин, на  $50 \pm 1\%$  — на 30-й и на  $25 \pm 2\%$  — на 60-й мин, т. е. оставался все еще увеличенным по сравнению с фоновым ответом (рис. 3).

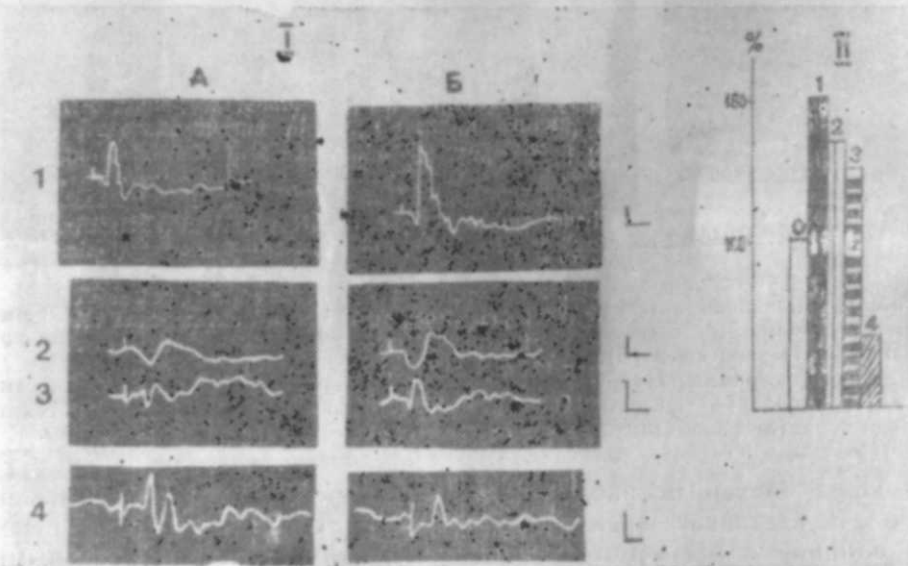


Рис. 3. Вызванная активность верхних бугров четверохолмия (1), мезенцефалической ретикулярной формации (2), сенсомоторной коры (3) и зрительной коры (4) в фоне (А) и после введения 0,1% раствора стрихнина в верхние бугры четверохолмия (Б).

1 — осциллограммы; II — графическое изображение изменения суммарной амплитуды ответов: 1 — верхние бугры четверохолмия; 2 — ретикулярная формация ствола мозга; 3 — сенсомоторная кора (световая стимуляция); 4 — зрительная кора

В то же время предположение о том, что облегчающее влияние ЗК на сенсомоторную область коры опосредуется через ВБЧ, оказывается не состоятельным, поскольку очаг повышенной возбудимости в ВБЧ угнетает формирование ВП на свет в ЗК (см. рис. 3), а такой же очаг, созданный в ЗК, в свою очередь, угнетает формирование аналогичных ответов в ВБЧ [4, 5].

Сходные данные получены и при анодной поляризации ВБЧ. Ответ в самих ВБ увеличивался в среднем на  $47 \pm 2\%$  по сравнению с

фоном и к концу 60-й мин все еще оставался увеличенным. Ответ в РФ на световую вспышку увеличивался в среднем на  $50 \pm 1\%$  — на 10-й мин, на  $66 \pm 3\%$  — на 30-й мин и к концу 1-го ч оставался увеличенным. Наблюдалось облегчение ответов и в СМК в среднем на  $50 \pm 1\%$  — на 10-й мин, на  $50 \pm 1\%$  — на 30-й и на  $16 \pm 2\%$  — на 60-й мин (рис. 4).

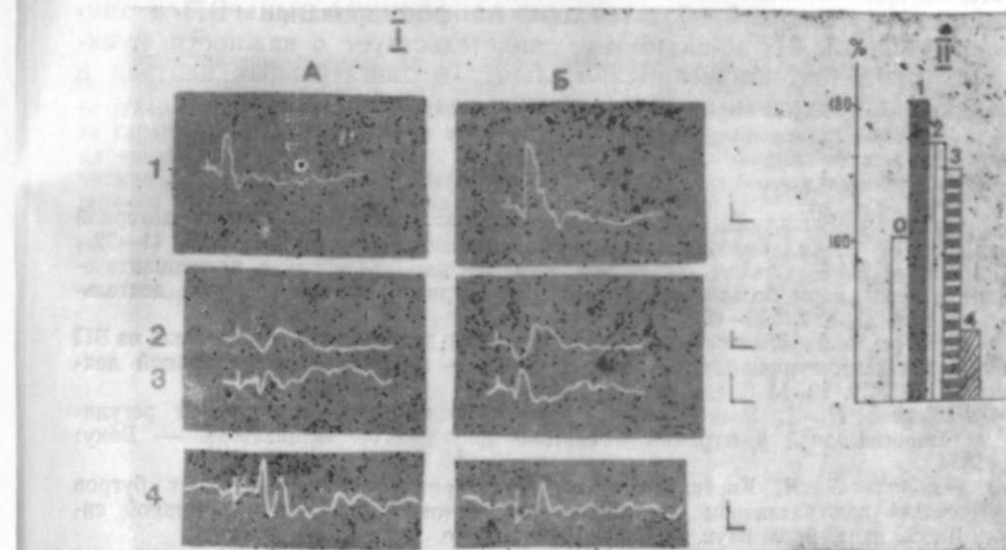


Рис. 4. Вызванная активность верхних бугров четверохолмия (1), мезенцефалической ретикулярной формации (2) и сенсомоторной коры (3) в фоне (А) и после действия анодной поляризации верхних бугров (Б).

I — осциллограммы; II — графическое изображение изменения суммарной амплитуды ответов: 1 — верхние бугры четверохолмия; 2 — ретикулярная формация ствола мозга; 3 — сенсомоторная кора (световая стимуляция); 4 — зрительная кора

Поскольку из морфологических исследований известны двусторонние связи верхних бугров как с СМК [9, 16 и др.], так и РФ ствола мозга [15, 19 и др.], наблюдаемые эффекты следует рассматривать в свете реально существующих функциональных взаимоотношений между этими структурами.

Таким образом, очаг повышенной возбудимости в ЗК облегчает формирование ответов в СМК как на световую стимуляцию, так и на электрокожное раздражение контрлатеральной передней лапы. Очаг повышенной возбудимости в ВБЧ усиливает формирование световых ВП в СМК и МРФ и угнетает в ЗК.

Полученные данные рассматриваются в свете существования как транскортикальных влияний с затылочной корой на фронтальные ее отделы, так и в свете возможного изменения корково-подкорково-корковых взаимоотношений, включающих в себя не только специфические, но также и неспецифические структуры мозга.

Полученный экспериментальный материал свидетельствует о том, что функциональные взаимоотношения структур зрительной системы с СМК и РФ ствола мозга могут являться важным звеном в меха-

низме формирования двигательной активности, управляемой зрением. Можно думать, что зрительная кора через свои центрифугальные влияния не только действует как система, осуществляющая обратную связь от зрительной афферентации, но также включена через другие структуры, в том числе через сенсомоторную область коры больших полушарий, в двигательную систему, формирующую поведение, управляемое зрением. Имеющиеся в литературе данные об облегчающем влиянии моторной области коры на формирование ВП в зрительной коре [3, 8], по-видимому, свидетельствуют о важности функциональных взаимоотношений зрительных и двигательных центров в формировании адекватных биологических реакций.

### Литература

1. Бюзер П., Ришар Д. О нейрофизиологических основах зрительно-моторной координации. — В кн.: Сенсорная организация движений. Л.: Наука, 1975, 41—52.
2. Вальцев В. Б. Спайк как модель для анализа процессов в полисинаптических структурах коры больших полушарий. — Журнал высшей нервной деятельности, 1971, т. 21, в. 2, 592—600.
3. Волохов А. А., Шимко И. А. Влияние ранней двигательной тренировки на ВП зрительной и сенсомоторной коры мозга у крыс. — Журнал высшей нервной деятельности, 1978, т. 28, № 6, с. 1288.
4. Гаджиева Н. А. Электрофизиологическое исследование центральной регуляции и гетеросенсорной интеграции в системе артильного анализатора. — Баку: Элм, 1974.
5. Камбарлы Э. И. Кортикальная и ретикулярная регуляция верхних бугров четверохолмия при различном функциональном состоянии центральной нервной системы: Дисс... канд. биол. наук. — Баку, 1978. — 21 с.
6. Кузнецова Г. Д., Королева В. И. Очаги стационарного возбуждения в коре большого мозга. — М.: Наука, 1978. — 168 с.
7. Сосенков В. А. О значении зрительной коры в поведении кошек. — В кн.: Функционально-структурные основы системной деятельности и механизмы пластичности мозга. — М.: Изд. мозга АМН СССР, 1973, вып. 2, с. 34—35.
8. Шимко И. А. Влияние двигательной депривации в раннем онтогенезе на ВП сенсомоторной и зрительной коры мозга у крыс. — Журнал высшей нервной деятельности, 1984, т. 34, вып. 1, с. 124—128.
9. Altman J. Some fiber projections to the superior colliculus in the cat. — J. Comp. Neurol., 1962, v. 119, N 1, p. 77—96.
10. Apter J. T. Projection of the retina on superior colliculus of cat. — J. Neurophysiol., 1945, 8, p. 123—134.
11. Ascer P., Gachelin G. Role du colliculus supérieur dans l'élaboration des réponses pyramidales à une stimulation visuelle. — Comp. Rend. Soc. Biol., 1963, 157, N 7, p. 1398—1409.
12. Buser P. Higher functions of the nervous system. — Ann. Rev. Physiol., 1976, v. 88, p. 217—245.
13. Garsia-Rill E., Dubrovski B. Organization of visual input in cat motorosensory cortex. — Exp. Neurol., 1971, v. 33, p. 597—606.
14. Imbert M., Bignall, Buser D. Neocortical interconnections in the cat. — J. Neurophysiol., 1966, v. 29, N 3, p. 383—391.
15. Kawamura K., Hashikawa T. Cell bodies of origin of reticular projections from the superior colliculus in the cat: an experimental study with the use of horse-radish peroxidase as a tracer. — J. Comp. Neurol., 1978, v. 182, S 1, p. 1—16.
16. Otani K., Kimura M., Yamada I. The tectofugal projections in the rat and cat. — In: Proc. 10th Int. Congr. Anatomists and 8th Amm. Meet. Jap. Assoc. Anatomists. Tokyo, 1975, p. 183.
17. Pearce G. W. Some cortical projections to the midbrain reticular formation. — In: Structure and function of the cerebral cortex. Amsterdam-New York-London, 1960, p. 131—143.
18. Roper S., Diamond I., Vasargil G. M. Does strychnine block inhibition postsynaptically? — Nature (Engl.), 1969, v. 223, N 5211, p. 1168—1169.
19. Scheibel M. E., Scheibel A. B. Structure substrates for integrative patterns in the

stem reticulare cerebelli. — In: Reticular formation of the brain/Jasper H. H. et al. (Editors). Boston, 1958, p. 31.

20. Valverde F. Reticular formation of the albino rat brain stem. Cytoarchitecture and corticofugal connections. — J. Comp. Neurol., 1962, v. 119, N 1, p. 25—53.

Н. А. Ынышева, Ф. Б. Гулијева

### КӨРМЭ ГАБЫГЫНЫН ЛОКАЛ МЭРКЭЗЛЭРИНИН ВӘ ЙУХАРЫ ДӨРДТӘПӘЛИ ЧИСМИН ЙҮКСЭК ДӘРӘЧӘДӘ ҢӘЛӘЧАНЛАНМАЛАРЫНЫН СЕНСОМАТОР ГАБЫГЫНЫН ФУНКСИОНАЛ ВӘЗИЈЛӘТЛӘРИНӘ ТӘСИРИ

Наркотикләшдирилмиш вә һөрөктөсизләшдирилмөнүш (стрихинин дамыздырмагла вә ја анод поларизасиясы илә) довшанларда көрмэ габыгынын локал мэркэзләринин вә јухары дөрдтәпәли чисмин ўуксек дәрәчәдә ңәләчанланмалары ишыгын тә'сири. Һэм дә габаг пәнчәләрин дәрисинин электриклә гычыгандырылмасы сенсоматор габыгында чавабларын эмэлэ қалмасини асанлаштырыр. Ейни заманда јухары дөрдтәпәли чисмин һәмии мәркази мезенцефалик ретикулјар формасијасынын ишыгын тә'сири илә яранан чагырыш потенциалын да күчләндирir.

Алынган нәтичәләр көстәрир ки, көрмэ системи ниссәләринин һәм сенсоматор габыгы, һәм дә бејин көтүүнүн ретикулјар формасијасы илә гарышылыгы функционал эләгәләри вардыр вә онлар көрмэ вә нәзарәт давранышы механизми элементләrinә дахил ола биләрләр.

**АКТИВНОСТЬ АТФ-АЗ В СУБКЛЕТОЧНЫХ ФРАКЦИЯХ  
СТРУКТУР ЗРИТЕЛЬНОГО АНАЛИЗАТОРА МОЗГА  
КРОЛИКОВ В РАННЕМ ПОСТНАТАЛЬНОМ ОНТОГЕНЕЗЕ**

Институт физиологии им. А. И. Карапова АН АзССР

В работе приводятся результаты изучения локализации и динамики активности Mg- и Na-, K-АТФ-аз субклеточных фракций структур зрительного анализатора мозга в раннем постнатальном онтогенезе. Установлено, что динамика активности АТФ-аз в отдельных субфракциях структур зрительного анализатора неодинакова. Резкое увеличение активности Mg-АТФ-азы наблюдается у прозревающих крольчат в фракциях С, Д и Е как ЗК, так и ПД и НКТ. Удельная активность Na-, K-АТФ-азы отчетливо повышается в ЗК месячного кролика во фракциях А, В и С, а в подкорковых образованиях — А и Е. Распределение АТФ-аз по субфракциям как в коре, так и в подкорковых образованиях в раннем периоде постнатального онтогенеза указывает на преимущественную локализацию Mg-АТФ-азы в митохондриях и синаптосомах, а Na-, K-АТФ-азы — в синаптических мембранах и синаптосомах. Различие в динамике перераспределений различных АТФ-аз в субклеточных образованиях развивающегося мозга, по-видимому, связано с функциональной особенностью и уровнем их биохимической дифференцировки.

В настоящее время изучение активности АТФ-аз субклеточных фракций мозга животных в онтогенезе привлекает внимание многих исследователей [1, 3—6, 9, 11]. Однако имеющиеся литературные сведения ограничены, неоднозначны и посвящены в основном субклеточным фракциям, выделенным из гомогенатов целого мозга, и в меньшей мере — его отдельных образований. В связи с этим задача настоящей работы заключалась в изучении локализации и динамики активности АТФ-аз субклеточных фракций структур зрительного анализатора мозга кроликов в раннем периоде постнатального онтогенеза.

Опыты проводились на 70 крольчатах одного пола (самцы) 1—3-, 12—15-, 21—25- и 30-дневного возраста. Выделение субклеточных фракций (А — миелиновая фракция, В — синаптические мембранны, С — легкие синаптосомы, Д — тяжелые синаптосомы и Е — митохондрии) из зрительной коры (ЗК), переднего двуххолмия (ПД) и наружного коленчатого тела (НКТ) проводилось с помощью дифференциального центрифугирования в градиенте плотности сахарозы по Де-Робертису [7]. Активность Na-, K- и Mg-АТФ-аз определялась по приросту неорганического фосфата по методу Фиске—Суббаров [8]. Содержание белка в субклеточных фракциях определяли по Лоури с сотр. [10]. Полученные данные статистически обработаны по Рокицкому [2]. Удельная активность АТФ-аз выражалась в мкмоль  $P_i$  на 1 мг белка, а содержание общего белка — в мг на 1 г свежей ткани.

В результате проведенных исследований (табл. 1) установлено, что субфракции А и В зрительной коры новорожденных крольчат

обладают одинаковой удельной активностью Mg-АТФ-азы. Такой же уровень активности фермента отмечается в переднем двуххолмии и наружном коленчатом теле. Легкие синаптосомы ПД, тяжелые синаптосомы ЗК и НКТ новорожденных крольчат характеризуются более высокой удельной активностью Mg-АТФ-азы. Интересен тот факт, что наибольшая локализация Mg-АТФ-азы у новорожденных крольчат наблюдается в митохондриях ЗК и в синаптосомах ПД и НКТ.

В период раннего этапа развития (у 12-дневных крольчат) структур зрительного анализатора в основном отмечается возрастание удельной активности Mg-АТФ-азы, которая выражена неодинаково.

Результаты

Динамика изменения удельной активности Mg-АТФ-азы в субклеточных фракциях мозга кроликов в раннем постнатальном онтогенезе (мкмоль  $P_i$ /мг белка)

Субфракции	Возраст					
	1—3 (n=5—8)		12—15 (n=5—6)		Структуры	
	ЗК	ПД	НКТ	ЗК	ПД	НКТ
А	7,5±0,5	6,2±0,5	4,7±1,0	5,4±0,6	8,8±0,3	10,3±3,3
В	7,4±0,6	6,7±1,2	4,6±1,2	6,9±0,2	8,3±1,0	10,6±0,3
С	6,2±0,8	12,2±1,3	6,7±1,1	12,5±0,7	11,0±1,5	8,4±3,1
Д	9,7±1,2	7,2±0,6	11,1±0,8	19,4±0,1	15,0±1,0	16,3±4,0
Е	12,4±1,1	10,2±1,1	6,7±1,1	23,9±3,4	14,6±4,2	22,3±0,9
СФ Мх	8,7±0,5	7,1±0,02	5,9±0,2	10,2±0,3	10,3±1,0	12,2±0,9

Примечание:

А — миелиновая фракция;  
В — синаптические мембранны;  
С — легкие синаптосомы;  
Д — тяжелые синаптосомы;

отмечается в подкорковых образованиях мозга.

Таким образом, по мере развития образований зрительного анализатора мозга кроликов в раннем онтогенезе в субклеточных фракциях в основном происходит возрастание удельной активности Mg- и Na-, K-АТФ-аз. В отдельных субфракциях структур зрительного анализатора динамика активности Mg-АТФ-азы выражена неодинаково. Резкое увеличение активности фермента наблюдается у прозреваю-

Таблица 1

Динамика изменения удельной активности Mg-АТФ-азы в субклеточных фракциях структур зрительного анализатора мозга кроликов в раннем постнатальном онтогенезе (мкмоль Р<sub>н</sub>/мг белка за час,  $M \pm m$ )

Субфракции	Возрасты жизни											
	1—3 (n=5—8)			12—15 (n=5—6)			21—25 (n=4—6)			30 (n=4—6)		
	Структуры мозга											
	ЗК	ПД	НКТ	ЗК	ПД	НКТ	ЗК	ПД	НКТ	ЗК	ПД	НКТ
A	7,5±0,5	6,2±0,5	4,7±1,0	5,4±0,6	8,8±0,3	10,3±3,3	8,7±0,5	8,4±1,2	5,7±1,0	15,0±1,0	7,8±1,9	4,0±0,6
B	7,4±0,6	6,7±1,2	4,6±1,2	6,9±0,2	8,3±1,0	10,6±0,3	11,0±0,6	9,1±1,5	16,4±3,1	10,7±0,6	11,1±3,1	6,6±0,7
C	6,2±0,8	12,2±1,3	6,7±1,1	12,5±0,7	11,0±1,5	8,4±3,1	6,7±0,6	8,3±0,3	8,9±2,1	7,9±0,8	8,1±2,4	7,0±1,0
D	9,7±1,2	7,2±0,6	11,1±0,8	19,4±0,1	15,0±1,0	16,3±4,0	8,2±0,6	10,0±0,6	7,4±1,4	11,0±0,6	6,1±1,6	7,1±1,2
E	12,4±1,1	10,2±1,1	6,7±1,1	23,9±3,4	14,6±4,2	22,3±0,9	7,9±1,1	9,3±1,0	4,1±1,5	7,1±0,9	5,7±1,6	9,8±2,1
СФ Mx	8,7±0,5	7,1±0,02	5,9±0,2	10,2±0,3	10,3±1,0	12,2±0,9	8,7±0,6	7,8±0,5	7,0±2,0	8,7±0,2	7,5±0,5	5,8±0,8

Примечание:

А — миelinовая фракция;  
 В — синаптические мембранны;  
 С — легкие синаптосомы;  
 Д — тяжелые синаптосомы;

Е — митохондрии;  
 СФ Mx — суммарная фракция митохондрий;  
 n — число опытов.

Таблица 2

Динамика изменения удельной активности Na<sub>+</sub>-K<sub>+</sub>-АТФ-азы в субклеточных фракциях структур зрительного анализатора мозга кроликов в раннем постнатальном онтогенезе (мкмоль Р<sub>и</sub>/мг белка за час, M±m)

Субфракции	Возраст, дни											
	1—3 (n=5—8)			12—15 (n=5—6)			21—25 (n=4—6)			30 (n=4—6)		
	Структуры мозга											
	ЗК	ПД	НКТ	ЗК	ПД	НКТ	ЗК	ПД	НКТ	ЗК	ПД	НКТ
A	2.3±0.6	1.3±0.5	1.3±0.9	2.9±0.5	2.6±0.4	5.1±1.5	2.2±0.4	0.6±0.04	0.7±0.07	16.3±2.4	3.4±0.1	3.2±0.9
B	4.1±0.5	3.3±0.2	1.0±0.1	2.7±0.1	5.6±0.2	3.7±0.7	6.8±0.5	8.9±1.1	2.7±0.4	9.8±0.4	2.6±0.5	
C	3.9±0.5	0.8±0.1	1.7±0.2	3.9±0.2	2.2±0.5	7.0±0.4	7.4±0.5	4.0±0.7	1.2±0.2	14.0±1.2	1.1±0.3	1.0±0.2
D	8.6±0.9	2.0±0.6	9.9±0.2	7.6±1.1	3.0±0.3	6.2±0.9	3.2±0.4	4.6±0.8	0.5±0.05	8.5±2.3	2.8±0.1	1.0±0.1
E	8.1±0.6	1.0±0.3	4.7±0.4	7.9±3.5	Отсутств.	Отсутств.	2.9±0.4	1.7±0.4	Отсутств.	6.2±1.2	5.2±1.0	4.9±0.5
СФ Мх	4.3±1.1	1.7±0.08	2.6±0.4	3.6±0.3	3.7±0.03	5.1±0.3	7.0±0.1	2.6±0.3	1.0±0.3	6.2±1.9	4.3±0.8	2.5±0.4

УДК 577.1:612.8.015:591.484:591.35

А. Д. ГАФУЛОВА

АКТИВНОСТЬ АТФ-АЗ В СУБКЛЕТОЧНЫХ ФРАКЦИЯХ  
 ЗРИТЕЛЬНОГО АНАЛИЗАТОРА МОЗГА

—азы в субклеточных фракциях структур зрительного анализатора  
 вном онтогенезе (мкмоль Р<sub>н</sub>/мг белка за час, M±m)

Таблица 2

Возраст, дни	21–25 (n=4–6)			30 (n=4–6)		
	Структуры мозга		NKT	ZK	PД	NKT
	ZK	PД	NKT	ZK	PД	NKT
5.1±1.5	2.2±0.4	0.6±0.04	0.7±0.07	16.3±2.4	3.4±0.1	3.2±0.9
3.7±0.7	6.8±0.5	8.9±1.1	2.7±0.4	9.8±0.4	2.6±0.6	
7.0±0.4	7.4±0.5	4.0±0.7	1.2±0.2	14.0±1.2	1.1±0.3	1.0±0.2
6.2±0.9	3.2±0.4	4.6±0.8	0.5±0.05	8.5±2.3	2.8±0.1	
Отсутст.	2.9±0.4	1.7±0.4	Отсутст.	6.2±1.2	5.2±1.0	1.0±0.1
5.1±0.3	7.0±0.1	2.6±0.3	1.0±0.3	6.2±1.9	4.3±0.8	4.9±0.5
						2.5±0.4

ференциального центрифугирования по Де-Робертису [7]. Активность Na, K- и Mg-АТФ-аз определялась по привычке неорганического фосфата по методу Фиске—Суббаров [8]. Содержание белка в субклеточных фракциях определяли по Лоуренс с сотр. [10]. Полученные данные статистически обработаны по Рокицкому [21]. Удельная активность АТФ-аз выражалась в мкмоль Р<sub>н</sub> на 1 мг белка, а содержание общего белка — в мг на 1 г свежей ткани.

В результате проведенных исследований (табл. 1) установлено, что субфракции А и В зрительной коры новорожденных крольчат

обладают одинаковой удельной активностью Mg-АТФ-азы. Такой же уровень активности фермента отмечается в переднем двухолмии и наружном коленчатом теле. Легкие синаптосомы ПД, тяжелые синаптосомы ЗК и НКТ новорожденных крольчат характеризуются более высокой удельной активностью Mg-АТФ-азы. Интересен тот факт, что наибольшая локализация Mg-АТФ-азы у новорожденных крольчат наблюдается в митохондриях ЗК и в синаптосомах ПД и НКТ.

В период раннего этапа развития (у 12-дневных крольчат) структур зрительного анализатора в основном отмечается возрастание удельной активности Mg-АТФ-азы, которая выражена неодинаково. Резкое увеличение активности фермента отмечается во фракциях С, Д и Е как ЗК, так и ПД и НКТ. В этом возрасте в субфракциях А и В зрительной коры и С переднего двухолмия активность Mg-АТФ-азы подавляется.

Начиная с 21-го дня активность Mg-АТФ-азы в субфракциях С, Д и Е ЗК, ПД и НКТ несколько снижается по сравнению с прозревающими животными, а в синаптических мембранах изучаемых структур и в миелиновой фракции ЗК наблюдается повышение фермента.

Исследования показывают, что удельная активность Mg-АТФ-азы у месячных кроликов заметно повышается в миелиновой фракции и тяжелых синаптосомах ЗК, в субфракциях В переднего двухолмия и Д наружного коленчатого тела, а в остальных фракциях изучаемых структур активность фермента не меняется или наблюдается тенденция к снижению по сравнению с трехнедельным возрастом.

Полученные данные (табл. 2), показали, что активность Na, K-АТФ-азы в субфракциях структур зрительного анализатора новорожденных крольчат неодинакова. Более высокий уровень активности фермента отмечается в тяжелых синаптосомах и митохондриях ЗК и НКТ, а также в синаптических мембранах ПД.

С развитием мозга у прозревающих крольчат в субфракциях А, В и С подкорковых образований наблюдается увеличение активности Na, K-АТФ-азы, тогда как в ЗК в субфракциях А, С и Е не происходит достоверных изменений, а в субфракциях В и Д данный показатель несколько снижается.

К 21-му дню развития активность Na, K-АТФ-азы во всех изучаемых субфракциях НКТ подавляется, а в ПД — в основном повышается (в миелиновой фракции снижается). В зрительной коре в этом возрасте наблюдается двухфазное изменение, т. е. в субфракциях С и В активность Na, K-АТФ-азы повышается, а в Д, Е и А снижается. Следует отметить, что в месячном возрасте в ЗК происходит резкое активирование Na, K-АТФ-азы во всех изучаемых субфракциях, особенно в митохондриях и в миелиновой фракции. Такая же динамика отмечается в подкорковых образованиях мозга.

Таким образом, по мере развития образований зрительного анализатора мозга кроликов в раннем онтогенезе в субклеточных фракциях в основном происходит возрастание удельной активности Mg- и Na, K-АТФ-аз. В отдельных субфракциях структур зрительного анализатора динамика активности Mg-АТФ-азы выражена неодинаково. Резкое увеличение активности фермента наблюдается у прозреваю-

щих крольчат во фракциях С, Д и Е как ЗК, так и ПД и НКТ. В отличие от Mg-АТФ-азы удельная активность Na, K-АТФ-азы отчетливо повышается в ЗК месячного кролика во фракциях А, В и С, а в подкорковых образованиях — А и Е.

Активация Mg-АТФ-азы в субфракциях структур зрительного анализатора в период раннего онтогенеза, особенно у 12-дневных животных, возможно, связана с быстрым распадом АТФ-азы не использующейся в синапсах в связи с непоступлением зрительной импульсации.

Возрастные изменения активности Na, K-АТФ-азы в период 21—30 суток связаны, на наш взгляд, с формированием синаптических структур нервных клеток.

Итак, проведенные исследования дают основание допустить, что распределение АТФ-аз по субфракциям как в коре, так и в подкорковых образованиях в раннем периоде постнатального онтогенеза указывает на преимущественную локализацию Mg-АТФ-азы в митохондриях и синаптосомах, а Na, K-АТФ-азы — в синаптических мембранах и синаптосомах. Различие в динамике перераспределения различных АТФ-аз в субклеточных образованиях развивающегося мозга, по-видимому, связано с функциональной особенностью и уровнем их биохимической дифференцировки.

#### Литература

1. Пигорева З. Д., Тер-Симонян В. Г. — В сб.: Физиология и биохимия онтогенеза. М.: Наука, 1977, с. 124—128.
2. Рокицкий П. Ф. Основы вариационной статистики для биологов. — Минск, 1961.—122 с.
3. Симонян А. А. Материалы VIII Всесоюзной конференции. — Минск, 1980, с. 89.
4. Тер-Симонян В. Г. Материалы VI конференции по нейрохимии — Л., 1972, с. 143.
5. Al Sei Laura, Venturini G. — Brain Research, 1972, 43, N 1, p. 314—316.
6. Bignami A., Palladini G., Venturini G. — Brain Research, 1966, 3, N 2, p. 207—209.
7. De-Robertis E., Rodrigues de Lores Arnaiz G., Salganicoff Z., Pellegrino de Iraldi A., Lieber L. M. — Journal of Neurochemistry, 1963, 10, S 4, p. 225—235.
8. Fiske C., Subbarow J. — Science, 1927, 65, p. 401.
9. Logan J. G., O'Donovan D. J. — Biochemical Pharmacology, 1980, 29, N 1, p. 111—112.
10. Lowry O. H., Fazz A. H., Randao R. J. — Biological Chemistry, 1951, 193, N 1, p. 265—275.
11. Peter Horst W., Wiese Friederike, Qraszynski Kaj, Abers Ian. — Developmental Biological, 1975, 46, N 2, p. 439—445.

Э. Ч. Гафурова

#### ДОГУШДАН СОНРАКЫ ИНКИШАФ ДЕВРЛЭРИНДЭ ДОВШАНЫН КӨРМЭ АНАЛИЗАТОРУНУН МУХТАЛИФ ПАЙЛАРЫНДАН АЛЫНАН СУБФРАКСИЯЛАРДА АТФАЗА ФЕРМЕНТИ АКТИВЛИЈИННИН ДИНАМИК ДЭЛИШМЭСИ

Тэдгигатда эсас мэгсэд дотушдан сонракы инкишаф дөвлэрэндэ (1, 12, 21 ва 30-чу күнлэр) көрмэ анализаторунун мухталиф паиларындан (көрмэ габыг вэ габыгалты са-хэ) алышан субфраксијаларда (А-миелин фраксијасы, В-сианттик мембралар, С-жункул сиантосомлар, Д-агыр сиантосомлар, Е-митохондриалар) АТФ-аза ферменти активлијинин динамик дошишлмэсний өврэнмэkdir.

Тэчруубалэр мухталифашлы довшанлар үзэриндэ апарылмышдыр. Көрмэ габыг вэ габыгалты са-хэлэрдэн субфраксијалар Де-Робертис үсүүлүү илэ АТФ-азаларын (Мд вэ

Na, K-АТФ-аза) активлији исэ гејри-үзви фосфорун парчаланма үсүүлүү илэ (Фиске-Суббароу) тэ'жин едилмишдир.

Тэдгигатын этичэсий көстэрий ки, дотушдан сонракы инкишаф дөвлэрэндэ довферментинин динамик активлији ejini деийлдир. Безэ ки, Mg-АТФ-азадын нээрээр чарсаналарын С, Д ва Е фраксијаларында излэндир. Эн үкесэк Na K-АТФ-аза ферментида, габыгалты са-хэлэрдэн исэ А вэ Е фраксијаларда нээрээр чарныр.

Еелдикло, инкишаф едэн бејни аяры-аяры са-хэлэрндан алышан субфраксијаларда АТФ-аза активлијинин мухталиф паиламасы бејни көрмэ са-хэларынин функционал хүсүсийтэндэн ээ огларын биокимјэви диференциалдашма сэвијјэснэндэн асылдыр.

Н. А. РАСУЛОВА

## ТЕЧЕНИЕ ДЕПРЕССОРНЫХ РЕАКЦИЙ У ГОНАДЭКТОМИРОВАННЫХ СОБАК

НИИ клинической и экспериментальной хирургии им. М. А. Топчубашева МЗ АзССР

Результаты проведенных опытов с нагрузочной пробой калликреином свидетельствуют о том, что в организме гонадэктомированных животных снижается уровень адаптационно-компенсаторных реакций сердечно-сосудистой системы, причем у кастрированных самцов это ослабление выражено в большей степени, чем у овариектомированных самок.

Среди факторов, обеспечивающих поддержание и регуляцию сосудистого тонуса, значительная роль принадлежит кининам [8, 11, 13]. Известно их значение в жизнедеятельности сердечно-сосудистой системы как в условиях нормы, так и при патологии [5, 7, 10]. Установлены изменения чувствительности специфических клеточных структур к кининам при различных видах воздействия биологически активных веществ различной модальности [1—4, 9]. Однако в доступной литературе мы не нашли сведений о влиянии пола на сердечно-сосудистое действие препаратов калликреин-кининовой системы.

В связи с этим мы провели данное исследование, с целью выявления влияния гонад на чувствительность специфических кининореактивных структур сердечно-сосудистой системы.

Проведено 29 экспериментов на 10 гонадэктомированных и 11 контрольных ложнооперированных собаках в двух сериях: в I серии — на 51 кастрированных и 5 контрольных самцах, во II серии — на 5 овариектомированных и 6 контрольных самках.

Для выявления функциональной способности сердечно-сосудистой системы пользовались нагрузочной пробой с калликреином в дозе 0,8 КЕ/кг.

Динамику депрессорных реакций калликреина изучали по кривой непрерывной записи артериального давления, которое определяли путем катетеризации бедренной артерии с регистрацией на электрокимографе посредством ртутного манометра. Максимальную величину депрессорного ответа ( $\Delta P_m$ ) определяли в миллиметрах ртутного столба, латентный период и продолжительность депрессорной и сердечной реакций — в секундах. Максимальную скорость изменения артериального давления в начальной фазе реакции ( $\Delta V_m$ ) определяли по тангенсу наибольшего угла повышения давления (альфа), построенному между горизонтальной линией и касательной к кривой депрессорной реакции: ее результаты выражали в миллиметрах ртутного столба на секунду. Венозное давление измеряли методом дигитальной флеботонометрии аппаратом Вальдмана, электрическую активность сердечной мышцы — записью ЭКГ в стандартных, усиленных и грудных отведениях.

Калликреиновую пробу производили до операции и через 20—22 дня после операции тотальной гонадэктомии.

Полученный цифровой материал подвергнут статистической обработке, рекомендованной Е. В. Монцевичюте-Эрингене [6].

При сравнении изменений величин изучаемых показателей, возникающих после введения калликреина ложнооперированным и кастрированным самцам (I серия), у последних отмечается некоторое усиление депрессорных реакций.

Так, у контрольных самцов систолическое давление после введения калликреина уменьшается на  $22,2 \pm 1,89\%$ , диастолическое — на  $7,9 \pm 0,93\%$ , у кастрированных самцов эти параметры уменьшены на  $27,1 \pm 2,04\%$  ( $P < 0,05$ )  $17,2 \pm 2,13\%$  ( $P < 0,05$ ), соответственно. Длительность гипотензивной реакции у кастрированных самцов составляет 5—7 мин, у контрольных — 3—4 мин.

Венозное давление у контрольных самцов вначале увеличивается на  $7,5 \pm 1,28\%$ , затем уменьшается на  $8,1 \pm 2,06\%$ . У кастрированных самцов начальное увеличение венозного давления выражено в большей степени — венозное давление увеличивается на  $77,1 \pm 3,14\%$  ( $P < 0,001$ ), последующего уменьшения не наступает. Венозное давление остается повышенным в течение 15 мин.

Частота сердечных сокращений у контрольных самцов после введения калликреина возрастает на  $104,0 \pm 7,61\%$ . У кастрированных самцов увеличение частоты сердечных сокращений предшествует ее уменьшение — в среднем на  $25,4 \pm 3,18\%$  ( $P < 0,05$ ). Наступающее затем увеличение частоты сердечных сокращений не отличается от контрольного (увеличение на  $98,2 \pm 6,05\%$ ,  $P > 0,1$ ).

Во II серии у самок отмечаются следующие сдвиги: после введения калликреина у ложнооперированных и овариектомированных самок отличий в величине депрессорной реакции нет; уменьшение систолического и диастолического давлений на  $39,3 \pm 2,88\%$  и  $15,2 \pm 1,54\%$  у первых и на  $37,5 \pm 2,90\%$  и  $21,8 \pm 2,07\%$  ( $P > 0,1$ ) у вторых. В противоположность самцам, у ложнооперированных самок отмечается значительный подъем венозного давления — на  $33,8 \pm 2,35\%$  от исходного; у овариектомированных самок подъем венозного давления еще выше (на  $51,1 \pm 3,69\%$  от исходного) и достоверно отличается от контрольного ( $P < 0,01$ ).

Таким образом, при сравнении сердечно-сосудистой реакции на калликреин у ложнооперированных и гонадэктомированных собак обращают на себя внимание следующие факты: у кастрированных самцов диастолическое давление уменьшается, а венозное давление увеличивается в большей степени, чем в контроле; изменения частоты сердечных сокращений носят двухфазный характер: уменьшение частоты в I фазе ( $P < 0,001$ ) и увеличение во II фазе.

У контрольных ложнооперированных самцов I фаза изменения частоты сердечных сокращений отсутствует, а II фаза выражена также значительно, как и у кастрированных собак. Из этих сравнений следует сделать вывод, что кастрация усиливает депрессорную реакцию на калликреин, увеличивает венозное давление, способствует появлению отрицательной хронотропной реакции, т. е. повышает в организме баланс парасимпатических влияний.

Анализ полученных результатов показывает, что различия в сер-

дечно-сосудистой реакции у контрольных и опытных самок отмечается лишь по двум показателям: венозное давление и частота сердечных сокращений. Различий в артериальном давлении в связи с оварэктомией не установлено. У оварэктомированных самок отмечается более высокий подъем венозного давления (на  $51,1 \pm 3,69\%$  против увеличения на  $33,8 \pm 2,35\%$  в контроле), наличие незначительной I фазы и выраженной II фазы изменения частоты сердечных сокращений.

У гонадэктомированных самок отмечено учащение сердечного ритма на  $97,3 \pm 4,48\%$  против увеличения на  $148,5 \pm 5,67\%$  ( $P < 0,01$ ) в контроле.

Из сравнения результатов, полученных у ложнооперированных и оварэктомированных самок после нагрузки калликреином, можно сделать вывод, что гонадэктомия усиливает подъем венозного давления, но уменьшает положительную хронотропную реакцию, наряду с этим появляется отрицательная хронотропная реакция, иначе говоря оварэктомия, так же, как и кастрация, увеличивает в организме баланс парасимпатических влияний.

При сравнении сердечно-сосудистой реакции у контрольных самцов и самок установлено, что у вторых значительнее выражены увеличение частоты сердечных сокращений, уменьшение систолического, диастолического и увеличение венозного давлений. Иначе говоря, в ответ на введение калликреина у ложнооперированных самок резче, чем у самцов, выражены сердечно-сосудистые реакции.

В условиях гонадэктомии у самок наблюдается более значительная, чем у самцов, депрессорная реакция на калликреин; зато у самцов резче подъем венозного давления и более выражена величина отрицательной хронотропной реакции. Все это свидетельствует о том, что в организме кастрированных самцов баланс парасимпатических влияний значительно превосходит таковой у оварэктомированных самок.

Результаты проведенных опытов с нагрузочной пробой калликреином свидетельствуют о том, что в организме гонадэктомированных животных снижается уровень адаптационно-компенсаторных реакций сердечно-сосудистой системы, причем у кастрированных самцов это ослабление выражено в большей степени, чем у оварэктомированных самок.

#### Литература

1. Вартанетов Б. А. — В кн.: Новое о гормонах и механизме их действия. Кн. Наукова думка, 1977, с. 217—218.
2. Герасимова Е. Н., Глазунов И. С., Деев А. Д. — Терапевт. архив, 1978, 4, с. 24—28.
3. Герасимова Е. Н., Перова Н. В., Зыкова В. П. — Кардиология, 1979, 12, с. 61—66.
4. Горбачев В. В., Пристром М. С. — Кардиология, 1982, 12, с. 76—77.
5. Дзизинский А. А., Гомазков О. А. Кинины в физиологии и патологии сердечно-сосудистой системы. — Новосибирск, 1976, с. 1—154.
6. Монцевич-Эрингене Е. В. — Патол. физiol., 1964, 4, с. 71—78.
7. Некрасова А. А. Экспресс-информация. Заболевания сердечно-сосудистой системы. — М., 1976, 4, с. 1—15.
8. Рзаев Н. М., Абаскулиева Л. И. — Кровообращение, 1979, 5, с. 48—51.
9. Рзаев Н. М., Абаскулиева Л. И., Ханумова Т. А., Ахвердиева Т. Г. — Физiol. журн. СССР, 1977, 53, 3, с. 429—433.

10. Рзаев Н. М., Абаскулиева Л. И., Нагиев А. А., Ханумова Т. А., Томашук Л. А., Ахвердиева Т. Г. — Кровообращение, 1975, 8, 6, с. 43—44.
11. Чернух А. М., Гомазков О. А. — Патол. физiol., 1976, с. 5—16.
12. Valloton M. B. Hormones et regulation de la pression arterielle. Acquis recent radioimmunol. — Byon., 1976, 1, 31.
13. Mersey J. H., Williams G. H., Holleberg N. K., Duby R. C. — Circulat. Res., 1974, 40, 5, 1, 84.

Н. А. Рэсулова

#### ГОНАДЕКТОМИЈА ОЛУМУШ ИТЛЭРДЭ ДЕПРЕССОР РЕАКЦИЈАЛАРЫН КЕДИШИ

Чынсијаң вазиләринин үрөк ган-дамар системинин кининреактив маддәләрә гарыш спесифик һәссаслығыны мүәյянләшdirмәк учун 10 гонадектомија олумуш, 11 контрол ит үәрнида 29 тәрүбә апарылышын: үрөк ган-дамар системинин функционал фәзлийләтни мүәйянләшdirмәк учун 0,8 КЕ/кг сыйаг дозасындан истифада олумушшур.

Калликреинин депрессор реакцијасынын динамикасыны артериал вә веноз ган-дамарларында ярашан тәзигләри өзни ваҳтда өлчмәкә вә үрөк эзләләринин электрик активилијине эсасен мүәйянләшdirилмишdir. Калликреинде апарылан экспериментләрнин иттичәләри көстәрир ки, гонадектомија олумуш һөвәлларын организмында үрөк ган-дамар системинин адаптация-компенсацисијасы функцијасы зөнфләјир. Бу хүсусијәттөн даха кәскин мүшәнидә олунур.

УДК: 576.577.472

Ф. И. КЕРИМОВ

**ЧИСЛЕННОСТЬ АЗОТФИКСИРУЮЩИХ МИКРООРГАНИЗМОВ  
И АЗОТФИКСАТОРОВ-БИОДЕСТРУКТОРОВ НЕФТИ  
В ВОСТОЧНОЙ ЧАСТИ СРЕДНЕГО И ЮЖНОГО КАСПИЯ**

Сектор микробиологии АН АзССР

Впервые приводятся данные количественного распределения азотфиксацирующих микроорганизмов и азотфиксаторов-биодеструкторов нефти в восточной части Среднего и Южного Каспия. Указываются факторы внешней среды, влияющие на количественное содержание этих микроорганизмов.

Изучение азотфиксацирующих бактерий в Каспии, начавшееся в 1926 г., имеет некоторую особенность. Она выражается в том, что все исследователи, изучающие азотфиксацию, работали у западного прибрежья Каспия. Поэтому к настоящему времени практически отсутствуют сведения об азотфиксацирующих микроорганизмах в восточной части моря.

В отличие от ландшафта западного берега, в восточной части он более однообразен и состоит преимущественно из пустынных плоскогорий и песков. На всем протяжении восточного прибрежья Каспия нет ни одной постоянно действующей реки, за исключением нескольких речушек, образующихся весной и пересыхающих летом. Влияние знонных песков, песчаные ветры, отсутствие рек, большое количество солнечных дней в году, интенсивная инсоляция — все эти наблюдаемые факторы приводят к тому, что восточное прибрежье моря становится солонее и более пологим. Имеется еще одна особенность восточного прибрежья, оказываящая большое влияние на жизнедеятельность микроорганизмов, а следовательно, и на их количественное распределение.

У восточного берега Среднего (от п-ова Манышлак до Карабогаз-Гола) и частично Южного Каспия (р-он о. Огурчинский) наблюдается температурная аномалия воды. Причина этой аномалии т. е. понижения температуры воды в летние месяцы, до сих пор окончательно не установлена. Одни ученые считают, что это результат выхода к поверхности холодных глубинных вод под влиянием сгонного эффекта ветров [6, 10, 12], другие это относят к выходу холодных подземных вод из грунтовых и артезианских водоносных бассейнов [11]. Однако эти предположения не подтвердились. Как показывают гидрохимические исследования, проведенные ГОИИом в районе аномалии в августе 1960 и в апреле 1961 гг., состав вод этих районов ничем не отличается от состава вод прилегающих участков открытого моря [7]. Имеются неоспоримые сведения, характеризующие аномалию не как постоянно действующую, а как часто повторяющееся,

спорадическое явление [2]. Так, сгонные северо-западные и северо-северо-западные ветры вызывают резкие понижения температуры поверхности слоя воды. Этот факт подтверждается также данными наблюдений, полученными при измерении температуры воды в районе Актау в 1963—1965 гг. [2]. Следовательно, факты резкого понижения температуры воды при сгонном ветре неоспоримы.

Исходя из вышеизложенного, можно предположить, что температурная аномалия воды, наблюдавшаяся у восточного прибрежья Среднего и частично Южного Каспия, представляет собой чисто физическое явление и обусловливается усиленным испарением прибрежной воды под действием сгонных ветров северной четверти, в результате чего резко понижается ее температура. Это своеобразие восточного прибрежья Каспия оказывает существенное влияние на микробиологический режим данного района моря.

Здесь нами было отобрано 20 образцов черпаком конструкции Л. Н. Пшенина [8] в стерильные химические стаканы (0,250 л). Причем 10 проб были извлечены из Красноводского залива, а остальные на 5 станциях у восточного прибрежья Среднего Каспия. В последнем случае на каждой станции брали по две пробы, одну для определения общего количества азотфиксацирующих микроорганизмов, другую для выявления азотфиксаторов-биодеструкторов нефти. Посев производили в стерильные химические средние пробирки с питательной средой объемом 10 мл. Таковой проводили в 4-х повторностях, в шести разведениях. Инкубацию посевов проводили при температуре 20—25°C в течение 30 сут. В качестве питательной среды применяли жидкую среду Федорова с манитом и набором микроэлементов для выявления общего количества азотфиксацирующих микроорганизмов; эту же среду без вышеуказанных компонентов с добавкой стерильной капли нефти использовали для численного определения азотфиксаторов-биодеструкторов нефти. Расчет численности микроорганизмов осуществляли микроскопированием препаратов живых микробов, взятых из посевов накопительных культур с учетом их роста на соответствующих разведениях. На основе этого определяли числовую характеристику, количество микроорганизмов в 1 мл воды по таблице Мак-Креди и доверительный интервал [3].

Как видно из таблицы, численное содержание азотфиксаторов в Красноводском заливе зимой достигает примерно тех же величин, которые обычны для этих микроорганизмов летом в южной части западного прибрежья. Гидрологический режим заливов Каспийского моря экологически своеобразен и специфичен. Так, Кызыл-Агачский залив (малый и большой) является самым пресноводным, а Красноводский залив считается наиболее теплым. Температура воды в нем летом может достигать 32°C [2]. Этому способствует так называемый парниковый эффект, наблюдаемый здесь особенно летом из-за интенсивной инсоляции, мелководности залива и окружающих его невысоких гор.

Большая численность азотфиксаторов в заливе зимой объясняется его высокой температурой и продуктивностью, обусловленной сбросом в него хозфекальных сточных вод населенных пунктов и прижизненными выделениями зимующих птиц, составляющими при-

Численность азотфиксаторов и азотфиксированных микроорганизмов у нефтяного прибрежья  
Среднего и Южного Каспия (при  $K=10$ ,  $P=95\%$ ,  $n=4$ ,  $m=3,8$ )

№	Станция	Восточное прибрежье Среднего Каспия (февраль, март 1983 г.)		Восточное прибрежье Южного Каспия (февраль, март 1980 г.)	
		Район моря	Доверительный интервал вероятного кол-ва азотфиксаторов биодеструкторов нефти, тыс. в 1 м³ воды	Температура воды, °C	Температура воздуха, °C
1.	«Куулы нефтяной»	0,250	0,06579—0,95	6,9	100
2.	Куулы маяк	0,300	0,07895—1,14	6,5	100
3.	Бекдаш	0,095	0,025—0,361	6,4	10
4.	Казахский залив	0,165	0,4342—0,627	5,1	10
5.	Мыс Урдюк	0,110	0,02895—0,418	4,9	10
6.	Оконечность Уфринского п-ова			10,5	2
7.	Между п-овами Уфринским и Кайлью			10,0	2,5
8.	Южнее п-ова Кайлью			10,8	3
9.	Западнее п-ова Дардаша (у буя)			10,3	4
10.	Северо-западная оконечность Чимкентской косы			10,0	3
11.	Северо-восточное острava Осушные			10,7	3
12.	Юго-восточнее косы Кызыл-Су			10,9	4
13.	Северо-восточнее косы Кызыл-Су			10,1	4
14.	2 км севернее Северной оконечности косы Кызыл-Су			10,7	3
15.	10. 2 км севернее 9-й станции			10,8	3

близительно 1,5 тыс. т за сезон [1, 5]. Так, на станциях 1, 2, 3, 4, расположенных вблизи мест зимовки перелетных водоплавающих птиц, содержание азотфиксаторов микроорганизмов наибольшее. Количество азотфиксаторов на станциях 6, 7 и 8 также высокое. Они расположены вблизи островов Осушки и косы Кызыл-Су, окаймленных тростником и зарослями водорослей, являющихся симбионтами и метабионтами многих азотфиксаторов микроорганизмов. Несколько меньшее количество азотфиксаторов, обнаруженных на станциях 9 и 10, можно уверенно связать с загрязнением этого участка залива сточными водами Красноводского нефтеперерабатывающего завода.

Из таблицы видно, что численность общего количества азотфиксаторов и азотфиксаторов-биодеструкторов нефти на 5-ти станциях восточного прибрежья Среднего Каспия намного меньше, чем в Красноводском заливе. Известно, что основным фактором, влияющим на численность гетеротрофных микроорганизмов, является наличие автохтонных и аллохтонных органических веществ. Немаловажное значение для количественного распределения микроорганизмов имеют также температурные условия. Из-за отсутствия стока рек у восточного прибрежья Каспия решающим условием для содержания гетеротрофных азотфиксаторов является автохтонная органика.

Учитывая температурную аномалию воды и отсутствие аллохтона, можно заключить, что незначительное количество микроорганизмов, обнаруженное в восточной части Среднего Каспия, объясняется сравнительно малой величиной суточной продукции фитопланктона [9] и низкой температурой поверхностного слоя воды. Узкий спектр температуры приповерхностного слоя воды в районах аномалии сдвигает адаптацию микроорганизмов в сторону психрофилов, уменьшает их численность и многообразие. На содержание азотфиксаторов-биодеструкторов нефти в водоемах помимо нефтяного загрязнения, влияет наличие высшей водной растительности [4]. Ввиду малочисленности макрофитов содержание первых еще менее выражено, чем других азотфиксаторов. Следует отметить, что большинство (70—80%) выделенных из Красноводского залива микроорганизмов (бактерий, дрожжей) были пигментированными. Это, по-видимому, связано с интенсивной инсоляцией, наблюдавшейся в нем летом.

Таким образом, результаты наших работ в восточной части Среднего Каспия показывают, что решающую роль в численном содержании азотфиксаторов микроорганизмов приобретает местная органика — автохтон. Вследствие наличия температурной аномалии воды и отсутствия аллохтонных органических веществ содержание азотфиксаторов в этом районе Каспия наименьшее. Количество азотфиксаторов, потребляющих маннит (среди Федорова без нефти), несколько превышает содержание азотфиксаторов-биодеструкторов нефти, ввиду незначительного нефтяного загрязнения. Высокая численность азотфиксаторов в Красноводском заливе зимой объясняется достаточной для мезофилов температурой и его продуктивностью, обусловленными влиянием антропогенного фактора и расположенным здесь орнитологическим заповедником.

## Литература

1. Витюк Д. М. Взвешенное вещество и его биогенные компоненты. — Киев, 1983.
2. Добровольский А. Д., Косарев А. Н., Леонтьев О. К. Каспийское море. — МГУ, 1969.
3. Егоров Н. С. Практикум по микробиологии. — МГУ, 1976.
4. Ильинский В. В., Гусев М. В., Коронелли Т. В. Микрофлора вод Тихого океана, омывающих остров Медный (Командорские острова)/I-ый съезд советских океанологов, тезисы докл., вып. II, с. 20, 1977.
5. Кривоносов Г. А. Водные угодья и водоплавающие птицы в области Каспийского моря — В кн.: Природная среда и птицы побережий Каспийского моря и прилегающих низменностей/Труды Кызыл-Агачского заповедника. вып. 1, 1979, с. 5—16.
6. Мамедов И. Г. Сгоны нагоны и аномалии температуры воды у восточного побережья Среднего Каспия. — Изв. АН АзССР, Сер. наук о Земле, 1967, № 1, с. 108—111.
7. Пахомова А. С., Затучная Б. М. Гидрохимия Каспийского моря. — М., 1966.
8. Пшенин Л. Н. Об азотфикссирующих бактериях приповерхностного слоя воды в Черном море. — Труды Севастопольской биолог. станции, т. XV 1964, с. 3—47.
9. Салманов М. А. Продукция фитопланктона в восточном побережье Среднего Каспия. — Гидробиологический журнал, т. VIII, 1972, № 4, с. 71—74.
10. Соловьев А. И., Кузовлев Г. И. По поводу одной гипотезы об аномалии температуры воды у восточного побережья Среднего Каспия. — Океанология, т. 6, 1966, вып. 5, с. 906—910.
11. Уланов Х. К. Сгоно-нагонные явления и аномалия температуры воды на восточном побережье Среднего Каспия. — Океанология, т. 2, 1962, вып. 4, с. 614—626.
12. Фурман Т. И. О статье Х. К. Уланова «Аномалия температуры воды в восточной части Среднего Каспия». — Метеоролог и гидрология, 1962, № 9, с. 57—58.

Ф. И. Кәримов

## ОРТА ВӘ ЧӘНУБИ ХӘЗӘРИН ШӘРГ СА҆ИЛИНДӘ АЗОТМӘНИМСӘЈӘН ВӘ НЕФТИ БИЛОЧИ ЙОЛЛА ПАРЧАЛАЈАН-АЗОТМӘНИМСӘЈӘН МИКРООРГАНИЗМЛӘРИН МИГДАРЫ

Мәгарәдә Чәнуби вә Орта Хәзәрин шәрг са҆илиндә азотмәнимсәјән вә нефти биложи юлла парчалајан\* азотмәнимсәјән микроорганизмләрин кәмијјәтчә мигдары вәрilmىшилди.

Бу групп микроорганизмләрин мигдарына харичи мүһитни та'сири гејд олунмушшудур. Красноводск көрфәзинде азотмәнимсәјән микроорганизиләрин мигдары Орта Хәзәрин шәрг са҆илинде инсбәтән бир гәдәр чохтур, бу да температурин вә мәңсүлдарлыгын јүкәк олмасы ила әлагадарды.

Азотмәнимсәјән вә нефти биложи юлла парчалајан-азотмәнимсәјән микроорганизмләрдин мигдары Орта Хәзәрин гәрб са҆илинде, дәнзин бүтүн сааһәснинде гејд олундурунда хәйли аздыр, онларын мигдары 1 мл суда 115-дән 350 нүчејрәјә вә 110-дан 300 нүчејрәјә гәдәр дәјишир.

Азотмәнимсәјән микроорганизмләрдин мигдары Красноводск көрфәзинде гышда 1 мл суда 2500-дән 3500 нүчејрәјә гәдәр дәјишир.

АЗӘРБАЙЧАН ССР ЕЛМЛӘР АКАДЕМИЯСЫНЫҢ ХӘБӘРЛӘРИ  
Биологија елмләри серијасы, 1985 № 4

ИЗВЕСТИЯ АКАДЕМИИ НАУК АЗЕРБАЙДЖАНСКОЙ ССР  
Серия биологических наук, 1985, № 4

УДК 595.765.

Б. И. АГАЕВ

## МОРФОЛОГИЧЕСКИЕ И БИОЛОГИЧЕСКИЕ ОСОБЕННОСТИ ЩЕЛКУНА ДАГЕСТАНСКОГО *ATHOUS DAGESTANICUS REITT* (COLEOPTERA ELATERIDAE)

Азербайджанский педагогический институт им. В. И. Ленина

В статье приведены данные о распространении щелкунов дагестанского в Азербайджанской ССР и морфологических отличиях от близкого вида — *Athous circumductus*. Описывается ранее неизвестная личинка щелкунов дагестанского и приводятся данные об экологических особенностях этого вида.

Щелкун дагестанский до последнего времени относился к малоизвестным видам щелкунов Закавказского региона и очень редко попадал в фаунистические списки [1]. В фауне Азербайджана этот вид вообще был неизвестен.

В апреле 1984 г. в Шекинском районе в окрестностях с. Джумай нами был обнаружен очаг разнообразных личинок и кукулок рода *Athous* с преобладанием взрослых перед окукливанием с численностью 30—40 экз/м<sup>2</sup>. Личинки на таблице В. Г. Долина [2] идентифицировались как *Ath. circumductus* или *Ath. iristonicus* и поэтому были оставлены нами для получения имаго. Личинки были помещены в пол-литровые банки с почвой, где нормально окуклились, превратились в жуков, вышли на поверхность почвы, спарились и отложили яйца. Взрослые жуки были идентифицированы нами как *Ath. daghestanicus* Reitt. Это было подтверждено В. Г. Долиным, за что пользуясь случаем выразить ему благодарность. Ниже приводятся отличительные признаки щелкунов дагестанского, описание ранее неизвестных преимагинальных стадий и наблюдения по экологии этого вида.

Внешне жуки дагестанского щелкунов очень напоминают крупного *Ath. circumductus* и неотличимы от него невооруженным глазом. Основным отличительным признаком является строение переднеспинки, характеризующейся сильно вздутыми и вытянутыми вперед передними углами, доходящими не менее чем до середины глаза выемчатым передним краем (рис. 1а), а также несколько более короткими усиками и деталями в строении эдеагуса (рис. 1в, г.). Как правило, жуки дагестанского щелкунов, как самцы, так и самки, темнее окрашены, чем *Ath. circumductus* обычно темно-коричневые и даже черно-коричневые, с тонкой коричнево-красной полоской вдоль шва и по краю надкрылий, иногда очень слабо выраженной. Габимезельно щелкун дагестанский более широкий и плоский, чем *Ath. circumductus* отношение длины надкрылий к их ширине посередине у первого 2,25:1, у второго — 2,5:1. У первого усики заходят за концы задних углов у самцов на 0,5—1 членик, у *Ath. circumductus* на 1,5—2 членика.

У самок дагестанского щелкунов усики не доходят до концов зад-

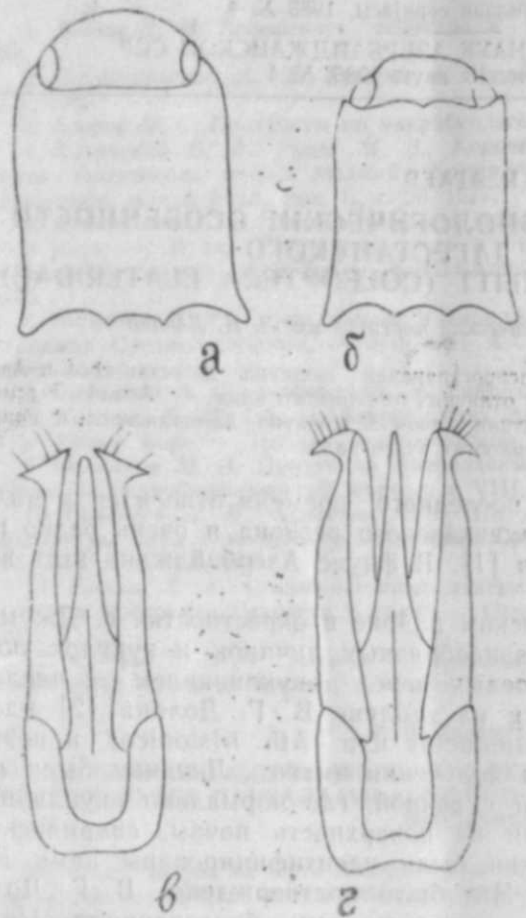


Рис. 1.

них углов переднеспинки на длину 2,5—3 члеников, у *Ath. circumfuscus* — на длину 2 члеников.

Из куколок, собранных 24—26 апреля, 2—3 мая отродились первые жуки-самцы, затем через 2 дня выподились самки. Жуки спаривались в пол-литровых банках и самки отложили яйца.

**Яйцо.** Молочно-белое, овальное, размерами  $0,6 \times 0,5$  мм, после откладки набухает с увеличением продольного диаметра до  $0,72$ — $0,78$  мм, поперечного до  $0,58$ — $0,61$  мм. Хорион гладкий, блестящий. Яйца откладываются компактными группами по 15—25 шт. в почву на глубину 0,5—1 см.

Продолжительность эмбрионального развития при температуре 20—22°C 10—13 дней.

**Личинка.** Отродившиеся личинки белые, прозрачные, первые сутки не питаются. Затем линяют и начинают питаться, поглощая растворенные в почве вещества, при этом кишечник у них окрашивается в серо-черный цвет.

Первоначально в ранних возрастах личинка кремово-белая или

светло-желтая, после 3—4 линьки окрашивается в красновато-желто-коричневый цвет.

У средне и старшевозрастных личинок соотношение длины тела к ширине составляет 8,5—9,1. Назале не длиннее ширины, средний зубец трехзубчатого назала шире боковых. Задняя лопасть лобной пластинки в 1,5 раза длиннее ширины, ее вершина прямая, боковые стороны в вершинной половине прямые или слабо изогнутые (рис. 2а). Тергиты брюшных сегментов по бокам грубо пунктированы и в глубоких продольных морщинках, скульптура грубее к концу брюшка.

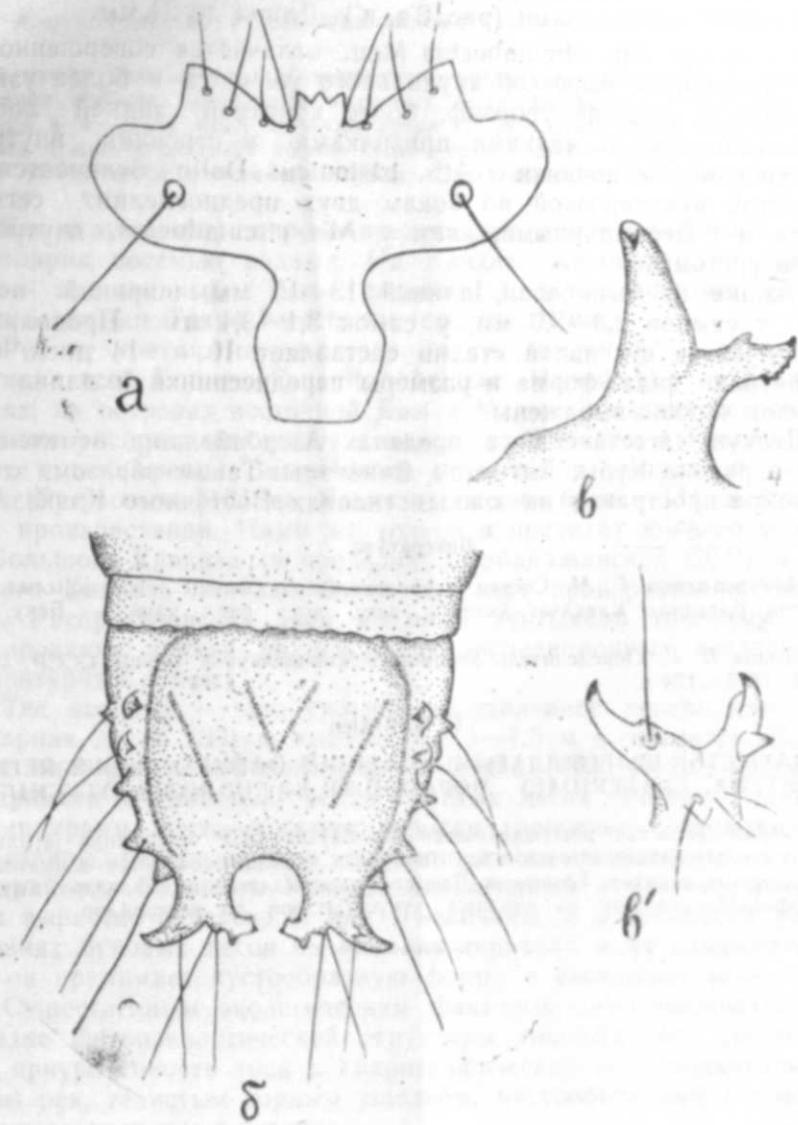


Рис. 2.

Точка по бокам тергитов 5 и 6 сегментов с килевидно приподнятым передним краем.

Площадка каудального сегмента не длиннее ширины, иногда слегка поперечная, с округлыми углами, слабо вдавленная (рис. 2 б).

Боковые зубцы площадки равны или почти равны по величине, щиповидно заостренные на вершинах, расположены через равные промежутки. Сегментальная вырезка круглая, на 1/3 открытая и на 1/3 шире толщины урогона. Внутренние ветви урогона на 1/3 короче наружных, слабо уплощенные, слаженные тупоугольным внутренним, остроугольным наружным и вытянутым в острие, загнутые кверху внутренними углами (рис. 2 в, в'). Длина до 24 мм.

От личинки *Ath. circumductus* Men. отличается совершенно круглой сегментальной вырезкой каудального сегмента и более узкой по отношению к толщине урогона, более короткой задней лопастью любой пластинки и мелкими признаками в строении внутренних ветвей урогона. От личинки *Ath. Istoicus* Dolin отличается только простой пунктиркой по бокам двух предпоследних сегментов брюшка и более длинными, как у *Ath. circumductus*, внутренними ветвями урогона.

Куколка кремово-белая, длиной 13—15 мм, шириной переднеспинки у самцов 2,8—3,0 мм, у самок 3,1—3,4 мм. Продолжительность развития кукольной стадии составляет 10—14 дней. Основные признаки вида: форма и размеры переднеспинки и длина усиков у куколок хорошо выражены.

Щелкун дагестанский в пределах Азербайджана отнесен также в районе Кубы, Алтыагач, Закаталы. Таким образом, этот вид широко распространен на южных склонах Восточного Кавказа.

#### Литература

1. Абдурахманов Г. М. Состав и происхождение фауны жесткокрылых восточной части Большого Кавказа: Автореф. дисс. докт. биол. наук. — Баку, 1983.—45 с.
2. Долин В. Г. Определитель личинок жуков-щелкунов фауны СССР. — Киев: Урожай, 1978.—124 с.

#### Б. И. Агаев

#### ДАГЫСТАН ШЫГГЫЛДАҒЫНЫН *ATHOUS DAGHESTANICUS*, REITT; COLEOPTERA, ELATERIDAE) МОРФОЛОЖИ ВӘ БИОЛОЖИ ХҮСУСИЈАТЛЭРИ

Мэголзэ Дагыстан шыггылдағынын Азэрбајҹан ССР аразисинде јајылмасы вә онда јаҳын слан *Athous circumductus* невүндән фәргли морфологи эламэтләри нәгында мә’лумат вериллir. Йәмчиина Дагыстан шыггылдағынын эввәлләр мә’лум олмажан сурфәснин тәсвири вә эколожи хүсусијәтләри дә көстәриллir.

АЗЭРБАЈЧАН ССР ЕЛМЛЭР АКАДЕМИЈАСЫНЫН ХӘБӘРЛӘРИ  
Биология елмләри сериясы, 1985 № 4

ИЗВЕСТИЯ АКАДЕМИИ НАУК АЗЕРБАЙДЖАНСКОЙ ССР  
Серия биологических наук, 1985, № 4

УДК 581.9:634.95

В. Ш. КУЛИЕВ, З. И. ГУМБАТОВ

#### МАТЕРИАЛЫ О ФИТОЦЕНОЛОГИЧЕСКОЙ СТРУКТУРЕ ТИСОВЫХ НАСАЖДЕНИЙ В ЛЕСАХ ЗАКАВКАЗЬЯ

Азербайджанский сельскохозяйственный институт им. С. Агамалиоглы

В статье приводится геоботаническое описание растительности и места распространения тисовых насаждений в горных лесах Закавказья. Установлено, что тис ягодный в прошлом имел широкий ареал. В результате антропогенных воздействий эта ценная реликтовая порода сильно сузила свой естественный ареал. В статье также указываются методы его охраны и создания новых тисовых заповедников.

Тис (гарачахра) широко представлен в умеренной зоне северного полушария восемью видами. На Кавказе же обнаружен всего один вид — тис ягодный (*Taxus baccata* L.), который Фомин [14] относит к вариации *Taxus baccata* var. *caucasica* Fom.

Реликт третичного периода — тис ягодный — распространен почти по всей Европе, Северной Африке, Малой Азии, в Альпах, Пиренеях, на островах восточной Явы и Малых Зондских островах. Современное распределение тиса ягодного на Кавказе, в Крыму, на Карпатах и по берегам Балтийского моря носит островной характер. И. А. Ругузовым [10] на Кавказе описано более 111, в Крыму 57 мест произрастания. Нами же только в пределах южного макросклона Большого Кавказа (в пределах Азербайджанской ССР) и в горах Малого Кавказа описано более 130 мест произрастания тиса ягодного. Распространение тиса ягодного учитывали точечным методом картирования ареала на основании экспедиционных исследований и литературных данных.

Тис ягодный — это сильно разветвленное дерево или крупный кустарник до 15 (35) м высотой и 0,5—1,5 м в диаметре. Встречается от нижнего до верхнего горного пояса (1900 м над ур. м.) в виде примеси в тенистых, редко светлых лесах. Растет единичными экземплярами, часто образует заросли (урочища). Имеются вековые экземпляры, растут дружно, особенно на северных склонах. В западных районах Большого Кавказа тис ягодный в благоприятных условиях вырастает в дерево II или I величины, а в восточных районах в условиях буковых лесов на высоких террасах и на каменистых склонах он принимает кустообразную форму и выполняет роль подлеска.

Существенным экологическим фактором, обусловливающим своеобразие фитоценологической структуры тисовых рощ, является тесная приуроченность тиса к гидрографической сети Закавказья: к берегам рек, тенистым горным ущельям, местообитаниям с повышенной влажностью почвы и воздуха.

В данной статье приводятся материалы с фитоценологической структуре тисовых насаждений в лесах Закавказья.

Как известно, в настоящее время тисовые рощи в естественном виде в Закавказье сохранились в заповедных лесах и на старых кладбищах, где не нарушается фитоценологическая структура насаждений. Здесь же встречаются его вековые экземпляры. Многовековые рощи и вековые экземпляры тиса ягодного представляют большой научный интерес и требуют всестороннего глубокого изучения и охраны.

В Закавказье тис ягодный встречается главным образом в поясе буковых, грабовых или же других типов лесов, преимущественно в пределах 800—1850 (1900) м над ур. м.

По данным А. Г. Долуханова [6] в верховьях р. Алазани Грузинской ССР имеется уникальная тисовая роща, площадью в несколько сот гектаров. Другой участок, более 100 га площадью, занимают леса со значительным участием тиса, отмечены им и ущелья р. Бацара. По данным А. Г. Долуханова, площадь тисовых насаждений на Кавказе составляет около 1500 га.

Тис ягодный широко представлен в горах северной Армении, а сравнительно недавно молодые заросли тиса обнаружили в южной Армении [1], в горах Зангезура. В северной же Армении, в бассейне р. Гетик (Тарсачай), тис встречается часто в буковых лесах на площади до 25 га, где участие тиса ягодного составляет 60—90%. Возраст тиса колеблется от 410 до 450 лет, при средней высоте 23—26 м и среднем диаметре около 60 см.

Боцарский тисовый лес в Грузии и тисовые участки леса северной Армении объявлены государственным заповедником. Тисовый заповедник (роща) имеется также в окрестностях г. Сочи.

Вековые экземпляры тиса и тисовые рощи с первичной растительностью широко представлены и в Азербайджане, в частности, в районах Большого и Малого Кавказа и в горах Талыша.

Фитоценологическая структура тисовых рощ и вообще тисовых насаждений разнообразна; почти в каждом ущелье горных рек, где имеются приуроченные террасы, развиты пятнами буковые и буково-грабовые леса с тисовым подлеском и очень редко смешанные леса, на крутых, скалистых, местами спокойных (не крытых) каменистых склонах. В таких ущельях тис ягодный как подлесок встречается в двух-трех отличающихся друг от друга местах: на аллювиально-делювиальных террасах и на скалисто-каменистых или скальсто-щебнистых склонах или же на известняках. Здесь тис ягодный образует хорошо выраженный II (или III) ярус. Только в Белоканском районе на северном склоне Аг-Кемал на высоте 1800 м над ур. м. он несколькими экземплярами представлен в I ярусе, по высоте достигая бук восточный.

В буковых лесах тис ягодный возобновляется семенами и по-прослью успешнее, чем в грабовых и дубовых, но судьба молодых экземпляров незавидная: из 10 проростков выживают 50—60%, остальные погибают от засухи или же от механического повреждения.

В Азербайджане сохранились естественные и приуроченные к старым кладбищам тисовые рощи. Одна из крупных естественных тисовых рощ отмечена в Лерикском районе в урочище Бескеш в 12 км к западу от сел. Сиов. Старая тисовая роща отмечена на кладбище, расположенному в окрестностях сел. Гамзалы Куткашенского райо-

на на высоте 1800 м над ур. м. Участок букового леса с подлеском из тиса (*Fageta taxosa*) обнаружен нами в ущелье р. Даниргинчай во II—III ярусах с обилием sp., gr., со. Кроме бука и тиса здесь растут *Carpinus caucasica*, *Corylus avellana*, *Pyrus communis*, *Acer hyrcanum*, *Erythronium latifolium*, *Mespilus germanica* и десятки травянистых растений. Нередко в этом и в соседних районах на крутых склонах тис ягодный представлен как подлесок грабовых формаций (*Carpinetum taxosae*). Тис, образующий в них подлесок, характеризуется слабым ростом и почти полным отсутствием семенного возобновления. Формации рек Курмухчай и Гамамчай Каахского района на высоте 1200 м над ур. м. и на той же высоте в Закатальском районе.

Молодые тисовые насаждения отмечены в Ханларском районе (окрестности оз. Гейгель, Марагель, Залигель и др.), в Кедабекском, Шушинском и Мардакертском районах, часто встречаются в Исмаиллинском районе (в долине р. Кешнчай) и в лесах Куба-Кумского района.

Охарактеризовав общие черты растительности тисовых насаждений, перейдем к рассмотрению закономерностей в распределении основных тисовых группировок (формаций) в обследуемом регионе.

Тисовые насаждения в Азербайджанской ССР представлены следующими формациями и ассоциациями.

#### Формации

*Fageta—taxosa*  
*Fageta—Carpinetum taxosae*  
*Carpinetum taxosae*  
*Taxosae herbosa*

#### Ассоциации

*Fagetum taxosum*  
*Fagetum—Carpinetum taxosum*  
*Carpinetum taxosum*  
*Taxosum herbosum*

Ниже приводится фитоценологическое описание тисовых насаждений в урочище Бекеш в 3-х км от с. Гамаррат Лерикского района. Здесь тис ягодный представлен в чистых зарослях и в буковых лесах в виде подлеска.

Заросли тиса на площади около 3 га расположены на высоте 900 м над ур. м. на крутых западных склонах с уклоном 45°. Тис здесь образует световые редколесья, в которых отдельные деревья достигают 6—8 (12) м в высоту и 0,6—1 м в диаметре (здесь же отмечены два экземпляра с диаметром 1,5 м). Здесь тис ягодный образует I ярус. По-видимому, здесь когда-то был грабовый лес, но в настоящее время от граба осталось всего лишь 2—3 старых пня. По окраинам зарослей тиса к востоку растет граб, к северу — бук. Причем уже в буковых насаждениях тис растет в подлеске. В тисовых зарослях в нижнем ярусе встречаются алча кавказская (*Prunus divaricata*), шиповник (*Rosa canina*), а в травяном ярусе папоротник (*Polystichum aculeatum*). В густых насаждениях травяной покров полностью отсутствует. В более освещенных местах между деревьями тиса отмечены: травянистая синузия с преобладанием *Poa nemoralis*, *Asperula odorata*, *Viola silvestris*, *Brachypodium sylvaticum*, *Sanicula europaea*, *Geum urbanum*, *Fragaria vesca*, виды родов *Vicia*, *Orobis*, *Sachys*, *Carex*, *Primula*, *Melica*, *Trifolium*, *Linum*, *Centraurea*, *Silene* и др.

Следующее описание проводилось нами в долине р. Кешнчай

Исмайллинского района (восточная часть Большого Кавказа) на высоте 1550 м над ур. м. на аллювиально-пролювиальных террасах, где преобладающими породами являются бук восточный с единичной примесью граба. По поверхности участка рассеяны крупные обломки пород, покрытые моховой синузней. Бонитет леса приближается к I. Бук восточный достигает высоты в среднем 20—23 м. (редко 25—27) при диаметре 40—60 см. (70). Граб кавказский находится во II ярусе и достигает 10—15 м высоты при диаметре 40—60 см (70). Полнота травостоя 0,5—0,6.

Подлесок хорошо выражен ярусом из низкорослого тиса ягодного (в среднем 1—1,5 м) и бересклета широколистного (в среднем 2—3 м), в который единичными экземплярами вкрапливаются мушмула (*Mespilis germanica*). Тис ягодный повсеместно угнетен, повсюду встречаются экземпляры с сухими вершинами и боковыми ветвями.

Покрытие травяного покрова полностью зависит от II яруса (подлеска). Здесь постоянными спутниками буково-тисовых насаждений являются *Asperula odorata*, *Sanicula europaea*, *Brachypodium sylvaticum*, *Polygonatum glaberrimum*, *Eriopactis lanifolia*, *Pachyphragma macrophyllum*, *Salvia glutinosa*, *Rubus caucasicus*, *Solidago virgaurea* и др. Большинство их являются эпифитами и встречаются на стволах бука и граба.

Л. И. Прилипко [9], описывая тисовую рощу близ с. Гамзали (неподалеку от с. Бум Куткашенского р-на) на старом кладбище на высоте 1000 м над ур. м. на площади около 1 га (полнота 1,0), пишет, что здесь еще до создания кладбища, а затем уже тогда, когда в роще появились могилы, последние стали обсаживаться с двух сторон молодыми тисовыми деревьями, выросшими впоследствии в крупные экземпляры еще больше загустившие рощу. Л. И. Прилипко пишет, что деревья тиса ягодного, встречающегося на кладбище, разновозрастные. Наряду с молодыми деревьями и подростом здесь встречаются 150-, 180-, 300- и 350-летние деревья. Описывая эту рощу, где даже в яркий солнечный день царит полумрак, отмечаем, что здесь встречаются каштан съедобный (до 25 м высоты, при диаметре 100—150 см), хурма кавказская (до 20—25 м высоты) и единично бук восточный (до 30 м высоты).

В заключение можно отметить, что тис ягодный в западных регионах Закавказья представлен высоким ростом, с более пышной растительностью, чем в восточных. Здесь он предельно теневынослив и любит влажную среду. Цветет в марте—апреле. Семена созревают в сентябре — октябре. Созревающие семена имеют ярко-красный цвет. Плод семянка — ягода сочная и охотно поедается птицей и дикими зверями, которые являются основными агентами распространения тиса в другие регионы.

Суммируя вышеизложенное, можно заключить, что леса с тисовым подлеском и чистые тисовые насаждения ранее по Кавказу вообще, и в Закавказье, в частности, были распространены гораздо шире и заходили на водораздельные склоны, а также спускались значительно ниже.

Под влиянием изменившихся физико-географических условий, а в последнее время под влиянием антропогенных факторов, эти леса сократили свой естественный ареал, сохранившись лишь на терра-

сах и скалисто-каменистых склонах. В других экологических условиях тис ягодный вытеснили широколистенные породы. Так что тис ягодный у нас в Закавказье имеет прерывистый ареал. Современное его распространение носит островной характер. Данные последних лет показывают, что он сильно сокращает свой естественный ареал. Часто из-за ценной древесины его вырубают. Поэтому он сохранился только в местах, недоступных человеку.

Тис ягодный весьма декоративен и, несмотря на свой медленный рост, заслуживает широкого разведения в садах и парках. С этой целью его издавна выращивают; имеется более 10 садовых форм тиса [10].

Для сохранения естественных тисовых насаждений необходимо, кроме существующих заповедников, организовать заказники в Шекинском, Лерикском, а также Куткашенском районах. Широко культивировать в парках и садах в городах и других населенных пунктах республики.

Учитывая, что в природе встречаются десятки его разновидностей, необходимо биологам и систематикам шире заняться вопросами систематики тиса, особенно его талышской расы.

#### Литература

1. Абрамян Р. А. Древостои тиса в Зангезуре. — Лесное хозяйство, 1968, № 12.
2. Виноградов-Никитин П. З., Юткевич Н. Н. Тысячелетняя тисовая роща в Кахетии. — Изв. Тифл. политехнического института, 1926, вып. 2, с. 321—324.
3. Гаджиев В. Д. Высокогорная растительность Большого Кавказа и ее хозяйственное значение. — Баку: Элм, 1970. — 281 с.
4. Гаджиев В. Д., Кулиева Х. Г., Вагабов З. В. Флора и растительность высокогорий Талыша. — Баку: Элм, 1970.—150 с.
5. Гулиашвили В. З., Махатадзе Л. Б., Прилипко Л. И. Растительность Кавказа. — М.: Наука, 1975, с. 137—138.
6. Долуханов А. Г. Реликтовые древостои тиса в верховьях Алазани, 1948.
7. Кеппен Ф. Географическое распространение хвойных деревьев в Европейской России и на Кавказе — СПб, 1885.
8. Львов П. Л. Леса Дагестана. — Махачкала, 1964.
9. Прилипко Л. И. Лесная растительность Азербайджана. — Баку: Элм, 1954, с. 59—68.
10. Ругузов И. А. Тис ягодный (*Taxus baccata L.*) биология и экология в связи с распространением и культурой на юге СССР. — Автореф. дис... канд. биол. наук. — Нальчик, 1974.—24 с.
11. Тумаджанов И. И. Типы лесов бассейна реки Киш-чай/Тр. Бот. ин-та, — Баку: Изд-во АзФАН, 1938, с. 5—96.
12. Флора СССР, т. I.—Л., 1934, с. 132—133.
13. Флора Азербайджана, т. I. — Баку: Изд. АН Азерб. ССР, 1950, с. 54—56.
14. Фомин В. Определитель растений Кавказа и Крыма, т. I, 1909, т. II, 1911.

В. Ш. Гулијев, З. И. һұмбетов

#### ЗАГАФГАЗИЈА МЕШӘЛӘРИНДӘ ГАРАЧӘҮРӘ ЧӘНКӘЛЛИИНИН ФИТОСЕНОЛОЖИ ГҮРУЛУШШУНА АЙД МАТЕРИАЛЛАР

Үчүнчү лөврүн реликт нұмајәндәләриңдән бири олан гарачәүрә (*Taxus Baccata L.*) дүйнәнин бир чох өлкәләриңдә жаилдыры кими Загафгазија (Азарбајҹан ССР, Ермәнистан ССР вә Күрчүстән ССР) мешәләриңдә ада-ада формасијалар яратмагла, мұхтәлиф мешә формасијаларына дахил олмагла мешәләтті биткиси сајылдыр. Рајонлардан вә биткى типләриңдән асылы олараг гарачәүрә ағач-кол формаларына малик-дир.

Гарачәүрәнин әразидә сых чәнкәллии олмагла бәрабәр, онун сејрәк мешәлијинә дә раст колинир вә бүнларын фитосеноложи гүрулышлары мешәни тәшкил еден еди-фикаторул үегендә аз-чох раст қалмасында асылыдыр.

Назымда физики вә антропоцен факторлар онун ареалыны мәһдудлаштырышлар. Гарачәүрәнин горујуб сахламаг учун, јени-еји горугларын салмысасы вә үмумијетле, бүтүн чәнкәллии сияйма алыб, горумасы мәсләнәт көрүлүр.

## МУНДЭРИЧАТ

Б. Э. Курдов, Р. Э. Насанов. Етиола олуммуш бугда чүчәртиләрниңкүй хлоропластларда флуоресценсија мәркәзләринин формалашмасына фитохром системинин тә'сири	3
Э. М. Масиев. Абшерон шәрәнтинде Гафгаз хұмысының бәзи биологи хұсусијатләри	10
Е. А. Гурбанов. Бәзи додагичәклиләрдин дишицијинин етијат гида маддәләрнин ултраструктурунун мұғаисәли өјөннелмәсінә даир	17
Ж. Ч. Насанов, Р. Һ. Мамедов. Учар дајаң мәнтәгасындә суварылан боз-чәмән торпагларының агрофизики хассәләри	24
Ә. Һ. Гасымов, Г. М. Пятакова. Хәзәр дәнисинде Rhithroporus harrisi tridentata (maitland) јекәнинин аутонглимләшмәсінин иетичаләри	28
Д. М. Рзаева. Үзүм уилу јастычасының Planococcus ficus signoret паразит ва јыртычылары вә Шәрги Загафазијаја жени ентомофагларын интродуксијасы	34
С. И. Һусејнов, М. С. Рәнимзадә. Памбығын Гафгаз арылары тәрәфиндән тозландырылмасы	40
И. И. Элибәјова, Р. М. Багыров, Г. М. Пятакова. Хәзәр дәнисинде үзән кәмиләрниң биологи табагасы	47
Н. С. Аббасов, А. Г. Поддубни, Л. К. Малини, М. М. Сейидрајев. Минкачевир су анбарында балыгларын јајылмасының иидроакустик тәдиги	51
Г. Н. Гулијев, Р. С. Начафова, Н. И. Гасымова. Ев, тарла вә мешә синчаларының кариотипи (Muridae, rodentia)	60
С. И. Ибадова. Абшеронда үзүм уилу јастычасының (Planococcus ficus signoret) биоекология хұсусијатләри	66
Р. А. Элијев. Іачыгабул ва Нахалыхчала көлләринде макрозообентосун нөв тәркиби вә јајылмасы	70
И. Д. Мустафајев, В. В. Фигарова, Р. Һ. Чәфәрова. Йүмшаг бугдаларда кәнд тәсәррүфаты әһәмијәтли кәмийәт аламатларинин трансгрессија даишишканлы	77
Ә. В. Элизадә, Е. Ч. Аббасов. Икничәркалар вә чохчәркалар арналарын чарпазлашмасындан алымыш һибридләрда форма эмәләкәләре	84
В. М. Гулијев. Колхисинин тә'сирилә полиплоид үзүм формаларының влынмасы	91
Г. К. Гәдиров, М. И. Сафаров, С. А. Кәримов, Һ. М. Агаси. Бејәркүстү вазиләрниң кортиктотрон функциясының позулмасы шәрәнтинде кальциум ионларының мәркәзи синир системинде кедән гајт мүбадиләсина тә'сири	98
Н. А. Іачијева, Ф. Б. Гулијева. Керма габығының локал мәркәzlәrinin вә јухары дөрдтапалы чисмин јүксәк дәрәчәдә һајәчанламаларының сенсомотор габығының функционал вазијјатларында тә'сири	104
Ә. Ч. Гафулова. Догушдан сонраки никшаф дөвләринде довшаның керма анализаторунун мұхталиф пайларындан алыман субфраксијаларда атфаза ферменти активлијинин динамик даишишмасы	112
Н. А. Рәсулова. Гонадектомија олуммуш итләрда депрессор реақсијалары кедиши	116
Ф. И. Кәримов. Орта вә Чәнуби Хәзәрин шәрг салынинде азот мәнимсөјән вә нефти биологи ѡолла парчалајан-азотмәнимсәјән микроорганизмләрниң мигдәрьи	120
Б. И. Агајев. Дауыстан шыгылдағының (Athous daghestanicus reitt coleoptera elateridae) морфология вә биологи хұсусијатләри	125
Б. Ш. Гулијев, З. Н. Һұмбатов. Загафазија мешәләрниң гарачеңрең ҹәнкәллијинин фитосенологи гурулушуна аид материаллар	129

## СОДЕРЖАНИЕ

Б. А. Курдов, Р. А. Гасанов. Влияние фитохромной системы на формирование флуоресцирующих центров хлоропластов этиолированных проростков пшеницы	3
А. М. Масиев. Некоторые особенности хурмы кавказской в условиях Апшерона	10
Е. А. Гурбанов. Сравнительное изучение ультраструктуры запасных питательных веществ пестиков у некоторых губоцветных	17
Ю. Д. Гасанов, Р. Г. Мамедов. Агрофизические свойства орошающих сероземно-луговых почв Уджарского опорного пункта	24
А. Г. Касымов, Г. М. Пятакова. Результаты аутоакклиматизации краба Rhithroporus harrisi tridentata (maitland) в Каспийском море	28
Л. М. Рзаева. Паразиты и хищники виноградного мучнистого червеца (Planococcus ficus signoret) и интродукция новых энтомофагов в Восточное Закавказье	34
С. И. Гусейнов, М. С. Рагим-заде. Опыление хлопчатника Кавказскими пчелами	40
И. И. Алибекова, Р. М. Багиров, Г. М. Пятакова. Обрастания судов, плавающих на Каспийском море	47
Г. С. Аббасов, А. Г. Поддубный, Л. К. Малинина, М. М. Сейид-Рзаев. Гидроакустические исследования распределения рыб в Мингечеаурском водохранилище	51
Г. Н. Кулев, Р. С. Наджафова, Н. И. Касумова. Кариотипы домовой, полевой и лесной мышей (Muridae, rodentia)	60
С. И. Ибадова. Биоэкологические особенности виноградного мучнистого червеца (Planococcus ficus signoret) на Апшероне	66
Р. А. Алиев. Состав и распределение макрозообентоса в озерах Аджинабул и Нахалыхчала	70
И. Д. Мустафаев, В. В. Фигарова, Р. Г. Джарарова. Модификационная и трансгрессивная изменчивость хозяйственно важных признаков мягкой пшеницы	77
А. В. Алиев, Э. Д. Аббасов. Формообразование у гибридов от скрещивания сортов двурядного и многорядного ячменя	84
В. М. Гулиев. Получение полиплоидных форм винограда путем колхинирования	91
Г. К. Қадыров, М. И. Сафаров, С. А. Кәримов, Г. М. Агаси. Роль ионов кальция в обмене ГАМК мозга при угнетении кортикотропной функции надпочечников	98
Н. А. Гаджиева, Ф. Б. Кулев. Влияние локальных очагов повышенной возбудимости в зрительной коре и верхних буграх четверохолмия на функциональное состояние сенсомоторной коры	104
А. Д. Гафурова. Активность АТФ-АЗ в субклеточных фракциях структур зрителного анализатора мозга кроликов в раннем постнатальном онтогенезе	112
Н. А. Расулова. Течение депрессорных реакций у гонадэктомированных собак	116
Ф. И. Кәримов. Численность азотфиксацирующих микроорганизмов и азотфиксаторов-биодеструкторов нефти в восточной части Среднего и Южного Каспия	120
Б. И. Агаев. Морфологические и биологические особенности щелкуна Дагестанского Athous daghestanicus reitt (coleoptera elateridae)	125
В. Ш. Гулиев, З. И. Гумбатов. Материалы о фитоценологической структуре гисовых насаждений в лесах Закавказье	129

ЗИНАЖДОД

Сдано в набор 21.06.85 г. Подписано к печати 23.08.85 г.  
ФГ 00733. Формат бумаги 70×100<sup>1</sup>/16. Бумага типографская № 1.  
Гарнитура шрифта литературиая. Печать высокая. Усл. печ. лист 11,05. 2 вкл.  
Усл. кр.-отт. 11,05. Уч.-изд. лист 10,0. Тираж 545. Заказ 504. Цена 1 руб. 20 коп.

Издательство «Элм».

370143 Баку-143, проспект Нариманова, 31, Академгородок,

Главное здание.

Типография АН Азербайджанской ССР. Баку, проспект Нариманова, 31.